

証拠標本および画像に基づく山口県日本海産魚類目録

AN ANNOTATED CHECKLIST OF MARINE FISHES OF
THE SEA OF JAPAN OFF YAMAGUCHI PREFECTURE, JAPAN,
WITH 74 NEW RECORDS

園山貴之・荻本啓介・堀 成夫・内田喜隆・河野光久

TAKAYUKI SONOYAMA, KEISUKE OGIMOTO, SHIGEO HORI,
YOSHITAKA UCHIDA AND MITSUHISA KAWANO



鹿児島大学総合研究博物館

2020年2月

Cover photograph: *Pterois lunulata* (Scorpaenidae) off Mishima Island. Photo by S. Hori

Back cover photograph: A school of *Trachurus japonicus* (Carangidae) off Omijima Island. Photo by S. Hori

DTP of this issue: Hiroyuki Motomura (Kagoshima University Museum)

証拠標本および画像に基づく山口県日本海産魚類目録

An annotated checklist of marine fishes of the Sea of Japan off Yamaguchi Prefecture, Japan, with 74 new records

園山貴之^{1,5}・荻本啓介¹・堀 成夫²・内田喜隆³・河野光久⁴

¹〒750-0036 山口県下関市あるかぼーと6番1号 下関市立しものせき水族館

²〒758-0057 山口県萩市堀内355番地 萩博物館

³〒753-8501 山口市滝町1番1号 山口県農林水産部水産振興課

⁴〒759-4106 山口県長門市仙崎2861番3 山口県水産研究センター外海研究部

⁵Corresponding author, e-mail: lubricogobius@gmail.com

Abstract An annotated checklist of marine fishes of the Sea of Japan off Yamaguchi Prefecture, Japan was compiled from specimen and literature surveys. A total of 767 species (484 genera and 199 families), including 74 species that represent the first reliable records from Yamaguchi Prefecture on the basis of collected specimens and/or photographs, is listed with citation of literature, registration numbers, sizes, localities in the prefecture, and some remarks. The following 21 species represent the first records from the Sea of Japan: *Chiloscyllium punctatum* (Hemiscylliidae), *Proscyllium habereri* (Proscylliidae), *Strophidion ui* (Muraenidae), *Callechelys kuro* (Ophichthidae), *Glossanodon lineatus* (Argentinidae), *Chlorophthalmus acutifrons* (Chlorophthalmidae), *Ventrifossa garmani* (Macrouridae), *Antennatus coccineus* (Antennariidae), *Scorpaenopsis papuensis* (Scorpaenidae), *Synanceia verrucosa* (Synanceiidae), *Epinephelus chlorostigma*, *Pseudanthias rubrizonatus*, *Pseudanthias* sp. (Serranidae), *Stalix immaculata* (Opistognathidae), *Chromis katoi* (Pomacentridae), *Stlengis misakia* (Cottidae), *Parapercis aurantiaca* (Pinguipedidae), *Astrabe flavimaculata*, *Vanderhorstia* sp. (Gobiidae), *Sphyraena jello* (Sphyraenidae), and *Syphurus orientalis* (Cynoglossidae).

園山貴之・荻本啓介・堀 成夫・内田喜隆・河野光久. 2020. 証拠標本および画像に基づく山口県日本海産魚類目録.
鹿児島大学総合研究博物館研究報告, 11: 1–152.

Sonoyama, T., K. Ogimoto, S. Hori, Y. Uchida and M. Kawano. 2020. An annotated checklist of marine fishes of the Sea of Japan off Yamaguchi Prefecture, Japan, with 74 new records. Bulletin of the Kagoshima University Museum, 11: 1–152.

Published on 3 February 2020

はじめに

山口県日本海は表層で対馬暖流の影響を強く受け、見島より北方の水深300 m以深では水温1°C以下の日本海固有冷水が周年存在する特異な海洋物理学的特徴を有し、日本有数の漁場として知られる（河野ほか, 2011a; 藤原ほか, 2018）。本海域における魚類相の調査・研究は河野ほか（2011a, b）により網羅的に行われ、河野ほか（2011a）では870種、さらに河野ほか（2011b）では880種が報告された。その後も土井ほか（2015a, b）で204種、および294種が報告されている。しかし、これらの報告は検証可能な証拠標本に基づいていないことが問題として挙げられている（三澤ほか, 2015; 田代ほか, 2015, 2017; 吉川ほか, 2016; 藤原ほか, 2018）。

一方、本海域を対象にした調査で、標本もしくは画像に基づく報告種数は、堀（2005）で25種、小林ほか（2006）で17種、河野ほか（2011a）で9種、堀ほか（2014）で39種、河野ほか（2015）で18種、藤原ほか（2018）で161種（報告された162種の内、関門海峡で採集されたクジメは瀬戸内海産と判断し除いた）のみである。これらは河野ほか（2011b）の報告した880種と比較すると著しく少なく、これまでの証拠資料に基づく報告では本海域の魚類相の全貌を把握できているとは言い難い。

そこで本研究では、再現性を担保した山口県日本海産魚類目録の作成を目的に、各収蔵機関に保管されている再検証可能な本海域の魚類標本・画像の調査・再同定を行い、新たな標本の収集・保存、関連機関への同定可能な画像収集を行った。

材料と方法

山口県日本海域および日本海の定義は、河野ほか（2011a, b）に従った。すなわち、山口県日本海域は、東端は萩市下田万鉢崎北沖、西端は下関彦島と福岡県沖ノ島を結ぶ線および長崎県対馬近海（Fig. 1）。日本海は、北端は宗谷海峡、西端は東松浦半島、壱岐周辺海域および対馬周辺海域を結ぶ線、東端については津軽海峡とした。

分類体系、学名および標準和名は基本的に中坊（2013）に従い、それ以降に新たに出版されたものがあればその報告に従い、備考に示した。科内は各種を学名のアルファベット順で掲載した。標準和名は中坊（2013）に従い、それ以降に標準和名を提唱されたものはその報告に従った。

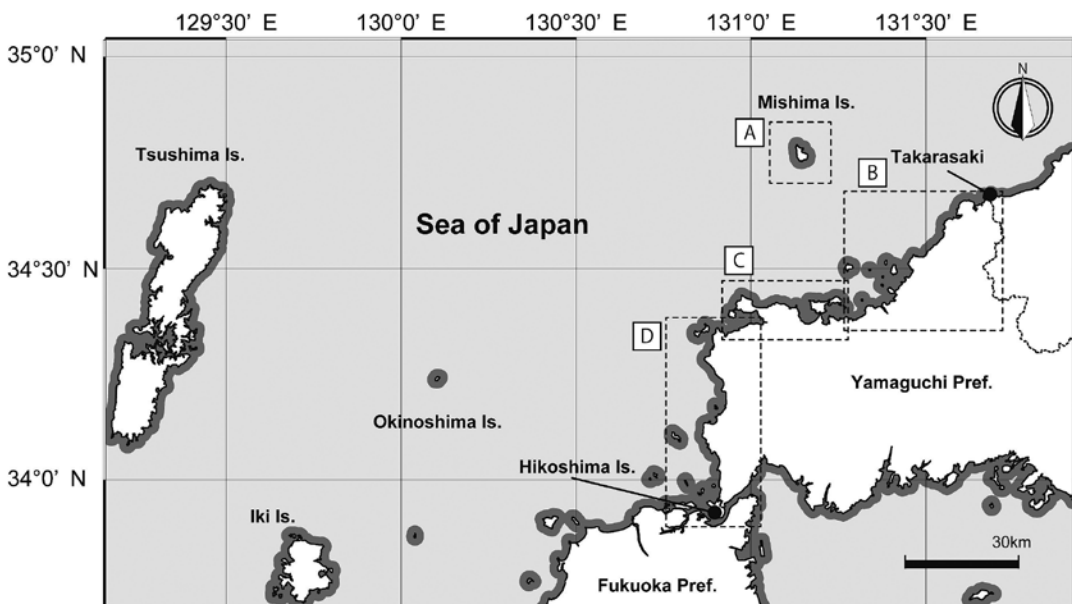


Fig. 1. Map of the Sea of Japan off Yamaguchi Prefecture. A, Mishima Island; B, Hagi; C, Nagato; D, Shimonoseki.

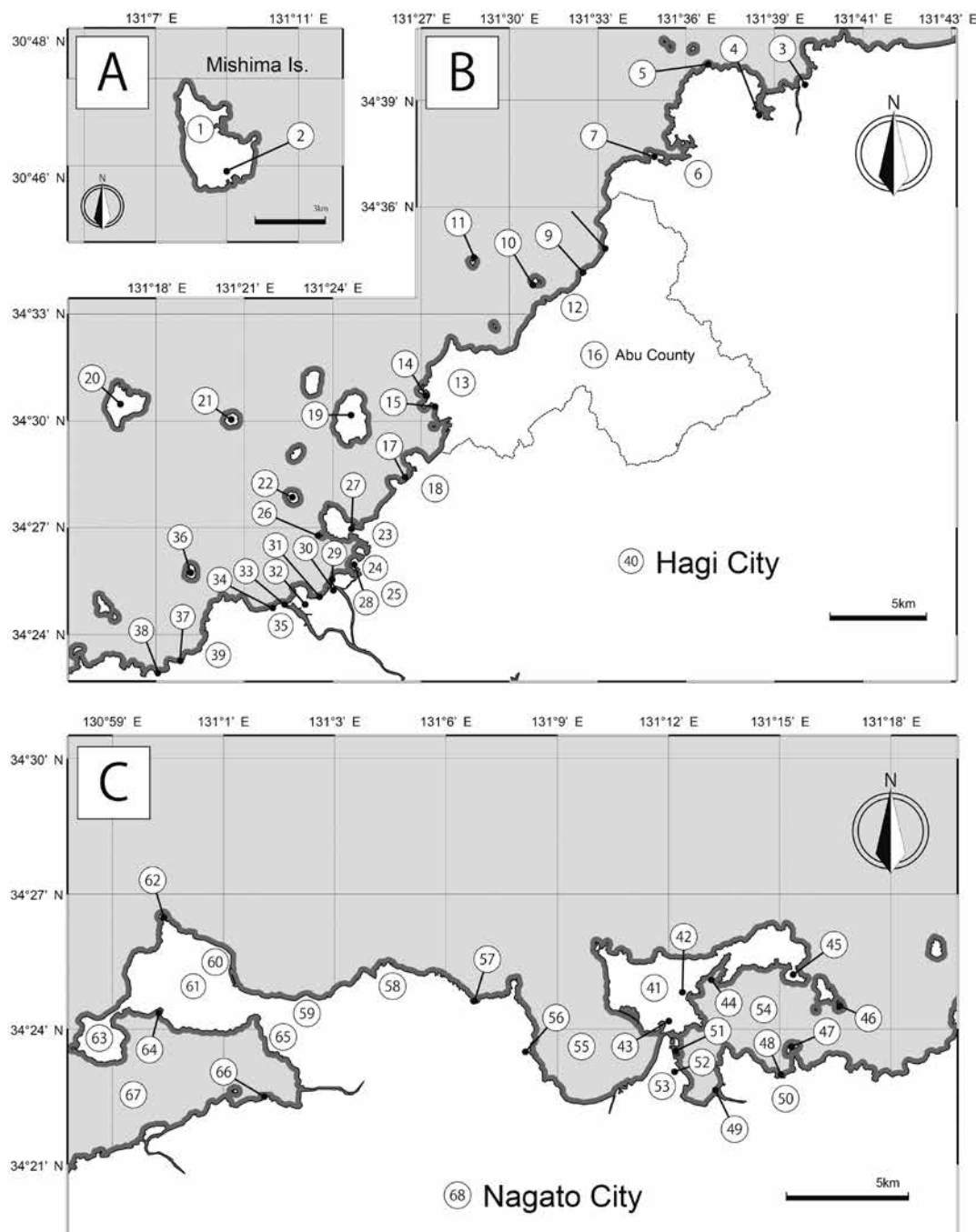


Fig. 2. Detailed collection localities in (A) Mishima Island, (B) Hagi, and (C) Nagato shown in Fig. 1. Numbers in circles correspond to numbers in Table 1.

対象の魚類は海産魚類としたが、主生息域が淡水域であっても、標本が海域で得られた種、および下流域、河口域で得られた魚類のうち、両側回遊することが知られている種も含めて報告した。

標本および画像収集は、調査海域内で手網、定置網、底曳網、刺網、釣りおよびスキューバダイビングで行った。体サイズの計測は収蔵状況により直接計測が不可能だったものもあるが、300

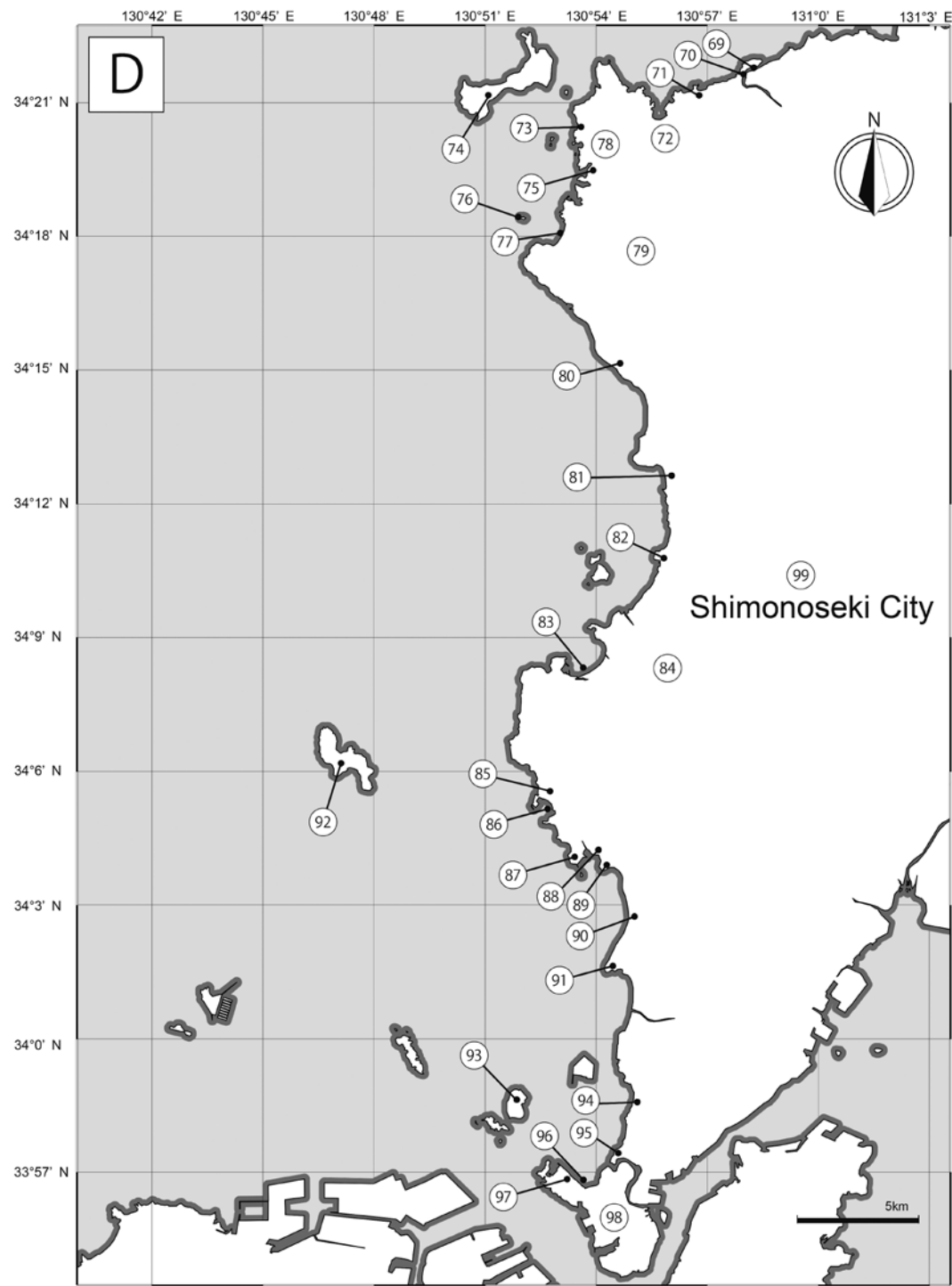


Fig. 3. Detailed collection localities in (D) Shimonoseki shown in Fig. 1. Numbers in circles correspond to numbers in Table 1.

mm 以上は 1 mm まで、300 mm 未満は 0.1 mm 単位まで可能な限り行い、欠損のあるものはその旨を表記した。本研究で収集された標本は萩博物館 (HH-Pi), 神奈川県生命の星・地球博物館 (KPM-NI), 北九州市立自然史・歴史博物館 (KMNH VR) に収蔵した。画像は魚類画像資料データベース (KPM-NR) に登録した。標本調査は、各収蔵施設内の標本の再同定を行った。「標本」「画像」には本調査で確認できた標本番号（画像は魚類画像資料データベース, KPM-NR）, 個体数（複数個体の場合のみ）, 体サイズ, 採集地, 水深, 採集日を示し, 標本が液浸標本ではない場合は, 標本の保存状況を示した。「文献」には、本調査で調査した標本および同定可能な画像が記載されている文献情報のみを示した。文献中の標本番号もしくは文献中の fig., もしくは画像が掲載されているページ, 採集地を示し, 標本と fig. が同一標本の場合は fig. もしくは画像が載っているページを標本番号の後に () で示した。採集地は、同じ産地でも各収蔵施設や文献で名称が異なるものがあったため, Figs. 1–3 および Table 1 の通りに統一した。

本報告に用いた標本の略号は下記の通りである。高知大学 (BSKU), 千葉県立中央博物館 (CBM-ZF), 京都大学フィールド科学教育研究センター舞鶴水産実験所 (FAKU), 萩博物館 (HH-Pi), 庄原市立比和自然科学博物館 (HMNH-P), 北海道大学大学院水産科学研究院 (HUMZ), 鹿児島大学総合研究博物館 (KAUM-I), 北九州市立自然史・歴史博物館 (KMNH VR), 神奈川県生命の星・地球博物館 (KPM-NI), 国立研究開発法人水産研究・教育機構水産大学校 (NFU-510), 独立行政法人国立科学博物館 (NSMT-P), 大阪市立自然史博物館 (OMNH-P), 国立研究開発法人水産研究・教育機構 西海区水産研究所 (SNFR)。

山口県日本海産魚類目録

Myxiniformes ヌタウナギ目

Myxinidae ヌタウナギ科

***Eptatretus burgeri* (Girard, 1855)**

ヌタウナギ

標本 FAKU 143691, FAKU 143692, 下関市豊北町角島北西沖, 水深 129 m, 2016 年 12 月 12 日; FAKU 145350, 山口県沖, 水深 136 m, 2017 年 6 月 19 日; HH-Pi 846, 全長 290.0 mm, 下関市豊浦町小串沖, 水深 70 m, 2016 年 11 月 18 日。

画像 KPM-NR 198221A, B, C, 山口県沖, 水深 136 m, 2017 年 6 月 19 日; KPM-NR 198431, 下関市豊北町角島北西沖, 水深 129 m, 2016 年 12 月 12 日; KPM-NR 198728, 全長 290 mm, 下関市豊浦町小串沖, 水深 70 m, 2016 年 11 月 18 日。

文献 吉郷・安達 (2002) : HMNH-P 4534 (p. 47), 萩市須佐沖; 吉郷・中村 (2003) : HMNH-P 4634, 萩市須佐沖。

Chimaeriformes ギンザメ目

Chimaeridae ギンザメ科

***Chimaera phantasma* Jordan and Snyder, 1990**

ギンザメ

文献 堀 (2005) : HH-Pi 133, HH-Pi 134, 萩市沖, 乾燥標本。

Heterodontiformes ネコザメ目

Heterodontidae ネコザメ科

***Heterodontus japonicus* Miklouho-Maclay and Macleay, 1884**

ネコザメ

標本 HH-Pi 2597, 全長 870 mm, 萩市須佐沖, 水深 15 m, 2018 年 4 月 23 日。

画像 KPM-NR 198767, 全長 870 mm, 萩市須佐沖, 水深 15 m, 2018 年 4 月 23 日。

備考 本種の学名は中村ほか (2019) に従った。

Table 1. Name of point, latitude and longitude in Yamaguchi Prefecture (alphabets and numbers corresponding to those in Figs. 1–3).

Nos in Figs. 1–3	Point	Japanese notation	Latitude	Longitude
	Yamaguchi (Sea of Japan)	山口県		
	Tsushima island, Nagasaki	長崎県対馬		
	Okinoshima island, Munakata, Fukuoka	福岡県宗像市沖ノ島		
A 1	Mishima island, Hagi	萩市見島	34°46'33"N	131°08'26"E
A 2	Hachirigase Mishima island, Hagi	萩市見島八里ヶ瀬	34°45'44"N	131°09'05"E
B 3	Shimotama, Hagi	萩市下田万	34°39'30"N	131°39'52"E
B 4	Esaki, Hagi	萩市江崎沖	34°38'25"N	131°38'44"E
B 5	Koyama Cape, Susa, Hagi	萩市須佐高山岬	34°40'06"N	131°36'46"E
B 6	Susa, Hagi	萩市須佐	34°37'21"N	131°36'03"E
B 7	Nagaiso Beach, Susa, Hagi	萩市須佐長磯	34°37'27"N	131°35'04"E
B 8	Sogo, Abu, Abu	阿武郡阿武町惣郷	34°35'16"N	131°33'22"E
B 9	Utago Fishing Port, Uta, Abu, Abu	阿武郡阿武町宇田宇田郷漁港	34°33'50"N	131°32'37"E
B 10	Himejima island, Uta, Abu, Abu	阿武郡阿武町宇田姫島	34°33'44"N	131°31'02"E
B 11	Utashima island, Uta, Abu, Abu	阿武郡阿武町宇田宇田島	34°34'14"N	131°28'53"E
B 12	Uta, Abu, Abu	阿武郡阿武町宇田	34°34'01"N	131°32'28"E
B 13	Nago, Abu, Abu	阿武郡阿武町奈古	34°30'03"N	131°28'06"E
B 14	Tsutsuo, Nago, Abu, Abu	阿武郡阿武町奈古筒尾	34°30'46"N	131°27'17"E
B 15	Tsuchi, Nago, Abu, Abu	阿武郡阿武町奈古土	34°30'28"N	131°27'36"E
B 16	Abu, Abu	阿武郡阿武町		
B 17	Oiura Fishing Port, Oi, Hagi	萩市大井大井浦漁港	34°28'13"N	131°26'22"E
B 18	Oi, Hagi	萩市大井	34°28'05"N	131°27'58"E
B 19	Oshima island, Hagi	萩市大島	34°30'01"N	131°24'36"E
B 20	Aishima island, Hagi	萩市相島	34°30'27"N	131°16'51"E
B 21	Oshima island, Hagi	萩市尾島	34°30'03"N	131°20'32"E
B 22	Hajima island, Hagi	萩市羽島	34°27'52"N	131°22'03"E
B 23	Ushirobata, Chinto, Hagi	萩市椿東後小畑	34°26'19"N	131°25'17"E
B 24	Maeobata, Chinto, Hagi	萩市椿東前小畑	34°25'38"N	131°25'09"E
B 25	Chinto, Hagi	萩市椿東	34°25'19"N	131°25'39"E
B 26	Kushima island, Koshigahama, Chinto, Hagi	萩市椿東越ヶ浜九島	34°26'47"N	131°23'37"E
B 27	Koshigahama, Chinto, Hagi	萩市椿東越ヶ浜	34°27'01"N	131°24'40"E
B 28	Nakaobata, Chinto, Hagi	萩市椿東中小畑	34°26'06"N	131°24'56"E
B 29	Mouth of Matsumotogawa River, Chinto, Hagi	萩市椿東松本川河口	34°25'29"N	131°23'58"E
B 30	Higashihamasaki, Hagi	萩市東浜崎町	34°25'22"N	131°23'59"E
B 31	Kikugahama Beach, Horiuchi, Hagi	萩市堀内菊ヶ浜	34°25'01"N	131°23'22"E
B 32	Horiuchi Canal, Hagi	萩市堀内運河	34°24'54"N	131°23'01"E
B 33	Hashimotogawa River, Hagi	萩市橋本川	34°24'50"N	131°22'22"E
B 34	Kurae, Yamada, Hagi	萩市山田倉江	34°24'50"N	131°22'12"E
B 35	Yamada, Hagi	萩市山田	34°23'24"N	131°22'24"E
B 36	Sabashima island, Sanmi, Hagi	萩市三見鰐島	34°25'45"N	131°19'11"E
B 37	Akeishi, Sanmi, Hagi	萩市三見明石	34°23'05"N	131°18'40"E
B 38	Ii, Sanmi, Hagi	萩市三見飯井	34°22'48"N	131°17'48"E
B 39	Sanmi, Hagi	萩市三見	34°23'44"N	131°19'46"E
B 40	Hagi	萩市		
C 41	Omijima island, Senzaki, Nagato	長門市仙崎青海島	34°25'14"N	131°12'42"E
C 42	Ohibi, Senzaki, Nagato	長門市仙崎大日比	34°24'47"N	131°12'27"E
C 43	Otomari, Senzaki, Nagato	長門市仙崎大泊	34°24'11"N	131°11'52"E
C 44	Shitsura Bay, Senzaki, Nagato	長門市仙崎紫津浦湾	34°25'22"N	131°13'24"E
C 45	Kayoi, Nagato	長門市通	34°25'10"N	131°15'30"E
C 46	Sasajima island, Senzaki Bay, Nagato	仙崎湾笹島	34°24'30"N	131°16'35"E
C 47	Kojima island, Misumishimo, Nagato	長門市三隅下幸島	34°23'33"N	131°15'16"E
C 48	Nobase Fishing Port, Misumishimo, Nagato	長門市三隅下野波瀬漁港	34°22'54"N	131°14'52"E

Table 1. (continued).

Nos in Figs. 1–3	Point	Japanese notation	Latitude	Longitude
C 49	Mouth of Misumigawa River, Misuminaka, Nagato	長門市三隅中三隅川河口	34°22'30"N	131°13'23"E
C 50	Nobase, Misumishimo, Nagato	長門市三隅下野波瀬	34°22'49"N	131°14'57"E
C 51	Senzaki Fishing Port, Nagato	長門市仙崎漁港	34°23'30"N	131°12'11"E
C 52	Shirakata, Senzaki, Nagato	長門市仙崎白潟	34°23'05"N	131°12'15"E
C 53	Senzaki, Nagato	長門市仙崎	34°23'40"N	131°11'54"E
C 54	Senzaki Bay	仙崎湾	34°24'11"N	131°14'02"E
C 55	Fukawa Bay	深川湾	34°23'27"N	131°09'59"E
C 56	Kiwado, Hekikami, Nagato	長門市日置上黄波戸	34°23'32"N	131°08'16"E
C 57	Niinohama Beach, Hekinaka, Nagato	長門市日置中二位ノ浜	34°24'32"N	131°6'46"E
C 58	Tsuo, Yuya, Nagato	長門市油谷津黄	34°25'07"N	131°04'09"E
C 59	Ushirobata, Yuya, Nagato	長門市油谷後烟	34°24'39"N	131°02'53"E
C 60	Kawashiri, Yuya, Nagato	長門市油谷川尻	34°25'21"N	131°00'10"E
C 61	Mukatsukushima, Yuya, Nagato	長門市油谷向津具上		
C 62	Kawajirimisaki Cape, Mukatsukushima, Yuya, Nagato	長門市油谷向津具下川尻岬	34°26'28"N	130°58'24"E
C 63	Kawajirimisaki Cape, Mukatsukushima, Yuya, Nagato	長門市油谷向津具下北	34°23'42"N	130°56'45"E
C 64	Kuzu Fishing Port, Mukatsukukami, Yuya, Nagato	長門市油谷向津具上久津漁港	34°24'25"N	130°58'21"E
C 65	Kadoyama, Yuya, Nagato	長門市油谷角山	34°23'29"N	131°01'41"E
C 66	Igami Fishing Port, Yuya, Nagato	長門市油谷伊上漁港	34°22'23"N	131°01'22"E
C 67	Yuya Bay	油谷湾	34°23'02"N	130°59'11"E
C 68	Nagato	長門市		
D 69	Awano Fishing Port, Houhoku, Shimonoseki	下関市豊北町粟野漁港	34°21'36"N	130°58'52"E
D 70	Awanogawa River, Houhoku, Shimonoseki	下関市豊北町粟野川	34°21'27"N	130°57'58"E
D 71	Oura, Agawa, Houhoku, Shimonoseki	下関市豊北町阿川大浦	34°21'03"N	130°56'46"E
D 72	Agawa, Houhoku, Shimonoseki	下関市豊北町阿川	34°20'27"N	130°55'42"E
D 73	Akada Beach, Tsukuno, Kanda, Houhoku, Shimonoseki	下関市豊北町神田附野赤田浜	34°20'22"N	130°53'31"E
D 74	Tsunoshima island, Houhoku, Shimonoseki	下関市豊北町角島	34°20'58"N	130°51'00"E
D 75	Hiju, Kanda, Houhoku, Shimonoseki	下関市豊北町神田肥中	34°19'52"N	130°53'39"E
D 76	Nezumijima island, Kandakami, Houhoku, Shimonoseki	下関市豊北町神田上鼠島	34°18'18"N	130°52'00"E
D 77	Doigahama Beachi, Kandakami, Houhoku, Shimonoseki	下関市豊北町神田上土井ヶ浜	34°17'56"N	130°53'05"E
D 78	Kanda, Houhoku, Shimonoseki	下関市豊北町神田		
D 79	Houhoku, Shimonoseki	下関市豊北町		
D 80	Kitauka, Houhoku, Shimonoseki	下関市豊北町北宇賀	34°14'56"N	130°54'37"E
D 81	Uka, Toyoura, Shimonoseki	下関市豊浦町宇賀	34°12'46"N	130°55'51"E
D 82	Kogushi, Toyoura, Shimonoseki	下関市豊浦町小串	34°10'34"N	130°55'48"E
D 83	Murotushima, Toyoura, Shimonoseki	下関市豊浦町室津下	34°08'06"N	130°53'15"E
D 84	Toyoura, Shimonoseki	下関市豊浦町		
D 85	Yoshimo, Shimonoseki	下関市吉母	34°05'53"N	130°52'33"E
D 86	Yoshimo Fishing Port, Shimonoseki	下関市吉母漁港	34°05'19"N	130°52'28"E
D 87	Nagatahonmachi, Shimonoseki	下関市永田本町	34°04'11"N	130°53'37"E
D 88	Yoshimihonmachi, Shimonoseki	下関市吉見本町	34°04'07"N	130°54'08"E
D 89	Yoshimikojyuku, Shimonoseki	下関市吉見古宿	34°03'47"N	130°54'09"E
D 90	Fukue, Shimonoseki	下関市福江	34°02'50"N	130°54'55"E
D 91	Yasuokahonmachi, Shimonoseki	下関市安岡本町	34°01'32"N	130°54'38"E
D 92	Futaoijima island, Shimonoseki	下関市蓋井島	34°06'14"N	130°47'07"E
D 93	Mutsurejima islands, Shimonoseki	下関市六連島	33°58'31"N	130°51'51"E
D 94	Takehisa, Shimonoseki	下関市武久	33°58'54"N	130°54'58"E
D 95	Izaki, Shimonoseki	下関市伊崎	34°57'15"N	130°54'28"E
D 96	Nishiyama Beachi, Sako, Hikoshima island, Shimonoseki	下関市彦島迫町西山ビーチ	33°56'40"N	130°53'50"E
D 97	Nishiyama, Hikoshima island, Shimonoseki	下関市彦島迫町西山	33°56'51"N	130°53'51"E
D 98	Hikoshima island, Shimonoseki	下関市彦島	33°55'58"N	130°54'36"E
D 99	Shimonoseki	下関市		

Orectolobiformes テンジクザメ目**Hemiscylliidae テンジクザメ科*****Chiloscyllium punctatum* Müller and Henle, 1838**

イヌザメ (Fig. 4A)

文献 堀 (2005) : HH-Pi 188, 萩市沖, *Scyliorhinus torazame* トラザメと報告.

備考 HH-Pi 188 は体が細長い、頭部側面と喉部には皮弁がない、背鰭は2基、口は眼よりも前方で下位、体に白点がなく、暗色横帯がある、第一背鰭は腹鰭基底の前半上から始まるなどの特徴が Müller and Henle (1838), 仲谷・白石 (1988) および吉野ほか (2013a) の *Chiloscyllium punctatum* と形態の記載がよく一致したため、本種に同定した。本標本は萩市沖で採集されたこと以外の詳細は不明である。

仲谷・白石 (1988), 吉野ほか (2013a) によれば、本種は日本沿岸海域からは尖閣諸島に分布するとされているが、益田ほか (1984), 仲谷・白石 (1988) の画像記録しかなく、それ以降も与那国島から Koeda et al. (2016) により本種の分布が報告されているが、画像のみの記録であり標本に基づいていない。したがって本報告は証拠標本を伴う日本海初の記録であるとともに、日本沿岸海域で初めての標本記録である。萩博物館では乾燥標本として保存されている。

Rhincodontidae ジンベエザメ科***Rhincodon typus* Smith, 1828**

ジンベエザメ

画像 KPM-NR 198821, 萩市江崎沖, 2017年11月10日.

Lamniformes ネズミザメ目**Lamnidae ネズミザメ科*****Carcharodon carcharias* (Linnaeus, 1758)**

ホホジロザメ

文献 堀 (2005) : HH-Pi 164, 長門市通沖; 堀ほか (2014) : HH-Pi 164 (fig. 26), 長門市通沖, 頸標本.

***Isurus oxyrinchus* Rafinesque, 1810**

アオザメ

標本 HH-Pi 147, 全長 713 mm, 萩市沖, 乾燥標本.

画像 KPM-NR 198880A, B, 長崎県対馬北東沖, 2016年12月22日; KPM-NR 198886, 長門市通沖, 2014年6月4日.

文献 堀ほか (2014) : fig. 27, 長門市通沖.

Carcharhiniformes メジロザメ目**Scyliorhinidae トラザメ科*****Scyliorhinus torazame* (Tanaka, 1908)**

トラザメ

標本 FAKU 138881, 全長 406 mm, 山口県沖, 水深 139 m, 2015年7月29日.

画像 KPM-NR 198403, 全長 406 mm, 山口県沖, 水深 139 m, 2015年7月29日; KPM-NR 198404, 長門市沖, 1997年8月27日; KPM-NR 198405, 長崎県対馬東沖; KPM-NR 198406, 山口県沖, 水深 136 m, 2017年6月19日.

文献 堀 (2005) : HH-Pi 155, 萩市沖.

Pentanchidae ヘラザメ科

(ヘラザメ科の学名は Dyldin (2015), 和名は萬代 (2019a) に従った)

***Halaelurus buergeri* (Müller and Henle, 1838)**

ナガサキトラザメ

標本 HH-Pi 157, 萩市沖.

備考 本種の学名は Dyldin (2015) に従った.

Proscylliidae タイワンザメ科***Proscyllium habereri* Hilgendorf, 1904**

タイワンザメ (Fig. 4B)

標本 HH-Pi 154, 全長 504 mm, 萩市沖, 1953 年 5 月 8 日, 乾燥標本.

備考 HH-Pi 154 は, 体は細長い, 口は下位, 背鰭は 2 基, 臀鰭がある, 第 1 背鰭基部は腹鰭よりも前, 臀鰭基部は第 2 背鰭基部よりも前, 体には黒点が散在するなどの特徴が Hilgendorf (1904), 吉野ほか (2014b) および池田・中坊 (2015) の *Proscyllium habereri* と形態および色彩の記載がよく一致したため, 本種に同定した. 本標本は萩市沖で採集されたこと以外の詳細は不明である.

日本沿岸海域からは, 和歌山県白浜, 高知県および九州南岸からの記録があるが (後藤, 2001; 山下ほか, 2012; Nakae et al., 2018; 萬代, 2019b), 日本海からは報告がない. したがって, 本報告は証拠標本を伴う日本海初の記録である.

Triakididae ドチザメ科***Hemitriakis japanica* (Müller and Henle, 1839)**

エイラクブカ

標本 HH-Pi 2633, 全長 970 mm, 下関市伊崎沖, 2019 年 6 月 18 日; HH-Pi 2634, 全長 890 mm, 下関市伊崎沖, 2019 年 6 月 18 日.

画像 KPM-NR 203256A, B, 全長 970 mm, KPM-NR 203257A, B, 全長 890 mm, 下関市伊崎沖, 2019 年 6 月 18 日.

***Mustelus griseus* Pietschmann, 1908**

シロザメ

標本 HH-Pi 422, 全長 625 mm, 萩市堀内菊ヶ浜沖, 2010 年 11 月 4 日.

文献 藤原ほか (2018) : KAUM-I. 97679 (fig. 4A), 下関市永田本町沖.

***Mustelus manazo* Bleeker, 1855**

ホシザメ

標本 FAKU 132888, 萩市大島沖, 2010 年 12 月 7 日; FAKU 138146, 萩市大島沖, 2015 年 5 月 21 日; HH-Pi 814, 下関市沖, 水深 30 m, 2018 年 3 月 12 日.

画像 KPM-NR 198521, 長門市沖, 2003 年 10 月 2 日; KPM-NR 198522, 萩市大島沖, 2010 年 12 月 7 日; KPM-NR 198523, 萩市大島沖, 2015 年 5 月 21 日; KPM-NR 198693, 下関市沖, 水深 30 m, 2018 年 3 月 12 日.

文献 藤原ほか (2018) : KAUM-I. 97430 (fig. 4B), 下関市蓋井島と六連島の間.

***Triakis scyllium* Müller and Henle, 1839**

ドチザメ

画像 KPM-NR 198397, 長門市沖, 2011 年 12 月 14 日; KPM-NR 198885, 萩市見島東沖, 水深 90 m, 2018 年 5 月 11 日.

Carcharhinidae メジロザメ科***Carcharhinus brachyurus* (Günther, 1870)**

クロヘリメジロザメ

画像 KPM-NR 198801, 長門市日置上黄波戸沖, 2016年10月26日.

***Carcharhinus brevipinna* (Valenciennes, 1839)**

ハナザメ

画像 KPM-NR 198448, 長門市日置上黄波戸沖, 2008年8月29日.

備考 本種の学名は藤原(2018)に従った.

***Carcharhinus maculot* (Müller and Henle, 1839)**

ホコサキ

標本 HH-Pi 443, 全長 670 mm, 下関市豊浦町室津下沖, 2006年9月6日.

***Galeocerdo cuvier* (Péron and Lesueur, 1822)**

イタチザメ

文献 堀ほか(2014):HH-Pi 394, 萩市椿東越ヶ浜沖; 堀ほか(2014):fig. 28, 下関市蓋井島沖.

***Prionace glauca* (Linnaeus, 1758)**

ヨシキリザメ

画像 KPM-NR 198901A, B, C, 長門市仙崎青海島沖, 2018年1月31日.

Sphyrnidæ シュモクザメ科***Sphyrna lewini* (Griffith and Smith, 1834)**

アカシュモクザメ

標本 HH-Pi 740, HH-Pi 742, 萩市江崎沖, 2018年8月7日.

文献 堀ほか(2014):fig. 29, 下関市豊浦町室津下沖.

***Sphyrna zygaena* (Linnaeus, 1758)**

シロシュモクザメ

画像 KPM-NR 198333, 萩市沖, 2009年10月31日.

文献 堀(2005):HH-Pi 191, 萩市沖.

Hexanchiformes カグラザメ目**Hexanchidae カグラザメ科*****Heptranchias perlo* (Bonnaterre, 1788)**

エドアブラザメ

文献 堀(2005):HH-Pi 161, 萩市沖.

Notorynchidae エビスザメ科***Notorynchus cepedianus* (Péron, 1807)**

エビスザメ

標本 HH-Pi 162, 全長 439 mm, 萩市沖, 1946年5月.

文献 堀(2005):HH-Pi 192, 萩市沖.

Squaliformes ツノザメ目

Squalidae ツノザメ科

***Squalus acanthias* Linnaeus, 1758**

アブラツノザメ

画像 KPM-NR 198993A, B, 萩市沖, 2015年5月21日.

***Squalus* sp.**

ツノザメ属の未同定種

画像 KPM-NR 198994A, B, 萩市沖, 2015年5月21日.

Squatinaformes カスザメ目

Squatiniidae カスザメ科

***Squatina japonica* Bleeker, 1858**

カスザメ

標本 HH-Pi 743, 萩市江崎沖, 2018年8月7日.

画像 KPM-NR 198144, 萩市沖, 2014年3月18日.

文献 藤原ほか (2018) : KAUM-I. 87216 (fig. 4C), 萩市見島沖.

Rhynchobatiformes トンガリサカタザメ目

Rhynchobatidae トンガリサカタザメ科

***Rhina ancylostomus* Bloch and Schneider, 1801**

シノノメサカタザメ

標本 HH-Pi 748, 全長 1540 mm, 長門市油谷津黄沖, 剥製.

画像 KPM-NR 198307, KPM-NR 198628A, B, 全長 1310 mm, 長門市油谷後畠沖, 水深 10 m, 2009年9月8日.

Rhinobatiformes サカタザメ目

Rhinobatidae サカタザメ科

***Rhinobatos hynnicephalus* Richardson, 1846**

コモンサカタザメ

標本 HH-Pi 744, 萩市江崎沖, 2018年8月7日; HH-Pi 856, 全長 177.4 mm, 下関市沖, 2017年7月28日.

画像 KPM-NR 198262, 長門市仙崎港, 1997年7月13日; KPM-NR 198738, 全長 177.4 mm, 下関市沖, 2017年7月28日.

文献 藤原ほか (2018) : KAUM-I. 97677 (fig. 4D), 下関市蓋井島と六連島の間.

***Rhinobatos schlegelii* Müller and Henle, 1841**

サカタザメ

標本 HH-Pi 2670, 全長 719 mm, 萩市江崎沖, 2019年9月19日.

Platyrrhinidae ウチワザメ科

***Platyrrhina tangi* Iwatsuki, Zhang and Nakaya, 2011**

ウチワザメ

標本 HH-Pi 182, 全長 414 mm, 萩市沖, 乾燥標本; HH-Pi 688, 全長 550 mm, 萩市沖, 2009年12月; HH-Pi 787, 下関市豊浦町室津下沖, 2017年3月28日.

画像 KPM-NR 198665, 下関市豊浦町室津下沖, 2017年3月28日.

Torpediniformes シビレエイ目**Narkidae シビレエイ科**

(シビレエイ科の和名は萬代ほか (2017) に従った)

Narke japonica* (Temminck and Schlegel, 1850)*シビレエイ**

標本 FAKU 134707, FAKU 134708, FAKU 134709, FAKU 134710, 長崎県対馬北東沖, 2011年10月28日; SNFR 15894, 山口県沖, 水深109m, 1995年5月24日.

画像 KPM-NR 198308, 長崎県対馬北東沖, 2011年10月28日; KPM-NR 198309A, B, 長崎県対馬北東沖, 2011年10月28日; KPM-NR 198310, 長門市沖, 1997年7月18日; KPM-NR 198311, 長崎県対馬東沖, 2006年5月29日.

文献 堀ほか (2014) : fig. 30, 萩市見島沖; 藤原ほか (2018) : NFU-510-19 (fig. 4E), 下関市吉見本町.

Rajiformes ガンギエイ目**Rajidae ガンギエイ科*****Beringraja pulchra* (Liu, 1932)****メガネカスベ**

標本 SNFR 15429, 全長108.9mm, 山口県沖, 水深123–123m, 1997年7月19日.

備考 本種の学名はLast et al. (2016b) に従った.

Dipturus kwangtungensis* (Chu, 1960)*ガンギエイ**

標本 FAKU 138899, 長門市油谷向津具下川尻岬沖, 水深121m, 2015年7月30日; FAKU 143604, 全長131.6mm, FAKU 143605, 全長122.1mm, FAKU 143606, 全長97.3mm, FAKU 143607, 全長107.5mm, FAKU 143608, 全長114.0mm, FAKU 143609, 全長100.1mm, 山口県沖, 水深138m, 2016年10月17日; FAKU 145374, 全長225.0mm, FAKU 145375, 全長189.0mm, FAKU 145376, 全長163.0mm, FAKU 145377, 全長152.5mm, FAKU 145378, 全長142.4mm, FAKU 145379, 全長147.1mm, FAKU 145380, 全長145.2mm, FAKU 145381, 全長105.2mm, 山口県沖, 2017年6月19日.

画像 KPM-NR 198165, 長門市油谷向津具下川尻岬沖, 水深121m, 2015年7月30日; KPM-NR 198166, 萩市見島西沖, 2006年5月29日; KPM-NR 198167, 萩市見島西沖, 2006年5月30日.

Dipturus tengu* (Jordan and Fowler, 1903)*テングカスベ**

標本 FAKU 208501, FAKU 208502, 長門市仙崎沖, 2010年5月6日.

画像 KPM-NR 198387A, B, 長門市仙崎沖, 2010年5月6日.

Okamejei acutispina* (Ishiyama, 1958)*モヨウカスベ**

標本 FAKU 138903, 全長275.0mm, 長門市仙崎青海島沖, 水深84m, 2015年7月30日; FAKU 143618, 全長336mm, 下関市豊北町角島西沖, 水深126m, 2016年12月12日; SNFR 11862, 全長410mm, 山口県沖, 水深100m, 1997年7月28日.

画像 KPM-NR 198610A, B, 下関市豊北町角島北西沖, 水深126m, 2016年12月12日; KPM-NR 198612, 長門市沖, 1998年9月9日; KPM-NR 198613, 長崎県対馬東沖, 2006年4月14日; KPM-NR 198614A, B, 全長275.0mm, 長門市仙崎青海島沖, 水深84m, 2015年7月30日.

文献 藤原ほか (2018) : KAUM-I. 97678 (fig. 4F), 下関市蓋井島と六連島の間.

Okamejei boesemani (Ishihara, 1958)

イサゴガンギエイ

標本 HH-Pi 886, 全長 260.0 mm, 萩市見島東沖, 水深 60–70 m, 2017 年 4 月 12 日.

画像 KPM-NR 198769, 全長 260.0 mm, 萩市見島東沖, 水深 60–70 m, 2017 年 4 月 12 日; KPM-NR 198981, 全長 290.0 mm, 萩市見島西沖, 2005 年 5 月 28 日.

Okamejei kenojei (Bürguer, 1841)

コモンカスベ

標本 FAKU 134674, 全長 102.3 mm, 長門市沖, 2011 年 10 月 7 日; FAKU 143610, 全長約 57.9 mm (尾部欠損), 山口県沖, 水深 138 m, 2016 年 10 月 17 日; FAKU 143614, 全長 128.4 mm, 下関市豊北町角島西沖, 水深 98 m, 2016 年 12 月 12 日; FAKU 145382, 全長 124.0 mm, FAKU 145385, 全長 164.0 mm, FAKU 145386, 全長 133.6 mm, 山口県沖, 2017 年 6 月 19 日; FAKU 145372, 全長 183.0 mm, 山口県沖, 2017 年 7 月 13 日; FAKU 208496, FAKU 208497, 長門市仙崎沖, 2010 年 4 月 16 日; FAKU 208498, FAKU 208499, FAKU 208500, 長門市仙崎沖, 2010 年 5 月 6 日.

画像 KPM-NR 198259, 山口県沖, 水深 138 m, 2016 年 10 月 17 日; KPM-NR 198260A,B, 長門市仙崎沖, 2010 年 4 月 16 日; KPM-NR 198261A,B, 長門市仙崎沖, 2010 年 5 月 6 日.

備考 本種の学名は Jones et al. (2015) に従った.

Okamejei meerdervoortii (Bleeker, 1860)

メダマカスベ

標本 FAKU 143617, 全長 320 mm, 下関市豊北町角島西沖, 水深 129 m, 2016 年 12 月 12 日; FAKU 145391, 全長 326 mm, 萩市見島西沖, 水深 131 m, 2017 年 6 月 20 日; SNFR 11207, 全長 324 mm, 山口県沖, 水深 129 m, 1997 年 7 月 17 日.

画像 KPM-NR 198609A, B, 下関市豊北町角島北西沖, 水深 129 m, 2016 年 12 月 12 日.

Rajidae, undetermined genus and species

ガンギエイ科の未同定種

標本 SNFR 11864, 全長 435 mm, 山口県沖, 水深 115 m, 1997 年 7 月 28 日.

Arhynchobatidae ヒツビレカスベ科

(ヒツビレカスベ科の学名, 和名は石原 (2012) に従った)

Bathyraja bergi Dolganov, 1983

ソコガンギエイ

標本 FAKU 143873, 山口県沖, 水深 166 m, 2017 年 1 月 25 日.

画像 KPM-NR 198352A, B, 山口県沖, 水深 166 m, 2017 年 1 月 25 日.

Bathyraja smirnovi (Soldatov and Pavlenko, 1915)

ドブカスベ

標本 FAKU 141896, 全長 312 mm, FAKU 141897, 全長 350 mm, FAKU 141898, 全長 345 mm, FAKU 141899, 全長 330 mm, FAKU 141900, 全長 360 mm, FAKU 141901, 全長 248.0 mm, FAKU 141902, 全長 490 mm, 山口県沖, 2016 年 5 月 10 日; SNFR 16019, 全長 243.4 mm, SNFR 16024, 全長 154.5 mm, 山口県沖, 水深 354 m, 1995 年 5 月 26 日.

Myliobatiformes トビエイ目

Dasyatidae アカエイ科

***Bathytoshia brevicaudata* (Hutton, 1875)**

ホシエイ

画像 KPM-NR 198884, 下関市豊浦町室津下沖, 2018年4月6日.

備考 本種の学名は Last et al. (2016a) に従った.

***Hemitrygon akajei* (Bürger, 1841)**

アカエイ

標本 HH-Pi 610, 萩市三見沖, 2016年10月3日; HH-Pi 695, 長門市沖, 2017年5月9日; HH-Pi 785, HH-Pi 786, 下関市豊浦町室津下沖, 2017年3月18日; HH-Pi 863, 全長170.0mm, 萩市沖, 2017年5月12日.

画像 KPM-NR 198026A, B, 萩市大島沖, 2017年5月17日; KPM-NR 198663, KPM-NR 198664, 下関市豊浦町室津下沖, 2017年3月18日; KPM-NR 198745, 全長170.0mm, 萩市沖, 2017年5月12日.

文献 堀ほか (2014) : fig. 32, 下関市豊浦町室津下沖; 藤原ほか (2018) : KAUM-I. 95640 (fig. 4G), 萩市見島沖.

備考 本種の学名は Last et al. (2016a) に従った.

***Hemitrygon laevigata* (Chu, 1960)**

シロエイ

文献 藤原ほか (2018) : KAUM-I. 97338 (fig. 4H), 萩市見島沖.

備考 本種の学名は Last et al. (2016a) に従った.

***Pteroplatytrygon violacea* (Bonaparte, 1832)**

カラスエイ

標本 HH-Pi 575, 長門市仙崎沖, 2016年8月3日; HH-Pi 2652, 長門市日置上黄波戸沖, 2011年10月28日.

画像 KPM-NR 198159, 長門市仙崎沖, 2016年8月3日; KPM-NR 203280A, B, 長門市日置上黄波戸沖, 2011年10月28日.

文献 河野ほか (2015) : fig. 1-2, 長門市三隅下野波瀬沖.

***Taeniurops meyeni* (Müller and Henle, 1841)**

マダラエイ

画像 KPM-NR 198856, 長門市日置上黄波戸沖, 2009年10月30日.

備考 本種の学名は Last et al. (2016a) に従った.

Gymnuridae ツバクロエイ科***Gymnura japonica* (Temminck and Schlegel, 1850)**

ツバクロエイ

標本 HH-Pi 741, 萩市江崎沖, 2018年8月7日.

画像 KPM-NR 198378, 萩市須佐沖, 2012年5月1日.

文献 堀 (2005) : HH-Pi 139, 萩市沖; 堀ほか (2014) : fig. 33, 下関市豊浦町室津下沖.

Myliobatidae トビエイ科***Myliobatis tobijei* Bleeker, 1854**

トビエイ

標本 HH-Pi 750, 萩市三見沖, 2017年4月21日.

画像 KPM-NR 198398, 萩市大島沖, 2010年12月7日; KPM-NR 198399, 長門市仙崎沖, 2011年7月6日; KPM-NR 198400, 長門市沖, 2012年7月3日; KPM-NR 198722, 萩市三見沖, 2017年4月21日.

文献 堀 (2005):HH-Pi 137, 萩市沖; 堀ほか (2014):FAKU 132887, 萩市大島沖; 堀ほか (2014): HH-Pi 137, 萩市沖; 堀ほか (2014): fig. 34, 萩市大島沖.

Aetobatidae マダラトビエイ科

***Aetobatus narutobiei* White, Furumitsu and Yamaguchi, 2013**

ナルトビエイ

画像 KPM-NR 198421, 長門市仙崎港, 2008年1月16日; KPM-NR 198422, 長門市仙崎沖, 2008年10月15日.

備考 本種の学名は White et al. (2013) に従った.

***Aetobatus ocellatus* (Kuh, 1823)**

マダラトビエイ

標本 HH-Pi 2615, 全長 400 mm, 下関市豊北町神田上鼠島沖, 2018年11月14日, 頸標本.

画像 KPM-NR 203240, 全長 400 mm, 下関市豊北町神田上鼠島沖, 2018年11月14日.

文献 堀 (2005): HH-Pi 138, 萩市椿東越ヶ浜沖.

備考 本種の学名は Last et al. (2016b) に従った.

Aetobatidae, undetermined genus and species

マダラトビエイ科の未同定種

文献 堀 (2005): HH-Pi 136, 阿武郡阿武町宇田沖, 頸標本, *Mobula japonica* イトマキエイと報告.

備考 HH-Pi 136 は頸標本のみであり再同定が困難であったためトビエイ科の未同定種とした.

Mobulidae イトマキエイ科

***Mobula japonica* (Müller and Henle, 1841)**

イトマキエイ

標本 HH-Pi 745, 山口県沖.

画像 KPM-NR 198807, 萩市山田沖, 2015年11月17日; KPM-NR 198869, 長門市通沖, 2009年12月17日; KPM-NR 198870, 下関市蓋井島沖, 2009年10月16日.

***Mobula tarapacana* (Philippi, 1892)**

タイワンイトマキエイ

文献 河野ほか (2011a): fig. 1-1, 萩市相島北西沖.

備考 河野ほか (2011a) の fig. 1-1 は, 小林ほか (2006) で *Manta birostris* オニイトマキエイと同定していたが, 河野ほか (2011a) で本種と再同定した. 本報告もそれに従った.

Urolophidae ヒラタエイ科

***Urolophus aurantiacus* Müller and Henle, 1841**

ヒラタエイ

標本 FAKU 134649, 全長 383 mm, 水深 90 m, 2011年10月7日.

画像 KPM-NR 198481, 長門市沖, 水深 90 m, 2011年10月7日; KPM-NR 198482, 長門市沖, 1997年7月18日.

文献 堀ほか (2014): fig. 31, 萩市見島沖.

Acipenseriformes チョウザメ目**Acipenseridae チョウザメ科*****Acipenser sinensis* Gray, 1835****カラチョウザメ**

文献 竹内（1979）：No.7 (HH-Pi 747) 萩市須佐沖, 剥製.

備考 竹内（1979）で No.7 とされた標本は、萩博物館に HH-Pi 747 として収蔵されている.

Elopiformes カライワシ目**Elopidae カライワシ科*****Elops hawaiensis* Regen, 1909****カライワシ**

画像 KPM-NR 198158, 長門市日置上黄波戸沖, 2012年6月19日.

文献 小林ほか（2006）：OMNH-P 25902, 下関市豊浦町室津下沖.

Megalopidae イセゴイ科***Megalops cyprinoides* (Broussonet, 1782)****イセゴイ**

標本 HH-Pi 401, 下関市豊浦町室津下沖.

画像 KPM-NR 198077, 長門市沖, 2013年11月6日.

Albuliformes ソトイワシ目**Albulidae ソトイワシ科*****Albula koreana* Kwun and Kim, 2011****ソトイワシ**

標本 HH-Pi 2156, 体長 38.8 mm, 下関市豊北町神田上土井ヶ浜沖, 2001年3月10日.

備考 本種の学名は Kwun and Kim (2011) に従った.

Anguilliformes ウナギ目**Muraenidae ウツボ科*****Gymnothorax kidako* (Temminck and Schlegel, 1846)****ウツボ**

文献 堀（2005）：HH-Pi 114, 萩市沖；堀ほか（2014）：HH-Pi 114, fig. 35, 萩市沖.

Gymnothorax minor* (Temminck and Schlegel, 1846)*アミウツボ**

標本 HH-Pi 112, 全長 706 mm, 萩市沖, 1846 年以前.

文献 堀（2005）：HH-Pi 112, 萩市沖；堀ほか（2014）：HH-Pi 112, 萩市沖；堀ほか（2014）：fig. 36, 長門市沖；藤原ほか（2018）：KAUM-I. 97337 (fig. 4I), 長門市油谷川尻.

Gymnothorax prionodon* Ogilby, 1895*ユリウツボ**

画像 KPM-NR 198631, 萩市須佐沖, 2005年6月27日；KPM-NR 203260A, B, 全長 985 mm, 長門市仙崎沖, 2018年10月19日.

Gymnothorax pseudothyrsoides* (Bleeker, 1852)*アミメウツボ**

画像 KPM-NR 203258, 下関市伊崎沖, 2007年2月22日.

***Strophidon ui* Tanaka, 1918**

タケウツボ (Fig. 4C)

標本 HH-Pi 2632, 全長 1650 mm, 下関市伊崎沖, 2018 年 10 月 17 日.

画像 KPM-NR 203255A, B, 全長 1650 mm, 下関市伊崎沖, 2018 年 10 月 17 日.

備考 HH-Pi 2632 は、体は細く、著しく長い、背鰭、臀鰭は明瞭、吻は尖る、体色は一様に茶褐色で模様はない、背鰭、臀鰭の縁辺は黒褐色、眼下後方に頭部側線官孔がないなどの特徴が、田中 (1918), 波戸岡 (2013a) の *Strophidon ui* と形態および色彩の記載がよく一致したため、本種に同定した。本標本は、下関市伊崎沖の筒漁で漁獲された。

日本沿岸海域からは、駿河湾、田辺湾、尾鷲湾、土佐湾および九州南西部からの記録があるが (田中, 1918; Tawa et al., 2012; 波戸岡, 2013a; 田和, 2014; Hibino et al., 2017), 日本海からは報告がない。したがって、本報告は証拠標本を伴う日本海初の記録である。

Synaphobranchidae ホラアナゴ科***Dysomma anguillare* Branard, 1923**

アサバホラアナゴ

画像 KPM-NR 150269, 長門市仙崎青海島沖.

Ophichthidae ウミヘビ科***Callechelys kuro* (Kuroda, 1947)**

クロウミヘビ (Fig. 4D)

画像 KPM-NR 205043, 長門市仙崎青海島, 2016 年 8 月 4 日.

備考 KPM-NR 205043 は、潜砂しており頭部の一部しか出ていないが、地肌の色は黄褐色で、眼の後方と、眼下の上顎に白色斑があるなどの特徴が、McCosker et al. (2011) の *Callechelys kuro* と色彩の記載が一致したため、本種に同定した。

日本沿岸海域からは、静岡県沼津、三重県御座、土佐湾、愛媛県室手湾からの記録があるが (McCosker et al., 2011; 波戸岡, 2013b), 日本海からは報告がない。したがって、本報告は証拠画像を伴う日本海初の記録である。本海域からの本種の記録は画像のみで標本は得られていない。

***Echelus uropterus* (Temminck and Schlegel, 1846)**

ヒレアナゴ

標本 FAKU 134817, 全長 270.0 mm, 下関市沖, 2012 年 2 月 29 日; FAKU 143652, 全長 434 mm, 下関市豊北町角島西沖, 水深 127 m, 2016 年 12 月 12 日; FAKU 145436, 全長 419 mm, 山口県沖, 2017 年 7 月 12 日; SNFR 15909, 全長 473 mm, 山口県沖, 水深 127 m, 1995 年 5 月 24 日.

画像 KPM-NR 198489, 下関市豊北町角島北西沖, 水深 127 m, 2016 年 12 月 12 日; KPM-NR 198488, 長門市沖, 1997 年 8 月 27 日.

文献 堀ほか (2014) : HH-Pi 299, 萩市堀内菊ヶ浜沖, *Ophisurus macrorhynchus* ダイナンウミヘビと報告.

備考 HH-Pi 299 は、後鼻孔は皮弁で覆われる、胸鰭と、短い尾鰭がある、歯は顆粒状で歯帯を形成する、眼の後上方に側線孔はない等の特徴が、Temminck and Schlegel (1846), 浅野 (1988), 波戸岡 (2013b) および池田・中坊 (2015) の *Echelus uropterus* と形態の記載がよく一致したため、本種に再同定した。

***Ophichthus urolophus* (Temminck and Schlegel, 1846)**

スソウミヘビ

画像 KPM-NR 198340, 長崎県対馬東沖, 2006 年 10 月 25 日.

***Ophichthus zophistius* (Jordan and Snyder, 1901)**

ホタテウミヘビ

標本 FAKU 133064, 全長 1032 mm, 長門市仙崎大泊沖, 2011 年 7 月 29 日; HH-Pi 245, 全長 964 mm, 萩市沖; HH-Pi 2501, 下関市豊北町神田上土井ヶ浜沖; HH-Pi 2502, HH-Pi 2503, HH-Pi 2504, 下関市豊北町神田上土井ヶ浜沖; HH-Pi 2505, 3 個体, 下関市豊北町神田上土井ヶ浜沖, 2001 年 9 月 7 日.

画像 KPM-NR 198528, 全長 1032 mm, 長門市仙崎大泊沖, 2011 年 7 月 29 日.

備考 本種の学名は Hibino et al. (2019) に従った.

***Ophisurus macrorhynchos* Bleeker, 1852**

ダイナンウミヘビ

標本 FAKU 146066, 全長 878 mm, 長門市通沖, 2018 年 1 月 27 日.

画像 KPM-NR 198355, 長崎県対馬東沖, 2009 年 4 月 24 日.

文献 堀 (2005) : HH-Pi 115, 萩市堀内菊ヶ浜沖; 堀ほか (2014) : fig. 37, 萩市椿東沖.

***Pisodonophis cancivorus* (Richardson, 1848)**

ミナミホタテウミヘビ

画像 KPM-NR 198584, 長門市仙崎港, 2008 年 9 月 5 日.

***Scolecenchelys aoki* (Jordan and Snyder, 1901)**

ミサキウナギ

文献 Machida and Ohta (1993) : BSKU 81581 (figs. 2–4), 萩市見島沖; Hibino and Kimura (2016) : BSKU 81581 (fig. 2b), 萩市見島沖.

備考 Machida and Ohta (1993) は BSKU 81581 (figs. 2–4) を *Muraenichthys japonicus* ニホンミズアナゴのホロタイプ標本として記載したが, Hibino and Kimura (2016) は, BSKU 81581 を本種として扱った. 本報告もそれに従った.

***Scolecenchelys* sp.**

ミニズアナゴ属の未同定種

標本 SNFR 16634, 全長 196.3 mm, 山口県沖, 水深 121 m, 2001 年 7 月 16 日.

Congridae アナゴ科

***Ariosoma major* (Asano, 1958)**

オオシロアナゴ

標本 SNFR 15880, 全長 300 mm, 山口県沖, 水深 117 m, 1998 年 7 月 27 日.

***Ariosoma meeki* (Jordan and Snyder, 1900)**

ゴテンアナゴ

画像 KPM-NR 198251, 長門市油谷湾, 2008 年 6 月 28 日.

***Ariosoma shiroanago* (Asano, 1958)**

シロアナゴ

標本 SNFR 11947, 全長 396 mm, 山口県沖, 水深 96–103 m, 1992 年 7 月 17 日.

***Conger jordani* Kanazawa, 1958**

クロアナゴ

画像 KPM-NR 198208, 萩市沖, 2006 年 4 月 19 日.

備考 本種の学名は Smith et al. (2016) に従った.

***Conger myriaster* (Brevoort, 1856)**

マアナゴ

標本 HH-Pi 763, 全長 513 mm, 萩市三見沖, 2017 年 4 月 21 日; HH-Pi 773, 下関市豊浦町室津下沖, 2017 年 3 月 29 日.

画像 KPM-NR 198211, 下関市豊浦町室津下沖, 2017 年 3 月 29 日; KPM-NR 198534, 長門市仙崎港, 1997 年 6 月 27 日; KPM-NR 198864, 萩市三見沖, 2017 年 4 月 21 日; KPM-NR 198986, 下関市伊崎沖, 2015 年 1 月 15 日.

文献 堀ほか (2014) : fig. 38, 阿武郡阿武町惣郷沖; 藤原ほか (2018) : KAUM-I. 97431 (fig. 4J), 下関市蓋井島と六連島の間.

***Gnathophis heterognathos* (Bleeker, 1858)**

ギンアナゴ

標本 FAKU 143622, 山口県沖, 2016 年 5 月 7 日; KMNH VR 100260, 全長 450 mm, 萩市見島東沖, 水深 60–72 m, 2017 年 4 月 12 日.

画像 KPM-NR 198189, 長門市沖, 1997 年 8 月 27 日; KPM-NR 198192, 山口県沖, 2016 年 5 月 7 日; KPM-NR 198190, 長崎県対馬東沖, 2006 年 5 月 29 日; KPM-NR 198191, 長崎県対馬東沖, 2006 年 5 月 30 日; KPM-NR 198771, 全長 450 mm, 萩市見島東沖, 水深 60–72 m, 2017 年 4 月 12 日.

Muraenesocidae ハモ科

***Muraenesox cinereus* (Forsskål, 1775)**

ハモ

画像 KPM-NR 198455A, B, C, D, D, F, G, H, 下関市豊浦町室津下沖, 2004 年 6 月 25 日.

文献 堀ほか (2014) : fig. 39, 萩市見島沖; 藤原ほか (2018) : KAUM-I. 97403 (fig. 4K), 下関市蓋井島と六連島の間.

***Oxyconger leptognathus* (Bleeker, 1858)**

ハシナガアナゴ

文献 堀 (2005) : HH-Pi 118, 萩市沖.

Nettastomatidae クズアナゴ科

***Saurencelys cancrivora* Peters, 1864**

イトアナゴ

文献 堀 (2005) : HH-Pi 117, 萩市沖.

Clupeiformes ニシン目

Clupeidae ニシン科

***Clupea pallasii* Valenciennes, 1847**

ニシン

標本 HH-Pi 290, 体長 201.5 mm, 萩市椿東越ヶ浜沖, 2008 年 2 月 27 日.

画像 KPM-NR 198429, 長門市三隅下野波瀬沖, 2008 年 2 月 26 日; KPM-NR 198896, 萩市大井沖, 2018 年 3 月 8 日.

***Etrumeus micropus* (Temminck and Schlegel, 1846)**

ウルメイワシ

標本 FAKU 133057, 2 個体, 長門市油谷向津具下川尻岬北沖, 水深 96 m, 2011 年 7 月 27 日; HH-Pi 761, 体長 72.2 mm, 萩市三見沖, 2017 年 4 月 21 日; HH-Pi 767, 体長 66.5 mm, 萩市三見沖, 2017 年 4 月 21 日.

画像 KPM-NR 198107, 長門市沖, 2010 年 6 月 16 日; KPM-NR 198108, 長門市油谷向津具下川尻岬北沖, 水深 96 m, 2011 年 7 月 27 日; KPM-NR 198109, 長門市沖, 1997 年 8 月 20 日; KPM-NR 198862, 萩市三見沖, 2017 年 4 月 21 日; KPM-NR 198217, 萩市三見沖, 2017 年 4 月 21 日.

文献 藤原ほか (2018) : KAUM-I. 97256, KAUM-I. 97257, KAUM-I. 97258 (fig. 4L), KAUM-I. 97294, KAUM-I. 97295, KAUM-I. 97296, 萩市見島沖.

備考 学名は Randall and Dibattista (2012) に従った.

***Konosirus punctatus* (Temminck and Schlegel, 1846)**

コノシロ

標本 HH-Pi 751, 体長 218.9 mm, 萩市三見沖, 2017 年 4 月 21 日; HH-Pi 756, 体長 234.4 mm, 萩市三見沖, 2017 年 4 月 21 日; HH-Pi 790, 体長 179.2 mm, 下関市豊浦町室津下沖, 2017 年 3 月 31 日; HH-Pi 791, 体長 202.4 mm, 下関市豊浦町室津下沖, 2017 年 3 月 31 日.

画像 KPM-NR 198252, 深川湾, 2012 年 5 月 25 日; KPM-NR 198253, 長門市沖, 2012 年 6 月 1 日; KPM-NR 198850, KPM-NR 198611, 萩市三見沖, 2017 年 4 月 21 日; KPM-NR 198668, KPM-NR 198669, 下関市豊浦町室津下沖, 2017 年 3 月 31 日.

文献 藤原ほか (2018) : KAUM-I. 97251 (fig. 4M), 下関市蓋井島と六連島の間.

***Sardinella lemuru* Bleeker, 1853**

カタボシイワシ

標本 FAKU133324, 下関市沖, 2011 年 8 月 30 日; HH-Pi 411, 体長 183.0 mm, 長門市通沖, 2004 年 10 月 22 日; HH-Pi 534, 2 個体, 体長 137.0–143.1 mm, 下関市豊北町北宇賀沖, 2011 年 10 月 15 日; HH-Pi 674, 体長 108.1 mm, 下関市蓋井島沖, 2011 年 9 月 8 日; HH-Pi 779, 体長 189.2 mm, 下関市豊浦町室津下沖, 2017 年 3 月 17 日.

画像 KPM-NR 198146, KPM-NR 198147, 下関市沖, 2011 年 8 月 30 日; KPM-NR 198657, 下関市豊浦町室津下沖, 2017 年 3 月 17 日.

文献 河野ほか (2011a) : fig. 1-2, 下関市蓋井島沖.

***Sardinops melanostictus* (Temminck and Schlegel, 1846)**

マイワシ

標本 HH-Pi 788, 体長 192.4 mm, 下関市豊浦町室津下沖, 2017 年 3 月 31 日; HH-Pi 1315, 体長 55.7 mm, 下関市豊北町神田上土井ヶ浜沖, 1999 年 6 月 14 日.

画像 KPM-NR 198535, 長門市沖, 1997 年 9 月 4 日; KPM-NR 198666, 下関市豊浦町室津下沖, 2017 年 3 月 31 日.

文献 藤原ほか (2018) : KAUM-I. 97297, KAUM-I. 97298, KAUM-I. 97299 (fig. 4N), KAUM-I. 97380, 萩市見島沖.

***Spratelloides gracilis* (Temminck and Schlegel, 1846)**

キビナゴ

標本 HH-Pi 1286, 9,237 個体, 下関市豊北町神田上土井ヶ浜沖, 1998 年 9 月 1 日; HH-Pi 1287, 62 個体, 下関市豊北町神田上土井ヶ浜沖, 1996 年 11 月 9 日; HH-Pi 1288, 352 個体, 下関

市豊北町神田上土井ヶ浜沖, 1998年9月1日.

画像 KPM-NR 198183, 萩市三見沖, 2017年6月7日.

Engraulidae カタクチイワシ科

***Engraulis japonica* Temminck and Schlegel, 1846**

カタクチイワシ

標本 HH-Pi 755, 体長 109.3 mm, 萩市三見沖, 2017年4月21日; HH-Pi 1255, 体長 49.1 mm, HH-Pi 1256, 1,264 個体, HH-Pi 1266, 体長 71.7 mm, HH-Pi 1274, 体長 24.6 mm, HH-Pi 1275, 4 個体, 体長 32.9–49.0 mm, 下関市豊北町神田上土井ヶ浜沖, 1999年7月7日; HH-Pi 1257, 体長 78.4 mm, 下関市豊北町神田上土井ヶ浜沖, 1995年10月27日; HH-Pi 1258, 体長 94.6 mm, 下関市豊北町神田上土井ヶ浜沖, 1995年10月28日; HH-Pi 1259, 47 個体, HH-Pi 1260, 127 個体, 下関市豊北町神田上土井ヶ浜沖, 1995年4月20日; HH-Pi 1261, 323 個体, HH-Pi 1262, 260 個体, HH-Pi 1264, 56 個体, 下関市豊北町神田上土井ヶ浜沖, 1995年6月16日; HH-Pi 1263, 体長 44.7 mm, 下関市豊北町神田上土井ヶ浜沖, 1998年6月11日; HH-Pi 1265, 13 個体, 体長 48.0–67.4 mm, HH-Pi 1272, 体長 22.4 mm, HH-Pi 1273, 体長 26.6 mm, 下関市豊北町神田上土井ヶ浜沖, 1999年6月14日; HH-Pi 1268, 9 個体, 体長 40.2–57.3 mm, 下関市豊北町神田上土井ヶ浜沖, 2000年11月24日; HH-Pi 1269, 体長 31.7 mm, 下関市豊北町神田上土井ヶ浜沖, 2001年9月27日; HH-Pi 1277, 体長 38.2 mm, 下関市豊北町神田上土井ヶ浜沖, 1996年6月27日; HH-Pi 1278, 6 個体, 体長 34.4–44.3 mm, HH-Pi 1279, 体長 40.6 mm, 下関市豊北町神田上土井ヶ浜沖, 1996年10月21日; HH-Pi 1280, 体長 44.1 mm, 下関市豊北町神田上土井ヶ浜沖, 1996年11月9日; HH-Pi 1282, 63 個体, 下関市豊北町神田上土井ヶ浜沖, 1997年6月4日; HH-Pi 1283, 体長 68.4 mm, 下関市豊北町神田上土井ヶ浜沖, 1998年6月29日.

画像 KPM-NR 198145, 長門市沖, 1997年9月4日; KPM-NR 198857, 萩市三見沖, 2017年4月21日.

文献 藤原ほか (2018) : KAUM-I. 97259, KAUM-I. 97260 (fig. 4O), KAUM-I. 97261, 萩市見島沖.

***Thrissina chefuensis* (Günther, 1874)**

タイリクカタクチ

文献 小林ほか (2006) : OMNH-P 25893, 下関市豊浦町室津下沖, *Thryssa baelama* オオイワシと報告; Hata and Nakae (2019) : OMNH-P 25893 (fig. 1), 下関市豊浦町沖.

備考 小林ほか (2006) は OMNH-P 25893 をオオイワシと報告したが, Hata and Nakae (2019) は本種と再同定し, 標準和名をタイリクカタクチとした. 本報告もそれに従った.

Chirocentridae オキイワシ科

***Chirocentrus dorab* (Forsskål, 1775)**

オキイワシ

文献 堀 (2005) : HH-Pi 129, 萩市沖.

Gonorynchiformes ネズミギス目

Gonorynchidae ネズミギス科

***Gonorynchus abbreviatus* Temminck and Schlegel, 1846**

ネズミギス

文献 堀 (2005) : HH-Pi 128, 萩市沖.

Siluriformes ナマズ目**Ariidae ハマギギ科*****Netuma bilineata* (Valenciennes, 1840)****オオサカハマギギ**

標本 HH-Pi 171, 体長 305 mm, 萩市沖, 1957 年 8 月.

文献 堀 (2005) : HH-Pi 119, 萩市沖, *Arius maculatus* ハマギギと報告.

備考 HH-Pi 119 は, 吻のひげは一対, 口蓋骨の歯帯は 3 対, 頭部背面の盾状骨板の後方部は細いなどの特徴が, Jordan and Hubbs (1925) の *Netuma osakae*, 山田・柳下 (2013a) の *Arius bilineatus* と形態の記載がよく一致したため, 本種に再同定した. 本種の学名は Takahashi et al. (2019) に従った.

Plotosidae ゴンズイ科***Plotosus japonicus* Yoshino and Kishimoto, 2008****ゴンズイ**

標本 HH-Pi 759, 体長 181.8 mm, 萩市三見沖, 2017 年 4 月 21 日; HH-Pi 1625, 2 個体, 体長約 107.7–111.9 mm (尾部欠損), 下関市豊北町神田上土井ヶ浜沖, 1998 年 5 月 23 日.

画像 KPM-NR 198271, 長門市日置上黄波戸沖, 1998 年 9 月 21 日; KPM-NR 198860, 萩市三見沖, 2017 年 4 月 21 日.

文献 堀ほか (2014) : HH-Pi 120, 萩市椿東中小畠沖; fig. 40, 萩市見島沖; 藤原ほか (2018) : KAUM-I. 96600 (fig. 4P), 萩市見島沖.

Argentiniformes ニギス目**Argentinidae ニギス科*****Argentina kagoshimae* Jordan and Snyder, 1902****カゴシマニギス**

標本 FAKU 143685, 体長 100.3 mm, FAKU 143686, 体長 97.9 mm, FAKU 143687, FAKU 143688, 体長 95.7 mm, FAKU 143689, 体長 92.1 mm, FAKU 143690, 体長 80.7 mm 下関市豊北町角島西沖, 水深 129 m, 2016 年 12 月 12 日.

画像 KPM-NR 198141, 萩市見島西沖, 2012 年 10 月 25 日.

Glossanodon lineatus* (Matsubara, 1943)*イチモンジイワシ (Fig. 4E)**

標本 SNFR 15561, 体長 91.1 mm, 山口県沖, 水深 138 m, 2001 年 7 月 2 日.

備考 SNFR 15561 は, 下顎は上顎より突出する, 第一鰓弓の鰓耙は 28, 吻長は眼径とほぼ等しい, 胸鰭軟条数 18, 臀鰭基底は背鰭基底よりも長い, 下顎歯は一列, 舌には歯がないなどの特徴が, 上野 (1988), Endo and Nashida (2010, 2012), 波戸岡 (2013c) の *Glossanodon lineatus* と形態の記載がよく一致したため, 本種に同定した.

日本沿岸海域からは, 宮城県から房総半島の太平洋, 熊野灘, 土佐湾からの記録があるが (上野, 1988; Kitagawa and Okiyama, 1997; Endo and Nashida, 2010, 2012; 波戸岡, 2013c; 北川, 2014), 日本海からは報告がない. したがって, 本報告は証拠標本を伴う日本海初の記録である.

Glossanodon semifasciatus* (Kishinouye, 1904)*ニギス**

標本 FAKU 138155, 体長 195.0 mm, FAKU 138156, 体長 157.0 mm, 山口県沖, 水深 140 m, 2015 年 6 月 15 日.

画像 KPM-NR 198424, 山口県沖, 水深 140 m, 2015 年 6 月 15 日; KPM-NR 198425, 長崎県対馬東沖, 2006 年 4 月 14 日.

Salmoniformes サケ目**Plecoglossidae** アユ科***Plecoglossus altivelis altivelis* (Temminck and Schlegel, 1846)**

アユ

標本 HH-Pi 1004, 4 個体, 体長 42.7–44.2 mm, HH-Pi 1021, 2 個体, 体長 47.0–47.6 mm, HH-Pi 1022, 2 個体, 体長 46.8–58.5 mm, HH-Pi 1030, 2 個体, 体長 36.7–39.0 mm, 下関市豊北町神田上土井ヶ浜沖, 2000 年 4 月 21 日; HH-Pi 1005, 4 個体, 体長 31.5–37.4 mm, HH-Pi 1006, 体長 69.7 mm, HH-Pi 1007, 体長 58.8 mm, HH-Pi 1008, 7 個体, 体長 58.7–66.7 mm, HH-Pi 1009, 体長 68.2 mm, HH-Pi 1010, 体長 59.3 mm, 下関市豊北町神田上土井ヶ浜沖; HH-Pi 1011, 4 個体, 体長 50.8–87.3 mm, 下関市豊北町神田上土井ヶ浜沖, 1997 年 4 月 8 日; HH-Pi 1012, 体長 48.2 mm, HH-Pi 1033, 4 個体, 体長 44.3–45.5 mm, HH-Pi 1034, 8 個体, 体長 19.1–21.8 mm, 下関市豊北町神田上土井ヶ浜沖, 1998 年 4 月 17 日; HH-Pi 1013, 38 個体, 体長 34.6–59.1 mm, HH-Pi 1014, 23 個体, 体長 38.8–59.6 mm, HH-Pi 1015, 体長 42.5 mm, HH-Pi 1016, 12 個体, 体長 36.7–45.6 mm, 下関市豊北町神田上土井ヶ浜沖, 1999 年 5 月 14 日; HH-Pi 1017, 4 個体, 体長 30.4–39.6 mm, HH-Pi 1018, 4 個体, 体長 33.9–46.5 mm, HH-Pi 1019, 7 個体, 体長 33.1–43.1 mm, HH-Pi 1020, 体長 36.7 mm, HH-Pi 1025, 3 個体, 体長 34.2–37.9 mm, HH-Pi 1026, 体長 34.8 mm, HH-Pi 1027, 体長 40.4 mm, HH-Pi 1028, 体長 37.0 mm, 下関市豊北町神田上土井ヶ浜沖, 2000 年 2 月 10 日; HH-Pi 1023, 体長 53.2 mm, 下関市豊北町神田上土井ヶ浜沖, 2000 年 6 月 21 日; HH-Pi 1024, 3 個体, 体長 45.7–48.2 mm, 下関市豊北町神田上土井ヶ浜沖, 2001 年 4 月 19 日; HH-Pi 1031, 2 個体, 体長 44.5–47.4 mm, HH-Pi 1035, 4 個体, 体長 38.5–45.6 mm, 下関市豊北町神田上土井ヶ浜沖, 1999 年 3 月 17 日; HH-Pi 1032, 2 個体, 体長 29.2–30.3 mm, 下関市豊北町神田上土井ヶ浜沖, 1998 年 2 月 6 日.

Salmonidae サケ科***Oncorhynchus keta* (Walbaum, 1792)**

サケ

画像 KPM-NR 198285, 長門市三隅下野波瀬沖, 2006 年 11 月 1 日; KPM-NR 198284, 深川湾, 2006 年 10 月 24 日; KPM-NR 198286, 下関市豊北町栗野川沖, 2007 年 11 月 29 日.

***Oncorhynchus masou masou* (Brevoort, 1856)**

サクラマス

標本 HH-Pi 509, 体長 167.2 mm, 萩市椿東越ヶ浜沖, 水深 15 m, 2014 年 3 月 19 日; HH-Pi 511, 体長 224.7 mm, HH-Pi 512, 体長 180.0 mm, HH-Pi 513, 体長 181.8 mm, 萩市椿東越ヶ浜沖, 水深 15 m, 2014 年 3 月 22 日.

画像 KPM-NR 198280, 長門市三隅下野波瀬沖, 2005 年 4 月 7 日; KPM-NR 198281, 長門市三隅下野波瀬沖, 2007 年 3 月 14 日; KPM-NR 198282, 長門市三隅下野波瀬沖, 2014 年 2 月 22 日; KPM-NR 198283, 下関市豊浦町宇賀沖, 2014 年 4 月 2 日; KPM-NR 198279, 長門市三隅下野波瀬沖, 2008 年 4 月 18 日.

Stomiiformes ワニトカゲギス目**Sternopychidae** ムネエソ科***Maurolicus japonicus* Ishikawa, 1915**

キュウリエソ

標本 FAKU 145502, 山口県沖, 2017 年 6 月 13 日; SNFR 15154, 体長 48.1 mm, 山口県沖, 水深 134 m, 1991 年 7 月 16 日.

画像 KPM-NR 198187, 山口県沖, 2017 年 6 月 13 日.

文献 藤原ほか（2018）：KAUM-I. 97274 (fig. 4Q), KAUM-I. 97275, KAUM-I. 97276, KAUM-I. 97277, KAUM-I. 97278, KAUM-I. 97279, KAUM-I. 97280, KAUM-I. 97281, KAUM-I. 97283, KAUM-I. 97284, KAUM-I. 97285, 萩市見島沖.

Ateleopodiformes シャチブリ目

Ateleopodidae シャチブリ科

***Ateleopus japonicus* Bleeker, 1853**

シャチブリ

標本 FAKU 132986, 長門市通沖, 2011年2月25日; FAKU 134651, 体長867 mm, 長門市仙崎大泊沖, 2011年12月20日; FAKU 143694, 体長726 mm, 萩市沖, 2016年4月6日; HH-Pi 292, 体長540 mm, 下関市安岡本町沖, 水深30 m, 2007年1月18日; HH-Pi 293, 体長720 mm, 萩市見島沖, 2005年1月13日, 剥製; HH-Pi 523, 体長910 mm, 阿武郡阿武町奈古筒尾沖, 2014年11月16日; HH-Pi 317, 体長161.1 mm, 長門市仙崎青海島沖, 2007年6月6日; HH-Pi 845, 体長730 mm, 山口県沖, 2018年3月1日; HH-Pi 283, 山口県沖, 2005–2008年; HH-Pi 699, 体長790 mm, 萩市椿東松本川1km沖, 2012年12月7日; HH-Pi 2629, 体長約600 mm(尾部欠損), 下関市伊崎沖, 2019年6月22日; HH-Pi 2654, 体長221.7 mm, 下関市豊北町神田上鼠島沖, 2019年7月10日; HH-Pi 2654, 体長221.7 mm, 下関市豊北町神田上鼠島沖, 2019年7月10日.

画像 KPM-NR 198317, 体長867 mm, 長門市仙崎大泊沖, 2011年12月20日; KPM-NR 198316, 長門市通沖, 2011年2月25日; KPM-NR 198318, 長崎県対馬東沖, 2006年10月2日; KPM-NR 198319A, B, 体長726 mm, 萩市沖, 2016年4月6日; KPM-NR 198320, 長門市仙崎青海島沖, 2009年5月18日; KPM-NR 198727, 体長730 mm, 山口県沖, 2018年3月1日; KPM-NR 92466A, B, C, 長門市仙崎青海島沖; KPM-NR 203252, 体長約600 mm(尾部欠損), 下関市伊崎沖, 2019年6月22日; KPM-NR 203283, 体長221.7 mm, 下関市豊北町神田上鼠島沖, 2019年7月10日.

文献 小林ほか（2006）：HUMZ185291 (fig 5-29), 長門市仙崎大泊沖.

Aulopiformes ヒメ目

Synodontidae エソ科

***Saurida elongata* (Temminck and Schlegel, 1846)**

トカゲエソ

標本 NSMT-P 19493, 2個体, 体長104.8–133.0 mm, 下関市安岡本町沖; SNFR 10116, 体長341 mm, SNFR 10117, 体長337 mm, SNFR 10118, 体長317 mm, 山口県沖, 水深123 m, 1996年7月11日.

***Saurida macrolepis* Tanaka, 1917**

マエソ

標本 FAKU 138909, 7個体, 体長180.0–240.0 mm, 山口県沖, 水深84 m, 2015年7月30日; HH-Pi 810, 下関市沖, 水深30 m, 2017年12月21日; HH-Pi 820, 長門市三隅下野波瀬沖, 2018年5月11日.

画像 KPM-NR 198536, 長門市沖, 1997年7月1日; KPM-NR 198537, 長門市油谷津黄沖, 2012年5月23日; KPM-NR 198689, 下関市沖, 水深30 m, 2017年12月21日; KPM-NR 198699, 長門市三隅下野波瀬沖, 2018年5月11日.

文献 藤原ほか（2018）：KAUM-I. 97673 (fig. 4R), 萩市見島沖.

***Saurida umeyoshii* Inoue and Nakabo, 2006**

クロエソ

標本 FAKU 138127, 長門市沖, 水深 110 m, 2015 年 6 月 15 日; SNFR 1566, 体長 133.5 mm, SNFR 1580, 体長 150.1 mm, SNFR 1581, 体長 121.0 mm, 山口県沖, 1996 年 11 月 8 日; SNFR 1579, 体長 144.0 mm, 山口県沖, 1996 年 11 月 10 日; SNFR 15467, 5 個体, 体長 110.0–159.3 mm, 山口県沖, 水深 129 m, 1999 年 7 月 12 日.

画像 KPM-NR 198209, 長門市沖, 水深 110 m, 2015 年 6 月 15 日.

文献 藤原ほか (2018) : KAUM-I. 97404 (fig. 5A), 下関市蓋井島と六連島の間.

***Saurida wanieso* Shindo and Yamada, 1972**

ワニエソ

標本 FAKU 133060, 萩市相島北西沖, 2011 年 8 月 4 日.

画像 KPM-NR 198646, 萩市相島北西沖, 水深 75 m, 2010 年 11 月 17 日; KPM-NR 198647, 萩市相島北西沖, 2011 年 8 月 4 日.

文献 堀 (2005) : HH-Pi 122, 萩市沖, *Saurida* sp. マエソと報告; 藤原ほか (2018) : KAUM-I. 49557 (fig. 5B), 下関市沖; 藤原ほか (2018) : KAUM-I. 97227, 下関市蓋井島と六連島の間.

備考 HH-Pi 122 は, 体側に暗色斑がない, 鱗は腹側全体にある, 胸鰭後端は胸鰭基部に達する, 腹鰭の外側と内側の軟条の長さはほとんど同じ, 尾鰭に明瞭な模様はない, 尾鰭上縁に黒色点はない, 尾鰭下縁が黒いなどの特徴が, Shindo and Yamada (1972), 山田ほか (1986), 町田 (1988), 山田・柳下 (2013b) および Yeo and Kim (2018) の *Saurida wanieso* と形態および色彩の記載がよく一致したため, 本種に再同定した.

***Synodus fuscus* Tanaka, 1917**

スナエソ

標本 SNFR 12623, 体長 203.9 mm, 山口県沖, 水深 96 m, 1990 年 7 月 11 日.

***Synodus macrops* Tanaka, 1917**

チョウチョウエソ

標本 FAKU 138128, FAKU 138129, 体長 93.4 mm, FAKU 138130, 体長 80.3 mm, 長門市沖, 水深 110 m, 2015 年 6 月 15 日.

画像 KPM-NR 198373, 長門市沖, 水深 110 m, 2015 年 6 月 15 日; KPM-NR 198374, 長門市油谷津黄沖, 2012 年 5 月 23 日.

***Trachinocephalus trachinus* (Temminck and Schlegel, 1846)**

オキエソ

標本 HH-Pi 1234, 体長 43.4 mm, HH-Pi 1235, 体長 92.3 mm, HH-Pi 1236, 体長 71.6 mm, HH-Pi 1237, 体長 99.6 mm, HH-Pi 1238, 体長 77.2 mm, HH-Pi 1239, 体長 68.6 mm, HH-Pi 1240, 体長 97.6 mm, HH-Pi 1241, 体長 105.4 mm, HH-Pi 1242, 体長 76.4 mm, HH-Pi 1243, 体長 95.0 mm, HH-Pi 1244, 体長 46.6 mm, 下関市豊北町神田上土井ヶ浜沖; HH-Pi 1245, 体長 52.2 mm, 下関市豊北町神田上土井ヶ浜沖, 2000 年 9 月 28 日; HH-Pi 1246, 体長 80.7 mm, 下関市豊北町神田上土井ヶ浜沖, 2001 年 9 月 28 日; HH-Pi 1247, 体長 82.6 mm, 下関市豊北町神田上土井ヶ浜沖, 1997 年 9 月 11 日; HH-Pi 1248, 体長 69.4 mm, 下関市豊北町神田上土井ヶ浜沖, 1998 年 9 月 1 日; HH-Pi 1249, 体長 72.3 mm, 下関市豊北町神田上土井ヶ浜沖, 1998 年 9 月 10 日; HH-Pi 1250, 3 個体, 体長 75.7–94.2 mm, HH-Pi 1251, 体長約 70.5 mm (尾部欠損), HH-Pi 1252, 体長 41.0 mm, 下関市豊北町神田上土井ヶ浜沖, 1998 年 9 月 10 日.

画像 KPM-NR 198118, 深川湾, 2010 年 9 月 29 日; KPM-NR 198876, 下関市豊北町神田附野赤田浜, 2016 年 8 月 4 日.

文献 藤原ほか (2018) : KAUM-I. 97262 (fig. 5C), 萩市見島沖, *Saurida* sp. マエソ属の 1 種と

報告.

備考 KAUM-I. 97262 は仔魚期であり、胸鰭基部は第 3 腹腔色素斑直前、大型腹腔色素斑が 6 つなどの特徴が、小澤（2014）のオキエソと形態および色彩の記載がよく一致したため、本種に再同定した。

Aulopidae ヒメ科

Hime japonica (Günther, 1877)

ヒメ

標本 FAKU 132749, 体長 162.0 mm, FAKU 132750, 体長 140.1 mm, FAKU 132751, 3 個体, 体長 162.0–175.0 mm, 萩市見島八里ヶ瀬沖, 水深 67 m, 2010 年 8 月 25 日; FAKU 132756, 6 個体, 体長 149.3–179.8 mm, 萩市見島沖, 水深 99 m, 2010 年 8 月 25 日; FAKU 132881, 体長 146.8 mm, 萩市見島沖, 水深 65 m, 2010 年 11 月 17 日。

画像 KPM-NR 198465, KPM-NR 198466, 萩市見島八里ヶ瀬北沖, 水深 67 m, 2010 年 8 月 25 日; KPM-NR 198467, 長門市沖, 1997 年 7 月 18 日; KPM-NR 198468, 山口県沖, 2010 年 1 月 18 日。

備考 本種の学名は Gomon et al. (2013) に従った。

Chlorophthalmidae アオメエソ科

Chlorophthalmus acutifrons Hiyama, 1940

トモヘヒカリ (Fig. 4F)

標本 SNFR 15159, 体長 100.5 mm, 山口県沖, 水深 133 m, 1989 年 7 月 4 日。

備考 SNFR 15159 は、吻は強く尖る、鋤骨外縁に歯がない、下顎の外歯叢は 2 列、背鰭の先端は腹鰭先端上に達しない、肛門周辺に発光器があるなどの特徴が Hiyama (1940), 岡村 (1988a), 中坊・甲斐 (2013a) および池田・中坊 (2015) の *Chlorophthalmus acutifrons* と形態の記載がよく一致したため、本種に同定した。

日本沿岸海域からは、青森県から茨木県、駿河湾から九州南岸の太平洋沿岸、東シナ海大陸斜面上部域および先島諸島南方からの記録があるが (池田・中坊, 2015; 岡村, 1988a; 中坊・甲斐, 2013a; Shinohara et al., 1996; Shinohara et al., 2005; Fujiwara et al., 2019), 日本海からは報告がない。したがって、本報告は証拠標本を伴う日本海初の記録である。

Paralepididae ハダカエソ科

Lestidium prolixum Harry, 1953

ナメハダカ

標本 SNFR 15434, 2 個体, 体長 59.5–85.0 mm, 山口県沖, 水深 129–127 m, 1997 年 7 月 18 日; SNFR 15457, 体長 191.8 mm, 山口県沖, 水深 149 m, 1997 年 7 月 22 日。

Lestrolepis sp.

ハダカエソ属の未同定種

標本 SNFR 15234, 体長 65.7 mm, 山口県沖, 水深 139 m, 1995 年 7 月 12 日; SNFR 15515, 体長 65.5 mm, 山口県沖, 水深 132 m, 2001 年 6 月 29 日。

Myctophiformes ハダカイワシ目

Myctophidae ハダカイワシ科

Benthosema pterotum (Alcock, 1890)

イワハダカ

標本 SNFR 15436, 37 個体, 体長 38.8–51.9 mm, 山口県沖, 水深 131 m, 1997 年 7 月 22 日。

Myctophidae, undetermined genus and species

ハダカイワシ科の未同定種

画像 KPM-NR 152856A, B, C, 長門市仙崎青海島沖, 水深 5 m.

Lampridiformes アカマンボウ目**Veliferidae クサアジ科*****Velifer hypselopterus* Bleeker, 1879**

クサアジ

文献 堀 (2005) : HH-Pi 102, 萩市見島沖.

Lampridae アカマンボウ科***Lampris megalopsis* Underkoffler, Luers, Hyde and Craig, 2018**

アカマンボウ

標本 HH-Pi 169, 体長 246.8 mm, 萩市大島沖.

備考 本種の学名は Underkoffler et al. (2018) に従った.

Lophotidae アカナマダ科***Lophotus capellei* Temminck and Schlegel, 1845**

アカナマダ

文献 堀 (2005) : HH-Pi 96 (fig. 1-2), 萩市見島沖; 小林ほか (2006) : fig. 5-30, 萩市椿東越ヶ浜沖.

***Eumecichthys fiski* (Günther, 1890)**

テングノタチ

文献 堀 (2005) : HH-Pi 97 (fig. 3), 萩市沖.

Trachipteridae フリソデウオ科***Desmodema polystictum* (Ogilby, 1898)**

フリソデウオ

標本 HH-Pi 285, 2 個体, 体長約 180 mm (尾部欠損), 下関市豊浦町室津下沖, 2004 年 5 月 12 日.

画像 KPM-NR 152861A, B, 長門市仙崎青海島沖, 水深 3 m.

文献 堀 (2005) : HH-Pi 261 (fig. 5), 萩市椿東越ヶ浜沖; 小林ほか (2006) : fig. 5-32-33, 長門市仙崎青海島沖; 小林ほか (2006) : fig. 5-34, 長門市沖.

***Trachipterus ishikawai* Jordan and Snyder, 1901**

サケガシラ

標本 FAKU133319, 萩市三見鯖島沖, 2011 年 7 月 5 日; HH-Pi 254, 体長約 1030 mm (尾部欠損), 萩市大島沖, 1983 年 3 月 18 日; HH-Pi 257, 体長 935 mm, 萩市沖, 1981 年 1 月日; HH-Pi 276, 体長約 100.0 mm (尾部欠損), 萩市沖, 2007 年 7 月 19 日; HH-Pi 296, 体長約 970 mm (尾部欠損), 萩市見島沖, 2007 年 8 月 1 日; HH-Pi 302, 体長 1125 mm, 萩市三見明石沖, 2008 年 7 月 22 日; HH-Pi 304, 体長 940 mm, 長門市仙崎青海島沖, 2008 年 7 月 18 日; HH-Pi 313, 体長 597 mm, 萩市見島沖, 2009 年 4 月 30 日; HH-Pi 352, 体長 101.0 mm, 下関市豊浦町室津下沖, 2003 年 6 月 3 日; HH-Pi 354, 1 個体, 体長 580 mm, 下関市豊浦町室津下沖, 2003 年 5 月 19 日; HH-Pi 355, 体長 794 mm, 下関市豊浦町室津下沖, 2003 年 6 月 5 日; HH-Pi 364, 体長 73.5 mm, 萩市堀内菊ヶ浜沖, 2011 年 7 月 5 日; HH-Pi 415, 山口県沖; HH-Pi 701, 体長 778 mm, 萩市椿東

後小畠沖, 2012年6月10日; HH-Pi 493, 萩市須佐沖, 2014年2月23日; HH-Pi 494, 萩市須佐沖, 2014年2月23日; HH-Pi 497, HH-Pi 498, 萩市椿東越ヶ浜沖, 2014年2月20日; HH-Pi 503, HH-Pi 504, 萩市下田万沖, 2014年2月16日; HH-Pi 510, 萩市椿東越ヶ浜沖, 水深15m, 2014年3月22日; HH-Pi 553, 長門市油谷向津具上10マイル沖, 2015年1月25日; HH-Pi 307, 体長128.7mm, 萩市東浜崎町沖, 2006年5月3日; HH-Pi 687, 2個体, 萩市沖, 2008–2009年; SNFR 15551, 体長978mm, 山口県沖, 水深132m, 2001年6月30日.

画像 KPM-NR 152860, 長門市青海島仙崎沖; KPM-NR 198287, 萩市三見鯖島沖, 2011年7月5日; KPM-NR 198288, 長門市沖, 2005年7月28日; KPM-NR 198289, 長門市沖, 2011年8月31日.

文献 堀(2005): HH-Pi 200 (fig. 6), 萩市沖; 藤原ほか(2018): KAUM-I. 97374, NFU-510-776 (fig. 5D), 下関市永田本町沖.

備考 本種の同定は池田・中坊(2015)に従った.

***Zu cristatus* (Bonelli, 1820)**

ユキフリソデウオ

標本 FAKU 132520, 体長740mm, 長門市油谷角山沖, 2010年5月30日; HH-Pi 98, 体長380mm, 萩市見島沖; HH-Pi 2614, 体長425mm, 長門市日置上黄波戸沖, 2019年5月17日.

画像 KPM-NR 203239, 体長425mm, 長門市日置上黄波戸沖, 2019年5月17日.

文献 小林ほか(2006): fig. 5-31, 萩市椿東越ヶ浜沖.

Regalecidae リュウグウノツカイ科

***Regalecus russelii* (Cuvier, 1816)**

リュウグウノツカイ

標本 HH-Pi 691, 長門市仙崎湾, 2017年7月11日; HH-Pi 772, 萩市三見沖, 2017年4月21日; HH-Pi 818, 下関市安岡本町沖, 2018年3月29日.

画像 KPM-NR 48759A, B, C, D, 萩市江崎沖, 2010年4月1日; KPM-NR 198356, 長門市仙崎白瀬沖, 2014年3月7日; KPM-NR 198642A, B, C, 長門市仙崎湾, 2017年7月11日; KPM-NR 198640, 長門市仙崎青海島沖, 2006年4月28日; KPM-NR 198641, 長門市仙崎大日比沖, 2010年1月29日; KPM-NR 198212, 萩市三見沖, 2017年4月21日; KPM-NR 198697, 下関市安岡本町沖, 2018年3月29日; KPM-NR 198902, 長門市仙崎港, 2017年7月11日.

文献 堀(2005): HH-Pi 100 (figs. 7–8), 萩市三見鯖島沖, 剥製.

Gadiformes タラ目

Moridae チゴダラ科

***Guttigadus nana* (Taki, 1953)**

ヒメダラ

標本 FAKU 143683, 体長56.5mm, 下関市豊北町角島西沖, 水深126m, 2016年12月12日; HH-Pi 2668, 体長47.6mm, HH-Pi 2669, 体長47.0mm, 下関市沖, 2019年7月1日.

画像 KPM-NR 198476, 下関市豊北町角島北西沖, 水深126m, 2016年12月12日; KPM-NR 203264, 体長47.6mm, KPM-NR 203265, 体長47.0mm下関市沖, 2019年7月1日; KPM-NR 205042, 長門市仙崎青海島, 2019年4月13日.

***Physiculus japonicus* Hilgendorf, 1879**

チゴダラ

標本 HH-Pi 204, 体長377.0mm, 萩市沖; HH-Pi 789, 体長182.6mm, 下関市豊浦町室津下沖, 2017年3月29日.

画像 KPM-NR 198667, 下関市豊浦町室津下沖, 2017年3月29日; KPM-NR 198958, 体長340 mm, 山口県沖, 水深200 m, 2010年10月5日; KPM-NR 198960, 体長305 mm, 山口県沖, 水深193 m, 2010年10月4日.

備考 Chow et al. (2019) は, *Physiculus maximowiczi* エゾイソアイナメを本種のシノニムとした. 本報告もそれに従った.

Moridae, undetermined genus and species

チゴダラ科の未同定種

画像 KPM-NR 150260A, B, 長門市仙崎青海島沖, 水深2 m; KPM-NR 150262, 長門市仙崎紫津浦湾, 水深5 m.

Gadidae タラ科

***Gadus macrocephalus* Tilesius, 1810**

マダラ

標本 FAKU 138119, 体長230.0 mm, 山口県沖, 水深149 m, 2015年6月15日; FAKU 138125, 体長230.0 mm, 山口県沖, 水深149 m, 2015年6月15日; FAKU 138126, 体長227.0 mm, 山口県沖, 水深149 m, 2015年6月15日.

画像 KPM-NR 198549, 山口県沖, 水深149 m, 2015年6月15日; KPM-NR 198550, 萩市見島沖, 2007年12月5日; KPM-NR 198551, 萩市沖, 2008年3月3日; KPM-NR 198552, 深川湾, 2012年2月23日; KPM-NR 198553, 山口県沖, 水深182 m, 2016年10月17日; KPM-NR 198819, 下関市豊浦町宇賀沖, 2012年2月28日; KPM-NR 198871, 体長240.0 mm, 萩市見島沖, 水深285 m, 2009年8月17日.

Bregmacerotidae サイウオ科

***Bregmaceros japonicus* Tanaka, 1908**

サイウオ

標本 KPM-NR 198272, 長門市油谷津黄沖, 2012年5月22日.

***Bregmaceros nectabenus* Whitley, 1941**

トヤマサイウオ

標本 HH-Pi 2169, 体長38.5 mm, 下関市豊北町神田上土井ヶ浜沖, 1998年11月19日; SNFR 17171, 体長52.8 mm, 長門市油谷湾, 1989年3月14日.

画像 KPM-NR 199002, 体長44.3 mm, 長門市日置上黄波戸沖, 2018年11月10日.

文献 河野ほか (2020) : HH-Pi 987, 長門市日置上黄波戸沖.

Macrouridae ソコダラ科

***Coelorinchus multispinulosus* Katayama, 1942**

ヤリヒゲ

標本 FAKU 139087, 体長119.1 mm, FAKU 139097, 体長125.6 mm, FAKU 139098, 体長135.1 mm, 山口県沖, 水深133 m, 2015年7月29日; HH-Pi 201, 体長202.9 mm, 萩市沖.

画像 KPM-NR 198624, 山口県沖, 2016年4月; KPM-NR 198625, 山口県沖, 水深133 m, 2015年7月29日; KPM-NR 198626, 長崎県対馬東沖, 2006年4月14日; KPM-NR 198872, 下関市豊北町角島沖, 2016年4月9日.

文献 藤原ほか (2018) : KAUM-I. 97371 (fig. 5E), KAUM-I. 97372, KAUM-I. 97373, 下関市福江沖.

***Coelorinchus* sp.**

トウジン属の未同定種

標本 SNFR 18495, 体長 215.6 mm, 山口県沖, 水深 150 m, 2012 年 4 月 24 日.

***Ventrifossa garmani* (Jordan and Gilbert, 1904)**

サガミソコダラ (Fig. 4G)

標本 SNFR 17324, 体長 210.0 mm, 山口県沖, 水深 182 m, 1993 年 7 月 6 日.

備考 SNFR 17324 は, 口は大きい, 上顎歯は広歯帶で外列歯は肥大する, 下顎歯は狭歯帶で内列歯は肥大しない, 鰓条膜に鱗はない, 第一背鰭直後に無棘鱗域はない, 第一背鰭に黒色斑はない, 腹鰭基部は胸鰭基部よりもわずかに前, 肛門は臀鰭起部から離れるなどの特徴が, Jordan et al. (1904b) の *Coryphaenoides garmani*, 岡村・矢頭 (1982), 岡村 (1984), Jeong et al. (2010), 中坊・甲斐 (2013b), Iwamoto et al. (2015) および池田・中坊 (2015) の *Ventrifossa garmani* と形態の記載がよく一致したため, 本種に同定した.

日本沿岸海域からは, 東北地方から宮城県土々呂の太平洋沿岸, 沖縄舟状海盆および東シナ海からの記録があるが (岡村・矢頭, 1982; 岡村, 1984; Shinohara et al., 1996, 2001, 2005; 中坊・甲斐, 2013b; 池田・中坊, 2015), 日本海からは報告がない. したがって, 本報告は証拠標本を伴う日本海初の記録である.

Ophidiiformes アシロ目**Ophidiidae アシロ科*****Brotula multibarbata* Temminck and Schlegel, 1846**

イタチウオ

標本 HH-Pi 6, 体長 352 mm, 萩市沖.

***Hoplobrotula armata* (Temminck and Schlegel, 1846)**

ヨロイイタチウオ

標本 HH-Pi 844, 山口県沖, 2018 年 3 月 1 日; HH-Pi 873, 体長 204.0 mm, 萩市見島東沖, 水深 70–80 m, 2018 年 5 月 30 日.

画像 KPM-NR 198637, 長崎県対馬北東沖, 2012 年 3 月 28 日; KPM-NR 198638, 長門市沖, 1997 年 7 月 18 日; KPM-NR 198726, 山口県沖, 2018 年 3 月 1 日; KPM-NR 198755, 体長 204.0 mm, 萩市見島東沖, 水深 70–80 m, 2018 年 5 月 30 日.

***Neobythites sivicola* (Jordan and Snyder, 1901)**

シオイタチウオ

標本 FAKU 143878, 体長 183.8 mm, 山口県沖, 水深 137 m, 2017 年 1 月 25 日; SNFR 15905, 体長 183.3 mm, 山口県沖, 水深 127 m, 1995 年 5 月 24 日.

画像 KPM-NR 198302, 山口県沖, 水深 137 m, 2017 年 1 月 25 日; KPM-NR 198866, 萩市見島沖, 水深 193 m, 2009 年 8 月 4 日; KPM-NR 198954, 山口県沖, 水深 188 m, 2010 年 10 月 4 日.

***Ophidion asiro* (Jordan and Fowler, 1902)**

アシロ

画像 KPM-NR 198046, 長崎県対馬東沖, 2006 年 5 月 30 日.

***Sirembo imberbis* (Temminck and Schlegel, 1846)**

ウミドジョウ

標本 HH-Pi 2630, 体長 134.6 mm, HH-Pi 2631, 体長 135.2 mm, 下関市伊崎沖, 2019 年 6 月

23 日.

画像 KPM-NR 198453, 下関市沖, 2009 年 7 月 28 日; KPM-NR 203253, 体長 134.6 mm, KPM-NR 203254, 体長 135.2 mm, 下関市伊崎沖, 2019 年 6 月 23 日.

Carapidae カクレウオ科

***Encheliophis sagamianus* (Tanaka, 1908)**

カクレウオ

画像 KPM-NR 198903, KPM-NR 198904, 長崎県対馬東沖, 水深 110–120 m, 2013 年 8 月 2 日.

***Eurypleuron owasianum* (Matsubara, 1953)**

ソコカクレウオ

標本 HH-Pi 792, 長門市仙崎青海島沖, 2017 年 5 月 7 日.

画像 KPM-NR 198671, 長門市仙崎青海島沖, 2017 年 5 月 7 日.

Carapidae, undetermined genus and species

カクレウオ科の未同定種

画像 KPM-NR 154734A, B, 長門市仙崎青海島沖.

Lophiiformes アンコウ目

Lophiidae アンコウ科

***Lophiodes bruchius* Caruso, 1981**

シモフリハナアンコウ

標本 SNFR 1209, 体長 228.4 mm, 水深 97–101 m, 1988 年 7 月 3 日.

***Lophiodes insidiator* (Regan, 1921)**

ノドグロヒメアンコウ

標本 SNFR 16718, 体長 147.9 mm, 山口県沖, 水深 130 m, 1997 年 7 月 18 日.

***Lophiomus setigerus* (Vahl, 1797)**

アンコウ

標本 FAKU 134691, 長門市沖, 水深 90 m, 2011 年 10 月 7 日; FAKU 143619, 下関市豊北町角島北西沖, 水深 126 m, 2016 年 12 月 12 日; HH-Pi 2657, 体長 172.3 mm, HH-Pi 2658, 体長 225.9 mm, 下関市沖, 2019 年 7 月 18 日; SNFR 15443, 体長 77.3 mm, 山口県沖, 水深 129–130 m, 1997 年 7 月 19 日.

画像 KPM-NR 198060, 長門市沖, 1997 年 7 月 30 日; KPM-NR 198061, 長門市油谷津黄沖, 2012 年 5 月 22 日; KPM-NR 198062, 長門市油谷津黄沖, 2012 年 5 月 23 日; KPM-NR 198063, 下関市豊北町角島北西沖, 水深 126 m, 2016 年 12 月 12 日; KPM-NR 198064, 長門市沖, 水深 90 m, 2011 年 10 月 7 日.

文献 藤原ほか (2018) : KAUM-I. 97681 (fig. 5F), 下関市蓋井島と六連島の間.

***Lophius litulon* (Jordan, 1902)**

キアンコウ

標本 HH-Pi 853, 体長 153.9 mm, 長門市日置上黄波戸沖, 2017 年 4 月 6 日; SNFR 12496, 4 個体, 体長 35.0–67.7 mm, 山口県沖, 水深 131 m, 1992 年 7 月 20 日; SNFR 12656, 2 個体, 体長 37.0–48.1 mm, 山口県沖, 水深 139 m, 1992 年 7 月 10 日; SNFR 12657, 体長 51.6 mm, 山口県沖, 水深 120 m, 1992 年 7 月 17 日; SNFR 12661, 3 個体, 体長 30.6–44.2 mm, 山口県沖, 水深 161 m,

SNFR 12662, 3 個体, 体長 40.2–41.2 mm, 山口県沖, 水深 149 m, 1992 年 7 月 15 日; SNFR 12664, 体長 41.5 mm, 山口県沖, 水深 128 m, 1992 年 7 月 8 日; SNFR 12843, 4 個体, 体長 53.3–64.5 mm, SNFR 12845, 3 個体, 体長 49.0–81.4 mm, 山口県沖, 水深 135 m, 1995 年 7 月 5 日; SNFR 13309, 6 個体, 体長 37.2–64.4 mm, 山口県沖, 水深 142 m, 1992 年 7 月 19 日.

画像 KPM-NR 156623, 長門市仙崎沖; KPM-NR 198172A, B, 萩市沖, 水深 60 m, 2011 年 4 月 6 日; KPM-NR 198173, 長崎県対馬東沖, 2006 年 5 月 30 日; KPM-NR 198735, 体長 153.9 mm, 長門市日置上黄波戸沖, 2017 年 4 月 6 日.

Antennariidae カエルアンコウ科

***Antennarius striatus* (Shaw, 1794)**

カエルアンコウ

標本 HH-Pi 271, 体長 103.6 mm, 萩市椿東越ヶ浜沖, 2005 年 7 月 23 日; HH-Pi 353, 体長 106.8 mm, 萩市椿東越ヶ浜沖, 2010 年 6 月 5 日; HH-Pi 974, 体長 95.6 mm, 下関市蓋井島北沖, 水深 70 m, 2018 年 8 月 11 日.

画像 KPM-NR 198950, 体長 95.6 mm, 下関市蓋井島北沖, 水深 70 m, 2018 年 8 月 11 日.

***Antennatus coccineus* (Lesson, 1831)**

ウルマカエルアンコウ (Fig. 4H)

画像 KPM-NR 205054, 長門市仙崎青海島, 2017 年 6 月 25 日.

備考 KPM-NR 205054 は, 吻上棘の長さは背鰭第 2 棘と同等, 背鰭第 2 棘は鰭膜を欠く, 吻上棘先端の皮弁は白い塊状, 背鰭・臀鰭の後端は尾柄部と鰭膜で連続するなどの特徴が, Lesson (1829–31) の *Chironectes coccineus*, 荒賀 (1988), 瀬能 (2013a, 2019) および Motomura (2019) の *Antennatus coccineus* と形態の記載がよく一致したため, 本種に同定した. 本種の学名は Arnold and Pietsch (2012) に従った.

日本沿岸海域からは, 青森県八戸, 八丈島, 静岡県大瀬崎, 鹿児島県山川および琉球列島からの記録があるが (荒賀, 1988; 瀬能, 2013a, 2019), 日本海からは報告がない. したがって, 本報告は証拠画像を伴う日本海初の記録である. 本海域からの本種の記録は画像のみで標本は得られていない.

***Antennatus nummifer* (Cuvier, 1817)**

ベニカエルアンコウ

画像 KPM-NR 198992, 体長 68.1 mm, 下関市蓋井島沖, 水深 70–80 m, 2018 年 8 月 28 日.

文献 河野ほか (2020) : HH-Pi 980, 下関市蓋井島沖.

備考 本種の学名は Arnold and Pietsch (2012) に従った.

***Fowlerichthys scriptissimus* (Jordan, 1902)**

ソウシカエルアンコウ

標本 HH-Pi 227, 体長 264.5 mm, 萩市大島沖, 1985 年 3 月 29 日; HH-Pi 329, 体長 163.0 mm, 山口県沖.

備考 本種の学名は Arnold and Pietsch (2012) に従った.

***Histrio histrio* (Linnaeus, 1758)**

ハナオコゼ

標本 FAKU 145498, 深川湾, 水深 7–8 m, 2017 年 6 月 29 日; HH-Pi 306, 体長 73.0 mm, 萩市江崎沖, 2011 年 8 月 18 日; HH-Pi 356, 2 個体, 体長 106.2–109.5 mm, 阿武郡阿武町奈古沖, 2004 年 7 月 23 日; HH-Pi 366, 体長 143.1 mm, 阿武郡阿武町奈古沖, 2007 年 10 月 20 日; HH-Pi

367, 体長 134.6 mm, 萩市沖, 2007 年 10 月 22 日; HH-Pi 848, 体長 83.2 mm, 下関市豊北町神田上鼠島沖, 2017 年 7 月 15 日.

画像 KPM-NR 198446, 深川湾, 水深 7–8 m, 2017 年 6 月 29 日; KPM-NR 198447, 長門市油谷津黄沖, 2010 年 6 月 4 日; KPM-NR 198730, 体長 83.2 mm, 下関市豊北町神田上鼠島沖, 2017 年 7 月 15 日; KPM-NR 198899, 深川湾, 2017 年 6 月 29 日.

文献 吉郷・安達 (2002) : HMNH-P 5392 (p. 48), 萩市須佐沖; 吉郷・中村 (2003) : HMNH-P 5392, 萩市須佐沖.

Ogcocephalidae アカグツ科

***Halieutaea stellata* (Vahl, 1797)**

アカグツ

標本 FAKU 134818, FAKU 134819, 山口県沖, 2012 年 3 月 5 日; FAKU 143651, 体長 105.9 mm, 山口県沖, 水深 127 m, 2016 年 12 月 12 日; HH-Pi 1, 体長 168.8 mm, 萩市沖, 乾燥標本.

画像 KPM-NR 198028, 山口県沖, 2012 年 3 月 5 日; KPM-NR 198029, 長門市沖, 1998 年 9 月 9 日; KPM-NR 198030, 長崎県対馬東沖, 2006 年 5 月 29 日; KPM-NR 198031A, B, 下関市豊北町角島北西沖, 水深 127 m, 2016 年 12 月 12 日.

***Halieutaea* sp.**

ヘリグロアカグツ

標本 FAKU 134706, 萩市見島から長崎県対馬, 2011 年 10 月 28 日; SNFR 15754, 体長 62.3 mm, 山口県沖, 水深 115 m, 1996 年 7 月 23 日.

画像 KPM-NR 198514, 萩市見島から長崎県対馬, 2011 年 10 月 28 日.

文献 河野ほか (2015) : FAKU 134706, 萩市見島から長崎県対馬; 河野ほか (2015) : fig. 1-3, 萩市見島から長崎県対馬.

***Malthopsis annulifera* Tanaka, 1908**

ワヌケフウリュウウオ

標本 FAKU 138116, 体長 41.9 mm, 山口県沖, 水深 133 m, 2015 年 6 月 15 日; FAKU 139099, 体長 45.4 mm, 山口県沖, 水深 133 m, 2015 年 7 月 29 日.

画像 KPM-NR 198652, 山口県沖, 水深 133 m, 2015 年 6 月 15 日; KPM-NR 198653, 長門市沖, 1998 年 9 月 9 日; KPM-NR 198654, 萩市見島西沖, 2012 年 10 月 25 日.

Himantolophidae チョウチンアンコウ科

***Himantolophus* sp.**

チョウチンアンコウ属の未同定種

標本 SNFR 15199, 体長 29.8 mm, 山口県沖, 水深 123 m, 1992 年 7 月 18 日.

Beryciformes キンメダイ目

Holocentridae イットウダイ科

***Myripristis kochiensis* Randall and Yamakawa, 1996**

ナミマツカサ

標本 HH-Pi 470, 体長 68.0 mm, 萩市須佐沖, 水深 10 m, 2012 年 10 月 26 日.

***Ostichthys japonicus* (Cuvier, 1829)**

エビスダイ

標本 HH-Pi 821, 体長 81.3 mm, 2018 年 5 月; HH-Pi 2600, 体長 45.0 mm, 下関市伊崎沖,

2018年9月6日.

画像 KPM-NR 198111, 長門市沖, 2010年12月21日; KPM-NR 198110, 萩市沖, 1997年; KPM-NR 198112, 長門市沖, 1997年7月18日; KPM-NR 198113, 萩市沖, 2012年11月22日; KPM-NR 198700, 体長81.3 mm, 山口県沖, 2018年5月; KPM-NR 203228, 体長45.0 mm, 下関市伊崎沖, 2018年9月6日.

文献 藤原ほか(2018) : KAUM-I. 97814 (fig. 5G), 萩市見島沖.

***Sargocentron spinosissimum* (Temminck and Schlegel, 1843)**

イットウダイ

画像 KPM-NR 198080, 萩市見島沖, 1998年11月13日.

Trachichthyidae ヒウチダイ科

***Aulotrichichthys prosthemius* (Jordan and Fowler, 1902)**

ハリダシエビス

画像 KPM-NR 198956, 体長64.0 mm, 長門市三隅下野波瀬沖, 2010年12月22日.

***Gephyroberyx darwinii* (Johnson, 1866)**

ハシキンメ

画像 KPM-NR 198438A, B, C, D, 体長311 mm, 萩市見島沖, 2017年7月20日; KPM-NR 198891, 長崎県対馬東沖, 水深120–130 m, 2016年4月17日; KPM-NR 198898, 萩市見島北沖, 2017年7月20日.

文献 河野ほか(2020) : FAKU 145437 (fig. 2-3), 萩市見島沖.

備考 本種の学名は Kim and Imamura (2004) に従った.

Monocentridae マツカサウオ科

***Monocentris japonica* (Houttuyn, 1782)**

マツカサウオ

標本 HH-Pi 94, 萩市沖, 乾燥標本; HH-Pi 95, 138.8 mm, 萩市沖, 1953年5月8日; HH-Pi 288, 2個体, 体長89.6–96.5 mm, 萩市見島沖, 2005年1~2月; HH-Pi 365, 体長90.8 mm, 萩市沖, 2006年7月22日; HH-Pi 698, 体長87.0 mm, 萩市椿東越ヶ浜九島沖, 2017年7月1日.

画像 KPM-NR 198554, 長門市沖, 1997年7月18日.

Zeiformes マトウダイ目

Zeidae マトウダイ科

***Zenopsis nebulosa* (Temminck and Schlegel, 1845)**

カガミダイ

標本 FAKU 138115, 山口県沖, 水深133 m, 2015年6月15日; HH-Pi 391, 体長264.6 mm, 下関市安岡本町沖, 水深30 m; HH-Pi 892, 体長52.6 mm, HH-Pi 893, 体長31.4 mm, 萩市見島東沖, 水深60–78 m, 2017年4月12日.

画像 KPM-NR 198135, 山口県沖, 水深133 m, 2015年6月15日; KPM-NR 198136, 長崎県対馬東沖, 2006年10月3日; KPM-NR 198137, 萩市沖, 2009年2月10日; KPM-NR 198776, 体長52.6 mm, KPM-NR 198778, 体長31.4 mm, 萩市見島東沖, 水深60–78 m, 2017年4月12日; KPM-NR 198817, 長門市通沖, 2010年4月16日.

***Zeus faber* Linnaeus, 1758**

マトウダイ

標本 HH-Pi 375, 体長 37.8 mm, 萩市須佐沖, 2012 年 6 月 26 日; HH-Pi 835, 体長 360 mm, 2017 年 12 月 28 日.

画像 KPM-NR 198557, 長門市沖, 1997 年 7 月 18 日; KPM-NR 198558, 下関市豊北町角島沖, 水深 102 m, 2010 年 10 月 19 日; KPM-NR 198714, 体長 360 mm, 萩市沖, 2017 年 12 月 28 日.

文献 藤原ほか (2018) : KAUM-I. 97228 (fig. 5H), 下関市蓋井島と六連島の間.

Gasterosteiformes トゲウオ目

Aulorhynchidae クダヤガラ科

***Aulichthys japonicus* Brevoort, 1862**

クダヤガラ

画像 KPM-NR 198507, 下関市豊北町神田沖, 2013 年 8 月 3 日.

Gasterosteidae トゲウオ科

***Gasterosteus nipponicus* Higuchi, Sakai and Goto, 2014**

ニホンイトヨ

標本 HH-Pi 2637, 4 個体, 体長 18.2–22.6 mm, 山口県沖, 1986 年 6 月 3 日.

備考 本種の学名と標準和名は Higuchi et al. (2014) に従った.

Fistulariidae ヤガラ科

***Fistularia commersonii* Rüppell, 1838**

アオヤガラ

標本 HH-Pi 109, 体長 491 mm 萩市沖, 乾燥標本; HH-Pi 592, 体長 157.8 mm, 萩市須佐長磯沖, 2014 年 7 月 31 日.

***Fistularia petimba* Lacepède, 1803**

アカヤガラ

標本 HH-Pi 108, 萩市沖; HH-Pi 883, 体長 670.0 mm, 長門市日置上黄波戸沖, 2017 年 9 月 5 日.

画像 KPM-NR 198042, 下関市豊北町角島西沖, 2011 年 11 月 29 日; KPM-NR 198043, 長門市仙崎青海島沖, 1998 年 9 月 21 日; KPM-NR 198765, 体長 670.0 mm, 長門市日置上黄波戸沖, 2017 年 9 月 5 日.

文献 藤原ほか (2018) : KAUM-I. 95636 (fig. 5I), 萩市見島沖; 藤原ほか (2018) : KPM-NR 198041, 萩市相島北西沖; 藤原ほか (2018) : KAUM-I. 97200 (fig. 5J), 萩市見島沖, *Fistularia* sp. ヤガラ属の 1 種と報告.

備考 KAUM-I. 97200 は体長 86.6mm で, 背鰭条数 14, 臀鰭条数 14, 体は円筒形で, 細長い, 肛門全長は体長の 3/4 を占めるなどの特徴が, 木村 (2014) の *Fistularia petimba* と形態の記載がよく一致したため, 本種に再同定した.

Macroramphosidae サギフエ科

***Macroramphosus japonicus* (Günther, 1861)**

ダイコクサギフエ

標本 HH-Pi 843, 体長 55.7 mm, 萩市沖, 2018 年 4 月 27 日.

画像 KPM-NR 198725, 体長 55.7 mm, 萩市沖, 2018 年 4 月 27 日.

***Macroramphosus sagifue* Jordan and Starks, 1902**

サギフエ

標本 HH-Pi 106, 萩市沖; HH-Pi 269, 体長 87.6 mm, 下関市豊浦町室津下沖, 2006 年 1 月 26 日.

Syngnathidae ヨウジウオ科***Acentronura (Acentronura) gracilissima* (Temminck and Schlegel, 1850)**

タツノイトコ

画像 KPM-NR 205035, 長門市仙崎青海島, 2019年7月11日.

***Doryrhamphus (Doryrhamphus) japonicus* Araga and Yoshino, 1975**

ノコギリヨウジ

画像 KPM-NR 205039, 長門市仙崎青海島 2019年6月26日.

***Halicampus boothae* (Whitley, 1964)**

ホソウミヤッコ

画像 KPM-NR 205046, 長門市仙崎青海島, 2018年8月25日.

***Halicampus grayi* Kaup, 1856**

ウミヤッコ

画像 KPM-NR 205009, 長門市仙崎紫津浦湾, 2017年11月30日.

***Halicampus punctatus* (Kamohara, 1952)**

ホシヨウジ

標本 SNFR 15430, 体長 135.7 mm, 山口県沖, 水深 123–123 m, 1997年7月19日; SNFR 15454, 体長 132.4 mm, 山口県沖, 水深 115 m, 1997年7月22日; SNFR 15157, 体長 129.6 mm, 山口県沖, 水深 104 m, 1990年7月22日; SNFR 19679, 体長 97.7 mm, 下関市豊北町角島西沖, 水深 103–100 m, 2012年6月12日.

***Hippichthys (Parasyngnathus) penicillus* (Cantor, 1849)**

ガンテンイショウジ

標本 HH-Pi 110, 体長 129.7 mm, 萩市堀内運河; HH-Pi 2635, 体長 65 mm, 長門市沖, 1986年6月5日.

***Hippocampus haema* Han, Kim, Kai and Senou, 2017**

ヒメタツ

標本 HH-Pi 111, 全長 70.0 mm, 萩市椿東中小畠沖, 1953年9月11日; HH-Pi 571, 全長 73.0 mm, 阿武郡阿武町宇田沖, 2015年12月28日; HH-Pi 709, 体長 67.0 mm, 萩市椿東越ヶ浜沖, 2013年8月30日; HH-Pi 917, 体長 72.0 mm, 下関市蓋井島沖, 2018年6月19日; OMNH-P 45839, 長門市三隅下野波瀬漁港, 2014年11月10日.

画像 KPM-NR 198851, 全長 72.0 mm, 下関市蓋井島沖, 2018年6月19日; KPM-NR 198937, 下関市豊浦町室津下沖, 2006年7月22日.

備考 本種の同定と標準和名は Han et al. (2017) に従った.

***Hippocampus mohnikei* Bleeker, 1853**

サンゴタツ

標本 HH-Pi 2627, 全長 73.3 mm, 下関市彦島沖, 2019年6月21日.

画像 KPM-NR 203250, 体長 73.3 mm, 下関市彦島沖, 2019年6月21日; KPM-NR 205028, 長門市仙崎紫津浦湾, 2019年8月18日.

文献 藤原ほか (2018) : KAUM-I. 97201 (fig. 5K), 萩市見島沖, *Hippocampus coronatus* タツノオトシゴと報告.

備考 KAUM-I. 97201 は、吻は短い、軀幹輪数は 11、体鱗の棘はない、背鰭基底下の軀幹部上隆起線の明瞭な突起は 3、尾部は著しく長いなどの特徴が、瀬能 (2013b) の *Hippocampus mohnikei* と形態の記載がよく一致したため、本種に再同定した。

***Hippocampus trimaculatus* Leach, 1814**

タカクラタツ

標本 HH-Pi 207, 全長 160.0 mm, 萩市大島沖, 1992 年; HH-Pi 279, 全長 140.0 mm, 萩市須佐沖, 水深 50 m, 2006 年 8 月; HH-Pi 308, 全長 110.0 mm, 萩市堀内菊ヶ浜沖, 2009 年 5 月 8 日; HH-Pi 338, 萩市山田倉江沖, 2006 年 11 月。

***Hippocampus* sp.**

タツノオトシゴ属の未同定種

標本 SNFR 19680, 全長 48.0 mm, SNFR 19681, 全長 43.0 mm, 下関市豊北町角島西沖, 水深 103–100 m, 2012 年 6 月 12 日。

***Syngnathus schlegeli* Kaup, 1853**

ヨウジウオ

標本 HH-Pi 457, 下関市沖, 2006 年 12 月 25 日; HH-Pi 690, 体長 94.0 mm, 阿武郡阿武町宇田宇田漁港, 2017 年 6 月 15 日; HH-Pi 2593, 体長 152.8 mm, HH-Pi 2594, 体長 140.9 mm, 下関市豊北町神田上土井ヶ浜沖; HH-Pi 2595, 体長 122.5 mm, HH-Pi 2596, 下関市豊北町神田上土井ヶ浜沖, 2000 年 6 月 21 日; HH-Pi 2636, 体長 84.6 mm, 長門市沖, 1986 年 7 月 4 日。

***Urocampus nanus* Günther, 1870**

オクヨウジ

標本 OMNH-P 45840, 体長 71.3 mm, 長門市三隅下野波瀬漁港, 2014 年 11 月 10 日。

画像 KPM-NR 205013, 長門市仙崎青海島, 2017 年 7 月 1 日。

Mugiliformes ボラ目

Mugilidae ボラ科

***Chelon lauvergnii* (Eydoux and Souleyet, 1850)**

セスジボラ

標本 SNFR 11184, 体長 142.8 mm, 長門市油谷湾, 1989 年 3 月 14 日。

備考 本種の学名は中村ほか (2019) に従った。

***Mugil cephalus cephalus* Linnaeus, 1758**

ボラ

標本 HH-Pi 951, 体長 49.2 mm, 下関市豊浦町室津下沖, 水深 1 m, 2018 年 7 月 24 日; HH-Pi 2506, 体長 159.1 mm, HH-Pi 2507, 体長 87.3 mm, HH-Pi 2508, 体長 88.1 mm, 下関市豊北町神田上土井ヶ浜沖; HH-Pi 2509, 体長 69.1 mm, 下関市豊北町神田上土井ヶ浜沖, 1997 年 2 月 8 日; HH-Pi 2510, 体長 84.4 mm, 下関市豊北町神田上土井ヶ浜沖, 1997 年 9 月 11 日; HH-Pi 2511, 体長 24.7 mm, 下関市豊北町神田上土井ヶ浜沖, 1999 年 3 月 17 日; HH-Pi 2512, 体長 27.8 mm, 下関市豊北町神田上土井ヶ浜沖, 1999 年 4 月 15 日; HH-Pi 2513, 体長 26.0 mm, 下関市豊北町神田上土井ヶ浜沖, 1999 年 5 月 14 日; HH-Pi 2514, 体長約 13.0 mm (尾部欠損), HH-Pi 2515, 2 個体, 体長 15.8–17.3 mm, 下関市豊北町神田上土井ヶ浜沖, 1999 年 6 月 14 日; HH-Pi 2516, 体長 94.5 mm, 下関市豊北町神田上土井ヶ浜沖, 1999 年 10 月 18 日; HH-Pi 2517, 体長 93.2 mm, HH-Pi 2518, 体長 105.8 mm, 下関市豊北町神田上土井ヶ浜沖, 1999 年 11 月 10 日; HH-Pi 2519, 2 個体,

体長 21.7–26.7 mm, HH-Pi 2520, 体長 23.4 mm, HH-Pi 2521, 26 個体, 体長 22.2–114.8 mm, HH-Pi 2522, 6 個体, 体長 23.5–31.1 mm, HH-Pi 2523, 2 個体, 体長 23.1–23.4 mm, 下関市豊北町神田上土井ヶ浜沖, 2000 年 2 月 10 日; HH-Pi 2524, 体長 38.0 mm, HH-Pi 2525, 2 個体, 体長 87.2–91.1 mm, 下関市豊北町神田上土井ヶ浜沖, 2000 年 6 月 21 日; HH-Pi 2526, 体長 195.1 mm, HH-Pi 2527, 2 個体, 体長 34.3–43.9 mm, HH-Pi 2528, 体長 95.5 mm, 下関市豊北町神田上土井ヶ浜沖, 2000 年 7 月 12 日; HH-Pi 2529, 体長 24.7 mm, 下関市豊北町神田上土井ヶ浜沖, 1999 年 7 月 7 日; HH-Pi 2530, 体長 23.2 mm, HH-Pi 2531, 2 個体, 体長 23.0–23.3 mm, HH-Pi 2532, 体長 22.1 mm, HH-Pi 2533, 2 個体, 体長 22.3–22.8 mm, HH-Pi 2534, 体長 22.5 mm, HH-Pi 2535, 3 個体, 体長 23.3–24.7 mm, 下関市豊北町神田上土井ヶ浜沖, 2000 年 2 月 10 日; HH-Pi 2536, 13 個体, 体長 12.9–15.5 mm, 下関市豊北町神田上土井ヶ浜沖, 2001 年 5 月 23 日; HH-Pi 2537, 2 個体, 体長 24.7–25.4 mm, 下関市豊北町神田上土井ヶ浜沖, 2001 年 5 月 13 日; HH-Pi 2539, 体長 19.5 mm, 下関市豊北町神田上土井ヶ浜沖, 1996 年 6 月 27 日; HH-Pi 2540, 体長 20.5 mm, 下関市豊北町神田上土井ヶ浜沖, 1996 年 12 月 19 日; HH-Pi 2541, 体長 24.7 mm, 下関市豊北町神田上土井ヶ浜沖, 1997 年 2 月 7 日; HH-Pi 2543, 2 個体, 体長 20.7–22.4 mm, HH-Pi 2544, 2 個体, 体長 22.1–25.0 mm, HH-Pi 2545, 2 個体, 体長 25.6–27.6 mm, HH-Pi 2546, 体長 22.9 mm, HH-Pi 2547, 299 個体, 下関市豊北町神田上土井ヶ浜沖, 1999 年 2 月 15 日; HH-Pi 2548, 85 個体, 下関市豊北町神田上土井ヶ浜沖, 1999 年 3 月 17 日; HH-Pi 2549, 体長 28.1 mm, 下関市豊北町神田上土井ヶ浜沖, 1999 年 4 月 15 日.

画像 KPM-NR 198913, 体長 49.2 mm, 下関市豊浦町室津下沖, 水深 1 m, 2018 年 7 月 24 日.

Atheriniformes トウゴロウイワシ目

Atherinidae トウゴロウイワシ科

***Atherion elymus* Jordan and Starks, 1901**

ムギイワシ

標本 HH-Pi 1317, 体長 25.8 mm, 下関市豊北町神田上土井ヶ浜沖, 2001 年 9 月 27 日; HH-Pi 1333, 6 個体, 体長 39.5–48.2 mm, 下関市豊北町神田上土井ヶ浜沖, 1997 年 6 月 4 日; HH-Pi 1335, 5 個体, 体長 22.7–37.4 mm, 下関市豊北町神田上土井ヶ浜沖, 1997 年 10 月 6 日; HH-Pi 2624, 10 個体, 体長 31.3–38.8 mm, 萩市下田万沖, 2019 年 5 月 4 日; HMNH-P 15944, 4 個体, 体長 39.3–41.6 mm, 萩市下田万沖, 2019 年 5 月 4 日.

***Doboatherina bleekeri* (Günther, 1861)**

トウゴロウイワシ

標本 FAKU 145969, 体長 87.6 mm, 深川湾, 2017 年 11 月 2 日; HH-Pi 2158, 体長 74.6 mm, HH-Pi 2160, 体長 80.1 mm, 下関市豊北町神田上土井ヶ浜沖, 1996 年 6 月 13 日; HH-Pi 2159, 体長 72.3 mm, HH-Pi 1311, 体長約 57.0 mm (尾部欠損), 下関市豊北町神田上土井ヶ浜沖, 1996 年 11 月 9 日; HH-Pi 2161, 体長 68.0 mm, 下関市豊北町神田上土井ヶ浜沖, 1997 年 5 月 30 日; HH-Pi 2162, 7 個体, 体長 66.4–77.3 mm, 下関市豊北町神田上土井ヶ浜沖 1998 年 6 月 11 日; HH-Pi 2165, 体長 74.4 mm, 下関市豊北町神田上土井ヶ浜沖, 1999 年 6 月 14 日; HH-Pi 2166, 体長 82.6 mm, 下関市豊北町神田上土井ヶ浜沖, 2000 年 5 月 25 日; HH-Pi 2168, 体長 51.1 mm, 下関市豊北町神田上土井ヶ浜沖, 2001 年 11 月 8 日; HH-Pi 1310, 体長 68.2 mm, HH-Pi 2164, 体長 77.7 mm, HH-Pi 1329, 体長 41.5 mm, HH-Pi 1330, 体長 39.2 mm, HH-Pi 1331, 体長 52.4 mm, HH-Pi 1332, 体長 40.2 mm, 下関市豊北町神田上土井ヶ浜沖, 1996 年 10 月 21 日.

画像 KPM-NR 198984, 体長 87.6 mm, 深川湾, 2017 年 11 月 2 日.

備考 本種の学名は Sasaki and Kimura (2019) に従った.

***Hypoatherina tsurugae* (Jordan and Starks, 1901)**

ギンイソイワシ

標本 HH-Pi 1291, 体長 107.0 mm, HH-Pi 1292, 体長 102.0 mm, HH-Pi 1293, 体長 98.2 mm, HH-Pi 1294, 体長 86.4 mm, HH-Pi 1309, 体長 101.1 mm, 下関市豊北町神田上土井ヶ浜沖, 2000 年 6 月 21 日; HH-Pi 1295, 体長 66.1 mm, HH-Pi 1297, 体長 53.7 mm, HH-Pi 1298, 体長 44.7 mm, HH-Pi 1338, 体長 31.4 mm, 下関市豊北町神田上土井ヶ浜沖, 1998 年 10 月 5 日; HH-Pi 1299, 体長 85.1 mm, HH-Pi 1305, 体長 107.6 mm, HH-Pi 1314, 体長 83.0 mm, 下関市豊北町神田上土井ヶ浜沖, 1999 年 6 月 14 日; HH-Pi 1300, 体長 103.4 mm, HH-Pi 1302, 体長 110.3 mm, 下関市豊北町神田上土井ヶ浜沖, 1996 年 6 月 13 日; HH-Pi 1301, 体長 62.2 mm, 下関市豊北町神田上土井ヶ浜沖, 2000 年 9 月 28 日; HH-Pi 1303, 体長 114.0 mm, 下関市豊北町神田上土井ヶ浜沖, 1998 年 7 月 9 日; HH-Pi 1304, 体長 108.9 mm, 下関市豊北町神田上土井ヶ浜沖, 1998 年 6 月 11 日; HH-Pi 1307, 体長 118.3 mm, HH-Pi 1308, 体長 105.3 mm, 下関市豊北町神田上土井ヶ浜沖, 1998 年 6 月 29 日; HH-Pi 1312, 体長 103.5 mm, 下関市豊北町神田上土井ヶ浜沖, 1998 年 9 月 1 日; HH-Pi 1313, 体長 66.4 mm, HH-Pi 1316, 体長 44.6 mm, 下関市豊北町神田上土井ヶ浜沖, 2000 年 9 月 28 日; HH-Pi 1318, 10 個体, 体長 49.0–87.3 mm, HH-Pi 1319, 3 個体, 体長 64.4–71.7 mm, HH-Pi 1320, 14 個体, 体長 51.7–82.5 mm, HH-Pi 1321, 29 個体, 体長 36.0–81.9 mm, HH-Pi 1322, 10 個体, 体長 41.4–113.3 mm, HH-Pi 1323, 40 個体, 体長 30.3–83.7 mm, HH-Pi 1324, 5 個体, 体長 45.3–77.4 mm, HH-Pi 1325, 2 個体, 体長 67.4–85.1 mm, 下関市豊北町神田上土井ヶ浜沖, 2001 年 9 月 27 日; HH-Pi 1326, 体長 41.1 mm, 下関市豊北町神田上土井ヶ浜沖, 1997 年 6 月 4 日; HH-Pi 1336, 体長 102.1 mm, 下関市豊北町神田上土井ヶ浜沖, 1998 年 5 月 23 日; HH-Pi 1337, 体長 49.2 mm, 下関市豊北町神田上土井ヶ浜沖, 1998 年 9 月 10 日; HH-Pi 2163, 体長 117.5 mm, 下関市豊北町神田上土井ヶ浜沖, 1998 年 6 月 29 日; HH-Pi 2167, 体長 60.0 mm, 下関市豊北町神田上土井ヶ浜沖, 2001 年 9 月 28 日.

Notocheiridae ナミノハナ科***Isoflosmaris* Jordan and Starks, 1901**

ナミノハナ

標本 HH-Pi 2170, 体長 49.5 mm, 下関市豊北町神田上土井ヶ浜沖, 1997 年 5 月 24 日.

Beloniformes ダツ目**Adrianichthyidae メダカ科*****Oryzias latipes* (Temminck and Schlegel, 1846)**

ミナミメダカ

標本 HH-Pi 2570, 2 個体, 体長 16.7–21.7 mm, 下関市豊北町神田上土井ヶ浜沖, 1999 年 11 月 10 日.

Hemiramphidae サヨリ科***Hemiramphus lutkei* Valenciennes, 1847**

ナンヨウサヨリ

標本 HH-Pi 289, 4 個体, 体長 155.0–195.0 mm, 長門市通沖, 2004 年 10 月 22 日.

***Hyporhamphus intermedius* (Cantor, 1842)**

クルメサヨリ

標本 HH-Pi 1431, 体長 161.7 mm, HH-Pi 1432, 体長 165.4 mm, 下関市豊北町神田上土井ヶ浜沖; HH-Pi 1433, 体長 54.0 mm, HH-Pi 1435, 体長 41.0 mm, 下関市豊北町神田上土井ヶ浜沖, 1998 年 6 月 29 日; HH-Pi 1434, 体長 34.0 mm, 下関市豊北町神田上土井ヶ浜沖, 1999 年 7 月 7 日.

***Hyporhamphus sajori* (Temminck and Schlegel, 1846)**

サヨリ

標本 HH-Pi 777, 体長 213.5 mm, 下関市豊浦町室津下沖, 2017 年 3 月 31 日.

文献 藤原ほか (2018) : KAUM-I. 97322 (fig. 5L), KPM-NR 198291, KPM-NR 198008, 萩市見島沖.

Exocoetidae トビウオ科***Cheilopogon doederleinii* (Steindachner, 1887)**

ツクシトビウオ

標本 FAKU 133055, 体長 202.0 mm, 萩市見島北西沖, 2011 年 8 月 4 日.

画像 KPM-NR 198376A, B, 長門市仙崎青海島沖, 2015 年 5 月 29 日; KPM-NR 198377, 深川湾, 1997 年 6 月 30 日; KPM-NR 198454B, 萩市見島北西沖, 2011 年 8 月 4 日.

備考 本種の学名は Shakhovskoy and Parin (2019) に従った.

***Cheilopogon spilonotopterus* (Bleeker, 1865)**

チャバネトビウオ

文献 藤原ほか (2018) : KAUM-I. 87348, KAUM-I. 87349, KAUM-I. 87350 (fig. 5M), 萩市見島沖.

備考 本種の学名は Fricke et al. (2014) に従った.

***Cypselurus hiraii* Abe, 1953**

ホソトビウオ

標本 HH-Pi 829, 体長 200.5 mm, 長門市通沖, 2018 年 5 月 16 日; HH-Pi 830, 体長 203.7 mm, 長門市通沖, 2018 年 5 月 16 日.

画像 KPM-NR 198526, 深川湾, 1997 年 6 月 30 日; KPM-NR 198527, 萩市見島北西沖, 2011 年 7 月 25 日; KPM-NR 198707, KPM-NR 198708, 長門市通沖, 2018 年 5 月 16 日.

***Cypselurus starksii* Abe, 1953**

アリアケトビウオ

文献 藤原ほか (2018) : KAUM-I. 95648 (fig. 5N), 萩市見島沖.

***Hirundichthys oxycephalus* (Bleeker, 1853)**

ホソアオトビ

画像 KPM-NR 198525, 長門市仙崎港, 2007 年 9 月 26 日.

Exocoetidae, undetermined genus and species

トビウオ科の未同定種

標本 HH-Pi 963, 体長 78.1 mm, 萩市江崎沖, 2018 年 7 月 25 日.

画像 KPM-NR 198924A, B, 萩市江崎沖, 2018 年 7 月 25 日.

Belonidae ダツ科***Ablennes hians* (Valenciennes, 1846)**

ハマダツ

標本 HH-Pi 882, 体長 670 mm, 長門市日置上黄波戸沖, 2017 年 9 月 5 日.

画像 KPM-NR 198764, 体長 670 mm, 長門市日置上黄波戸沖, 2017 年 9 月 5 日.

文献 堀ほか (2014) : fig. 41, 萩市大島沖; 藤原ほか (2018) : KAUM-I. 95637 (fig. 5O), 萩

市見島沖, *Strongylura anastomella* ダツと報告.

備考 KAUM-I. 95637 は, 体側の暗色横帯は不明瞭であるが, 背鰭軟条数 25, 臀鰭軟条数 27, 尾柄部側面に隆起線がない, 側線に胸鰭分枝がないなどの特徴が, Cuvier and Valenciennes (1846) の *Belone hians*, 吉野 (1988), 藍澤・土居内 (2013a), Matsunuma (2013, 2018) および池田・中坊 (2015) の *Ablennes hians* と形態の記載がよく一致したため, 本種に再同定した.

***Tylosurus acus melanotus* (Bleeker, 1850)**

テンジクダツ

文献 堀ほか (2014) : fig. 43, 長門市通沖.

***Tylosurus crocodilus crocodilus* (Péron and Lesueur, 1821)**

オキザヨリ

文献 堀ほか (2014) : fig. 42, 長門市仙崎青海島沖.

Scomberesocidae サンマ科

***Cololabis saira* (Brevoort, 1856)**

サンマ

標本 FAKU 143682, 山口県沖, 2015 年 12 月 22 日; HH-Pi 412, 体長 290.0 mm, 長門市通沖, 2004 年 10 月 29 日.

画像 KPM-NR 198296, 山口県沖, 2015 年 12 月 22 日; KPM-NR 198815, 長門市仙崎青海島沖, 2009 年 12 月 17 日.

Perciformes スズキ目

Sebastidae メバル科

***Helicolenus hilgendorfii* (Döderlein, 1884)**

ユメカサゴ

標本 FAKU 138157, 体長 132.5 mm, FAKU 138158, 体長 122.6 mm, FAKU 138159, 体長 116.5 mm, FAKU 138160, 体長 115.5 mm, FAKU 138161, 体長 77.0 mm, FAKU 138162, 体長 84.9 mm, 山口県沖, 水深 140 m, 2015 年 6 月 15 日; KAUM-I. 97445, 体長 143.1 mm, KAUM-I. 97446, 体長 143.9 mm, 萩市沖, 2016 年 12 月 15 日.

画像 KPM-NR 198630, 山口県沖, 水深 140 m, 2015 年 6 月 15 日; KPM-NR 198629, 長崎県対馬北東沖, 2011 年 12 月 23 日; KPM-NR 198867, 体長 148.0 mm, 萩市見島沖, 水深 290 m, 2009 年 8 月 21 日.

***Hozukius emblemarius* (Jordan and Starks, 1904)**

ホウズキ

文献 河野ほか (2011a) : fig. 1-3, 萩市見島沖.

***Sebastes cheni* Barsukov, 1988**

シロメバル

標本 HH-Pi 603, 体長 98.1 mm, 阿武郡阿武町宇田沖, 2016 年 10 月 22 日; HH-Pi 841, 体長 95.7 mm, 下関市彦島迫町西山沖, 2017 年 7 月 10 日.

画像 KPM-NR 198334, 長門市仙崎沖, 2012 年 2 月 14 日; KPM-NR 198720, 体長 95.7 mm, 下関市彦島迫町西山沖, 2017 年 7 月 10 日.

文献 藤原ほか (2018) : KAUM-I. 97339 (fig. 5R), 萩市見島沖; 藤原ほか (2018) : KAUM-I. 97406, 下関市蓋井島と六連島の間.

***Sebastes hubbsi* (Matsubara, 1937)**

ヨロイメバル

標本 HH-Pi 934, HH-Pi 935, 体長 128.0 mm, 下関市彦島迫町西山沖, 2018 年 7 月 14 日.

画像 KPM-NR 198639, 長門市沖, 1997 年 8 月 7 日; KPM-NR 198841, KPM-NR 198842, 体長 128.0 mm, 下関市彦島迫町西山沖, 2018 年 7 月 14 日.

***Sebastes inermis* Cuvier, 1829**

アカメバル

標本 FAKU 133071, 長門市油谷湾, 2011 年 7 月 28 日; HH-Pi 842, 体長 85.5 mm, 下関市彦島迫町西山沖, 2017 年 7 月 10 日; HH-Pi 916, 体長 101.8 mm, 下関市蓋井島沖, 2018 年 6 月 19 日.

画像 KPM-NR 198039, 長門市油谷湾, 2011 年 7 月 28 日; KPM-NR 198040, 長門市仙崎大泊沖, 2010 年 10 月 15 日; KPM-NR 198721, 体長 85.5 mm, 下関市彦島迫町西山沖, 2017 年 7 月 10 日; KPM-NR 198852, 体長 101.8 mm, 下関市蓋井島沖, 2018 年 6 月 19 日.

文献 吉郷・中村 (2003) : HMNH-P 4535, 萩市須佐沖, *Sebastes intermis* メバルと報告.備考 HMNH-P 4535 は, 胸鰭軟条数 15, 脊鰭軟条数 7, であることなどの特徴が Kai and Nakabo (2008), 中坊・甲斐 (2013c) の *Sebastes inermis* と形態の記載がよく一致したため, 本種に再同定した.***Sebastes oblongus* Günther, 1877**

タケノコメバル

画像 KPM-NR 198809, 下関市彦島沖, 2008 年 10 月 23 日.

***Sebastes owstoni* (Jordan and Thompson, 1914)**

ハツメ

標本 SNFR 16021, 体長 171.7 mm, 山口県沖, 水深 170 m, 1995 年 5 月 25 日.

画像 KPM-NR 198953, 山口県沖, 水深 191 m, 2010 年 9 月 27 日.

***Sebastes pachycephalus* Temminck and Schlegel, 1843**

ムラソイ

文献 藤原ほか (2018) : KAUM-I. 97223, KAUM-I. 97224, KAUM-I. 97225 (fig. 5S), 下関市永田本町沖; 藤原ほか (2018) : KAUM-I. 97340, 萩市見島沖.

備考 本種の学名は Kai and Nakabo (2013) に従った.

***Sebastes schlegelii* Hilgendorf, 1880**

クロソイ

画像 KPM-NR 203286, 長門市沖, 2014 年 12 月 25 日.

***Sebastes steindachneri* Hilgendorf, 1880**

ヤナギノマイ

標本 SNFR 16108, 2 個体, 体長 257.0–278.6 mm, 山口県沖, 水深 184 m, 1991 年 7 月 6 日.

***Sebastes thompsoni* (Jordan and Hubbs, 1925)**

ウスメバル

標本 FAKU 132753, FAKU 132754, 山口県沖, 水深 99 m, 2010 年 8 月 25 日.

画像 KPM-NR 198097, 長門市油谷津黄沖, 2010 年 5 月 4 日; KPM-NR 198093, 山口県沖, 水深 99 m, 2010 年 8 月 25 日; KPM-NR 198094, 長門市油谷向津具下川尻岬北西沖, 水深 125 m,

2011年7月25日; KPM-NR 198095, 山口県沖, 2010年1月18日; KPM-NR 198096, 萩市見島沖, 2012年6月2日.

文献 藤原ほか (2018) : KAUM-I. 97316 (fig. 5T), 萩市見島沖.

Sebastes ventricosus Temminck and Schlegel, 1843

クロメバル

標本 HH-Pi 689, 3個体, 阿武郡阿武町宇田宇田漁港, 2017年5月13日; HH-Pi 717, 4個体, 体長107.1–152.3 mm, 阿武郡阿武町宇田沖, 2017年5月7日.

文献 藤原ほか (2018) : KAUM-I. 97398 (fig. 5U), KAUM-I. 97399, KAUM-I. 97401, KAUM-I. 97402, 下関市吉母漁港.

Sebastes zonatus Chen and Barsukov, 1976

タヌキメバル

標本 HH-Pi 26, 体長84.8 mm, 萩市山田倉江沖, 1953年5月18日.

Sebastes sp.

メバル属の未同定種

画像 KPM-NR 33081, 萩市椿東沖, 水深5 m.

Sebastiscus albofasciatus (Lacepède, 1802)

アヤメカサゴ

標本 FAKU 132882, 体長164.0 mm, 萩市見島沖, 水深65 m, 2010年11月17日; FAKU 133061, 体長145.3 mm, 萩市見島西沖, 2011年8月4日; HH-Pi 889, 体長150.1 mm, 萩市見島東沖, 水深60–74 m, 2017年4月12日; HH-Pi 2666, 体長34.9 mm, 下関市沖, 2019年7月1日.

画像 KPM-NR 198053, 山口県沖, 水深65 m, 2010年11月17日; KPM-NR 198054, 萩市見島西沖, 2011年8月4日; KPM-NR 198055, 長門市沖, 1997年7月18日; KPM-NR 198056, 萩市見島沖, 2012年6月2日; KPM-NR 198773, 体長150.1 mm, 萩市見島東沖, 水深60–74 m, 2017年4月12日; KPM-NR 203262, 体長34.9 mm, 下関市沖, 2019年7月1日.

文献 藤原ほか (2018) : KAUM-I. 97240 (fig. 6A), 下関市豊北町角島沖.

Sebastiscus marmoratus (Cuvier, 1829)

カサゴ

標本 HH-Pi 774, 体長146.7 mm, 下関市豊浦町室津下沖, 2017年3月31日; HH-Pi 799, 体長104.0 mm, 下関市彦島迫町西山沖, 2017年9月2日; HH-Pi 906, 体長111.5 mm, HH-Pi 907, 体長115.1 mm, HH-Pi 908, 体長106.7 mm, 下関市蓋井島沖, 2018年6月19日; HMNH-P 15939, 体長63.8 mm, 萩市下田万沖, 2019年5月4日.

画像 KPM-NR 198143, 長門市沖, 1997年7月11日; KPM-NR 198210, 下関市豊浦町室津下沖, 2017年3月31日; KPM-NR 198676, 体長104.0 mm, 下関市彦島迫町西山沖, 2017年9月2日; KPM-NR 198789, 体長115.1 mm, KPM-NR 198791, 体長111.5 mm, KPM-NR 198792, 体長106.7 mm, 下関市蓋井島沖, 2018年6月19日.

文献 堀ほか (2014) : HH-Pi 373, 萩市須佐長磯沖; 堀ほか (2014) : fig. 44, 長門市仙崎紫津浦湾; 藤原ほか (2018) : KAUM-I. 97210, 下関市蓋井島と六連島の間; 藤原ほか (2018) : KAUM-I. 97341, 萩市見島沖; 藤原ほか (2018) : KAUM-I. 97396, 下関市豊北町角島沖; 藤原ほか (2018) : KAUM-I. 97400 (fig. 6B), 下関市吉母漁港.

***Sebastiscus tertius* (Barsukov and Chen, 1978)**

ウツカリカサゴ

標本 FAKU 132752, 体長 197.0 mm, 萩市見島八里ヶ瀬沖, 水深 67 m, 2010 年 8 月 25 日; FAKU 132757, 体長 240.0 mm, 萩市見島沖, 水深 99 m, 2010 年 8 月 25 日; FAKU 145508, 体長 47.3 mm, 山口県沖, 2017 年 7 月 19 日。

画像 KPM-NR 198098, 山口県沖, 水深 99 m, 2010 年 8 月 25 日; KPM-NR 198099, 萩市見島八里ヶ瀬北沖, 水深 67 m, 2010 年 8 月 25 日; KPM-NR 198100, 長門市沖, 2011 年 3 月 30 日; KPM-NR 33083, 萩市椿東沖, 水深 5 m.

文献 藤原ほか (2018) : KAUM-I. 97407 (fig. 6C), 下関市蓋井島と六連島の間; Morishita et al. (2018) : KAUM-I. 97407, 下関市沖.

Scorpaenidae フサカサゴ科***Dendrochirus* sp.**

ヒメヤマノカミ属の未同定種

画像 KPM-NR 205055, 長門市仙崎青海島, 2017 年 6 月 16 日.

***Pterois antennata* (Bloch, 1787)**

ネッタイミノカサゴ

文献 堀ほか (2014) : fig. 47, 長門市仙崎青海島沖.

***Pterois lunulata* Temminck and Schlegel, 1843**

ミノカサゴ

標本 FAKU 134817, 長崎県対馬北東沖, 2012 年 2 月 29 日; FAKU 138914, 長門市仙崎青海島沖, 水深 84 m, 2015 年 7 月 30 日; HH-Pi 776, 下関市豊浦町室津下沖, 2017 年 3 月 31 日; HH-Pi 875, 体長 59.4 mm, 萩市沖, 2018 年 5 月 29 日; HH-Pi 2645, 体長 62.7 mm, 下関市沖, 2019 年 6 月 22 日。

画像 KPM-NR 198585, 長崎県対馬北東沖, 2012 年 2 月 29 日; KPM-NR 198586, 長門市仙崎青海島沖, 水深 84 m, 2015 年 7 月 30 日; KPM-NR 198587, 長崎県対馬東沖, 2006 年 5 月 30 日; KPM-NR 198655, 下関市豊浦町室津下沖, 2017 年 3 月 31 日; KPM-NR 198757, 萩市沖, 2018 年 5 月 29 日; KPM-NR 198941, 下関市豊浦町室津下沖, 2006 年 9 月 25 日; KPM-NR 203273, 体長 62.7 mm, 下関市沖, 2019 年 6 月 22 日。

文献 堀ほか (2014) : HH-Pi 372, 2 個体, 萩市須佐長磯沖; 堀ほか (2014) : HH-Pi 389, 萩市須佐沖; 堀ほか (2014) : fig. 45, 萩市見島沖; 藤原ほか (2018) : KAUM-I. 97315 (fig. 5P), 萩市見島沖.

***Pterois volitans* (Linnaeus, 1758)**

ハナミノカサゴ

文献 堀ほか (2014) : fig. 46, 長門市仙崎青海島沖.

***Scorpaena miostoma* Günther, 1877**

コクチフサカサゴ

標本 HH-Pi 370, 体長 77.2 mm, 萩市須佐長磯沖, 水深 15 m, 2012 年 6 月 20 日; HH-Pi 371, 体長 97.2 mm, 萩市須佐長磯沖, 水深 15 m, 2012 年 6 月 20 日。

画像 KPM-NR 198238, 長門市沖, 1997 年 8 月 27 日.

***Scorpaena neglecta* Temminck and Schlegel, 1843**

イズカサゴ

標本 FAKU 143611, 山口県沖, 水深 138 m, 2016 年 10 月 17 日; FAKU 143656, 下関市豊北町角島北西沖, 水深 126 m, 2016 年 12 月 12 日; SNFR 15453, 体長 84.8 mm, 山口県沖, 水深 115 m, 1977 年 7 月 22 日。

画像 KPM-NR 198073, KPM-NR 198074, 下関市豊北町角島北西沖, 水深 126 m, 2016 年 12 月 12 日。

***Scorpaena onaria* Jordam and Snyder, 1900**

フサカサゴ

標本 SNFR 15877, 体長 89.2 mm, 山口県沖, 水深 118 m, 1998 年 7 月 25 日。

***Scorpaenodes evides* (Jordan and Thompson, 1914)**

イソカサゴ

文献 堀ほか (2014) : fig. 50, 萩市見島沖。

***Scorpaenopsis cirrosa* (Thunberg, 1793)**

オニカサゴ

画像 KPM-NR 198123, 長門市沖, 1997 年 7 月 11 日。

文献 堀ほか (2014) : HH-Pi 374, 萩市須佐沖; 堀ほか (2014) : fig. 48, 長門市仙崎青海島沖; 藤原ほか (2018) : KAUM-I. 97405 (fig. 5Q), 下関市蓋井島と六連島の間。

***Scorpaenopsis neglecta* Heckel, 1839**

サツマカサゴ

標本 HH-Pi 339, 体長 38.7 mm, 下関市豊浦町室津下沖, 2006 年 10 月 31 日。

文献 堀ほか (2014) : fig. 49, 長門市仙崎青海島沖。

***Scorpaenopsis papuensis* (Cuvier, 1829)**

ウルマカサゴ (Fig. 4I)

文献 藤原ほか (2018) : KAUM-I. 97247, 下関市豊北町沖, *Inimicus japonicus* オニカサゴと報告。

備考 KAUM-I. 97247 は、胸鰭条数 18, 眼窓径が眼隔幅より狭い, 眼後棘内側の耳棘前方には棘や小瘤はない, 涙骨隆起の先端は皮膚に埋没する, 主鰓蓋骨上方棘の後端は単尖頭, 背鰭棘の中で第 3 棘が最も長い, 体側および各鰭に小黒斑がない, 側線縦横列鱗数が 48 などの特徴が Cuvier and Valenciennes (1829) の *Scorpaena papuensis*, Randall and Eschmeyer (2001), Kimura et al. (2003), 本村ほか (2004), 本村 (2013, 2014, 2019), 中坊・甲斐 (2013d) および池田・中坊 (2015) の *Scorpaenopsis papuensis* の範囲内であり, 形態の記載とよく一致したため, 本種に再同定した。

日本沿岸海域からは, 千葉県館山湾, 和歌山県, 伊豆諸島, 大隅諸島および琉球列島からの記録があるが (Randall and Eschmeyer, 2001; 本村ほか, 2004; Motomura and Aizawa, 2011; 本村, 2013, 2014, 2019; 中坊・甲斐, 2013d; 池田・中坊, 2015; Koeda et al., 2016; 木村ほか, 2017; Motomura and Harazaki, 2017; Mochida and Motomura, 2018; Nakae et al., 2018), 日本海からは報告がない。したがって, 本報告は証拠標本を伴う日本海初の記録である。

Apistidae ハチ科***Apistus carinatus* (Bloch and Schneider, 1801)**

ハチ

標本 HH-Pi 2190, 体長 11.4 mm, HH-Pi 2191, 4 個体, 体長 11.1–16.5 mm, HH-Pi 2192, 8 個体, 体長 12.5–17.9 mm, HH-Pi 2193, 7 個体, 体長 13.6–25.5 mm, HH-Pi 2194, 体長 15.3 mm, HH-Pi 2195, 体長 12.7 mm, 下関市豊北町神田上土井ヶ浜沖, 2001 年 9 月 27 日; HH-Pi 2196, 3 個体, 体長 10.9–22.4 mm, 下関市豊北町神田上土井ヶ浜沖, 1998 年 10 月 5 日.

画像 KPM-NR 198440, 長門市沖, 1997 年 7 月 30 日; KPM-NR 154731, 長門市仙崎青海島沖, 水深 5 m.

文献 堀ほか (2014) : HH-Pi 25, 萩市沖; 堀ほか (2014) : fig. 51, 長門市仙崎青海島沖.

Tetrarogidae ハオコゼ科

Ocosia fasciata Matsubara, 1943

シマハチオコゼ

標本 SNFR 15755, 体長 46.5 mm, 山口県沖, 水深 115 m, 1996 年 7 月 23 日.

Paracentropogon rubripinnis (Temminck and Schlegel, 1843)

ハオコゼ

標本 HH-Pi 478, 体長 45.4 mm, 萩市須佐沖, 2012 年 6 月 1 日.

画像 KPM-NR 198936, 下関市豊浦町室津下沖, 2006 年 9 月 25 日.

文献 堀ほか (2014) : fig. 52, 長門市仙崎青海島沖.

Synanceiidae オニカサゴ科

Erosa erosa (Cuvier, 1829)

ダルマオコゼ

文献 堀ほか (2014) : HH-Pi 29, 萩市沖; 堀ほか (2014) : fig. 55, 長門市仙崎青海島沖.

Inimicus didactylus (Pallas, 1769)

ヒメオニオコゼ

文献 堀ほか (2014) : fig. 53, 長門市仙崎青海島沖.

Inimicus japonicus (Cuvier, 1829)

オニオコゼ

標本 HH-Pi 693, 体長 186.9 mm, 萩市大島沖, 2017 年 6 月 20 日; HH-Pi 569, 体長 170.0 mm, 萩市沖, 2014 年 11 月; HH-Pi 2649, 体長 125.0 mm, HH-Pi 2650, 体長 117.0 mm, HH-Pi 2651, 体長 139.4 mm, 下関市沖, 2019 年 6 月 21 日.

画像 KPM-NR 198122, 長門市沖, 1997 年 7 月 11 日; KPM-NR 198926, 下関市豊浦町室津下沖, 2006 年 6 月 21 日; KPM-NR 203277, 体長 125.0 mm, KPM-NR 203278, 体長 117.0 mm, KPM-NR 203279, 体長 139.4 mm, 下関市沖, 2019 年 6 月 21 日.

文献 堀ほか (2014) : HH-Pi 378, 萩市見島沖; 堀ほか (2014) : HH-Pi 447, 萩市須佐沖; 堀ほか (2014) : fig. 54, 長門市仙崎青海島沖; 藤原ほか (2018) : KAUM-I. 49558, 下関市沖; 藤原ほか (2018) : KAUM-I. 87207 (fig. 6D), 萩市見島沖; Inaba and Motomura (2018) : KAUM-I. 49558, 下関市沖; Inaba and Motomura (2018) : KAUM-I. 87207, 萩市見島沖; 河野ほか (2020) : HH-Pi 671, 萩市須佐沖.

Minous monodactylus (Bloch and Schneider, 1801)

ヒメオコゼ

標本 SNFR 19107, 体長 29.1 mm, 長門市油谷向津具下北沖, 水深 101–101 m, 2012 年 6 月 12 日.

***Minous pusillus* Temminck and Schlegel, 1843**

ヤセオコゼ

画像 KPM-NR 198990, 長門市沖, 2018年6月19日.

***Synanceia verrucosa* Bloch and Schneider, 1801**

オニダルマオコゼ (Fig. 4J)

文献 堀ほか (2014) : HH-Pi 390, 萩市須佐沖, *Inimicus japonicus* オニオコゼと報告.

備考 HH-Pi 390 は、胸鰭条数は 18 で遊離軟条がない、頭部が縦扁する、眼と口は上を向く、眼窓間に横断する骨稜がない、後頭部のくぼみは深く、その形状は四角ではない、全ての軟条が厚い皮膚に覆われる、背鰭の鰭膜は深く切れ込まないなどの特徴が、Bloch and Schneider (1801), Eschmeyer and Rao (1973), 中坊・甲斐 (2013e), 池田・中坊 (2015) および星野・三木 (2018) の *Synanceia verrucosa* と形態の記載がよく一致したため、本種に再同定した。本標本は萩市沖で採集されたこと以外の詳細は不明である。

日本沿岸海域からは八丈島、小笠原諸島、和歌山県白浜、高知県柏島、大分県佐伯市、宮崎県門川湾、目井津、鹿児島県竹島、種子島、屋久島、トカラ列島および琉球列島からの記録があるが (市川ほか, 1992; 平田ほか, 1996; Randall et al., 1997; 本村ほか, 2001; 石田, 2002; 萩原, 2013; 中坊・甲斐, 2013e; 池田・中坊, 2015; 鎌木, 2016; 星野・三木, 2018; Nakae et al., 2018), 日本海からの報告がない。したがって、本報告は証拠標本を伴う日本海初の記録である。

Aploactinidae イボオコゼ科***Aploactis aspera* (Richardson, 1845)**

イボオコゼ

文献 堀ほか (2014) : fig. 57, 長門市仙崎青海島沖.

***Erisphex pottii* (Steindachner, 1896)**

アブオコゼ

標本 FAKU 138884, 体長 65.9 mm, FAKU 138885, 体長 51.9 mm, FAKU 138886, 体長 47.4 mm, FAKU 138887, 体長 48.6 mm, FAKU 138888, 体長 47.7 mm, FAKU 138889, 4 個体, 体長 40.4–57.6 mm, 山口県沖, 水深 136 m, 2015年7月29日; HH-Pi 598, 体長 43.3 mm, 萩市沖, 2009年6月16日。

画像 KPM-NR 198050, 山口県沖, 水深 136 m, 2015年7月29日; KPM-NR 198813, 下関市沖, 2009年6月12日。

文献 堀ほか (2014) : HH-Pi 28, 萩市沖; 堀ほか (2014) : fig. 56, 萩市見島沖.

Bembridae アカゴチ科***Bembras japonica* Cuvier, 1829**

アカゴチ

標本 FAKU 134668, FAKU 134669, FAKU 134670, FAKU 134671, 福岡県宗像市沖ノ島北沖, 2011年11月28日。

画像 KPM-NR 198032, 福岡県宗像市沖ノ島北沖, 2011年11月28日。

備考 本種の学名は Imamura et al. (2018) に従った。

Triglidae ホウボウ科***Chelidonichthys spinosus* (McClelland, 1843)**

ホウボウ

画像 KPM-NR 198517, 萩市沖, 水深 60 m, 2011年4月6日; KPM-NR 198518, KPM-NR

198519, 長門市仙崎港, 1997年7月13日.

文献 藤原ほか (2018) : KAUM-I. 49546 (fig. 6E), 下関市沖; 藤原ほか (2018) : KAUM-I. 97245, 長門市油谷湾.

***Lepidotrigla abyssalis* Jordan and Starks, 1904**

ソコカナガシラ

標本 SNFR 15318, 2個体, 体長 40.1–43.7 mm, 山口県沖, 水深 129 m, 1998年7月22日; SNFR 15875, 体長 97.8 mm, 山口県沖, 水深 118 m, 1998年7月25日.

***Lepidotrigla alata* (Houttuyn, 1782)**

イゴダカホデリ

標本 HH-Pi 2646, 体長 48.6 mm, 下関市沖, 2019年6月22日.

画像 KPM-NR 203274, 体長 48.6 mm, 下関市沖, 2019年6月22日.

***Lepidotrigla guentheri* Hilgendorf, 1879**

カナド

標本 FAKU 143657, FAKU 143658, FAKU 143659, FAKU 143660, FAKU 143661, 下関市豊北町角島北西沖, 水深 126 m, 2016年12月12日; HH-Pi 851, 体長 47.9 mm, 下関市沖, 2017年1月20日; HH-Pi 872, 体長 103.3 mm, 萩市見島東沖, 水深 70–80 m, 2018年5月30日.

画像 KPM-NR 198153A, B, 下関市豊北町角島北西沖, 水深 126 m, 2016年12月12日; KPM-NR 198733, 下関市沖, 2017年1月20日; KPM-NR 198754, 体長 103.3 mm, 萩市見島東沖, 水深 70–80 m, 2018年5月30日.

***Lepidotrigla hime* Matsubara and Hiyama, 1932**

ヒメソコカナガシラ

標本 SNFR 15324, 3個体, 体長 94.5–105.6 mm, 山口県沖, 水深 129–131 m, 1998年7月14日.

***Lepidotrigla japonica* (Bleeker, 1854)**

トゲカナガシラ

標本 FAKU 133213, FAKU 133214, FAKU 133215, FAKU 133216, FAKU 133217, FAKU 133218, 7個体, 体長 97.2–141.4 mm, 萩市沖, 2011年4月6日.

画像 KPM-NR 198394A, B, 萩市沖, 水深 60 m, 2011年4月6日.

***Lepidotrigla kishinouyi* Snyder, 1911**

オニカナガシラ

標本 FAKU 134834, 8個体, 体長 129.2–150.4 mm, 対馬東沖, 2012年2月29日.

画像 KPM-NR 198124A, B, 長崎県対馬北東沖, 2012年2月29日; KPM-NR 198125, 山口県沖, 2015年6月15日; KPM-NR 198126, 長崎県対馬東沖, 2006年5月30日; KPM-NR 198127, 長門市油谷津黄沖, 2012年5月22日; KPM-NR 205015, 長門市仙崎青海島, 2015年6月22日.

***Lepidotrigla microptera* Günther, 1873**

カナガシラ

標本 FAKU 134838, 体長 168.4 mm, FAKU 134840, 体長 233.6 mm, FAKU 134841, 体長 219.0 mm, FAKU 134842, 体長 205.4 mm, 対馬東沖, 2012年2月29日; SNFR 15899, 体長 166.0 mm, 山口県沖, 水深 109 m, 1995年5月24日.

画像 KPM-NR 198151, 山口県沖, 2015年6月15日; KPM-NR 198152, 長崎県対馬東沖, 2006年5月30日.

Peristediidae

キホウボウ科

Peristedion liorhynchus (Günther, 1872)

モヨウキホウボウ

標本 SNFR 12547, 体長 66.9 mm, 山口県沖, 水深 136 m, 1994 年 7 月 15 日.

Satyrichthys rieffeli (Kaup, 1859)

イソキホウボウ

標本 HH-Pi 18, 体長 249.0 mm, 山口県沖, 乾燥標本.

Peristediidae, undetermined genus and species

キホウボウ科の未同定種

画像 KPM-NR 109526A–H, 長門市仙崎青海島沖, 2016 年 5 月 31 日; KPM-NR 154733, 長門市仙崎青海島沖.

Hoplichthyidae ハリゴチ科*Hoplichthys filamentosus* Matsubara and Ochiai, 1950

イトハリゴチ

標本 SNFR 18570, 体長 137.2 mm, 山口県沖, 水深 141 m, 2012 年 4 月 24 日.

Hoplichthys gilberti Jordan and Richardson, 1908

ソコハリゴチ

標本 FAKU 139090, FAKU 139091, FAKU 139092, FAKU 139093, FAKU 139094, FAKU 139095, FAKU 139096, 山口県沖, 水深 133 m, 2015 年 7 月 29 日; HH-Pi 894, 体長 144.0 mm, 萩市見島東沖, 水深 60–79 m, 2017 年 4 月 12 日.

画像 KPM-NR 198353A, B, C, 山口県沖, 水深 133 m, 2015 年 7 月 29 日; KPM-NR 198777, 体長 144.0 mm, 萩市見島東沖, 水深 60–79 m, 2017 年 4 月 12 日.

Hoplichthys langsfordii Cuvier, 1829

ナツハリゴチ

標本 FAKU 133200, 体長 154.7 mm, FAKU 133201, 体長 133.5 mm, 長門市沖, 2011 年.

画像 KPM-NR 198417, 長門市仙崎大日比沖, 2010 年 6 月 7 日; KPM-NR 198418A,B, 長門市沖, 2011 年 3 月 7 日; KPM-NR 198419, 長門市沖, 1998 年 9 月 9 日; KPM-NR 198420, 長門市油谷津黃沖, 2012 年 5 月 22 日.

Platycephalidae コチ科*Cociella crocodila* (Cuvier, 1829)

イネゴチ

文献 藤原ほか (2018) : KAUM-I. 97229, KAUM-I. 97432 (fig. 6F), 下関市蓋井島と六連島の間.

Inegocia japonica (Cuvier, 1829)

トカゲゴチ

標本 HH-Pi 796, 体長 178.2 mm, 下関市彦島迫町西山沖, 2017 年 9 月 2 日; HH-Pi 852, 体長 79.5 mm, 下関市沖, 2017 年 1 月 20 日; HH-Pi 2641, 体長 178.0 mm, HH-Pi 2642, 体長 103.2 mm, HH-Pi 2643, 体長 89.6 mm, 下関市沖, 2019 年 6 月 22 日.

画像 KPM-NR 198674, 体長 178.2 mm, 下関市彦島迫町西山沖, 2017 年 9 月 2 日; KPM-NR 198734, 下関市沖, 2017 年 1 月 20 日; KPM-NR 203269, 体長 178.0 mm, KPM-NR 203270, 体長 103.2 mm, KPM-NR 203271, 体長 89.6 mm, 下関市沖, 2019 年 6 月 22 日.

文献 藤原ほか (2018) : KAUM-I. 97408 (fig. 6G), 下関市蓋井島と六連島の間.

Inegocia ochiaii Imamura, 2010

ワニゴチ

画像 KPM-NR 198651, 長門市仙崎港, 1997 年 9 月 22 日.

文献 藤原ほか (2018) : KAUM-I. 97409 (fig. 6H), 下関市蓋井島と六連島の間.

Onigocia macrolepis (Bleeker, 1854)

アネサゴチ

標本 FAKU 134688, 5 個体, 体長 79.4–110.7 mm, 長門市沖, 水深 90 m, 2011 年 10 月 7 日. HH-Pi 2617, 体長 97.8 mm, HH-Pi 2618, 体長 91.2 mm, 下関市伊崎沖, 2019 年 6 月 2 日.

画像 KPM-NR 198048A, B, 長門市沖, 水深 90 m, 2011 年 10 月 7 日; KPM-NR 203242A, B, 体長 97.8 mm, KPM-NR 203243A, B, 体長 91.2 mm, 下関市伊崎沖, 2019 年 6 月 2 日.

Onigocia spinosa (Temminck and Schlegel, 1843)

オニゴチ

標本 FAKU 143684, 山口県沖, 2016 年 10 月 19 日; HH-Pi 874, 体長 89.0 mm, 萩市沖, 2018 年 5 月 29 日.

画像 KPM-NR 198129A, B, 山口県沖, 2016 年 10 月 19 日; KPM-NR 198756, 体長 89.0 mm, 萩市沖, 2018 年 5 月 29 日.

Platycephalus sp. 1

ヨシノゴチ

文献 藤原ほか (2018) : KAUM-I. 97433 (fig. 6I), 下関市蓋井島と六連島の間.

Platycephalus sp. 2

マゴチ

画像 KPM-NR 198539, 長門市沖, 2012 年 6 月 1 日.

文献 藤原ほか (2018) : KAUM-I. 97429 (fig. 6J), 下関市沖.

Ratabulus diversidens (McCulloch, 1914)

ハナメゴチ

画像 KPM-NR 198452A, B, 長崎県対馬北東沖, 2012 年 3 月 28 日.

備考 本種の学名は Imamura and Gomon (2010) に従った.

Rogadius asper (Cuvier, 1829)

マツバゴチ

標本 FAKU 134704, 体長 162.0 mm, 長門市沖, 水深 92 m, 2011 年 10 月 7 日; FAKU 138902, 体長 111.0 mm, 長門市仙崎青海島沖, 水深 84 m, 2015 年 7 月 30 日; FAKU 139082, 体長 145.0 mm, 長門市油谷向津具下川尻岬沖, 水深 104 m, 2015 年 7 月 30 日.

画像 KPM-NR 198556A, B, 長門市沖, 水深 92 m, 2011 年 10 月 7 日.

***Suggrundus meerdervoortii* (Bleeler, 1860)**

メゴチ

標本 HH-Pi 912, 体長 193.9 mm, 下関市蓋井島沖, 2018 年 6 月 19 日.

画像 KPM-NR 198601, 長崎県対馬東沖, 2006 年 4 月 14 日; KPM-NR 198602, 長崎県対馬東沖, 2006 年 5 月 29 日; KPM-NR 198603, 萩市見島西沖, 2012 年 10 月 25 日; KPM-NR 198797, 下関市蓋井島沖, 2018 年 6 月 19 日.

Platycephalidae, undetermined genus and species

コチ科の未同定種

画像 KPM-NR 154728, 長門市仙崎青海島沖, 水深 5 m.

Dactylopteridae セミホウボウ科***Dactyloptena gilberti* Snyder, 1909**

オキセミホウボウ

画像 KPM-NR 203225A, B, C, 長門市油谷川尻沖, 2010 年 9 月 18 日.

***Dactyloptena orientalis* (Cuvier, 1829)**

セミホウボウ

標本 FAKU 145966, 長門市通沖, 2006 年 11 月 9 日.

画像 KPM-NR 198345, 長門市通沖, 2006 年 11 月 9 日; KPM-NR 198894, 長門市通沖, 2017 年 12 月 28 日.

文献 藤原ほか (2018) : NFU-510-743 (fig. 6N), 下関市永田本町沖.

***Daicocus peterseni* (Nyström, 1887)**

ホシセミホウボウ

標本 FAKU 146094, 長門市油谷川尻沖, 2018 年 2 月 23 日; NSMT-P 114772, 体長 399.1 mm, 下関市永田本町沖, 2013 年 5 月 7 日.

画像 KPM-NR 198900A, B, 長門市油谷川尻沖, 2018 年 2 月 23 日.

Lateolabracidae スズキ科***Lateolabrax japonicus* (Cuvier, 1828)**

スズキ

標本 HH-Pi 754, 体長 300 mm, 萩市三見沖, 2017 年 4 月 21 日; HH-Pi 783, 体長 239.2 mm, 下関市豊浦町室津下沖, 2017 年 3 月 31 日; HH-Pi 2154, 106 個体, HH-Pi 2155, 64 個体, 下関市豊北町神田上土井ヶ浜沖, 1999 年 5 月 14 日.

画像 KPM-NR 198337, 萩市沖, 2012 年 6 月 2 日; KPM-NR 198855, 萩市三見沖, 2017 年 4 月 21 日; KPM-NR 198661, 下関市豊浦町室津下沖, 2017 年 3 月 31 日.

文献 藤原ほか (2018) : KAUM-I. 97434 (fig. 6O), 下関市蓋井島と六連島の間; 藤原ほか (2018) : KAUM-I. 97676, 下関市永田本町沖.

***Lateolabrax latus* Katayama, 1957**

ヒラスズキ

標本 HH-Pi 2153, 3 個体, 体長 23.4–27.2 mm, 下関市豊北町神田上土井ヶ浜沖, 1996 年 5 月 31 日; HH-Pi 2205, 体長 85.5 mm, HH-Pi 2206, 体長 122.8 mm, HH-Pi 2207, 体長 141.9 mm, HH-Pi 2208, 体長 118.2 mm, HH-Pi 2209, 体長 137.2 mm, HH-Pi 2210, 体長 125.4 mm, HH-Pi 2211, 体長 126.9 mm, HH-Pi 2212, 体長 131.3 mm, HH-Pi 2213, 体長 145.5 mm, HH-Pi 2214, 体

長 133.2 mm, HH-Pi 2215, 体長 135.0 mm, HH-Pi 2216, 体長 177.5 mm, HH-Pi 2217, 体長 142.2 mm, HH-Pi 2218, 体長 170.2 mm, HH-Pi 2219, 体長 154.9 mm, HH-Pi 2220, 体長 174.6 mm, HH-Pi 2221, 体長 167.7 mm, HH-Pi 2222, 体長 195.5 mm, HH-Pi 2223, 176.1 mm, HH-Pi 2224, 体長 167.5 mm, HH-Pi 2225, 体長 180.3 mm, HH-Pi 2226, 体長 208.0 mm, HH-Pi 2227, 体長 212.0 mm, HH-Pi 2228, 体長 218.5 mm, HH-Pi 2229, 体長 204.2 mm, HH-Pi 2230, 体長 222.7 mm, HH-Pi 2231, 体長 216.4 mm, HH-Pi 2232, 体長 135.8 mm, HH-Pi 2233, 体長 138.8 mm, HH-Pi 2234, 体長 137.0 mm, HH-Pi 2235, 体長 141.9 mm, HH-Pi 2236, 体長 141.0 mm, HH-Pi 2237, 体長 137.4 mm, HH-Pi 2238, 体長 160.0 mm, HH-Pi 2239, 体長 133.8 mm, HH-Pi 2240, 体長 161.0 mm, HH-Pi 2241, 体長 138.6 mm, HH-Pi 2242, 体長 173.1 mm, HH-Pi 2243, 体長 155.7 mm, HH-Pi 2244, 体長 210.0 mm, HH-Pi 2245, 体長 223.8 mm, HH-Pi 2247, 体長 229.3 mm, 下関市豊北町神田上土井ヶ浜沖; HH-Pi 2248, 3 個体, 体長 15.2–16.6 mm, HH-Pi 2249, 体長 18.9 mm, HH-Pi 2250, 10 個体, 体長 14.8–17.1 mm, HH-Pi 2251, 3 個体, 体長 15.4–16.6 mm, 下関市豊北町神田上土井ヶ浜沖, 1999 年 5 月 14 日; HH-Pi 2252, 3 個体, 体長 131.4–149.0 mm, HH-Pi 2253, 7 個体, 体長 131.0–147.7 mm, 下関市豊北町神田上土井ヶ浜沖, 1998 年 9 月 1 日; HH-Pi 2254, 体長 207.8 mm, 下関市豊北町神田上土井ヶ浜沖, 1998 年 11 月 19 日; HH-Pi 2255, 9 個体, 体長 64.2–95.1 mm, 下関市豊北町神田上土井ヶ浜沖, 1999 年 7 月 7 日; HH-Pi 2256, 体長 132.7 mm, HH-Pi 2257, 体長 149.4 mm, 下関市豊北町神田上土井ヶ浜沖, 1999 年 10 月 18 日; HH-Pi 2258, 2 個体, 体長 174–178.1 mm, 下関市豊北町神田上土井ヶ浜沖, 1999 年 11 月 10 日.

画像 KPM-NR 198478, 長門市三隅下野波瀬沖, 2011 年 12 月 14 日.

文献 藤原ほか (2018) : NFU-510-665 (fig. 6P), 下関市吉母漁港.

Polyprionidae イシナギ科

***Stereolepis doederleini* Lindberg and Krasyukova, 1969**

オオクチイシナギ

画像 KPM-NR 198114, 山口県沖, 2007 年 4 月 24 日; KPM-NR 198115, 萩市見島沖, 2008 年 3 月 9 日.

Acropomatidae ホタルジヤコ科

***Doederleinia berycoides* (Hilgendorf, 1879)**

アカムツ

標本 FAKU 139101, 山口県沖, 水深 133 m, 2015 年 7 月 29 日; HH-Pi 811, 体長 165.8 mm, 萩市見島西沖, 水深 120 m, 2018 年 3 月 8 日.

画像 KPM-NR 198037, 山口県沖, 水深 133 m, 2015 年 7 月 29 日; KPM-NR 198038, 長崎県対馬東沖, 2008 年 3 月 26 日; KPM-NR 198690, 体長 165.8 mm, 萩市見島西沖, 水深 120 m, 2018 年 3 月 8 日.

***Malakichthys wakiyae* Jordan and Hubbs, 1925**

ワキヤハタ

標本 FAKU 138883, 体長 58.8 mm, 山口県沖, 水深 139 m, 2015 年 7 月 29 日; SNFR 18496, 体長 108.0 mm, 山口県沖, 水深 150 m, 2012 年 4 月 24 日.

画像 KPM-NR 198644, 山口県沖, 水深 139 m, 2015 年 7 月 29 日; KPM-NR 198645, 長崎県対馬東沖, 2012 年 9 月 24 日.

***Parascombrops philippensis* (Günther, 1880)**

ヒメスミクイウオ

標本 FAKU 143594, 体長 57.3 mm, FAKU 143595, 体長 52.0 mm, FAKU 143596, 体長 56.0

mm, FAKU 143597, 体長 50.0 mm, 山口県沖, 水深 138 m, 2016 年 10 月 17 日.

画像 KPM-NR 198474, 長崎県対馬東沖, 2012 年 10 月 25 日.

文献 藤原ほか (2018) : KAUM-I. 87391 (fig. 6Q), 萩市見島沖.

備考 本種の学名は Schwarzhans and Prokofiev (2017) に従った.

Serranidae ハタ科

Caprodon schlegelii (Günther, 1859)

アカイサキ

標本 FAKU 133084, 体長 320 mm, 山口県沖, 水深 110 m, 2011 年 9 月 13 日; FAKU 133085, 体長 260.0 mm, 萩市見島八里ヶ瀬沖, 水深 80 m, 2011 年 9 月 12 日; SNFR 15751, 体長 184.9 mm, 山口県沖, 水深 115 m, 1996 年 7 月 23 日.

画像 KPM-NR 198021, 萩市見島八里ヶ瀬北沖, 水深 78 m, 2011 年 9 月 12 日; KPM-NR 198022, 山口県沖, 水深 95 m, 2016 年 10 月 25 日; KPM-NR 198023A, B, 山口県沖, 水深 108 m, 2011 年 9 月 13 日; KPM-NR 198024, 萩市見島沖, 1998 年 11 月 13 日; KPM-NR 198025, 山口県沖, 2010 年 1 月 18 日.

Chelidoperca hirundinacea (Valenciennes, 1831)

ヒメコダイ

標本 FAKU 134652, 体長 113.6 mm, 下関市沖, 2011 年 10 月 28 日.

画像 KPM-NR 198469, 長崎県対馬北東沖, 2011 年 10 月 28 日; KPM-NR 198470, 長門市沖, 1998 年 9 月 9 日; KPM-NR 198471, 長崎県対馬東沖, 2012 年 9 月 24 日.

文献 藤原ほか (2018) : KAUM-I. 97313 (fig. 6R), 萩市見島沖.

Chelidoperca pleurospilus (Günther, 1880)

ホシヒメコダイ

標本 SNFR 19451, 体長 26.1 mm, SNFR 19452, 2 個体, 体長 34.2–35.2 mm, 下関市豊北町角島西沖, 水深 100–103 m, 2012 年 6 月 12 日.

備考 本種の学名は Ogino et al. (2019) に従った.

Chelidoperca tosaensis Matsunuma, Yamakawa and Williams, 2017

トサヒメコダイ

標本 HH-Pi 899, 体長 73.3 mm, 下関市蓋井島沖, 2018 年 6 月 17 日.

画像 KPM-NR 198783, 体長 73.3 mm, 下関市蓋井島沖, 2018 年 6 月 17 日.

文献 Matsunuma et al. (2017) : NSMT-P 129227 (formerly SNFR 15882), 萩市見島沖.

備考 本種の同定と標準和名は Matsunuma et al. (2017) に従った.

Diplopriion bifasciatum Cuvier, 1828

キハツソク

標本 HH-Pi 71, 体長 102.4 mm, 萩市沖; HH-Pi 322, 体長 121.8 mm, 萩市山田沖, 2010 年 7 月 29 日; HH-Pi 362, 2 個体, 体長 18.7–20.9 mm, 阿武郡阿武町宇田沖, 2007 年 9 月 10 日; HH-Pi 402, 2 個体, 体長 162.4–171.1 mm, 下関市蓋井島沖, 水深 30 m, 2005 年 12 月 5 日.

画像 KPM-NR 198181, 長門市油谷後畑沖, 2007 年 9 月 28 日; KPM-NR 198182, 長門市油谷湾, 2016 年 8 月 25 日; KPM-NR 198983, 下関市豊浦町小串沖, 2012 年 6 月 26 日.

Epinephelus akaara (Temminck and Schlegel, 1843)

キジハタ

標本 HH-Pi 567, 体長 217.8 mm, 阿武郡阿武町宇田姫島沖, 2015 年 12 月 20 日.
 画像 KPM-NR 198174, 長門市沖, 2012 年 10 月 9 日.
 文献 藤原ほか (2018) : KAUM-I. 97255, 下関市豊北町沖; 藤原ほか (2018) : KAUM-I. 97342 (fig. 6S), 萩市見島沖.

Epinephelus awoara (Temminck and Schlegel, 1843)

アオハタ

標本 CBM-ZF 13995, 2 個体, 体長 144.1–146.6 mm, 長門市仙崎沖, 2012 年 9 月 24 日.
 画像 KPM-NR 198009, 萩市相島北西沖, 水深 75 m, 2010 年 11 月 17 日; KPM-NR 198010, 長門市油谷湾, 2011 年 9 月 14 日; KPM-NR 198011, 長門市油谷津黄沖, 2012 年 5 月 22 日; KPM-NR 198012, 萩市沖, 2012 年 6 月 2 日.
 文献 藤原ほか (2018) : KAUM-I. 97211, 下関市沖; 藤原ほか (2018) : KAUM-I. 97246 (fig. 6T), 長門市油谷湾; 藤原ほか (2018) : KAUM-I. 97317, KAUM-I. 97318, 萩市沖.

Epinephelus chlorostigma (Valenciennes, 1928)

ホウセキハタ (Fig. 5A)

標本 HH-Pi 720, 体長 376 mm, 萩市見島沖, 2018 年 11 月 17 日.
 画像 KPM-NR 198516, 萩市見島沖, 2016 年 10 月 14 日; KPM-NR 203259, 体長 343 mm, 長門市仙崎沖, 2019 年 4 月 5 日.

備考 HH-Pi 720 は, 背鰭棘数 11, 臀鰭軟条数 8, 体の暗色斑は小さく網目模様を形成する, 尾鰭後縁は白い縁取りはないなどの特徴が, 片山 (1988), 瀬能 (2013c) の *Epinephelus chlorostigma* と形態および色彩の記載がよく一致したため本種と同定した.

日本沿岸海域からは九州北西岸, 濱戸内海, 相模湾から九州南岸の太平洋沿岸, 沖縄県および小笠原諸島からの記録があるが (片山, 1988; 瀬能, 2013c), 日本海からの報告がない. したがって, 本報告は証拠標本を伴う日本海初の記録である.

Epinephelus epistictus (Temminck and Schlegel, 1843)

コモンハタ

画像 KPM-NR 198263, 萩市沖, 2011 年 5 月 20 日; KPM-NR 198264, 萩市見島沖, 2012 年 6 月 2 日; KPM-NR 198265, 萩市沖, 2012 年 12 月 12 日.

文献 藤原ほか (2018) : KAUM-I. 97319 (fig. 6V), 萩市見島沖.

Epinephelus fasciatus (Forsskål, 1775)

アカハタ

標本 FAKU 133072, 体長 206.6 mm, 長門市油谷向津具上久津漁港, 2011 年 7 月 11 日.
 画像 KPM-NR 198034, KPM-NR 198035, 長門市油谷向津具上久津漁港, 2011 年 7 月 11 日; KPM-NR 198036, 萩市見島沖, 2006 年 4 月 19 日.

Epinephelus latifasciatus (Temminck and Schlegel, 1843)

オオスジハタ

標本 HH-Pi 834, 体長 30.9 mm, 下関市沖, 2017 年 12 月 16 日.
 画像 KPM-NR 198712, 下関市沖, 2017 年 12 月 16 日.
 文献 河野ほか (2015) : fig. 2-5, 下関市蓋井島沖.

Epinephelus moara (Temminck and Schlegel, 1842)

クエ

画像 KPM-NR 198198, 長門市仙崎大泊沖, 2011年8月1日; KPM-NR 198199, 萩市見島沖, 2012年5月21日.

文献 藤原ほか (2018) : KAUM-I. 76214 (fig. 6U), 下関市豊北町角島沖.

備考 本種の学名は Liu et al. (2013) に従った.

***Epinephelus octofasciatus* (Griffin, 1926)**

マハタモドキ

標本 NSMT-P 114773, 体長 81.5 mm, 下関市永田本町沖, 2012年9月24日.

***Epinephelus poecilonotus* (Temminck and Schlegel, 1843)**

イヤゴハタ

画像 KPM-NR 198089, 萩市見島沖, 2012年6月2日; KPM-NR 198090, 萩市沖, 2012年12月13日.

***Epinephelus septemfasciatus* (Thunberg, 1793)**

マハタ

標本 KAUM-I. 97385, 体長 210.3 mm, 萩市沖, 2015年8月21日.

画像 KPM-NR 73094, 長門市仙崎青海島沖, 水深 3 m; KPM-NR 198561, 長門市仙崎沖, 2010年4月16日; KPM-NR 198562, 山口県沖, 水深 65 m, 2010年11月17日; KPM-NR 198563, 長門市仙崎大泊沖, 2011年9月14日; KPM-NR 198564, 萩市見島北東沖, 水深 100 m, 2011年11月28日; KPM-NR 198565, 長門市沖, 1997年8月4日; KPM-NR 198566, 山口県沖, 2011年1月18日.

文献 藤原ほか (2018) : KAUM-I. 97217, KAUM-I. 97410, KAUM-I. 97435 (fig. 6W), 蓋井島と六連島の間.

***Epinephelus* sp.**

マハタ属の未同定種

画像 KPM-NR 159288, 長門市仙崎青海島沖, 水深 3 m.

***Grammistes sexlineatus* (Thunberg, 1792)**

ヌノサラシ

画像 KPM-NR 198432, 長門市油谷向津具下川尻岬沖, 2011年4月30日.

文献 河野ほか (2015) : fig. 2-6, 長門市油谷向津具下川尻岬沖.

***Niphon spinosus* Cuvier, 1828**

アラ

標本 SNFR 15893, 体長 146.2 mm, 山口県沖, 水深 129 m, 1995年5月24日.

画像 KPM-NR 198057, 長崎県対馬北東沖, 2012年3月28日; KPM-NR 198058, 萩市見島沖, 2006年5月16日; KPM-NR 198059, 萩市見島沖, 2008年4月16日; KPM-NR 198175, 深川湾, 1997年6月30日.

***Plectranthias kelloggi azumanus* (Jordan and Richardson, 1910)**

アズマハナダイ

標本 FAKU 134653, 体長 94.5 mm, 下関市沖, 2011年10月28日.

画像 KPM-NR 198047, 体長 94.5 mm, 下関市沖, 2011年10月28日.

***Plectropomus leopardus* (Lacepède, 1802)**

スジアラ

標本 HH-Pi 379, 体長 99.0 mm, 萩市須佐長磯沖, 水深 15 m, 2011 年 10 月 27 日.

***Pseudanthias elongatus* (Franz, 1910)**

ナガハナダイ

標本 HH-Pi 535, 体長 50.2 mm, 下関市蓋井島西沖, 水深 58 m, 2012 年 7 月 20 日; HH-Pi 733, 体長 85.1 mm, 阿武郡阿武町宇田沖, 2014 年 7 月 30 日.

画像 KPM-NR 198412, 下関市蓋井島西沖, 水深 58 m, 2012 年 7 月 20 日.

文献 河野ほか (2015) : fig. 2-4, 下関市蓋井島西沖.

***Pseudanthias rubrizonatus* (Randall, 1983)**

アカオビハナダイ (Fig. 5B)

標本 HH-Pi 572, 体長 58.2 mm, 萩市須佐長磯沖, 水深 12 m, 2014 年 10 月; HH-Pi 858, 体長 67.0 mm, 下関市沖, 2017 年 6 月 26 日.

画像 KPM-NR 198740, 下関市沖, 2017 年 6 月 26 日; KPM-NR 160281, 萩市相島沖, 水深 12 m.

備考 HH-Pi 858 は、背鰭に欠損はない、腹鰭先端は伸長する、背鰭基底に斑紋はない、尾鰭は上下両端が伸びる湾入形、体側に暗色の横帯があるなどの特徴が、Randall (1983) の *Anthias rubrizonatus*, Randall et al. (1990), Kuiter (1993), Motomura and Satapoomin (2009) および瀬能 (2013c) の *Pseudanthias rubrizonatus* の雄と形態および色彩の記載がよく一致したため、本種に同定した。

日本沿岸海域からは、伊豆大島、沢見湾、駿河湾、和歌山県南部、高知県柏島、愛媛県室手・引船越および鹿児島湾からの記録があるが (Shinohara et al., 2001; 瀬能, 2013c; 岩坪・本村, 2017)，日本海からの報告がない。したがって、本報告は証拠標本を伴う日本海初の記録である。

***Pseudanthias squamipinnis* (Peters, 1855)**

キンギョハナダイ

画像 KPM-NR 205018, 長門市仙崎青海島, 2018 年 10 月 26 日.

***Pseudanthias* sp.**

ベニハナダイ (Fig. 5C)

画像 KPM-NR 159290, 長門市仙崎紫津浦湾, 水深 12 m.

備考 KPM-NR 159290 は、背鰭棘条は 10、体側に目立った黒色や赤色斑はない、背鰭は欠損しない、腹鰭先端は尖る、臀鰭軟条は伸長しない、尾鰭は二叉型で、上下縁の鰭条は伸長しない、尾鰭後縁は糸状に伸長しない等の特徴が、片山 (1988), 瀬能 (1991, 2013c) の *Pseudanthias* sp. の雌とよく一致した。

日本沿岸海域からは、伊豆大島、八丈島、相模湾、駿河湾、和歌山県南部・串本、高知県柏島、屋久島、沖縄県伊江島・久米島・瀬底島および西表島からの記録があるが (片山, 1988; 瀬能, 1991, 2013c), 日本海からの報告がない。したがって、本報告は証拠画像を伴う日本海初の記録である。

***Sacura margaritacea* (Hilgendorf, 1879)**

サクラダイ

標本 FAKU 132745, 体長 108.3 mm, FAKU 132746, 体長 88.3 mm, FAKU 132747, 体長 117.2 mm, FAKU 132748, 体長 110.2 mm, 萩市見島八里ヶ瀬沖, 水深 67 m, 2010 年 8 月 25 日; FAKU 132936, 体長 129.5 mm, 萩市相島北沖, 水深 50 m, 2007 年 2 月 8 日; HH-Pi 69, 体長

108.6 mm, 萩市沖; HH-Pi 277, 体長 120.2 mm, 萩市大島沖, 2006 年 6 月 27 日; HH-Pi 280, 体長 116.7 mm, 萩市見島沖, 2004 年 7 月 2 日; HH-Pi 524, 体長 129.4 mm, 阿武郡阿武町宇田沖, 2014 年 11 月; HH-Pi 594, 体長 69.0 mm, 阿武郡阿武町宇田沖, 2014 年 8 月 28 日; HH-Pi 734, 体長 104.3 mm, 阿武郡阿武町宇田沖, 2013 年 8~9 月; HH-Pi 876, 体長 133.5 mm, 下関市豊北町角島沖, 2015 年 5 月 20 日。

画像 KPM-NR 198273, 萩市相島北沖, 水深 50 m, 2007 年 2 月 8 日; KPM-NR 198274, KPM-NR 198276, 萩市見島八里ヶ瀬北沖, 水深 67 m, 2010 年 8 月 25 日; KPM-NR 198275, 長門市沖, 1997 年 7 月 22 日; KPM-NR 198277, 長門市沖, 1997 年 7 月 23 日; KPM-NR 198278, 山口県沖, 2010 年 1 月 18 日; KPM-NR 198758, 体長 133.5 mm, 下関市豊北町角島沖, 2015 年 5 月 20 日; KPM-NR 28322, KPM-NR 28323, KPM-NR 28324, KPM-NR 28325, KPM-NR 28326, 萩市尾島東沖, 水深 30 m; KPM-NR 48768, 萩市須佐沖, 水深 30 m, 2005 年 5 月 7 日。

***Triso dermopterus* (Temminck and Schlegel, 1843)**

トビハタ

標本 HH-Pi 68, 体長 163.4 mm, 萩市沖, 1946 年 5 月.

画像 KPM-NR 198895, 萩市沖, 2017 年 9 月 27 日.

Callanthiidae シキシマハナダイ科

***Callanthias japonicus* Franz, 1910**

シキシマハナダイ

標本 FAKU 132755, 山口県沖, 水深 99 m, 2010 年 8 月 25 日; FAKU 132933, 萩市相島北沖, 水深 50 m, 2007 年 2 月 9 日; HH-Pi 418, 体長 138.7 mm, 阿武郡阿武町宇田沖, 2010 年 5 月 1 日; HH-Pi 533, 体長 118.4 mm, 阿武郡阿武町宇田北西 5 マイル沖, 2014 年 2 月; HH-Pi 683, 2 個体, 体長 110.0~141.4 mm, 阿武郡阿武町宇田北北西 3 マイル沖, 水深 70 m, 2017 年 5 月 7 日; HH-Pi 692, 体長 132.0 mm, 阿武郡阿武町宇田沖, 2011 年 4 月 26 日; HH-Pi 903, 体長 79.0 mm, HH-Pi 904, 体長 38.6 mm, 下関市蓋井島沖, 2018 年 6 月 19 日; HH-Pi 2655, 体長 82.6 mm, 長門市日置上黄波戸沖, 2019 年 5 月 24 日。

画像 KPM-NR 198303, 萩市相島北沖, 水深 50 m, 2007 年 2 月 9 日; KPM-NR 198304, 山口県沖, 水深 99 m, 2010 年 8 月 25 日; KPM-NR 198305, 長門市沖, 1997 年 7 月 22 日; KPM-NR 198306, 山口県沖, 2010 年 1 月 18 日; KPM-NR 198787, 体長 79.0 mm, KPM-NR 198788, 下関市蓋井島沖, 2018 年 6 月 19 日; KPM-NR 203281, 体長 82.6 mm, 長門市日置上黄波戸沖, 2019 年 5 月 24 日.

Opistognathidae アゴアマダイ科

***Opistognathus evermanni* (Jordan and Snyder, 1902)**

ニジアマダイ

文献 河野ほか (2011a) : fig. 2-4, 下関市吉見本町沖.

***Opistognathus hopkinsi* (Jordan and Snyder, 1902)**

アゴアマダイ

標本 FAKU 133058, 体長 74.3 mm, 下関市豊北町角島西沖, 水深 105 m, 2011 年 7 月 27 日; FAKU 143662, 体長 112.3 mm, 萩市見島沖, 2015 年 10 月 8 日; HH-Pi 2602, 体長 100.7 mm, 下関市豊北町角島 27 マイル沖, 2019 年 3 月 20 日.

画像 KPM-NR 198044, 山口県沖, 水深 55 m, 2010 年 8 月 25 日; KPM-NR 198045, 下関市豊北町角島北西沖, 水深 105 m, 2011 年 7 月 27 日; KPM-NR 203230, 体長 100.7 mm, 下関市豊北町角島 27 マイル沖, 2019 年 3 月 20 日.

***Stalix immaculata* Xu and Zhan, 1980**

ヒメアゴアマダイ (Fig. 5D)

標本 SNFR 19448, 体長 30.8 mm, 下関市豊北町角島西沖, 水深 103–100 m, 2012 年 6 月 12 日.

備考 SNFR 19448 は, 前部の背鰭棘は Y 字状で先端は二叉する, 背鰭に暗色斑がある, 背鰭以外の鰭に縞模様はないなどの特徴が, Xu et al. (1980), Smith-Vaniz (1989), Shinohara (2006), 藍澤・土居内 (2013b) の *Stalix immaculata* と形態および色彩の記載がよく一致したため, 本種に同定した.

日本沿岸海域からは, 相模湾, 長崎県五島列島, 東シナ海からの記録があるが (Smith-Vaniz, 1989; Shinohara, 2006; 藍澤・土居内, 2013b), 日本海からは報告がない. したがって, 本報告は証拠標本を伴う日本海初の記録である.

Banjosidae チヨウセンバカマ科***Banjos banjos banjos* (Rhichardson, 1846)**

チヨウセンバカマ

画像 KPM-NR 198372, 山口県沖, 2012 年 10 月 2 日.

備考 本種の学名は Matsunuma and Motomura (2017) に従った.

Priacanthidae キントキダイ科***Cookeolus japonicus* (Cuvier, 1829)**

チカラメキントキ

標本 FAKU 132758, 体長 272.0 mm, FAKU 132759, 体長 227.0 mm, 萩市見島沖, 水深 99 m, 2010 年 8 月 25 日; KAUM-I. 97375, 体長 170.9 mm, 長門市仙崎沖, 2014 年 4 月 18 日.

画像 KPM-NR 198365, KPM-NR 198366, 山口県沖, 水深 99 m, 2010 年 8 月 25 日; KPM-NR 198367, 下関市豊北町角島北西沖, 水深 109 m, 2011 年 7 月 27 日; KPM-NR 198368, 長門市沖, 1997 年 7 月 18 日; KPM-NR 198369, 山口県沖, 2010 年 1 月 18 日.

***Priacanthus macracanthus* Cuvier, 1829**

キントキダイ

画像 KPM-NR 198196, 長門市仙崎沖, 2010 年 4 月 16 日; KPM-NR 198197, 長門市沖, 1997 年 8 月 23 日.

文献 藤原ほか (2018) : KAUM-I. 97411 (fig. 7A), 下関市蓋井島と六連島の間.

***Priacanthus* sp.**

キントキダイ属の未同定種

標本 SNFR 15226, 体長 51.8 mm, 山口県沖, 水深 122 m, 1995 年 7 月 16 日.

Apogonidae テンジクダイ科***Apogonichthyooides niger* (Döderlein, 1883)**

クロイシモチ

標本 HH-Pi 805, 下関市沖, 水深 30 m, 2017 年 12 月 21 日; HH-Pi 850, 体長 85.0 mm, 下関市沖, 2017 年 1 月 20 日.

画像 KPM-NR 198684, 下関市沖, 水深 30 m, 2017 年 12 月 21 日; KPM-NR 198732, 体長 85.0 mm, 下関市沖, 2017 年 1 月 20 日.

備考 本種の学名は馬淵ほか (2015) に従った.

***Gymnapogon japonicus* Regan, 1905**

クダリボウズギス

画像 KPM-NR 150264, KPM-NR 150265, 長門市仙崎青海島沖, 水深 5 m.

***Jaydia carinata* (Cuvier, 1828)**

マトイシモチ

標本 HH-Pi 807, HH-Pi 808, 下関市沖, 水深 30 m, 2017 年 12 月 21 日; HH-Pi 871, 体長 83.7 mm, 萩市見島東沖, 水深 70–80 m, 2018 年 5 月 30 日; HH-Pi 986, 体長 40.6 mm, 長門市日置上黄波戸沖, 2018 年 11 月 10 日。

画像 KPM-NR 198686, KPM-NR 198687, 下関市沖, 水深 30 m, 2017 年 12 月 21 日; KPM-NR 198753, 体長 83.7 mm, 萩市見島東沖, 水深 70–80 m, 2018 年 5 月 30 日; KPM-NR 199000, 長門市日置上黄波戸沖, 2018 年 11 月 10 日。

備考 本種の学名は馬淵ほか (2015) に従った。

***Jaydia lneata* (Temminck and Schlegel, 1843)**

テンジクダイ

標本 HH-Pi 454, 体長 38.4 mm, 下関市豊浦町室津下沖, 2006 年 10 月 26 日。

文献 藤原ほか (2018) : KAUM-I. 97212, KAUM-I. 97436 (fig. 7B), KAUM-I. 97437, 下関市蓋井島と六連島の間。

備考 本種の学名は馬淵ほか (2015) に従った。

***Ostorrhinchus cookii* (Macleay, 1881)**

スジイシモチ

画像 KPM-NR 198890, 体長 31.3 mm, 下関市豊北町神田沖, 2014 年 10 月 17 日。

文献 河野ほか (2020) : HH-Pi 586, 下関市豊北町神田沖。

備考 本種の学名は馬淵ほか (2015) に従った。

***Ostorrhinchus endekataenia* (Bleeker, 1852)**

コスジイシモチ

標本 HH-Pi 450, 体長 52.6 mm, HH-Pi 451, 体長 41.9 mm, 萩市須佐沖, 水深 10 m, 2010 年 10 月 1 日。

画像 KPM-NR 205025, 長門市仙崎青海島, 2018 年 8 月 5 日。

文献 藤原ほか (2018) : KAUM-I. 97412 (fig. 7C), 下関市蓋井島と六連島の間。

備考 本種の学名は馬淵ほか (2015) に従った。

***Ostorrhinchus kiensis* (Jordan and Snyder, 1901)**

テッポウイシモチ

標本 FAKU 134690, 4 個体, 長門市沖, 水深 90 m, 2011 年 10 月 7 日; HH-Pi 801, 下関市沖, 水深 30 m, 2017 年 12 月 21 日。

画像 KPM-NR 198384, 長門市沖, 水深 90 m, 2011 年 10 月 7 日; KPM-NR 198385, 長門市油谷津黄沖, 2012 年 5 月 22 日; KPM-NR 198386, 山口県沖, 2016 年 9 月 15 日; KPM-NR 198680, 下関市沖, 水深 30 m, 2017 年 12 月 21 日。

備考 本種の学名は馬淵ほか (2015) に従った。

***Ostorrhinchus notatus* (Houttuyn, 1782)**

クロホシイシモチ

画像 KPM-NR 205023, 長門市仙崎青海島, 2018年8月5日.

備考 本種の学名は馬淵ほか(2015)に従った.

***Ostorhinchus semilineatus* (Temminck and Schlegel, 1843)**

ネンブツダイ

標本 FAKU 138141, FAKU 138142, FAKU 138143, FAKU 138144, FAKU 138145, 萩市大島沖, 2015年5月21日; HH-Pi 360, 体長81.9 mm, 阿武郡阿武町宇田沖, 2008年10月25日; HH-Pi 419, 5個体, 体長55.7–90.2 mm, 阿武郡阿武町宇田宇田島, 2010年10月; HH-Pi 459, 2個体, 体長88.8–90.7 mm, 阿武郡阿武町宇田沖, 2010年9月16日; HH-Pi 527, 体長44.0 mm, 萩市須佐沖, 2014年9月30日; HH-Pi 757, 体長80.3 mm, HH-Pi 758, 体長96.0 mm, HH-Pi 768, 体長61.0 mm, 萩市三見沖, 2017年4月21日; HH-Pi 809, 下関市沖, 水深30 m, 2017年12月21日; HH-Pi 726, 体長84.7 mm, 阿武郡阿武町宇田宇田漁港北北東500 m沖, 2018年3月5日; HH-Pi 2188, 体長34.6 mm, 下関市豊北町神田上土井ヶ浜沖, 2001年9月28日; HH-Pi 2667, 体長66.0 mm, 下関市沖, 2019年7月1日.

画像 KPM-NR 33087, 萩市椿東沖; KPM-NR 198433, 萩市大島沖, 2015年5月21日; KPM-NR 198434, 深川湾, 1997年6月30日; KPM-NR 198435, 深川湾, 1998年11月29日; KPM-NR 198858, KPM-NR 198859, KPM-NR 198216, 萩市三見沖, 2017年4月21日; KPM-NR 198688, 下関市沖, 水深30 m, 2017年12月21日; KPM-NR 203263, 体長66.0 mm, 下関市沖, 2019年7月1日.

文献 藤原ほか(2018): KAUM-I. 95644 (fig. 7D), 萩市見島沖; 藤原ほか(2018): KAUM-I. 97413, 下関市蓋井島と六連島の間.

備考 本種の学名は馬淵ほか(2015)に従った.

Apogonidae, undetermined genus and species

テンジクダイ科未同定種

画像 KPM-NR 152857, 長門市仙崎青海島沖, 水深3 m.

Branchiostegidae アマダイ科

***Branchiostegus albus* Dooley, 1978**

シロアマダイ

標本 FAKU 145971, 萩市須佐高山岬沖, 水深110 m, 2017年12月18日.

画像 KPM-NR 198324, 萩市見島沖, 2012年5月20日; KPM-NR 198325, 萩市見島沖, 2012年9月14日.

***Branchiostegus auratus* (Kishinouye, 1907)**

キアマダイ

画像 KPM-NR 198982, 萩市沖, 2017年3月16日.

***Branchiostegus japonicus* (Houttuyu, 1782)**

アカアマダイ

標本 HH-Pi 715, 萩市見島沖, 2018年4月2日.

画像 KPM-NR 198017, 長門市油谷向津具下川尻岬北沖, 2011年3月30日; KPM-NR 198018, 山口県沖, 2011年10月14日; KPM-NR 198019, 長門市沖, 1997年8月27日; KPM-NR 198020, 萩市見島西沖, 2012年10月10日.

文献 藤原ほか(2018): KAUM-I. 97239 (fig. 7E), 下関市豊北町沖.

Scombropidae ムツ科***Scomrops boops* (Houttuyu, 1782)**

ムツ

標本 FAKU 133078, 下関市豊北町角島北西沖, 水深 110 m, 2011 年 7 月 27 日; HH-Pi 74, 体長 147.5 mm, 萩市沖; SNFR 15746, 体長 295.0 mm, 山口県沖, 水深 160 m, 1996 年 7 月 29 日.

画像 KPM-NR 198592, 下関市豊北町角島北西沖, 水深 110 m, 2011 年 7 月 27 日; KPM-NR 198593, 深川湾, 1997 年 6 月 30 日; KPM-NR 198594, 長門市仙崎沖, 2011 年 9 月 7 日.

文献 Shinohara et al. (2011) : NSMT-P 35008, 山口県沖.

Echeneidae コバンザメ科***Echeneis naucrates* Linnaeus, 1758**

コバンザメ

標本 HH-Pi 193, 萩市沖.

***Phtheirichthys lineatus* (Menzies, 1791)**

スジコバン

標本 HH-Pi 463, 2 個体, 体長 325–360 mm, 萩市沖.

***Remora albescens* (Temminck and Schlegel, 1850)**

シロコバン

標本 HH-Pi 16, 萩市沖.

***Remora brachyptera* (Lowe, 1839)**

クロコバン

標本 HH-Pi 822, 体長 203.9 mm, 長門市三隅下野波瀬沖, 2016 年 12 月 8 日; HH-Pi 823, 体長 164.9 mm, 長門市三隅下野波瀬沖, 2016 年 12 月 8 日.

画像 KPM-NR 198701, 体長 164.9 mm, KPM-NR 198800, 長門市三隅下野波瀬沖, 2016 年 12 月 8 日.

***Remora remora* (Linnaeus, 1758)**

ナガコバン

標本 HH-Pi 14, 体長 545 mm, HH-Pi 17, 体長 32.8 mm, 萩市沖, 乾燥標本.

Rachycentridae スギ科***Rachycentron canadum* (Linnaeus, 1766)**

スギ

画像 KPM-NR 198335, 萩市沖, 2009 年 10 月 13 日; KPM-NR 198336, 長門市沖, 2010 年 11 月 8 日.

Coryphaenidae シイラ科***Coryphaena hippurus* Linnaeus, 1758**

シイラ

標本 HH-Pi 960, 体長 165.5 mm, HH-Pi 961, 体長 162.0 mm, 萩市江崎沖, 2018 年 7 月 25 日.

画像 KPM-NR 150270, 長門市仙崎青海島沖, 水深 3 m; KPM-NR 198297, 山口県沖, 2011 年 7 月 26 日; KPM-NR 198298, 萩市見島北西沖, 2011 年 8 月 4 日; KPM-NR 198299, 福岡県宗像市沖ノ島北東沖, 2011 年 9 月 13 日; KPM-NR 198300, 長門市日置上黄波戸沖, 1998 年 9 月 14 日;

KPM-NR 198301, 長門市通沖, 2003年10月28日; KPM-NR 198921, 体長165.5 mm, ; KPM-NR 198922, 体長162.0 mm, 萩市江崎沖, 2018年7月25日.

文献 藤原ほか (2018) : KAUM-I. 95638 (fig. 7F), 萩市見島沖.

Menidae ギンカガミ科

***Mene maculata* (Bloch and Schneider, 1801)**

ギンカガミ

標本 HH-Pi 859, 体長198.0 mm, 長門市日置上黄波戸沖, 2017年5月11日.

画像 KPM-NR 198741, 体長198.0 mm, 長門市日置上黄波戸沖, 2017年5月11日.

Carangidae アジ科

***Alectis ciliaris* (Bloch, 1787)**

イトヒキアジ

標本 HH-Pi 82, 萩市沖; HH-Pi 273, 体長47.5 mm, 長門市油谷川尻沖, 2009年10月31日; HH-Pi 343, 体長46.7 mm, 阿武郡阿武町奈古沖, 2006年7月3日; HH-Pi 576, 体長138.1 mm, 萩市三見沖, 2016年8月12日; HH-Pi 714, 体長103.4 mm, 萩市山田倉江沖, 2005年7月23日.

画像 KPM-NR 198081, 長門市日置上黄波戸沖, 1998年10月10日.

文献 藤原ほか (2018) : KAUM-I. 95643 (fig. 7G), 萩市見島沖.

***Carangichthys dinema* (Bleeker, 1851)**

イトヒラアジ

画像 KPM-NR 198082, 萩市山田沖, 2014年12月10日.

文献 河野ほか (2020) : fig. 1-1, 萩市山田沖.

***Carangooides chrysophrys* (Cuvier, 1833)**

ヒシヨロイアジ

画像 KPM-NR 198464, 長門市三隅下野波瀬沖, 2009年11月9日.

***Carangooides hedlandensis* (Whitley, 1934)**

リュウキュウヨロイアジ

標本 HH-Pi 408, 体長157.3 mm, 下関市豊浦町室津下沖, 2004年10月17日; HH-Pi 409, 体長160.8 mm, 下関市安岡本町沖, 2006年10月28日.

***Carangooides orthogrammus* (Jordan and Gilbert, 1882)**

ナンヨウカイワリ

標本 HH-Pi 2611, 体長238.6 mm, 萩市江崎沖, 2018年11月25日.

画像 KPM-NR 198423, 長門市仙崎沖, 2007年11月26日; KPM-NR 198887, 下関市豊北町神田上鼠島沖, 2014年9月3日; KPM-NR 203236, 体長238.6 mm, 萩市江崎沖, 2018年11月25日.

文献 河野ほか (2020) : HH-Pi 585, 下関市豊北町神田沖.

***Caranx sexfasciatus* Quoy and Gaimard, 1825**

ギンガメアジ

標本 FAKU 132884, 体長205.3 mm, 萩市大島沖, 2010年12月7日.

画像 KPM-NR 198193, 萩市大島沖, 2010年12月7日; KPM-NR 198194, 長門市三隅下野波瀬沖, 2015年10月5日.

***Decapterus akaadsi* Abe, 1958**

アカアジ

画像 KPM-NR 198015, 長門市沖, 1997年9月8日; KPM-NR 198016, 長門市沖, 2004年11月9日.

***Decapterus macarellus* (Cuvier, 1833)**

クサヤモロ

文献 藤原ほか (2018) : KAUM-I. 87382 (fig. 7H), KAUM-I. 87383, 萩市見島沖.

***Decapterus macrosoma* Bleeker, 1851**

モロ

標本 HH-Pi 825, 体長 217.4 mm, 萩市三見沖, 2018年1月21日; HH-Pi 836, 体長 215.0 mm, 長門市日置上黄波戸沖, 2018年1月6日.

画像 KPM-NR 198616, 長門市油谷川尻北沖, 2011年2月25日; KPM-NR 198703, 萩市三見沖, 2018年1月21日; KPM-NR 198715, 長門市日置上黄波戸沖, 2018年1月6日.

***Decapterus maruadsi* (Temminck and Schlegel, 1843)**

マルアジ

標本 FAKU 138137, 体長 147.4 mm, FAKU 138138, 体長 160.0 mm, FAKU 138139, 体長 182.2 mm, FAKU 138140, 体長 146.9 mm, 萩市大島沖, 2015年5月21日; SNFR 12630, 体長 161.2 mm, 長門市油谷湾, 1988年12月20日.

画像 KPM-NR 198568, 萩市見島西沖, 2011年3月14日; KPM-NR 198569, 長門市沖, 1997年7月22日; KPM-NR 150261, 長門市仙崎青海島沖, 水深 5 m.

***Decapterus muroadsi* (Temminck and Schlegel, 1844)**

ムロアジ

画像 KPM-NR 198595, 長門市沖, 1998年9月21日.

***Decapterus tabl* Berry, 1968**

オアカムロ

標本 HH-Pi 982, 体長 160.0 mm, 長門市日置上黄波戸沖, 2018年11月10日.

画像 KPM-NR 198999, 体長 160.0 mm, 長門市日置上黄波戸沖, 2018年11月10日.

***Elagatis bipinnulata* (Quoy and Gaimard, 1825)**

ツムブリ

画像 KPM-NR 198381, 長門市沖, 1988年11月24日; KPM-NR 198888, 下関市豊北町神田上鼠島沖, 2014年9月11日.

文献 河野ほか (2020) : HH-Pi 584, 下関市豊北町神田沖.

***Kaiwarinus equula* (Temminck and Schlegel, 1844)**

カイワリ

標本 FAKU 134824, 体長 151.7 mm, FAKU 134825, 体長 131.1 mm, FAKU 134826, 体長 153.7 mm, FAKU 134827, 体長 152.3 mm, FAKU 134828, 体長 117.1 mm, 下関市沖, 2012年2月29日; HH-Pi 854, 体長 74.8 mm, 下関市沖, 2017年7月28日; HH-Pi 890, 体長 128.6 mm, 萩市見島東沖, 水深 60–75 m, 2017年4月12日; HH-Pi 1254, 2 個体, 体長 80.9–86.2 mm, 下関市豊北町神田上土井ヶ浜沖, 2000年7月12日; SNFR 17294, 体長 40.6 mm, 山口県沖, 水深 97 m,

1988年7月3日。

画像 KPM-NR 198132, 長崎県対馬北東沖, 2012年2月29日; KPM-NR 198133, 長門市沖, 1998年9月9日; KPM-NR 198134, 長崎県対馬東沖, 2006年5月30日; KPM-NR 198736, 下関市沖, 2017年7月28日; KPM-NR 198774, 体長128.6 mm, 萩市見島東沖, 水深60–75 m, 2017年4月12日。

文献 藤原ほか(2018) : KAUM-I. 49551, 下関市沖; 藤原ほか(2018) : KAUM-I. 87365, KAUM-I. 87366, KAUM-I. 95646, (fig. 7I), KAUM-I. 97202, 萩市見島沖; 藤原ほか(2018) : KAUM-I. 97328, KAUM-I. 97358, 下関市蓋井島と六連島の間。

備考 本種の学名は松沼ほか(2019)に従った。

Naucrates ductor (Linnaeus, 1758)

ブリモドキ

標本 HH-Pi 83, 体長176.2 mm, 萩市沖。

Parastromateus niger (Bloch, 1795)

クロアジモドキ

画像 KPM-NR 198207, 長門市仙崎港, 2007年10月2日。

Pseudocaranx dentex (Bloch and Schneider, 1801)

シマアジ

画像 KPM-NR 205029, 長門市仙崎青海島, 2016年7月31日。

Scomberoides commersonianus Lacepède, 1801

オオクチイケカツオ

画像 KPM-NR 198892A, B, 萩市山田沖, 2017年12月13日。

文献 松沼ほか(2019) : FAKU 146195 (fig. 1A–D), 萩市山田沖。

Scomberoides tol (Cuvier, 1832)

ミナミイケカツオ

標本 HH-Pi 281, 体長114.6 mm, 萩市橋本川, 2005年9月2日; HH-Pi 284, 体長144.1 mm, 長門市三隅下野波瀬沖, 2005年10月29日; HH-Pi 407, 体長235.7 mm, 下関市豊浦町室津下沖, 2004年10月17日。

画像 KPM-NR 198582, KPM-NR 198583, 長門市油谷湾, 2005年10月18日。

文献 小林ほか(2006) : fig. 6-35, 萩市橋本川。

Selar crumenophthalmus (Bloch, 1793)

メアジ

画像 KPM-NR 198596, 萩市沖, 2005年11月25日; KPM-NR 198597, 長門市沖, 1998年11月25日; KPM-NR 198598, 長門市通沖, 2006年9月20日。

Seriola aureovittata Temminck and Schlegel, 1845

ヒラマサ

画像 KPM-NR 198484, KPM-NR 198485, 萩市見島西沖, 2011年3月14日; KPM-NR 198486, 長門市沖, 2007年3月14日。

文献 藤原ほか(2018) : KAUM-I. 97680 (fig. 7J), 下関市豊北町角島沖。

備考 本種の学名は Martinez-Takeshita et al. (2015) に従った。

Seriola dumerili (Risso, 1810)

カンパチ

画像 KPM-NR 198169, 萩市見島北東沖, 2011年11月29日; KPM-NR 198170, 長門市沖, 2003年11月6日; KPM-NR 198171, 萩市見島北東沖, 水深100m, 2011年11月28日.

文献 藤原ほか (2018) : KAUM-I. 95645 (fig. 7K), 萩市見島沖.

Seriola quinqueradiata Temminck and Schlegel, 1845

ブリ

標本 KAUM-I. 97381, 体長381mm, 長門市仙崎沖, 2015年8月21日.

画像 KPM-NR 198502, 山口県沖, 2010年1月18日; KPM-NR 198503, 長門市沖, 2010年4月16日; KPM-NR 198504, 萩市見島西沖, 水深121m, 2010年11月17日; KPM-NR 198505, 萩市見島西沖, 2011年3月14日; KPM-NR 198506, 長門市通沖, 2008年4月22日; KPM-NR 198508, 長門市油谷津黄沖, 2010年6月4日.

文献 藤原ほか (2018) : KAUM-I. 87206 (fig. 7L), 萩市見島沖.

Seriola rivoliana Valenciennes, 1833

ヒレナガカンパチ

標本 HH-Pi 828, 体長310mm, 萩市三見沖, 2018年1月21日.

画像 KPM-NR 198706, 萩市三見沖, 2018年1月21日.

文献 河野ほか (2011a) : fig. 2-5, 下関市豊浦町室津下沖.

Seriolina nigrofasciata (Rüppell, 1829)

アイブリ

標本 HH-Pi 2612, 体長約275.0mm (尾部欠損), 長門市日置上黄波戸沖, 2019年4月25日.

画像 KPM-NR 198006, 萩市椿東越ヶ浜沖, 1998年11月1日; KPM-NR 198007, 萩市沖, 2010年9月2日; KPM-NR 203237, 体長約275.0mm (尾部欠損), 長門市日置上黄波戸沖, 2019年4月25日.

Trachurus japonicus (Temminck and Schlegel, 1844)

マアジ

標本 HH-Pi 80, 体長165.0mm, 萩市沖, 1953年5月18日; HH-Pi 766, 体長52.0mm, 萩市三見沖, 2017年4月21日; HH-Pi 770, 体長51.1mm, 萩市三見沖, 2017年4月21日; HH-Pi 781, 体長137.2mm, 下関市豊浦町室津下沖, 2017年3月18日; HH-Pi 675, 2個体, 体長38.0–39.3mm, 長門市油谷湾, 2013年10月29日; HH-Pi 782, 体長127.2mm, 下関市豊浦町室津下沖, 2017年3月18日; HH-Pi 2550, 2個体, 体長49.7–51.7mm, HH-Pi 2551, 8個体, 体長47.1–61.5mm, HH-Pi 2552, 5個体, 体長52.6–61.3mm, 下関市豊北町神田上土井ヶ浜沖, 1998年6月11日; HH-Pi 2553, 2個体, 体長68.0–68.4mm, 下関市豊北町神田上土井ヶ浜沖, 1999年6月14日; HH-Pi 2554, 2個体, 体長71.0–74.5mm, HH-Pi 2555, 2個体, 体長73.6–78.6mm, HH-Pi 2556, 15個体, 体長61.7–76.1mm, 下関市豊北町神田上土井ヶ浜沖, 1999年7月7日; HH-Pi 2557, 4個体, 体長91.7–111.9mm, HH-Pi 2558, 体長108.9mm, 下関市豊北町神田上土井ヶ浜沖, 2001年9月27日; HH-Pi 2560, 3個体, 体長42.2–49.9mm, HH-Pi 2561, 5個体, 体長43.9–50.9mm, 下関市豊北町神田上土井ヶ浜沖, 1998年6月29日; HH-Pi 2562, 体長51.0mm, 下関市豊北町神田上土井ヶ浜沖, 1998年7月9日; HH-Pi 2563, 体長75.7mm, 下関市豊北町神田上土井ヶ浜沖, 1998年9月1日.

画像 KPM-NR 198530, 長門市油谷向津具下川尻岬北沖, 水深108m, 2011年7月25日; KPM-NR 198533, 体長20.9mm, 山口県沖, 2016年9月16日; KPM-NR 198531, 長門市沖,

1997年6月26日；KPM-NR 198532，長崎県対馬東沖，2006年5月30日；KPM-NR 198218，KPM-NR 198213，萩市三見沖，2017年4月21日；KPM-NR 198659，KPM-NR 198660，下関市豊浦町室津下沖，2017年3月18日。

文献 藤原ほか（2018）：KAUM-I. 49552 (fig. 7M)，下関市安岡本町沖；藤原ほか（2018）：KAUM-I. 87351，KAUM-I. 87352，KAUM-I. 87353，KAUM-I. 87354，KAUM-I. 87355，KAUM-I. 87356，KAUM-I. 87357，KAUM-I. 87358，KAUM-I. 87359，KAUM-I. 87360，KAUM-I. 87361，KAUM-I. 87362，KAUM-I. 87363，KAUM-I. 87364，KAUM-I. 87384，KAUM-I. 87385，KAUM-I. 97263，KAUM-I. 97264，KAUM-I. 97265，KAUM-I. 97266，KAUM-I. 97267，KAUM-I. 97286，KAUM-I. 97287，KAUM-I. 97288，KAUM-I. 97300，KAUM-I. 97301，KAUM-I. 97302，KAUM-I. 97303，KAUM-I. 97304，萩市見島沖。

Uraspis helvola (Forster, 1801)

オキアジ

画像 KPM-NR 198117，深川湾，2007年11月26日；KPM-NR 198823，長門市通沖，2015年9月27日。

Leiognathidae ヒイラギ科

Equulites rivulatus (Temminck and Schlegel, 1845)

オキヒイラギ

標本 HH-Pi 764，体長 64.5 mm，HH-Pi 765，体長 58.6 mm，HH-Pi 769，体長 50.5 mm，HH-Pi 771，体長 59.9 mm，萩市三見沖，2017年4月21日；HH-Pi 804，下関市沖，水深 30 m，2017年12月21日。

画像 KPM-NR 198120，長門市仙崎湾，水深 30 m，2011年10月6日；KPM-NR 198214，KPM-NR 198215，KPM-NR 198219，KPM-NR 198723，萩市三見沖，2017年4月21日；KPM-NR 198683，下関市沖，水深 30 m，2017年12月21日。

文献 藤原ほか（2018）：KAUM-I. 97329 (fig. 7N)，KAUM-I. 97359，下関市蓋井島と六連島の間。

Nuchequula nuchalis (Temminck and Schlegel, 1845)

ヒイラギ

標本 HH-Pi 2197，体長 105.4 mm，HH-Pi 2198，体長 123.8 mm，下関市豊北町神田上土井ヶ浜沖。

Bramidae シマガツオ科

Brama dussumieri Cuvier, 1831

ヒメシマガツオ

標本 FAKU 133306，長門市油谷川尻北沖，2010年7月6日；HH-Pi 312，萩市見島沖，2009年7月6日；HH-Pi 327，萩市沖，2007年7月18日；HH-Pi 881，下関市彦島迫町西山ビーチ，2018年6月5日。

画像 KPM-NR 198763，体長 127.7 mm，下関市彦島迫町西山ビーチ，2018年6月5日。

文献 小林ほか（2006）：OMNH-P 25892，下関市豊浦町室津下沖，*Brama japonica* シマガツオと報告；河野ほか（2011a）：fig. 2-6，下関市豊浦町室津下沖，*Brama myersi* オナガシマガツオと報告；藤原ほか（2018）：KAUM-I. 87386，KAUM-I. 87387，KAUM-I. 87388，KAUM-I. 87389，KAUM-I. 95626，KAUM-I. 95627 (fig. 7O)，KAUM-I. 95628，KAUM-I. 95629，KAUM-I. 95630，KAUM-I. 95631，KAUM-I. 95632，KAUM-I. 95633，KAUM-I. 95634，KAUM-I. 95635，KAUM-I. 97364，萩市見島沖。

備考 OMNH-P 25892 は、尾鰭上葉長が短く体長の 31.5% であるが、胸鰭基部下端と腹鰭起部の間隔が体長の 10.5%，頭長の 39.4%，胸鰭軟条数が 19 などの形態的特徴が、Mead (1972)，波戸岡・甲斐（2013）および畠ほか（2015a）の *Brama dussumieri* の示した値の範囲内であったため、本種に再同定した。また、波戸岡・甲斐（2013）ではオナガシマガツオは日本沿岸に分布していないとし、すべて本種とみなしている。本報告もそれに従った。

***Brama japonica* Hilgendorf, 1878**

シマガツオ

標本 HH-Pi 666, 萩市山田倉江沖, 2008 年 7 月 26 日。

画像 KPM-NR 198312, 萩市須佐高山岬沖, 2011 年 2 月 10 日；KPM-NR 198313, 長門市沖, 2003 年 11 月 20 日。

***Pteraclis aesticola* (Jordan and Snyder, 1901)**

ベンテンウオ

標本 HH-Pi 713, 体長 470 mm, 萩市三見沖, 2008 年 6 月 20 日。

***Pterycombus petersii* (Hilgendorf, 1878)**

リュウグウノヒメ

標本 HH-Pi 79, 萩市江崎沖；HH-Pi 800, 下関市豊浦町宇賀沖, 2012 年 2 月 15 日。

画像 KPM-NR 198678, 下関市豊浦町宇賀沖, 2012 年 2 月 15 日。

文献 小林ほか（2006）：OMNH-P25891, 下関市蓋井島沖；小林ほか（2006）：OMNH-P25899, 下関市豊浦町室津下沖；藤原ほか（2018）：KAUM-I. 97370 (fig. 7P), 下関市福江。

備考 小林ほか（2006）は、テングダイも OMNH-P 25899 としたがそちらは誤りである。また、fig. 6. 36 の画像の標本を大阪市立自然史博物館に収蔵されているとしたが、標本番号の記述がなく、該当すると思われる標本も見当たらなかった。

***Taractes asper* Lowe, 1843**

マンザイウオ

標本 HH-Pi 77, 萩市沖。

***Taractes rubescens* (Jordan and Evermann, 1887)**

ツルギエチオピア

標本 HH-Pi 552, 萩市椿東越ヶ浜沖, 2015 年 1 月 19 日。

画像 KPM-NR 198382, 長門市三隅下幸島沖, 2014 年 2 月 22 日；KPM-NR 198383, 萩市椿東越ヶ浜沖, 2015 年 1 月 19 日。

***Taractichthys steindachneri* (Döderlein, 1883)**

ヒレジロマンザイウオ

標本 HH-Pi 446, 体長 258.4 mm, 萩市椿東越ヶ浜沖, 水深 15–25 m, 2009 年 3 月 30 日。

画像 KPM-NR 198495, 長門市沖, 2008 年 2 月 12 日。

Emmelichthyidae ハチビキ科

***Emmelichthys struhsakeri* Heemstra and Randall, 1977**

ロウソクチビキ

標本 HH-Pi 426, 体長 177.2 mm, 阿武郡阿武町宇田北西沖, 2012 年 7 月 25 日。

画像 KPM-NR 198643, 長崎県対馬東沖, 2009 年 6 月 30 日。

***Erythrocles schlegelii* (Richardson, 1846)**

ハチビキ

標本 FAKU 132763, 山口県沖, 2010年7月22日; FAKU 133322, 萩市見島八里ヶ瀬北沖, 水深78m, 2011年9月12日; SNFR 17293, 体長43.0mm, 山口県沖, 水深97m, 1988年7月3日;

画像 KPM-NR 198441A, B, 萩市見島八里ヶ瀬北沖, 水深78m, 2011年9月12日; KPM-NR 198442, 山口県沖, 2011年10月14日; KPM-NR 198443, 下関市豊北町角島沖, 2003年7月7日; KPM-NR 198444, 山口県沖, 2016年9月15日; KPM-NR 198445, 山口県沖, 2010年7月22日.

Lutjanidae フエダイ科***Lutjanus ophrysenii* (Bleeker, 1860)**

ヨコスジフエダイ

標本 HH-Pi 712, 体長81.8mm, 阿武郡阿武町宇田沖, 2013年12月3日; KAUM-I. 97379, 体長247.6mm, 長門市仙崎沖, 2015年10月19日.

画像 KPM-NR 198632, 深川湾, 1997年6月30日.

文献 Mori (1984) : fig. 2A-F, 油谷湾, *Lutjanus vitta* タテフエダイと報告; 藤原ほか (2018) : KAUM-I. 97397 (fig. 7. Q) 下関市豊北町角島沖.

備考 Iwatsuki et al. (1993) は Mori (1984) のタテフエダイを本種として扱っており, 本報告もそれに従った.

***Lutjanus russellii* (Bleeker, 1849)**

クロホシフエダイ

標本 HH-Pi 436, 体長64.0mm, 萩市堀内菊ヶ浜沖, 2010年9月2日.

文献 河野ほか (2011a) : fig. 3-7, 深川湾.

***Paracaelio xanthura* (Bleeker, 1869)**

ウメイロ

画像 KPM-NR 198106, 萩市見島沖, 2006年4月19日.

***Pristipomoides sieboldii* (Bleeker, 1854)**

ヒメダイ

画像 KPM-NR 198475, 長崎県対馬東沖, 2009年10月15日.

Caesionidae タカサゴ科***Pterocaelio digramma* (Bleeker, 1864)**

タカサゴ

標本 HH-Pi 65, 体長198.8mm, 萩市沖.

***Pterocaelio marri* Schultz, 1953**

ニセタカサゴ

標本 HH-Pi 983, 体長103.0mm, 長門市日置上黄波戸沖, 2018年11月10日; HH-Pi 2616, 体長114.5mm, 山口県沖, 2019年5月23日.

画像 KPM-NR 198998, 体長103.0mm, 長門市日置上黄波戸沖, 2018年11月10日; KPM-NR 203241, 体長114.5mm, 山口県沖, 2019年5月23日; KPM-NR 205056, 長門市仙崎紫津浦湾, 2018年11月25日.

***Pterocheilos trilineata* Carpenter, 1987**

イッセンタカサゴ

画像 KPM-NR 198413, 下関市豊浦町室津下沖, 2005年9月30日.

Lobotidae マツダイ科***Lobotes surinamensis* (Bloch, 1790)**

マツダイ

標本 HH-Pi 333, 体長 75.7 mm, 阿武郡阿武町宇田沖, 2010年9月; HH-Pi 694, 体長 91.1 mm, 阿武郡阿武町宇田宇田漁港北北東 4.2 マイル沖, 2017年8月28日.

画像 KPM-NR 198555, 長門市通沖, 2012年10月26日.

文献 藤原ほか (2018) : NFU-510-744 (fig. 7R), 下関市永田本町沖.

Gerreidae クロサギ科***Gerres equulus* Temminck and Schlegel, 1844**

クロサギ

標本 HH-Pi 439, HH-Pi 441, 萩市椿東松本川河口, 2007年2月25日; HH-Pi 967, 体長 18.0 mm, HH-Pi 968, 体長 15.0 mm, 下関市豊浦町室津下沖, 2018年8月5日.

画像 KPM-NR 198943, 体長 18.0 mm, KPM-NR 198944, 体長 15.0 mm, 下関市豊浦町室津下沖, 2018年8月5日.

***Gerres japonicus* Bleeker, 1854**

ダイミョウサギ

標本 HH-Pi 205, 体長 129.2 mm, 萩市沖.

Haemulidae イサキ科***Diagramma pictum pictum* (Thunberg, 1792)**

コロダイ

標本 HH-Pi 438, 体長 37.5 mm, 萩市堀内菊ヶ浜沖, 2010年9月2日; HH-Pi 562, 体長 62.9 mm, 萩市須佐沖, 2015年10月10日.

画像 KPM-NR 198269, 長門市仙崎港, 1997年7月13日; KPM-NR 198270, 長門市沖, 2012年6月1日.

***Hapalogrenys analis* Richardson, 1845**

セトダイ

文献 Iwatsuki and Russell (2006) : FAKU 29281, 山口県沖.

***Hapalogrenys sennin* Iwatsuki and Nakabo, 2005**

ヒゲダイ

画像 KPM-NR 198461, 萩市沖, 2012年5月9日.

文献 藤原ほか (2018) : KAUM-I. 97330 (fig. 7S), 下関市蓋井島と六連島の間, *Hapalogrenys nigripinnis* ヒゲソリダイと報告.備考 KAUM-I. 97330 は、下顎のひげは顕著ではなく、背鰭軟条数が 16 であるが、主上顎骨に鱗はなく、背鰭棘条数は 11、臀鰭軟条数は 10、生時、第一背鰭前方基部から胸鰭後方に伸びる暗色斜体は肛門まで伸びず不鮮明などの特徴が Iwatsuki and Nakabo (2005), Iwatsuki and Russell (2006), 畑ほか (2012), 島田 (2013a) の *Hapalogrenys sennin* と形態および色彩の記載がよく一致したため、本種に再同定した。

Parapristipoma trilineatum (Thunberg, 1793)

イサキ

標本 HH-Pi 287, 体長 187.5 mm, 萩市沖, 2004–2008 年; HH-Pi 962, 体長 163.4 mm, 萩市江崎沖, 2018 年 7 月 25 日。

画像 KPM-NR 198066A, B, 長門市油谷向津具下川尻岬北沖, 2011 年 3 月 30 日; KPM-NR 198067, 長門市仙崎青海島北西沖, 水深 85 m, 2011 年 7 月 27 日; KPM-NR 198068, 長門市沖, 1997 年 7 月 1 日; KPM-NR 198069, 長門市沖, 2016 年 5 月 27 日; KPM-NR 198923, 体長 163.4 mm, 萩市江崎沖, 2018 年 7 月 25 日。

文献 藤原ほか (2018) : KAUM-I. 76212 (fig. 7T), 下関市豊北町神田沖; 藤原ほか (2018) : KAUM-I. 97331, 下関市蓋井島と六連島の間; 河野ほか (2020) : HH-Pi 573, 長門市沖。

Plectorhinchus cinctus (Temminck and Schlegel, 1843)

コショウダイ

画像 KPM-NR 198248, 長門市沖, 2003 年 11 月 6 日; KPM-NR 198249, 萩市沖, 2006 年 9 月 30 日。

文献 藤原ほか (2018) : KAUM-I. 49537, 下関市; 藤原ほか (2018) : KAUM-I. 97332 (fig. 7U), 下関市蓋井島と六連島の間。

Nemipteridae イトヨリダイ科*Nemipterus bathybius* Snyder, 1911

ソコイトヨリ

標本 FAKU 133066, 長門市油谷向津具下川尻岬北沖, 水深 100 m, 2011 年 7 月 27 日; KAUM-I. 76209, 体長 216.2 mm, 長門市仙崎沖, 2015 年 5 月 19 日。

画像 KPM-NR 198350, 長門市油谷向津具下川尻岬北沖, 水深 100 m, 2011 年 7 月 27 日; KPM-NR 198351, 長門市沖, 1997 年 7 月 11 日。

Nemipterus virgatus (Houttuyu, 1782)

イトヨリダイ

標本 HH-Pi 802, HH-Pi 803, 下関市沖, 水深 30 m, 2017 年 12 月 21 日; KAUM-I. 76210, 体長 255.4 mm, 萩市沖, 2015 年 5 月 19 日。

画像 KPM-NR 198085, 萩市沖, 水深 60 m, 2011 年 4 月 6 日; KPM-NR 198086, 長門市沖, 1997 年 7 月 11 日; KPM-NR 198087, 長崎県対馬東沖, 2006 年 5 月 30 日; KPM-NR 198681, KPM-NR 198682, 下関市沖, 水深 30 m, 2017 年 12 月 21 日。

文献 藤原ほか (2018) : KAUM-I. 97230, KAUM-I. 97333, KAUM-I. 97414 (fig. 7V), KAUM-I. 97428, 下関市蓋井島と六連島の間。

Parascolopsis inermis (Temminck and Schlegel, 1843)

タマガシラ

標本 FAKU 132761, 山口県沖, 水深 55 m, 2010 年 8 月 25 日; FAKU 133062, 萩市見島西沖, 2011 年 8 月 4 日; HH-Pi 384, 体長 184.4 mm, 萩市見島東沖, 水深 70–80 m, 2006 年 7 月 5 日; HH-Pi 2610, 体長約 184.6 mm (尾部欠損), 下関市豊北町角島沖, 2019 年 3 月 21 日。

画像 KPM-NR 198362, 山口県沖, 水深 55 m, 2010 年 8 月 25 日; KPM-NR 198363, 萩市見島西沖, 2011 年 8 月 4 日; KPM-NR 203235, 体長約 184.6 mm (尾部欠損), 下関市豊北町角島沖, 2019 年 3 月 21 日。

Sparidae タイ科***Acanthopagrus latus* (Houttuyu, 1782)**

キチヌ

標本 HH-Pi 176, 体長 266.1 mm 萩市沖, 乾燥標本.

***Acanthopagrus schlegelii* (Bleeker, 1854)**

クロダイ

標本 HH-Pi 1620, 体長 8.2 mm, 下関市豊北町神田上土井ヶ浜沖, 1999 年 6 月 14 日.

画像 KPM-NR 198713, 長門市通沖, 2018 年 5 月 17 日.

***Dentex hypselosomus* Bleeker, 1854**

キダイ

標本 HH-Pi 905, 体長 65.0 mm, 下関市蓋井島沖, 2018 年 6 月 19 日; KAUM-I. 97386, 体長 174.0 mm, 萩市沖, 2015 年 8 月 21 日.

画像 KPM-NR 198176, 長門市沖, 2010 年 11 月 12 日; KPM-NR 198177, 萩市沖, 2011 年 7 月 11 日; KPM-NR 198178, 長門市沖, 1997 年 7 月 13 日; KPM-NR 198179, 山口県沖, 2010 年 1 月 18 日; KPM-NR 198180, 下関市豊北町角島沖, 水深 102 m, 2010 年 10 月 19 日; KPM-NR 198790, 下関市蓋井島沖, 2018 年 6 月 19 日.

文献 藤原ほか (2018) : KAUM-I. 97314, KAUM-I. 97320 (fig. 8A), KAUM-I. 97321, 萩市見島沖.

***Evynnis tumifrons* (Temminck and Schlegel, 1843)**

チダイ

標本 HH-Pi 177, 体長 210.5 mm, 萩市沖, 乾燥標本; HH-Pi 753, 体長 90.4 mm, HH-Pi 760, 体長 192.3 mm, HH-Pi 762, 体長 150.2 mm, 萩市三見沖, 2017 年 4 月 21 日; HH-Pi 706, 体長 108.9 mm, 萩市羽島 40 m 沖, 2015 年 6 月 22 日.

画像 KPM-NR 198370, 長門市油谷向津具下川尻岬北沖, 2011 年 3 月 30 日; KPM-NR 198371, 長門市沖, 1997 年 7 月 11 日; KPM-NR 198854, KPM-NR 198861, KPM-NR 198863, 萩市三見沖, 2017 年 4 月 21 日.

***Pagrus major* (Temminck and Schlegel, 1843)**

マダイ

標本 HH-Pi 178, 体長 195.3 mm, 萩市沖, 乾燥標本; KAUM-I. 97382, 体長 232.5 mm, 長門市仙崎青海島沖, 2015 年 8 月 21 日.

画像 KPM-NR 198545, 長門市油谷向津具下川尻岬北沖, 2011 年 3 月 30 日; KPM-NR 198546, 下関市豊北町角島西沖, 2011 年 9 月 13 日; KPM-NR 198547, 下関市豊北町角島西沖, 2011 年 11 月 29 日; KPM-NR 198548, 深川湾, 1997 年 6 月 30 日.

文献 藤原ほか (2018) : KAUM-I. 49554, KAUM-I. 49555 (fig. 8B), 下関市沖, チダイと報告; 藤原ほか (2018) : KAUM-I. 97238, KAUM-I. 97334, KAUM-I. 97415 (fig. 8C), 下関市蓋井島と六連島の間; 藤原ほか (2018) : KAUM-I. 97323, KAUM-I. 97343, 萩市見島沖.

備考 KAUM-I. 49554, KAUM-I. 49555 は、臀鰭軟条数が 9 であるが、背鰭棘条は伸長しない、鰓膜の紅部の幅は広くないなどの特徴が Temminck and Schlegel (1843) の *Chrysophrys major*, 赤崎 (1988), 林・萩原 (2013), 池田・中坊 (2015) の *Pagrus major* と形態の記載がよく一致したため、本種に再同定した.

***Rhabdosargus sarba* (Forsskål, 1775)**

ヘダイ

標本 FAKU 143877, 萩市三見沖, 2017年1月19日; HH-Pi 2500, 体長111.0 mm, 下関市豊北町神田上土井ヶ浜沖, 1998年2月6日; KAUM-I. 49556, 体長105.1 mm, 下関市安岡本町沖, 2012年9月24日.

画像 KPM-NR 198510, 萩市三見沖, 2017年1月19日; KPM-NR 198509, 長門市日置上黄波戸沖, 1998年10月10日.

Lethrinidae* フエフキダイ科**Gymnocranius griseus* (Temminck and Schlegel, 1843)**

メイチダイ

画像 KPM-NR 198599, 下関市豊北町角島西沖, 2014年8月31日; KPM-NR 198600, 萩市見島沖, 2014年9月21日.

***Lethrinus atkinsoni* Seales, 1910**

イソフエフキ

標本 HH-Pi 728, 体長103.1 mm, 萩市江崎沖, 2018年11月8日.

画像 KPM-NR 205003, 長門市仙崎青海島, 2018年8月27日.

***Lethrinus genivittatus* Valenciennes, 1830**

イトフエフキ

標本 HH-Pi 435, 2個体, 体長37.4–39.1 mm, 萩市堀内菊ヶ浜沖, 2010年9月2日; HH-Pi 959, 体長22.8 mm, 下関市豊浦町室津下沖, 水深1 m, 2018年7月24日.

画像 KPM-NR 198439, 下関市豊北町角島西沖, 2014年8月31日; KPM-NR 198497, 萩市沖, 1995年11月17日; KPM-NR 198925, 下関市豊浦町室津下沖, 2006年8月24日; KPM-NR 198920, 下関市豊浦町室津下沖, 水深1 m, 2018年7月24日; KPM-NR 205005, 長門市仙崎青海島, 2018年9月6日.

***Lethrinus haematopterus* Temminck and Schlegel, 1844**

フエフキダイ

標本 FAKU 133070, 体長135.4 mm, 長門市油谷湾, 2011年7月28日.

画像 KPM-NR 198496, 長門市油谷湾, 2017年7月28日; KPM-NR 198498, 萩市沖, 2006年6月8日; KPM-NR 198499, 長門市沖, 2011年6月22日.

***Lethrinus nebulosus* (Forsskål, 1775)**

ハマフエフキ

文献 藤原ほか(2018): KAUM-I. 49539 (fig. 8D), KAUM-I. 49540, KAUM-I. 49541, KAUM-I. 49542, KAUM-I. 49543, 下関市沖.

Sciaenidae* ニベ科**Nibea albiflora* (Richardson, 1846)**

コイチ

文献 藤原ほか(2018): NFU-510-27 (fig. 8E), 下関市蓋井島と六連島の間.

***Pennahia argentata* (Houttuyu, 1782)**

シログチ

文献 藤原ほか (2018) : KAUM-I. 49550, 下関市沖; 藤原ほか (2018) : KAUM-I. 97335, KAUM-I. 97416 (fig. 8F), 下関市蓋井島と六連島の間.

Sillaginidae キス科

***Sillago japonica* Temminck and Schlegel, 1843**

シロギス

標本 HH-Pi 315, 体長 178.3 mm, 阿武郡阿武町奈古沖, 2006–2007 年; HH-Pi 752, 体長 108.7 mm, 萩市三見沖, 2017 年 4 月 21 日; HH-Pi 784, 体長 172.1 mm, 下関市豊浦町室津下沖, 2017 年 3 月 31 日; HH-Pi 1701, 体長 95.0 mm, HH-Pi 1702, 体長 101.3 mm, HH-Pi 1703, 体長 105.1 mm, HH-Pi 1704, 体長 76.1 mm, HH-Pi 1705, 体長 75.6 mm, HH-Pi 1706, 体長 110.1 mm, HH-Pi 1707, 体長 74.5 mm, HH-Pi 1708, 体長 89.0 mm, HH-Pi 1709, 体長 83.3 mm, HH-Pi 1710, 体長 82.6 mm, HH-Pi 1711, 体長 111.3 mm, HH-Pi 1712, 体長 89.7 mm, HH-Pi 1713, 体長 79.0 mm, HH-Pi 1714, 体長 83.0 mm, HH-Pi 1715, 体長 93.1 mm, HH-Pi 1716, 体長 115.5 mm, HH-Pi 1717, 体長 110.8 mm, HH-Pi 1718, 体長 118.5 mm, HH-Pi 1719, 体長 139.7 mm, HH-Pi 1864, 体長 141.3 mm, HH-Pi 1865, 体長 72.4 mm, HH-Pi 1866, 体長 66.9 mm, HH-Pi 1867, 体長 131.5 mm, HH-Pi 1868, 体長 91.3 mm, HH-Pi 1869, 体長 99.2 mm, HH-Pi 1870, 体長 99.8 mm, HH-Pi 1871, 体長 94.6 mm, HH-Pi 1872, 体長 98.6 mm, HH-Pi 1873, 体長 101.5 mm, HH-Pi 1874, 体長 73.7 mm, HH-Pi 1875, 体長 82.2 mm, HH-Pi 1876, 体長 82.3 mm, HH-Pi 1877, 体長 96.7 mm, HH-Pi 1878, 体長 90.7 mm, HH-Pi 1879, 体長 72.9 mm, HH-Pi 1880, 体長 75.9 mm, HH-Pi 1881, 体長 73.4 mm, HH-Pi 1882, 体長 58.6 mm, HH-Pi 1883, 体長 74.9 mm, HH-Pi 1884, 体長 80.1 mm, HH-Pi 1885, 体長 79.0 mm, HH-Pi 1886, 体長 75.5 mm, HH-Pi 1887, 体長 50.8 mm, HH-Pi 1888, 体長 64.5 mm, HH-Pi 1889, 体長 109.0 mm, HH-Pi 1890, 体長 61.6 mm, HH-Pi 1891, 体長 70.0 mm, HH-Pi 1892, 体長 75.3 mm, HH-Pi 1893, 体長 92.0 mm, HH-Pi 1894, 体長 160.0 mm, HH-Pi 1895, 体長 151.2 mm, HH-Pi 1896, 体長 115.2 mm, HH-Pi 1897, 体長 68.1 mm, HH-Pi 1898, 体長 94.5 mm, HH-Pi 1899, 体長 141.1 mm, HH-Pi 1900, 体長 156.6 mm, HH-Pi 1901, 体長 150.0 mm, HH-Pi 1902, 体長 150.5 mm, HH-Pi 1903, 体長 52.3 mm, HH-Pi 1904, 体長 103.8 mm, HH-Pi 1905, 体長 76.6 mm, HH-Pi 1906, 体長 61.0 mm, HH-Pi 1907, 体長 66.0 mm, HH-Pi 1908, 体長 75.8 mm, HH-Pi 1909, 体長 73.0 mm, HH-Pi 1910, 体長 77.9 mm, HH-Pi 1911, 体長 78.8 mm, HH-Pi 1912, 体長 107.5 mm, HH-Pi 1913, 体長 78.1 mm, HH-Pi 1914, 体長 120.5 mm, HH-Pi 1915, 体長 79.6 mm, HH-Pi 1916, 体長 63.8 mm, HH-Pi 1917, 体長 98.3 mm, HH-Pi 1918, 体長 112.4 mm, HH-Pi 1919, 体長 88.2 mm, HH-Pi 1920, 体長 109.1 mm, HH-Pi 1921, 体長 95.0 mm, HH-Pi 1922, 体長 87.7 mm, HH-Pi 1923, 体長 80.6 mm, HH-Pi 1924, 体長 89.4 mm, HH-Pi 1925, 体長 78.8 mm, HH-Pi 1926, 体長 118.0 mm, HH-Pi 1927, 体長 88.0 mm, HH-Pi 1928, 体長 102.6 mm, HH-Pi 1929, 体長 87.8 mm, HH-Pi 1930, 体長 97.4 mm, HH-Pi 1931, 体長 93.4 mm, HH-Pi 1932, 体長 71.3 mm, HH-Pi 1933, 体長 87.8 mm, HH-Pi 1934, 体長 113.3 mm, HH-Pi 1935, 体長 158.8 mm, HH-Pi 1936, 体長 75.0 mm, HH-Pi 1939, 体長 84.6 mm, HH-Pi 1940, 体長 86.6 mm, HH-Pi 1941, 体長 91.7 mm, HH-Pi 1942, 体長 121.9 mm, HH-Pi 1943, 体長 90.7 mm, HH-Pi 1944, 体長 107.8 mm, HH-Pi 1945, 体長 95.0 mm, HH-Pi 1946, 体長 97.6 mm, HH-Pi 1947, 体長 94.8 mm, HH-Pi 1948, 体長 91.0 mm, HH-Pi 1949, 体長 101.9 mm, HH-Pi 1950, 体長 108.1 mm, HH-Pi 1951, 体長 134.0 mm, HH-Pi 1952, 体長 93.4 mm, HH-Pi 1953, 体長 97.6 mm, HH-Pi 1954, 体長 98.0 mm, HH-Pi 1955, 体長 98.1 mm, HH-Pi 1956, 体長 97.9 mm, HH-Pi 1957, 体長 130.2 mm, HH-Pi 1958, 体長 104.3 mm, HH-Pi 1959, 体長 67.2 mm, HH-Pi 1960, 体長 110.0 mm, HH-Pi 1961, 体長 66.5 mm, HH-Pi 1962, 体長 96.2 mm, HH-Pi 1963, 体長 98.8 mm, HH-Pi 1964, 体長 72.1 mm, HH-Pi 1965, 体長 57.2 mm, HH-Pi 1966, 体長 75.4 mm, HH-Pi 1967, 体長 73.0 mm, HH-Pi 1968, 体長 104.5 mm, HH-Pi 1969, 体長 71.6 mm, HH-Pi 1970, 体長 92.6 mm, HH-Pi 1971, 体長 86.1 mm, HH-Pi 1972, 体長 104.2 mm, HH-Pi 1973, 体長 92.1 mm, HH-Pi

1974, 体長 82.6 mm, HH-Pi 1975, 体長 97.4 mm, HH-Pi 1976, 体長 79.8 mm, HH-Pi 1977, 体長 82.4 mm, HH-Pi 1978, 体長 91.1 mm, HH-Pi 1979, 体長 87.1 mm, HH-Pi 1980, 体長 101.9 mm, HH-Pi 1981, 体長 84.6 mm, HH-Pi 1982, 体長 80.5 mm, HH-Pi 1983, 体長 108.8 mm, HH-Pi 1984, 体長 90.0 mm, HH-Pi 1985, 体長 98.4 mm, HH-Pi 1987, 体長 106.2 mm, HH-Pi 1988, 体長 63.0 mm, 下関市豊北町神田上土井ヶ浜沖; HH-Pi 1720, 体長 152.5 mm, HH-Pi 1721, 体長 145.8 mm, HH-Pi 1722, 体長 129.7 mm, HH-Pi 1723, 体長 135.1 mm, HH-Pi 1724, 体長 100.3 mm, HH-Pi 1725, 体長 102.7 mm, HH-Pi 1726, 体長 129.7 mm, HH-Pi 1727, 体長 105.5 mm, 下関市豊北町神田上土井ヶ浜沖, 1997年5月; HH-Pi 1728, 体長 90.9 mm, HH-Pi 1729, 体長 93.6 mm, HH-Pi 1730, 体長 86.5 mm, HH-Pi 1731, 体長 127.6 mm, HH-Pi 1732, 体長 137.1 mm, HH-Pi 1734, 体長 113.5 mm, HH-Pi 1735, 体長 140.8 mm, HH-Pi 1736, 体長 140.5 mm, HH-Pi 1737, 体長 152.7 mm, HH-Pi 1738, 体長 171.3 mm, HH-Pi 1739, 体長 167.9 mm, HH-Pi 1740, 体長 168.9 mm, HH-Pi 1741, 体長 149.9 mm, HH-Pi 1742, 体長 95.1 mm, HH-Pi 1743, 体長 164.1 mm, HH-Pi 1744, 体長 109.3 mm, HH-Pi 1745, 体長 106.7 mm, HH-Pi 1746, 体長 144.3 mm, HH-Pi 1747, 体長 123.7 mm, HH-Pi 1748, 体長 110.0 mm, HH-Pi 1749, 体長 113.6 mm, 下関市豊北町神田上土井ヶ浜沖, 1997年6月; HH-Pi 1750, 体長 93.0 mm, HH-Pi 1751, 体長 89.8 mm, HH-Pi 1752, 体長 98.9 mm, HH-Pi 1753, 体長 93.0 mm, HH-Pi 1754, 体長 91.6 mm, HH-Pi 1755, 体長 94.0 mm, HH-Pi 1756, 体長 97.3 mm, HH-Pi 1757, 体長 97.4 mm, HH-Pi 1758, 体長 94.2 mm, HH-Pi 1759, 体長 89.5 mm, HH-Pi 1760, 体長 112.3 mm, HH-Pi 1761, 体長 92.8 mm, HH-Pi 1762, 体長 102.9 mm, HH-Pi 1763, 体長 74.8 mm, HH-Pi 1764, 体長 77.5 mm, HH-Pi 1765, 体長 112.0 mm, HH-Pi 1766, 体長 129.4 mm, HH-Pi 1767, 体長 114.7 mm, HH-Pi 1785, 下関市豊北町神田上土井ヶ浜沖, 1997年9月; HH-Pi 1768, 体長 86.7 mm, HH-Pi 1769, 体長 93.5 mm, HH-Pi 1770, 体長 97.0 mm, HH-Pi 1771, 体長 84.8 mm, HH-Pi 1772, 体長 95.3 mm, HH-Pi 1773, 体長 95.6 mm, HH-Pi 1774, 体長 94.7 mm, HH-Pi 1775, 体長 88.2 mm, HH-Pi 1776, 体長 97.7 mm, HH-Pi 1777, 体長 95.4 mm, HH-Pi 1778, 体長 85.0 mm, HH-Pi 1779, 体長 69.5 mm, HH-Pi 1780, 体長 92.5 mm, HH-Pi 1781, 体長 85.8 mm, HH-Pi 1782, 体長 106.2 mm, HH-Pi 1783, 体長 98.9 mm, H-Pi 01784, 体長 112.8 mm, HH-Pi 1786, 体長 93.3 mm, 下関市豊北町神田上土井ヶ浜沖, 1998年2月6日; HH-Pi 1787, 体長 92.1 mm, HH-Pi 1788, 体長 112.3 mm, HH-Pi 1789, 体長 114.9 mm, HH-Pi 1790, 体長 159.2 mm, HH-Pi 1791, 体長 106.3 mm, HH-Pi 1792, 体長 155.1 mm, HH-Pi 1793, 体長 55.4 mm, HH-Pi 1794, 体長 56.3 mm, HH-Pi 1795, 体長 61.8 mm, HH-Pi 1796, 体長 121.6 mm, HH-Pi 1797, 体長 56.5 mm, HH-Pi 1799, 体長 63.6 mm, HH-Pi 2118, 体長 60.6 mm, HH-Pi 2119, 体長 58.8 mm, 下関市豊北町神田上土井ヶ浜沖, 1998年5月23日; HH-Pi 1798, 体長 111.0 mm, HH-Pi 1799, 体長 72.6 mm, HH-Pi 1800, 体長 139.2 mm, HH-Pi 1801, 体長 76.9 mm, HH-Pi 1802, 体長 93.2 mm, HH-Pi 1803, 体長 113.1 mm, HH-Pi 1804, 体長 106.4 mm, HH-Pi 1805, 体長 100.5 mm, HH-Pi 1806, 体長 103.9 mm, HH-Pi 1807, 体長 88.0 mm, HH-Pi 1808, 体長 112.7 mm, HH-Pi 1809, 体長 110.2 mm, HH-Pi 1810, 体長 98.7 mm, HH-Pi 1811, 体長 115.3 mm, HH-Pi 1812, 体長 85.2 mm, HH-Pi 1813, 体長 128.1 mm, HH-Pi 1814, 体長 130.1 mm, HH-Pi 1815, 体長 130.4 mm, HH-Pi 1816, 体長 140.5 mm, HH-Pi 1817, 体長 123.1 mm, HH-Pi 1818, 体長 121.6 mm, HH-Pi 1819, 体長 119.3 mm, HH-Pi 1820, 体長 139.5 mm, HH-Pi 1822, 体長 91.0 mm, 下関市豊北町神田上土井ヶ浜沖, 1998年6月11日; HH-Pi 1823, 体長 112.8 mm, HH-Pi 1824, 体長 115.7 mm, HH-Pi 1825, 体長 106.0 mm, HH-Pi 1826, 体長 113.5 mm, HH-Pi 1827, 体長 141.1 mm, HH-Pi 1828, 体長 123.2 mm, HH-Pi 1829, 体長 115.8 mm, HH-Pi 1830, 体長 107.3 mm, HH-Pi 1831, 体長 92.6 mm, HH-Pi 1832, 体長 104.7 mm, HH-Pi 1833, 体長 142.2 mm, HH-Pi 1834, 体長 123.5 mm, HH-Pi 1835, 体長 98.8 mm, H-Pi 01836, 体長 125.0 mm, HH-Pi 1837, 体長 123.6 mm, 下関市豊北町神田上土井ヶ浜沖, 1998年6月29日; HH-Pi 1838, 体長 57.4 mm, HH-Pi 1839, 体長 51.2 mm, HH-Pi 1840, 体長 50.0 mm, HH-Pi 1841, 体長 56.1 mm, HH-Pi 1842, 体長 53.6 mm, HH-Pi 1843, 体長 50.0 mm, HH-Pi 1844, 体長 59.6 mm, HH-Pi 1845, 体長 56.7 mm,

HH-Pi 1846, 体長 64.7 mm, HH-Pi 1847, 体長 61.6 mm, HH-Pi 1848, 体長 55.5 mm, HH-Pi 1849, 体長 58.4 mm, HH-Pi 1850, 体長 55.8 mm, HH-Pi 1851, 体長 50.9 mm, HH-Pi 1852, 体長 51.6 mm, HH-Pi 1853, 体長 55.2 mm, HH-Pi 1854, 体長 59.6 mm, HH-Pi 1855, 体長 66.5 mm, HH-Pi 1856, 体長 60.4 mm, HH-Pi 1857, 体長 59.6 mm, HH-Pi 1858, 体長 64.0 mm, HH-Pi 1859, 体長 55.6 mm, HH-Pi 1860, 体長 53.5 mm, HH-Pi 1861, 体長 53.7 mm, HH-Pi 1862, 体長 57.1 mm, HH-Pi 1863, 体長 53.0 mm, 下関市豊北町神田上土井ヶ浜沖, 1996年9月4日; HH-Pi 1937, 体長 17.0 mm, HH-Pi 1938, 体長 18.5 mm, 下関市豊北町神田上土井ヶ浜沖, 2000年7月; HH-Pi 1990, 2個体, 体長 123.3–126.2 mm, HH-Pi 1991, 体長 12.4 mm, HH-Pi 1992, 体長 9.0 mm, HH-Pi 1995, 体長 13.6 mm, 下関市豊北町神田上土井ヶ浜沖, 1996年10月4日; HH-Pi 1997, 2個体, 体長 51.3–59.0 mm, HH-Pi 1998, 21個体, 体長 40.7–111.7 mm, HH-Pi 1999, 22個体, 体長 49.0–175.3 mm, HH-Pi 2000, 6個体, 体長 65.9–179.3 mm, HH-Pi 2001, 2個体, 体長 66.4–81.8 mm, HH-Pi 2002, 体長 64.9 mm, 下関市豊北町神田上土井ヶ浜沖, 1999年5月14日; HH-Pi 2003, 9個体, 体長 64.1–128.3 mm, HH-Pi 2004, 11個体, 体長 74.2–142.8 mm, HH-Pi 2005, 3個体, 体長 80.1–102.4 mm, HH-Pi 2152, 3個体, 体長 62.4–84.5 mm, 下関市豊北町神田上土井ヶ浜沖, 1999年6月14日; HH-Pi 2006, 2個体, 体長 74.2–94.2 mm, HH-Pi 2007, 2個体, 体長 81.0–109.7 mm, HH-Pi 2008, 2個体, 体長 85.0–115.0 mm, HH-Pi 2009, 2個体, 体長 109.5–112.2 mm, HH-Pi 2010, 5個体, 体長 77.5–127.0 mm, HH-Pi 2012, 3個体, 体長 86.4–91.1 mm, HH-Pi 2013, 2個体, 体長 78.2–85.9 mm, HH-Pi 2014, 6個体, 体長 82.7–104.8 mm, HH-Pi 2015, 2個体, 体長 77.3–107.2 mm, 下関市豊北町神田上土井ヶ浜沖, 1999年7月7日; HH-Pi 2016, 2個体, 体長 16.2–17.5 mm, HH-Pi 2017, 2個体, 体長 19.7–33.5 mm, HH-Pi 2018, 6個体, 体長 114.2–160.0 mm, HH-Pi 2019, 15個体, 体長 18.5–141.7 mm, HH-Pi 2020, 7個体, 体長 19.5–174.1 mm, HH-Pi 2021, 3個体, 体長 101.5–142.4 mm, HH-Pi 2022, 体長 127.3 mm, 下関市豊北町神田上土井ヶ浜沖, 1999年10月18日; HH-Pi 2023, 2個体, 体長 122.2–137.7 mm, HH-Pi 2024, 2個体, 体長 19.8–66.3 mm, 下関市豊北町神田上土井ヶ浜沖, 1999年11月10日; HH-Pi 2025, 体長 135.7 mm, 下関市豊北町神田上土井ヶ浜沖, 1999年12月8日; HH-Pi 2026, 体長 113.6 mm, HH-Pi 2027, 体長 189.8 mm, 下関市豊北町神田上土井ヶ浜沖, 2000年7月12日; HH-Pi 2028, 体長 68.2 mm, 下関市豊北町神田上土井ヶ浜沖, 2000年9月28日; HH-Pi 2029, 体長 80.6 mm, 下関市豊北町神田上土井ヶ浜沖, 2000年10月4日; HH-Pi 2030, 4個体, 体長 47.7–59.2 mm, HH-Pi 2031, 体長 105.6 mm, 下関市豊北町神田上土井ヶ浜沖, 2000年11月24日; HH-Pi 2032, 3個体, 体長 76.8–82.7 mm, 下関市豊北町神田上土井ヶ浜沖, 2001年4月19日; HH-Pi 2033, 3個体, 体長 20.4–94.0 mm, HH-Pi 2034, 2個体, 体長 30.2–50.3 mm, HH-Pi 2035, 体長 77.9 mm, 下関市豊北町神田上土井ヶ浜沖, 2001年9月27日; HH-Pi 2036, 2個体, 体長 75.4–83.1 mm, HH-Pi 2037, 2個体, 体長 18.5–155.3 mm, 下関市豊北町神田上土井ヶ浜沖, 2001年9月28日; HH-Pi 2040, 4個体, 体長 84.5–104.0 mm, 下関市豊北町神田上土井ヶ浜沖, 1997年6月4日; HH-Pi 2043, 体長 26.0 mm, HH-Pi 2044, 体長 22.0 mm, HH-Pi 2045, 体長 28.1 mm, HH-Pi 2046, 体長 26.0 mm, HH-Pi 2047, 体長 22.7 mm, HH-Pi 2048, 体長 24.4 mm, HH-Pi 2049, 体長 26.6 mm, HH-Pi 2050, 体長 26.0 mm, HH-Pi 2051, 体長 24.5 mm, HH-Pi 2052, 体長 21.4 mm, HH-Pi 2053, 体長 21.5 mm, HH-Pi 2054, 体長 26.5 mm, HH-Pi 2055, 体長 17.7 mm, HH-Pi 2056, 体長 24.8 mm, HH-Pi 2057, 体長 19.9 mm, HH-Pi 2058, 体長 60.1 mm, HH-Pi 2059, 体長 28.0 mm, HH-Pi 2061, 体長 30.3 mm, HH-Pi 2062, 体長 30.8 mm, HH-Pi 2063, 体長 24.8 mm, HH-Pi 2064, 体長 21.0 mm, HH-Pi 2065, 体長 23.8 mm, HH-Pi 2066, 体長 21.6 mm, HH-Pi 2067, 体長 25.0 mm, HH-Pi 2068, 体長 24.4 mm, HH-Pi 2069, 体長 23.6 mm, HH-Pi 2070, 体長 19.8 mm, HH-Pi 2071, 体長 22.3 mm, HH-Pi 2072, 体長 19.2 mm, HH-Pi 2073, 体長 20.4 mm, HH-Pi 2074, 体長 22.7 mm, HH-Pi 2075, 体長 29.4 mm, HH-Pi 2076, 体長 27.1 mm, HH-Pi 2077, 体長 26.4 mm, HH-Pi 2078, 体長 25.5 mm, HH-Pi 2079, 体長 24.7 mm, HH-Pi 2080, 体長 18.4 mm, HH-Pi 2081, 体長 25.1 mm, HH-Pi 2082, 体長 23.1 mm, HH-Pi 2083, 体長 24.4 mm, HH-Pi 2084, 体長 28.2 mm, HH-Pi 2085, 体長

24.7 mm, HH-Pi 2086, 体長 27.0 mm, HH-Pi 2087, 体長 22.7 mm, HH-Pi 2088, 体長 24.2 mm, HH-Pi 2089, 体長 26.2 mm, HH-Pi 2090, 体長 25.6 mm, HH-Pi 2091, 体長 26.0 mm, HH-Pi 2092, 体長 24.4 mm, HH-Pi 2093, 体長 27.1 mm, HH-Pi 2094, 体長 25.5 mm, HH-Pi 2095, 体長 25.2 mm, HH-Pi 2096, 体長 27.7 mm, HH-Pi 2097, 体長 24.5 mm, HH-Pi 2098, 体長 27.0 mm, HH-Pi 2099, 体長 26.3 mm, HH-Pi 2100, 体長 26.9 mm, HH-Pi 2101, 体長 23.5 mm, HH-Pi 2102, 体長 21.2 mm, HH-Pi 2103, 体長 26.3 mm, HH-Pi 2104, 体長 19.0 mm, HH-Pi 2105, 体長 23.3 mm, HH-Pi 2106, 体長 22.2 mm, HH-Pi 2107, 体長 26.6 mm, HH-Pi 2108, 体長 24.4 mm, HH-Pi 2109, 体長 26.7 mm, HH-Pi 2110, 体長 20.7 mm, HH-Pi 2111, 体長 27.8 mm, HH-Pi 2112, 体長 26.9 mm, HH-Pi 2113, 体長 27.6 mm, HH-Pi 2114, 体長 24.2 mm, HH-Pi 2115, 体長 24.4 mm, HH-Pi 2116, 体長 50.6 mm, 下関市豊北町神田上土井ヶ浜沖, 1997年11月16日; HH-Pi 2117, 体長 48.2 mm, 下関市豊北町神田上土井ヶ浜沖, 1997年12月21日; HH-Pi 2120, 体長 124.5 mm, 下関市豊北町神田上土井ヶ浜沖, 1998年9月1日; HH-Pi 2121, 31個体, 体長 15.4–77.6 mm, HH-Pi 2122, 6個体, 体長 18.4–59.7 mm, HH-Pi 2123, 7個体, 体長 31.0–95.7 mm, HH-Pi 2124, 7個体, 体長 35.4–53.2 mm, HH-Pi 2125, 3個体, 体長 22.2–28.9 mm, HH-Pi 2126, 17個体, 体長 16.4–84.7 mm, HH-Pi 2127, 20個体, HH-Pi 2128, 41個体, HH-Pi 2129, 3個体, 体長 18.9–31.5 mm, HH-Pi 2130, 3個体, 体長 27.5–28.8 mm, 下関市豊北町神田上土井ヶ浜沖, 1998年10月5日; HH-Pi 2131, 体長 71.2 mm, HH-Pi 2133, 体長 151.7 mm, 下関市豊北町神田上土井ヶ浜沖, 1998年11月19日; HH-Pi 2134, 5個体, 体長 62.0–84.7 mm, HH-Pi 2135, 4個体, 体長 74.8–86.7 mm, HH-Pi 2136, 体長 82.1 mm, HH-Pi 2137, 2個体, 体長 65.1–81.8 mm, 下関市豊北町神田上土井ヶ浜沖, 1998年12月17日; HH-Pi 2138, 33個体, 体長 52.7–148.6 mm, HH-Pi 2139, 42個体, 体長 52.4–101.6 mm, HH-Pi 2140, 8個体, 体長 46.7–83.8 mm, HH-Pi 2141, 20個体, 体長 54.6–162.4 mm, 下関市豊北町神田上土井ヶ浜沖, 1999年1月17日; HH-Pi 2142, 5個体, 体長 72.1–84.3 mm, HH-Pi 2143, 4個体, 体長 55.0–86.6 mm, HH-Pi 2144, 体長 103.0 mm, 下関市豊北町神田上土井ヶ浜沖, 1999年2月15日; HH-Pi 2145, 体長 94.2 mm, HH-Pi 2146, 9個体, 体長 52.0–88.8 mm, HH-Pi 2147, 12個体, 体長 38.0–110.5 mm, HH-Pi 2148, 7個体, 体長 44.0–91.7 mm, HH-Pi 2149, 6個体, 体長 41.2–94.2 mm, 下関市豊北町神田上土井ヶ浜沖, 1999年3月17日; HH-Pi 2150, 2個体, 体長 93.8–95.5 mm, 下関市豊北町神田上土井ヶ浜沖, 1999年4月15日.

画像 KPM-NR 198329, 深川湾, 1997年6月30日; KPM-NR 198662, 下関市豊浦町室津下沖, 2017年3月31日; KPM-NR 198853, 萩市三見沖, 2017年4月21日.

文献 藤原ほか (2018): KAUM-I. 97219, KAUM-I. 97220, KAUM-I. 97221, 下関市吉見古宿沖; 藤原ほか (2018) : KAUM-I. 97417 (fig. 8G), 下関市蓋井島と六連島の間.

Mullidae ヒメジ科

Parupeneus biaculeatus (Richardson, 1846)

ミナベヒメジ

画像 KPM-NR 205041, 長門市仙崎青海島, 2017年6月27日.

文献 藤原ほか (2018) : KAUM-I. 97439, (fig. 8H), 下関市蓋井島と六連島の間.

備考 本種の同定は池田・中坊 (2015) に従った.

Parupeneus chrysopleuron (Temminck and Schlegel, 1843)

ウミヒゴイ

画像 KPM-NR 205007, 長門市仙崎青海島, 2018年7月20日; KPM-NR 205008, 長門市仙崎青海島, 2018年7月27日.

Parupeneus ciliatus (Lacepède, 1802)

ホウライヒメジ

標本 HH-Pi 483, 体長 65.5 mm, 萩市須佐長磯沖, 水深 11 m, 2012 年 10 月 26 日; HH-Pi 663, 体長 63.6 mm, HH-Pi 668, 体長 73.7 mm, 萩市須佐長磯沖, 2016 年 11 月 22 日; HH-Pi 2604, 体長 331.0 mm, 下関市豊北町角島沖, 2019 年 4 月 22 日.

***Parupeneus heptacanthus* (Lacepède, 1802)**

タカサゴヒメジ

画像 KPM-NR 205033, 長門市仙崎青海島, 2018 年 7 月 27 日.

文献 藤原ほか (2018) : KAUM-I. 97438 (fig. 8I), 下関市蓋井島と六連島の間.

***Parupeneus multifasciatus* (Quoy and Gaimard, 1825)**

オジサン

標本 HH-Pi 62, 萩市沖; HH-Pi 383, 体長 225.4 mm, 山口県沖, 2004 年 6 月 8 日.

画像 KPM-NR 198121, 長門市沖, 2003 年 11 月 6 日.

***Parupeneus spilurus* (Bleeker, 1854)**

オキナヒメジ

標本 HH-Pi 172, 体長 207.1 mm, 萩市沖, 1958 年 3 月 30 日.

***Upeneus japonicus* (Houttuyn, 1782)**

ヒメジ

標本 HH-Pi 61, 体長 139.4 mm, 萩市沖, 1953 年 5 月 13 日; HH-Pi 891, 体長 131.1 mm, 萩市見島東沖, 水深 60–76 m, 2017 年 4 月 12 日; HH-Pi 956, 体長 50.4 mm, 下関市豊浦町室津下沖, 2018 年 7 月 24 日; HH-Pi 2200, 体長 29.4 mm, 下関市豊北町神田上土井ヶ浜沖, 1996 年 6 月 27 日.

画像 KPM-NR 198472, 長門市沖, 1997 年 7 月 11 日; KPM-NR 198473, 長門市油谷津黄沖, 2012 年 5 月 22 日; KPM-NR 198775, 体長 131.1 mm, 萩市見島東沖, 水深 60–76 m, 2017 年 4 月 12 日; KPM-NR 198917, 下関市豊浦町室津下沖, 水深 1 m, 2018 年 7 月 24 日.

文献 藤原ほか (2018) : KAUM-I. 49548, 下関市沖; 藤原ほか (2018) : KAUM-I. 97231, KAUM-I. 97232, KAUM-I. 97418 (fig. 8J), 下関市蓋井島と六連島の間.

***Upeneus tragula* Richardson, 1846**

ヨメヒメジ

標本 HH-Pi 429, 体長 52.2 mm, 萩市須佐沖, 2010 年 11 月 8 日; HH-Pi 448, 2 個体, 体長 87.9–91.5 mm, 萩市須佐沖, 水深 10 m, 2011 年 12 月 13 日.

***Upeneus* sp. 1**

ヒメジ属の未同定種①

文献 藤原ほか (2018) : KAUM-I. 97282 (fig. 8K), 萩市見島沖.

***Upeneus* sp. 2**

ヒメジ属の未同定種②

画像 KPM-NR 186764, 萩市須佐沖, 水深 10 m.

Pempheridae ハタンボ科

***Parapriacanthus ransonneti* Steindachner, 1870**

キンメモドキ

標本 HH-Pi 456, 体長 43.5 mm, 阿武郡阿武町奈古沖, 2009 年 3 月 15 日; HH-Pi 826, 体長

67.2 mm, 萩市三見沖, 2018年1月21日; HH-Pi 827, 体長64.5 mm, 萩市三見沖, 2018年1月21日; HH-Pi 1339, 体長31.8 mm, 下関市豊北町神田上土井ヶ浜沖, 2000年11月24日.

画像 KPM-NR 198704, KPM-NR 198705, 萩市三見沖, 2018年1月21日.

Pempheris japonica Döderlein, 1883

ツマグロハタンボ

標本 HH-Pi 458, 体長67.2 mm, 下関市安岡本町沖, 2006年10月28日.

画像 KPM-NR 198380, 体長136.5 mm, 山口県沖, 2016年4月9日.

文献 藤原ほか (2018) : KAUM-I. 97344 (fig. 8L), 萩市見島沖.

Glaucosomatidae アオバダイ科

Glaucosoma buergeri Richardson, 1845

アオバダイ

標本 HH-Pi 67, 萩市沖, 乾燥標本.

画像 KPM-NR 198873, 山口県沖, 2008年3月8日.

Chaetodontidae チョウチョウウオ科

Chaetodon auriga Forsskål, 1775

トゲチョウチョウウオ

標本 HH-Pi 331, 体長41.8 mm, 萩市堀内菊ヶ浜沖, 2010年9月2日; HH-Pi 369, 体長32.2 mm, 阿武郡阿武町奈古土沖, 2010年8月24日; HH-Pi 469, 2個体, 体長55.1 mm, 萩市須佐沖, 水深3-5 m, 2012年10月26日; HH-Pi 526, 体長39.6 mm, 萩市須佐沖, 2014年9月30日; HH-Pi 557, 体長42.9 mm, 萩市須佐沖, 2014年11月.

画像 KPM-NR 198987, 下関市伊崎沖, 2008年12月11日.

Chaetodon auripes Jordan and Snyder, 1901

チョウチョウウオ

標本 HH-Pi 484, 体長36.0 mm, 萩市須佐沖, 水深5 m, 2012年10月26日.

Chaetodon lunula (Lacepède, 1802)

チョウハン

標本 HH-Pi 305, 体長33.6 mm, 阿武郡阿武町奈古土沖, 2010年8月24日.

Chaetodon wiebeli Kauo, 1863

ツキチョウチョウウオ

文献 河野ほか (2011a) : fig. 3-8, 下関市豊浦町宇賀沖.

Heniochus acuminatus (Linnaeus, 1758)

ハタタテダイ

標本 HH-Pi 316, 体長46.6 mm, 萩市東浜崎町; HH-Pi 433, 2個体, 体長50.2-50.9 mm, 阿武郡阿武町奈古土沖, 2010年9月20日.

画像 KPM-NR 198802, 下関市豊浦町宇賀沖, 2008年9月6日; KPM-NR 198875, 下関市豊北町神田附野赤田浜, 2016年8月4日.

Heniochus diphreutes Jordan, 1903

ムレハタタテダイ

画像 KPM-NR 198724, 下関市豊浦町宇賀沖, 2008年9月6日.

***Roa modesta* (Temminck and Schlegel, 1844)**

ゲンロクダイ

標本 HH-Pi 298, 体長 71.9 mm, 萩市椿東越ヶ浜沖, 2004 年 7 月 6 日.

画像 KPM-NR 198233, 長門市沖, 1997 年 7 月 18 日; KPM-NR 198234, 山口県沖, 2016 年 9 月 16 日; KPM-NR 198889, 阿武郡阿武町宇田沖, 2014 年 9 月 18 日; KPM-NR 205024, 長門市仙崎紫津浦湾, 2016 年 11 月 15 日.

文献 河野ほか (2020) : HH-Pi 588, 山口県沖.

Pomacanthidae キンチャクダイ科***Chaetodontoplus septentrionalis* (Temminck and Schlegel, 1844)**

キンチャクダイ

標本 HH-Pi 314, 体長 101.6 mm, 阿武郡阿武町宇田沖, 2008 年 10 月 25 日; HH-Pi 432, 体長 30.0 mm, 阿武郡阿武町奈古土沖, 2010 年 9 月 20 日; HH-Pi 479, 2 個体, 体長 24.3–32.4 mm, 萩市須佐長磯沖, 水深 10–15 m, 2012 年 10 月 26 日.

画像 KPM-NR 48767, 阿武郡阿武町惣郷沖, 水深 15 m, 2005 年 7 月 23 日; KPM-NR 198195, 長門市仙崎青海島沖, 2016 年 9 月 2 日.

文献 藤原ほか (2018) : NFU-510-25 (fig. 8M), 下関市蓋井島と六連島の間.

Pentacerotidae カワビシヤ科***Eviotias acutirostris* (Temminck and Schlegel, 1844)**

テングダイ

標本 HH-Pi 248, 体長 238.2 mm, 萩市三見沖, 2004 年 1 月 23 日; HH-Pi 515, 萩市椿東越ヶ浜沖, 水深 15 m, 2014 年 3 月 24 日.

画像 KPM-NR 198388, 萩市沖, 2008 年 5 月 9 日; KPM-NR 198389, 長門市沖, 2011 年 2 月 5 日.

***Histiopterus typus* Temminck and Schlegel, 1844**

カワビシヤ

画像 KPM-NR 198051, 萩市沖, 2018 年 5 月 15 日.

Latridae タカノハダイ科

(タカノハダイ科の学名は Kimura et al. (2018), 木村ほか (2018) に従った.)

***Goniistius quadricornis* (Günther, 1860)**

ユウダチタカノハ

標本 FAKU 146097, 萩市大島沖, 体長 125 mm, 2018 年 2 月 9 日.

画像 KPM-NR 206005, 萩市大島沖, 体長 125 mm, 2018 年 2 月 9 日.

文献 藤原ほか (2018) : KAUM-I. 97440 (fig. 8N), 下関市蓋井島と六連島の間.

***Goniistius zonatus* (Cuvier, 1830)**

タカノハダイ

画像 KPM-NR 33089, 萩市椿東沖, 水深 5 m; KPM-NR 198357, 萩市沖, 2012 年 6 月 2 日.

文献 藤原ほか (2018) : KAUM-I. 76216, KAUM-I. 97345 (fig. 8O), 萩市見島沖.

Cepolidae アカタチ科***Acanthocepola krusensternii* (Temminck and Schlegel, 1845)**

アカタチ

標本 HH-Pi 347, 体長 643.0 mm, 萩市見島南西沖, 水深 120–130 m, 2004 年 7 月 26 日.
 文献 藤原ほか (2018) : KAUM-I. 49568 (fig. 8P), 下関市沖; 藤原ほか (2018) : KAUM-I. 97252, KAUM-I. 97360, 下関市蓋井島と六連島の間.

Acanthocepola limbata (Valenciennes, 1835)

イッテンアカタチ

標本 FAKU 133199, 長門市日置上黄波戸沖, 2011 年 4 月 18 日; HH-Pi 348, 体長 762.0 mm, 山口県沖, 2007 年 7 月 1 日; HH-Pi 981, 下関市沖, 2018 年 9 月 3 日.

画像 KPM-NR 198996, 下関市沖, 2018 年 9 月 3 日; KPM-NR 198078, 長門市日置上黄波戸沖, 2011 年 4 月 18 日; KPM-NR 198079, 長門市沖, 1997 年 9 月 8 日; KPM-NR 205004, 2014 年 11 月 8 日.

Cepola schlegelii Bleeker, 1854

スミツキアカタチ

標本 FAKU 133067, 萩市下田万沖, 水深 114 m, 2011 年 7 月 11 日; HH-Pi 198, 体長 223.0 mm, 萩市沖.

画像 KPM-NR 198343, 萩市下田万沖, 水深 114 m, 2011 年 7 月 11 日; KPM-NR 198344, 長崎県対馬東沖, 2006 年 10 月 25 日.

Embiotocidae ウミタナゴ科

Ditrema temminckii temminckii Bleeker, 1853

ウミタナゴ

標本 HH-Pi 59, 体長 197.0 mm, HH-Pi 251, 20 個体, 体長 44.5–48.6 mm, 萩市沖; HH-Pi 486, 2 個体, 山口県沖, 2012 年 11 月; HH-Pi 719, 体長 95.1 mm, 阿武郡阿武町宇田宇田島, 2018 年 11 月 27 日; HH-Pi 913, 体長 141.9 mm, 下関市蓋井島沖, 2018 年 6 月 19 日; HH-Pi 930, 体長 94.0 mm, 下関市彦島迫町西山沖, 2018 年 7 月 14 日.

画像 KPM-NR 198104, KPM-NR 198105, 下関市彦島沖, 2012 年 11 月 1 日; KPM-NR 198798 体長 141.9 mm, 下関市蓋井島沖, 2018 年 6 月 19 日; KPM-NR 198837, 下関市彦島迫町西山沖, 2018 年 7 月 14 日.

文献 藤原ほか (2018) : KAUM-I. 97441, KAUM-I. 97442 (fig. 8Q), 下関市蓋井島と六連島の間.

Pomacentridae スズメダイ科

Abudefduf bengalensis (Bloch, 1787)

テンジクスズメダイ

標本 HH-Pi 332, 体長 85.7 mm, 萩市堀内菊ヶ浜沖, 2010 年 9 月 1 日; HH-Pi 437, 体長 37.6 mm, 萩市堀内菊ヶ浜沖, 2010 年 9 月 2 日; HH-Pi 344, 体長 95.9 mm, HH-Pi 345, 2 個体, 体長 57.3–62.6 mm, 萩市山田倉江沖, 2004 年.

Abudefduf sordidus (Forsskål, 1775)

シマスズメダイ

標本 HH-Pi 477, 体長 20.0 mm, 萩市山田倉江沖 2012 年 10 月 21 日.

Abudefduf vaigiensis (Quoy and Gaimard, 1825)

オヤビッチャ

標本 HH-Pi 274, 体長 53.1 mm, 下関市豊北町神田肥中沖, 2010 年 9 月 2 日; HH-Pi 335, 体

長 35.3 mm, 萩市山田倉江沖, 2004 年 11 月 1 日; HH-Pi 461, 体長 64.0 mm, 阿武郡阿武町宇田沖, 2010 年 9 月 16 日; HH-Pi 704, 体長 79.7 mm, 阿武郡阿武町宇田沖, 2013 年 8-9 月.

Amphiprion clarkii (Bennett, 1830)

クマノミ

画像 KPM-NR 205020, 萩市相島, 2017 年 9 月 13 日; KPM-NR 205021, 長門市仙崎青海島, 2017 年 10 月 5 日.

Amphiprion ocellaris Cuvier, 1830

カクレクマノミ

画像 KPM-NR 205017, 長門市仙崎青海島, 2017 年 7 月 17 日.

備考 本種は *Stichodactyla gigantea* ハタゴイソギンチャク, *Radianthus ritteri* センジュイソギンチャクなどと共生することが知られているが, それらのイソギンチャク類は本海域には分布していない (青沼ほか, 2013; 内田・楚山, 2004), また本種の国内での分布は琉球列島しか知られておらず, 本調査海域との間ではまだ報告がない (青山ほか, 2013), 本種はイソギンチャクに密接な接触を保ちながら泳ぐため (モイヤー・余呉, 2001), 基本的には行動範囲が狭いと考えられること, KPM-NR 205017 の個体は本海域で 1 日のみしか確認されていないことから (笹川氏私信), 飼育魚が放流されたものである可能性が極めて高い.

Chromis fumea (Tanaka, 1917)

マツバスズメダイ

標本 HH-Pi 337, HH-Pi 731, 体長 63.9 mm, 萩市山田倉江沖, 2004 年; HH-Pi 985, 体長 30.8 mm, 長門市日置上黄波戸沖, 2018 年 11 月 10 日.

画像 KPM-NR 33092, 萩市椿東沖, 水深 5 m; KPM-NR 199001, 体長 30.8 mm, 長門市日置上黄波戸沖, 2018 年 11 月 10 日.

Chromis katoi Iwatsubo and Motomura, 2018

ナノハナスズメダイ (Fig. 5E)

画像 KPM-NR 150266, 萩市相島沖, 水深 10 m.

備考 本種の同定と標準和名は Iwatsubo and Motomura (2018) に従った.

KPM-NR 150266 は, 胸鰭基部の上方の 3/2 を覆う黒色斑がある, 背鰭基部の後端に不鮮明な白い斑点がある, 背鰭鰭条は黄色い, 尾鰭の上縁と下縁は黄色などの特徴が, Iwatsubo and Motomura (2018) の *Chromis katoi* と形態および色彩の記載がよく一致したため, 本種に同定した.

日本沿岸海域からは, 八丈島から記録のみで (Iwatsubo and Motomura, 2018), 日本海からの報告がない. したがって, 本報告は証拠画像を伴う日本海初の記録である. 本種の記録は画像のみで標本は得られていない.

Chromis notata (Temminck and Schlegel, 1843)

スズメダイ

標本 FAKU 133069, 長門市油谷湾, 2011 年 7 月 28 日; HH-Pi 417, 体長 100.1 mm, 阿武郡阿武町宇田沖, 2010 年 5 月 1 日; HH-Pi 606, 5 個体, 体長 78.8-98.0 mm, 阿武郡阿武町宇田沖, 2016 年 10 月 22 日; HH-Pi 914, 体長 99.3 mm, 下関市蓋井島沖, 2018 年 6 月 19 日; HH-Pi 929, 体長 91.4 mm, 下関市彦島迫町西山沖, 2018 年 7 月 14 日; HH-Pi 2625, 体長 97.6 mm, 下関市彦島沖, 2019 年 6 月 21 日.

画像 KPM-NR 198338, 長門市油谷湾, 2011 年 7 月 28 日; KPM-NR 198339, 長門市沖, 1997 年 6 月 28 日; KPM-NR 198795, 体長 99.3 mm, 下関市蓋井島沖, 2018 年 6 月 19 日; KPM-NR

198836, 下関市彦島迫町西山沖, 2018年7月14日; KPM-NR 203248, 体長97.6 mm, 下関市彦島沖, 2019年6月21日.

文献 藤原ほか(2018): KAUM-I. 97213, KAUM-I. 97214 (fig. 8R), KAUM-I. 97215, KAUM-I. 97253, 下関市蓋井島と六連島の間.

備考 本種の学名はIwatsubo and Motomura(2013)に従った.

***Pomacentrus coelestis* Jordan and Starks, 1901**

ソラスズメダイ

標本 HH-Pi 334, 2個体, 体長12.8–17.6 mm, 萩市大井大井浦漁港, 2004年9月20日; HH-Pi 600, 体長38.9 mm, 阿武郡阿武町宇田宇田漁港, 2004年11月24日; HH-Pi 658, 体長19.7 mm, 萩市須佐長磯沖, 2016年11月22日.

画像 KPM-NR 198354, 長門市仙崎大泊沖, 2012年9月3日; KPM-NR 205032, 長門市仙崎青海島, 2018年11月21日.

***Pomacentrus nagasakiensis* Tanaka, 1917**

ナガサキスズメダイ

画像 KPM-NR 205038, 長門市仙崎青海島, 2017年9月3日.

***Stegastes altus* (Okada and Ikeda, 1937)**

セダカスズメダイ

画像 KPM-NR 205031, 長門市仙崎青海島, 2017年10月27日.

Terapontidae シマイサキ科

***Rhynchopelates oxyrhynchus* (Temminck and Schlegel, 1843)**

シマイサキ

標本 OMNH-P 45741, 体長32.7 mm, 長門市三隅中三隅川河口, 2014年11月10日.

***Terapon jarbua* (Forsskål, 1775)**

コトヒキ

標本 HH-Pi 1623, 3個体, 体長11.1–11.6 mm, 下関市豊北町神田上土井ヶ浜沖, 2001年8月1日.

***Terapon theraps* Cuvier, 1829**

ヒメコトヒキ

標本 HH-Pi 311, 体長114.2 mm, 阿武郡阿武町宇田沖, 2008年10月25日.

Scorpididae タカベ科

***Labracoglossa argentiventris* Peters, 1866**

タカベ

標本 FAKU 143650, 長門市日置上黄波戸沖, 2015年11月6日; HH-Pi 2605, 体長164.0 mm, 下関市豊北町角島沖, 2019年4月22日.

画像 KPM-NR 198358, 長門市日置上黄波戸沖, 2015年11月6日.

文献 藤原ほか(2018): KAUM-I. 97346 (fig. 8S), 萩市見島沖.

Oplegnathidae イシダイ科

***Oplegnathus fasciatus* (Temminck and Schlegel, 1844)**

イシダイ

- 標本 HH-Pi 869, 体長 41.0 mm, 長門市日置上黄波戸沖, 2017 年 7 月 22 日.
 画像 KPM-NR 198072, 長門市仙崎港, 1997 年 7 月 13 日; KPM-NR 198751, 長門市日置上黄波戸沖, 2017 年 7 月 22 日.
 文献 藤原ほか (2018) : KAUM-I. 97324, KAUM-I. 97347, 萩市見島沖; 藤原ほか (2018) : KAUM-I. 97419 (fig. 8T), 下関市蓋井島と六連島の間.

Oplegnathus punctatus (Temminck and Schlegel, 1844)

イシガキダイ

- 標本 HH-Pi 867, 体長 101.0 mm, 長門市日置上黄波戸沖, 2017 年 7 月 22 日.
 画像 KPM-NR 198070, KPM-NR 198749, 長門市日置上黄波戸沖, 1997 年 9 月 22 日; KPM-NR 198071, 長門市油谷津黄沖, 2010 年 5 月 4 日.
 文献 藤原ほか (2018) : KAUM-I. 49538 (fig. 8U), KAUM-I. 49549, 下関市沖.

Kyphosidae イスズミ科

Kyphosus bigibbus Lacepède, 1801

ノトイズズミ

- 標本 HH-Pi 420, 2 個体, 体長 129.3–133.2 mm, 阿武郡阿武町宇田宇田島, 2010 年 10 月.
 画像 KPM-NR 198436, 長門市油谷津黄沖, 2010 年 5 月 4 日.
 文献 藤原ほか (2018) : KAUM-I. 97348 (fig. 9A), 萩市見島沖.

Kyphosus vaigiensis (Quoy and Gaimard, 1825)

イスズミ

- 標本 FAKU 146037, FAKU 146038, FAKU 146039, 長門市通沖, 2017 年 9 月 14 日.
 画像 KPM-NR 198075, 長門市通沖, 2012 年 10 月 26 日; KPM-NR 198076, 長門市仙崎沖, 2014 年 11 月 16 日; KPM-NR 206001, 長門市通沖, 2017 年 9 月 14 日.

Microcanthidae カゴカキダイ科

Microcanthus strigatus (Cuvier, 1831)

カゴカキダイ

- 標本 FAKU 132885, 萩市大島沖, 2010 年 12 月 7 日; HH-Pi 579 体長 118.8 mm, 萩市須佐長磯沖, 2016 年 8 月 23 日; HH-Pi 696, 体長 104.3 mm, 萩市須佐沖, 2017 年 11 月 10 日; HH-Pi 865, 体長 71.0 mm, 長門市日置上黄波戸沖, 2017 年 7 月 22 日.
 画像 KPM-NR 198138, 萩市大島沖, 2010 年 12 月 7 日; KPM-NR 198139, 長門市通沖, 2012 年 10 月 26 日; KPM-NR 198747, 長門市日置上黄波戸沖, 2017 年 7 月 22 日.
 文献 藤原ほか (2018) : KAUM-I. 97443 (fig. 9B), 下関市蓋井島と六連島の間.

Girellidae メジナ科

Girella leonina (Richardson, 1846)

クロメジナ

- 画像 KPM-NR 198988, 萩市見島沖, 2014 年 5 月 7 日.

Girella punctata Gray, 1835

メジナ

- 標本 HH-Pi 64, 体長 160.4 mm, 萩市沖, 1953 年 5 月 13 日; HH-Pi 868, 体長 64.1 mm, 長門市日置上黄波戸沖, 2017 年 7 月 22 日; HH-Pi 2591, 体長 61.7 mm, 下関市豊北町神田上土井ヶ浜沖,

1997年9月11日；HH-Pi 2573, 93個体, HH-Pi 2574, 49個体, 体長13.9–25.0 mm, HH-Pi 2575, 81個体, HH-Pi 2576, 280個体, HH-Pi 2578, 57個体, HH-Pi 2579, 245個体, 下関市豊北町神田上土井ヶ浜沖, 1995年6月16日; HH-Pi 2577, 体長23.8 mm, 下関市豊北町神田上土井ヶ浜沖, 2000年5月25日; HH-Pi 2581, 18個体, 体長18.5–24.8 mm, HH-Pi 2582, 体長22.4 mm, HH-Pi 2584, 2個体, 体長20.8–21.3 mm, HH-Pi 2585, 体長18.4 mm, HH-Pi 2586, 2個体, 体長19.1–19.7 mm, 下関市豊北町神田上土井ヶ浜沖, 1999年5月14日; HH-Pi 2583, 3個体, 体長59.0–69.5 mm, 下関市豊北町神田上土井ヶ浜沖, 2001年9月27日; HH-Pi 2587, 6個体, 体長14.0–21.8 mm, 下関市豊北町神田上土井ヶ浜沖, 1997年5月30日; HH-Pi 2589, 2個体, 体長22.5–23.3 mm, 下関市豊北町神田上土井ヶ浜沖, 1997年6月4日; HH-Pi 2590, 7個体, 体長19.2–27.7 mm, 下関市豊北町神田上土井ヶ浜沖, 1997年6月10日; HH-Pi 2592, 2個体, 体長21.7–24.1 mm, 下関市豊北町神田上土井ヶ浜沖, 1998年6月4日; HH-Pi 2648, 体長150 mm, 下関市沖, 2019年6月21日; HMNH-P 15945, 体長22.6 mm, 萩市下田万沖, 2019年5月4日。

画像 KPM-NR 198604, 長門市日置上黄波戸沖, 1998年10月20日; KPM-NR 198750, 長門市日置上黄波戸沖, 2017年7月22日; KPM-NR 203276, 体長150 mm, 下関市沖, 2019年6月21日。

文献 藤原ほか(2018) : KAUM-I. 76213, 下関市豊北町角島; 藤原ほか(2018) : KAUM-I. 97349 (fig. 9C), 萩市見島沖.

Centrolophidae イボダイ科

Hyperoglyphe japonica (Döderlein, 1884)

メダイ

標本 FAKU 145449, FAKU 145450, FAKU 145451, FAKU 145452, FAKU 145453, 長門市沖, 2017年5月26日。

画像 KPM-NR 198608, 長門市油谷津黄沖, 2010年6月4日; KPM-NR 198605, 長門市油谷川尻北沖, 2011年2月25日; KPM-NR 198607, 長門市油谷向津具下北沖, 2011年6月14日; KPM-NR 198606, 長門市沖, 2009年2月12日; KPM-NR 198818, 下関市豊浦町宇賀沖, 2012年2月28日; KPM-NR 150259, 長門市仙崎青海島沖, 水深3 m.

Psenopsis anomala (Temminck and Schlegel, 1844)

イボダイ

画像 KPM-NR 198088, 長門市沖, 1998年9月9日.

文献 藤原ほか(2018) : KAUM-I. 97203, KAUM-I. 97388 (fig. 9D), KAUM-I. 97389, KAUM-I. 97390, 萩市見島沖.

Stromateidae マナガツオ科

Pampus punctatissimus (Temminck and Schlegel, 1845)

マナガツオ

画像 KPM-NR 198559, 長門市通沖, 2011年9月9日; KPM-NR 198560, 長門市通沖, 2012年11月5日.

文献 藤原ほか(2018) : KAUM-I. 81985 (fig. 9E), 下関市沖.

Nomeidae エボシダイ科

Cubiceps whiteleggi (Waite, 1894)

ボウズコンニャク

画像 KPM-NR 198515, 下関市豊浦町室津下沖, 2016年6月26日.

文献 藤原ほか(2018) : KAUM-I. 87372, KAUM-I. 87373, KAUM-I. 87374, KAUM-I.

87375, KAUM-I. 87376, KAUM-I. 87377, KAUM-I. 87378, KAUM-I. 97204, KAUM-I. 97205, KAUM-I. 97206, KAUM-I. 97207, KAUM-I. 97365, KAUM-I. 97391, KAUM-I. 97392, KAUM-I. 97393 (fig. 9F), KAUM-I. 97394, KAUM-I. 97395, 萩市見島沖.

***Psenes arafurensis* Günther, 1889**

クラゲウオ

文献 藤原ほか (2018) : KAUM-I. 87381, KAUM-I. 95623 (figs. 9G, 12A), KAUM-I. 95624 (fig. 12B), KAUM-I. 95625, KAUM-I. 97366, KAUM-I. 97367, KPM-NR 198206, 萩市見島沖.

***Psenes cyanophrys* Valenciennes, 1833**

スジハナビラウオ

文献 藤原ほか (2018) : KAUM-I. 87347, KAUM-I. 95649 (fig. 9H), 萩市見島沖.

***Psenes pellucidus* Lütken, 1880**

ハナビラウオ

標本 HH-Pi 250, 体長 383.0 mm, 萩市三見沖, 2004 年 1 月 23 日; HH-Pi 430, 阿武郡阿武町奈古沖, 2007 年 5 月 29 日; HH-Pi 514, 萩市椿東越ヶ浜沖, 水深 15 m, 2014 年 3 月 22 日; HH-Pi 555, 萩市椿東越ヶ浜沖, 2015 年 1 月.

画像 KPM-NR 198449, 長門市三隅下野波瀬沖, 2007 年 3 月 14 日; KPM-NR 198450, 深川湾, 2009 年 1 月 20 日; KPM-NR 198451, 深川湾, 2010 年 2 月 14 日.

Ariommatidae オオメダイ科

***Ariomma indicum* (Day, 1871)**

マルイボダイ

画像 KPM-NR 198570, 長門市沖, 2010 年 7 月 6 日.

Polynemidae ツバメコノシロ科

***Eleutheronema rhadinum* (Jordan and Evermann, 1902)**

ミナミコノシロ

標本 HH-Pi 194, 体長 490 mm, 萩市沖, 乾燥標本.

***Polydactylus plebeius* (Broussonet, 1782)**

ツバメコノシロ

標本 HH-Pi 60, 体長 224.4 mm, 萩市沖.

Labridae ベラ科

***Bodianus oxycephalus* (Bleeker, 1862)**

キツネダイ

標本 HH-Pi 350, 体長 229.4 mm, 2009 年 3 月 22 日.

***Choerodon azurio* (Jordan and Snyder, 1901)**

イラ

標本 KAUM-I. 76215, 体長 243.5 mm, 長門市仙崎沖, 2015 年 5 月 19 日.

文献 藤原ほか (2018) : KAUM-I. 49544, 下関市沖; 藤原ほか (2018) : KAUM-I. 97350 (fig. 9I), 萩市見島沖; 藤原ほか (2018) : KAUM-I. 97420, 下関市蓋井島と六連島の間.

***Cirrhilabrus temminckii* Bleeker, 1853**

イトヒキベラ

標本 HH-Pi 453, 2 個体, 体長 44.5–49.3 mm, 萩市須佐沖, 2010 年 10 月 1 日; HH-Pi 480, 3 個体, 体長 37.3–43.8 mm, 萩市須佐長磯沖, 水深 10–15 m, 2012 年 10 月 26 日.

***Halichoeres tenuispinis* (Günther, 1862)**

ホンベラ

標本 HH-Pi 56, 体長 100.7 mm, 萩市山田倉江沖, 1953 年 5 月 11 日; HH-Pi 943, 体長 17.3 mm, 萩市沖, 水深 1 m, 2018 年 7 月 20 日.

画像 KPM-NR 33094, 萩市椿東沖, 水深 5 m; KPM-NR 198905, 体長 17.3 mm, 萩市沖, 水深 1 m, 2018 年 7 月 20 日.

***Iniistius dea* (Temminck and Schlegel, 1845)**

テンス

標本 HH-Pi 58, 体長 193.2 mm, 萩市沖, HH-Pi 270, 体長 178.6 mm, 下関市蓋井島沖, 2004 年 11 月 4 日; HH-Pi 349, 2 個体, 体長 197.2–215.6 mm, 萩市三見飯井沖, 2007 年 6 月 30 日.

画像 KPM-NR 198391, 長門市仙崎沖, 2004 年 9 月 28 日.

***Iniistius pavo* (Valenciennes, 1840)**

ホシテンス

画像 KPM-NR 205036, 長門市仙崎青海島, 2018 年 11 月 21 日.

***Labroides dimidiatus* (Valenciennes, 1839)**

ホンソメワケベラ

標本 HH-Pi 272, 体長 57.5 mm, 萩市須佐長磯沖, 水深 15 m, 2009 年 8 月 19 日; HH-Pi 309, 体長 54.4 mm, 萩市須佐長磯沖, 2011 年 10 月 27 日; HH-Pi 427, 体長 48.3 mm, 萩市須佐沖, 2010 年 11 月 8 日; HH-Pi 468, 体長 51.8 mm, 萩市須佐長磯沖, 水深 10 m, 2012 年 10 月 26 日.

***Oxycheilinus bimaculatus* (Valenciennes, 1840)**

タコベラ

画像 KPM-NR 205034, 長門市仙崎青海島, 2019 年 9 月 8 日.

***Parajulis poecileptera* (Temminck and Schlegel, 1845)**

キュウセン

標本 HH-Pi 797, 体長 158.0 mm, HH-Pi 798, 体長 164.7 mm, 下関市彦島迫町西山沖, 2017 年 9 月 2 日.

画像 KPM-NR 198184, 長門市沖, 1997 年 8 月 20 日; KPM-NR 198185, KPM-NR 198186, 長門市仙崎大泊沖, 2011 年 8 月 1 日; KPM-NR 198675, 体長 158.0 mm, KPM-NR 198677, 体長 164.7 mm, 下関市彦島迫町西山沖, 2017 年 9 月 2 日.

***Pseudolabrus eoethinus* (Richardson, 1846)**

アカササノハベラ

標本 HH-Pi 778, 体長 139.0 mm, 下関市豊浦町室津下沖, 2017 年 3 月 29 日.

画像 KPM-NR 198656, 下関市豊浦町室津下沖, 2017 年 3 月 29 日.

文献 藤原ほか (2018) : KAUM-I. 97248 (fig. 9J), 下関市蓋井島と六連島の間.

***Pseudolabrus sieboldii* Mabuchi and Nakabo, 1997**

ホシササノハベラ

標本 FAKU 132760, FAKU 132762, 萩市見島八里ヶ瀬北沖, 水深 67 m, 2010 年 8 月 25 日; HH-Pi 57, 体長 142.7 mm, 萩市山田倉江沖, 1953 年 5 月 18 日; HH-Pi 607, 体長 111.4 mm, 阿武郡阿武町宇田沖, 2016 年 10 月 22 日; HH-Pi 910, 体長 149.6 mm, 下関市蓋井島沖, 2018 年 6 月 19 日.

画像 KPM-NR 198520, 萩市見島八里ヶ瀬北沖, 水深 67 m, 2010 年 8 月 25 日; KPM-NR 198794, 体長 149.6 mm, 下関市蓋井島沖, 2018 年 6 月 19 日.

文献 藤原ほか (2018) : KAUM-I. 97218, KAUM-I. 97421 (fig. 9K), KAUM-I. 97422, 下関市蓋井島と六連島の間.

***Pteragogus aurigarius* (Richardson, 1845)**

オハグロベラ

標本 HH-Pi 319, 体長 94.0 mm, 萩市羽島沖, 2009 年 3 月 8 日; HH-Pi 604, 体長 97.9 mm, 萩市須佐長磯沖, 2014 年 7 月 31 日; HH-Pi 672, 体長 103.1 mm, 萩市須佐長磯沖, 2016 年 11 月 22 日; HH-Pi 909, 体長 122.5 mm, 下関市蓋井島沖, 2018 年 6 月 19 日; HH-Pi 1253, 体長 119.5 mm, 下関市豊北町神田上土井ヶ浜沖, 1997 年 9 月 11 日.

画像 KPM-NR 33082, 萩市椿東沖, 水深 5 m; KPM-NR 198131, 長門市仙崎大泊沖, 2011 年 8 月 1 日; KPM-NR 198793, 体長 122.5 mm, 下関市蓋井島沖, 2018 年 6 月 19 日.

***Semicossyphus reticulatus* (Valenciennes, 1839)**

コブダイ

標本 HH-Pi 564, 体長 77.1 mm, 萩市須佐沖, 2014 年 10 月.

画像 KPM-NR 198255, 下関市豊北町阿川大浦沖, 2007 年 3 月 15 日; KPM-NR 198256, 長門市沖, 2012 年 5 月 25 日; KPM-NR 198257 萩市見島沖, 2014 年 4 月 14 日.

文献 藤原ほか (2018) : KAUM-I. 97351 (fig. 9L), 萩市見島沖.

***Stethojulis interrupta terina* Jordan and Snyder, 1902**

カミナリベラ

標本 HH-Pi 428, 体長 33.9 mm, 萩市須佐沖, 2010 年 11 月 8 日; HH-Pi 449, 体長 91.1 mm, 萩市須佐沖 10 m, 2011 年 12 月 13 日; HH-Pi 660, 3 個体, 体長 40.3–50.5 mm, 萩市須佐長磯沖, 2016 年 11 月 22 日.

***Suezichthys gracilis* (Steindachner and Döderlein, 1887)**

イトベラ

標本 FAKU 138879, 長門市仙崎青海島沖, 水深 84 m, 2015 年 7 月 30 日; HH-Pi 558, 体長 65.3 mm, 萩市須佐沖, 2014 年 11 月日; HH-Pi 609, 体長 95.0 mm, 萩市須佐長磯沖, 2016 年 11 月 22 日; HH-Pi 665, 体長 104.8 mm, 阿武郡阿武町宇田沖, 2016 年 10 月 22 日.

画像 KPM-NR 198084, 長門市仙崎青海島沖, 水深 84 m, 2015 年 7 月 30 日.

文献 藤原ほか (2018) : KAUM-I. 97216 (fig. 9M), 下関市蓋井島と六連島の間.

***Thalassoma lunare* (Linnaeus, 1758)**

オトメベラ

標本 HH-Pi 482, 体長 54.4 mm, 萩市須佐長磯沖, 水深 10 m, 2012 年 10 月 26 日.

画像 KPM-NR 205014, 長門市仙崎青海島, 2017 年 10 月 27 日.

Scaridae ブダイ科***Calotomus japonicus* (Valenciennes, 1840)**

ブダイ

標本 KAUM-I. 76208, 体長 242.0 mm, 長門市通沖, 2015 年 5 月 28 日.

画像 KPM-NR 198500, 下関市安岡本町沖, 2013 年 12 月 9 日; KPM-NR 198501, 長門市油谷川尻沖, 2014 年 10 月 21 日.

***Scarus ovifrons* Temminck and Schlegel, 1846**

アオブダイ

標本 HH-Pi 361, 体長 76.3 mm, 萩市須佐沖, 2011 年 11 月 1 日; HH-Pi 528, 体長 113.0 mm, 萩市須佐沖, 2012 年 10 月.

画像 KPM-NR 205001, 長門市仙崎青海島, 2017 年 10 月 27 日.

Scaridae, undetermined genus and species

ブダイ科の未同定種

画像 KPM-NR 198939, 下関市豊浦町室津下沖, 2006 年 10 月 31 日.

Hexagrammidae アイナメ科***Hexagrammos agrammus* (Temminck and Schlegel, 1843)**

クジメ

標本 FAKU 133080, 長門市仙崎大泊沖, 2011 年 7 月 21 日; HH-Pi 23, 体長 129.3 mm, 萩市山田倉江沖, 1953 年 5 月 18 日; HH-Pi 911, 体長 139.6 mm, 下関市蓋井島沖, 2018 年 6 月 19 日; HH-Pi 1428, 体長 29.0 mm, 下関市豊北町神田上土井ヶ浜沖, 2000 年 2 月 10 日; HH-Pi 1429, 4 個体, 体長 31.5–35.5 mm, 下関市豊北町神田上土井ヶ浜沖, 2000 年 2 月 10 日; HH-Pi 1430, 体長 31.0 mm, 下関市豊北町神田上土井ヶ浜沖, 2000 年 2 月 10 日; HH-Pi 2542, 体長 30.2 mm, 下関市豊北町神田上土井ヶ浜沖, 1998 年 2 月 6 日; HMNH-P 15946, 体長 40.1 mm, 萩市下田万沖, 2019 年 5 月 4 日.

画像 KPM-NR 198202, 長門市仙崎大泊沖, 2011 年 7 月 21 日; KPM-NR 198203, 長門市沖, 2012 年 6 月 1 日; KPM-NR 198796, 体長 139.6 mm, 下関市蓋井島沖, 2018 年 6 月 19 日.

***Hexagrammos otakii* Jordan and Starks, 1895**

アイナメ

標本 FAKU 133079, 長門市仙崎大泊沖, 2011 年 7 月 21 日.

画像 KPM-NR 198005, 長門市仙崎大泊沖, 2011 年 7 月 21 日.

文献 藤原ほか (2018) : KAUM-I. 76211 (fig. 6L), 下関市豊北町角島沖.

***Pleurogrammus azonus* Jordan and Metz, 1913**

ホッケ

画像 KPM-NR 198868, 萩市見島沖, 水深 285 m, 2009 年 8 月 23 日.

Trichodontidae ハタハタ科***Arctoscopus japonicus* (Steindachner, 1881)**

ハタハタ

標本 HH-Pi 291, 体長 211.0 mm, 下関市豊浦町室津下沖, 2005 年 1 月 18 日.

画像 KPM-NR 198973, 体長 114.0 mm, 山口県沖, 2010 年.

Hemitripteridae ケムシカジカ科***Hemitripterus villosus* (Pallas, 1814)**

ケムシカジカ

標本 FAKU 138120, 体長 183.0 mm, FAKU 138121, 体長 205.0 mm, 山口県沖, 水深 149 m, 2015 年 6 月 15 日; FAKU 139030, 体長 215.0 mm, 山口県沖, 水深 250 m, 2011 年 9 月 26 日.

画像 KPM-NR 198230, 山口県沖, 水深 149 m, 2015 年 6 月 15 日; KPM-NR 198881, 長門市三隅下野波瀬沖, 2016 年 12 月 5 日; KPM-NR 198957, 山口県沖, 水深 220 m, 2010 年 11 月 19 日; KPM-NR 198975, 山口県沖, 水深 191 m, 2010 年 9 月 15 日.

Cottidae カジカ科***Alcichthys elongatus* (Steindachner, 1881)**

ニジカジカ

標本 SNFR 12620, 体長 186.7 mm, 山口県沖, 水深 143 m, 1990 年 7 月 9 日.

***Artediellus dydymovi* Soldatov, 1915**

コブオキカジカ

標本 HH-Pi 676, 体長 77.3 mm, 萩市見島北西沖, 2013 年 1 月 8 日.

画像 KPM-NR 198254, 萩市見島北西沖, 2013 年 10 月 8 日.

***Artediellus fuscimentus* Nelson, 1986**

ノドグロオキカジカ

標本 SNFR 15475, 6 個体, 体長 61.2–67.5 mm, 山口県沖, 水深 180 m, 1999 年 7 月 14 日.

***Atopocottus tribbranchius* Bolin, 1936**

カワリアナハゼ

文献 Matsunuma et al. (2017) : FAKU 82636, 山口県沖; Matsunuma et al. (2017) : SNFR 17688, 山口県沖.

***Cottiusculus nihonkaiensis* Kai and Nakabo, 2009**

ニホンキンカジカ

標本 FAKU 138122, FAKU 138123, FAKU 138152, 体長 71.3 mm, FAKU 138153, 体長 57.9 mm, 山口県沖, 水深 149 m, 2015 年 6 月 15 日.

画像 KPM-NR 198430A, B, 山口県沖, 水深 149 m, 2015 年 6 月 15 日.

文献 Kai and Nakabo (2009) : FAKU 57553, FAKU 57557, FAKU 58080, FAKU 58083, 山口県沖; 河野ほか (2020) : FAKU 138152 (fig. 1-6), 山口県沖.

***Furcina ishikawae* Jordan and Starks, 1904**

サラサカジカ

標本 NSMT-P 18873, 2 個体, 体長 54.4–62.2 mm, 下関市安岡本町沖, 1978 年 10 月 14 日.

***Furcina osimae* Jordan and Starks, 1904**

キヌカジカ

標本 HH-Pi 947, 体長 62.1 mm, HH-Pi 948, 体長 51.5 mm, HH-Pi 949, 体長 37.3 mm, HH-Pi 950, 体長 50.7 mm, 萩市沖, 水深 1 m, 2018 年 7 月 20 日; HH-Pi 995, 体長 14.2 mm, 下関市豊北町神田上土井ヶ浜沖, 2000 年 4 月 21 日; HH-Pi 1285, 体長 33.7 mm, 下関市豊北町神田上井ヶ浜沖, 1997 年 3 月 17 日; HH-Pi 2623, 体長 30.8 mm, 萩市下田万沖, 2019 年 5 月 4 日; HMNH-P

15940, 体長 39.9 mm, HMNH-P 15941, 体長 29.4 mm, HMNH-P 15942, 体長 29.0 mm, HMNH-P 15943, 体長 24.6 mm, 萩市下田万沖, 2019年5月4日; OMNH-P 45878, 体長 63.5 mm, OMNH-P 45879, 体長 65.5 mm, OMNH-P 45880, 体長 62.5 mm, OMNH-P 45881, 体長 62.3 mm, OMNH-P 45882, 体長 63.2 mm, OMNH-P 45883, 体長 49.7 mm, OMNH-P 45884, 体長 46.4 mm, OMNH-P 45885, 体長 52.9 mm, 萩市山田沖, 2015年8月4日.

画像 KPM-NR 198810, 下関市彦島沖, 2008年10月23日; KPM-NR 198909, KPM-NR 198910, KPM-NR 198911, KPM-NR 198912, 萩市沖, 水深 1 m, 2018年7月20日; KPM-NR 198928, 下関市豊浦町室津下沖, 2006年2月19日.

Hemilepidotus gilberti Jordan and Starks, 1904

ヨコスジカジカ

標本 FAKU 135735, 体長 160.0 mm, 山口県沖, 2012年11月9日; FAKU 135745, 体長 195.0 mm, 山口県沖, 2010年10月14日; FAKU 135746, 体長 180.0 mm, 山口県沖, 2010年5月21日.

画像 KPM-NR 198968, 体長 189.5 mm, 山口県沖, 水深 305 m, 2010年5月21日; KPM-NR 198974, 山口県沖, 水深 197 m, 2010年10月14日.

Icelus ochotensis Schmidt, 1927

コブコオリカジカ

標本 SNFR 15115, 体長 172.7 mm, 山口県沖, 水深 250 m, 1997年7月15日.

Icelus stenosomus Andriashev, 1937

ヤセコオリカジカ

標本 SNFR 12784, 体長 99.0 mm, 山口県沖, 水深 131 m, 1984年6月22日; SNFR 15054, 体長 111.4 mm, 山口県沖, 水深 145 m, 1990年7月9日; SNFR 15316, 体長 138.0 mm, 山口県沖, 水深 200 m, 1998年7月16日.

Pseudoblennius cottooides (Richardson, 1848)

アサヒアナハゼ

標本 HH-Pi 965, 体長 84.0 mm, 下関市彦島迫町西山ビーチ, 2018年8月4日.

画像 KPM-NR 198222, 体長 84.0 mm, 下関市彦島迫町西山ビーチ, 2008年8月4日.

Pseudoblennius percoides Günther, 1861

アナハゼ

標本 HH-Pi 22, 体長 83.6 mm, 萩市山田倉江沖, 1953年5月18日; HH-Pi 915, 体長 132.4 mm, 下関市蓋井島沖, 2018年6月19日; HH-Pi 931, 体長 110.0 mm, 下関市彦島迫町西山沖, 2018年7月14日.

画像 KPM-NR 198799, 体長 132.4 mm, 下関市蓋井島沖, 2018年6月19日; KPM-NR 198838, 体長 110.0 mm, 下関市彦島迫町西山沖, 2018年7月14日.

文献 藤原ほか (2018) : KAUM-I. 95647 (fig. 6M), 萩市見島沖.

Pseudoblennius zonostigma Jordan and Starks, 1904

オビアナハゼ

画像 KPM-NR 33080, 萩市椿東沖, 水深 5 m.

Pseudoblennius sp.

キリンアナハゼ

標本 FAKU 133059, 長門市仙崎大泊沖, 2011年7月13日; HH-Pi 932, 体長138.5 mm, HH-Pi 933, 体長169.1 mm, 下関市彦島迫町西山沖, 2018年7月14日; HH-Pi 1290, 体長77.9 mm, 下関市豊北町神田上土井ヶ浜沖, 1996年6月27日.

画像 KPM-NR 198839, 体長138.5 mm, KPM-NR 198840, 体長169.1 mm, 下関市彦島迫町西山沖, 2018年7月14日; KPM-NR 198188, 長門市仙崎大泊沖, 2011年7月13日.

Stlengis misakia (Jordan and Starks, 1904)

ウロコカジカ (Fig. 5F)

標本 SNFR 19691, 体長53.0 mm, 山口県沖, 水深82–85 m, 2012年6月12日.

備考 SNFR 19691は、頭の背面と側面、下顎に多数の粘液孔がある、眼上部、後頭部に骨質隆起がない、眼は大きく吻長より長い、体側に側線に沿って縦列する大きな骨板状鱗が1列あり、他の部分は無鱗、前鰓蓋骨後縁に4本の棘があり、最上棘は長く、主鰓蓋骨後縁に達し、背縁に5本の鉤状突起があるなどの特徴が、Jordan and Starks(1904a)の *Schmidtia misakia*, 山川(1982), 矢部(1988), 中坊・甲斐(2013f)および池田・中坊(2015)の *Stlengis misakia* と形態の記載がよく一致したため、本種に同定した。

日本沿岸海域からは、福島県から高知県の記録があるが(山川, 1982; 矢部, 1988; 中坊・甲斐, 2013f; 池田・中坊, 2015), 日本海からは報告がない。したがって、本報告は証拠標本を伴う日本海初の記録である。

Vellitor centropomus (Richardson, 1848)

スイ

標本 HH-Pi 975, 体長69.6 mm, HH-Pi 976, 体長51.4 mm, HH-Pi 977, 体長49.7 mm, 下関市豊北町神田肥中沖, 水深1 m, 2018年8月21日.

画像 KPM-NR 198976, 体長69.6 mm, KPM-NR 198977, 体長51.4 mm, KPM-NR 198978, 体長49.7 mm, 下関市豊北町神田肥中沖, 水深1 m, 2018年8月21日.

Psychrolutidae ウラナイカジカ科

Dasycottus setiger Bean, 1890

ガシコ

文献 Shinohara et al. (2011) : NSMT-P 96539, 萩市見島沖.

Malacocottus gibber Sakamoto, 1930

ヤマトコブシカジカ

標本 HH-Pi 341, 体長178.8 mm, HH-Pi 342, 体長184.0 mm, 萩市沖, 水深360 m, 2011年2月5日.

画像 KPM-NR 198969, 山口県沖, 2009年3月3日.

Malacocottus zonurus Bean, 1890

コブシカジカ

標本 SNFR 15474, 体長77.4 mm, 山口県沖, 水深180 m, 1999年7月14日.

Psychrolutes paradoxus Günther, 1861

ウラナイカジカ

標本 SNFR 13338, 体長45.2 mm, 山口県沖, 水深163 m, 1991年7月6日.

Agonidae トクビレ科***Leptagonus frenatus* (Gilbert, 1896)**

ヤセテングトクビレ

標本 SNFR 11914, 体長 122.3 mm, 山口県沖, 水深 160 m, 1991 年 7 月 17 日; SNFR 12792, 体長 128.8 mm, 山口県沖, 水深 171 m, 1990 年 7 月 19 日.

***Sarritor leptorhynchus* (Gilbert, 1896)**

テングトクビレ

標本 SNFR 11498, 体長 113.1 mm, 山口県沖, 水深 180 m, 1996 年 7 月 13 日.

備考 本種の学名は Sheiko and Mecklenburg (2004) に従った.

Cyclopteridae ダンゴウオ科***Aptocyclus ventricosus* (Pallas, 1769)**

ホティウオ

文献 河野ほか (2020) : HH-Pi 590, 山口県沖.

***Eumicrotremus asperrimus* (Tanaka, 1912)**

コンペイトウ

標本 HH-Pi 591, 体長 97.4 mm, 山口県沖, 水深 265 m; HH-Pi 593, 体長 122.0 mm, 山口県沖, 水深 263 m, 2014 年 6 月 18 日.

画像 KPM-NR 198962, 体長 114.0 mm, 山口県沖, 水深 189 m, 2010 年 9 月 15 日.

文献 河野ほか (2020) : HH-Pi 595, 山口県沖.

***Eumicrotremus lindbergi* (Soldatov, 1930)**

ナメフウセンウオ

標本 HH-Pi 597, 体長 60.4 mm, 山口県沖, 水深 296 m, 2014 年 6 月 5 日.

画像 KPM-NR 198964, 山口県沖, 水深 196 m, 2010 年 8 月 22 日.

備考 本種の学名は Stevenson et al. (2017) に従った.

***Eumicrotremus pacificus* Schmidt, 1904**

フウセンウオ

標本 FAKU 145430, 体長 34.8 mm, 山口県沖, FAKU 145431, 体長 60.1 mm, 山口県沖, FAKU 145432, 体長 59.7 mm, 山口県沖, FAKU 145433, 体長 61.1 mm, 山口県沖, 2017 年 6 月 19 日.

画像 KPM-NR 198483A, B, C, 山口県沖, 水深 183 m, 2017 年 6 月 19 日.

***Eumicrotremus uenoi* Kai, Ikeguchi and Nakabo, 2017**

サクラダンゴウオ

標本 HH-Pi 918, 体長 12.2 mm, 下関市蓋井島北沖, 水深 75 m, 2018 年 7 月 14 日.

画像 KPM-NR 88280A, B, 長門市仙崎沖, 水深 13 m, KPM-NR 198825A, B, C, 体長 12.2 mm, 下関市蓋井島北沖, 水深 75 m, 2018 年 7 月 14; KPM-NR 203285, 長門市仙崎青海島沖, 水深 75 m, 2016 年 4 月 18 日.

備考 本種の同定と標準和名は Lee et al. (2017) に従った.

Liparidae クサウオ科***Careproctus rastrinus* species complex**

サケビクニン複合種群（ザラビクニン）

標本 FAKU 135736, 体長 235.0 mm, FAKU 135748, 体長 220.0 mm, FAKU 135749, 体長 195.0 mm, 山口県沖, HH-Pi 377, 2 個体, 山口県沖, 2011 年; HH-Pi 416, 1 個体, 体長 227.4 mm, 萩市沖, 水深 360 m, 2011 年 2 月 5 日.

画像 KPM-NR 198967, 体長 111.7 mm, 山口県沖, 水深 265 m, 2010 年 6 月 4 日; KPM-NR 198955, 山口県沖, 2009 年 3 月 3 日; KPM-NR 198966, 山口県沖, 水深 311 m, 2010 年 6 月 12 日.

***Crystallias matsushimaae* Jordan and Snyder, 1902**

アバチヤン

標本 FAKU 145363, 山口県沖, 水深 183 m, 2017 年 6 月 19 日, FAKU 145499, 体長 89.9 mm, 山口県沖, 水深 160 m, 2017 年 7 月 19 日.

画像 KPM-NR 198049, 山口県沖, 水深 183 m, 2017 年 6 月 19 日.

備考 本種の学名は Shinohara et al. (2014) に従った.

***Liparis ochotensis* Schmidt, 1904**

イサゴビクニン

標本 FAKU 145364, 体長 123.5 mm, 山口県沖, 2017 年 6 月 19 日.

画像 KPM-NR 198961, 山口県沖, 水深 206 m, 2010 年 9 月 27 日.

***Liparis punctulatus* (Tanaka, 1916)**

スナビクニン

画像 KPM-NR 205030, 長門市仙崎青海島, 2013 年 4 月 29 日.

***Liparis tanakae* (Gilbeat and Burke, 1912)**

クサウオ

標本 HH-Pi 175, 萩市大島沖; HH-Pi 530, 長門市仙崎沖, 2013 年 12 月 2 日; HH-Pi 2603, 体長 340 mm, 長門市通沖, 2019 年 1 月 8 日; SNFR 12831, 体長 198.4 mm, 山口県沖, 水深 132 m, 1995 年 7 月 2 日.

画像 KPM-NR 198972, 山口県沖, 2009 年 3 月 3 日.

***Liparis tessellatus* (Gilbeat and Burke, 1912)**

ビクニン

標本 FAKU 138114, 体長 162.0 mm, FAKU 138117, 体長 169.2 mm; FAKU 138118, 体長 144.6 mm, 山口県沖, 水深 149 m, 2015 年 6 月 15 日; FAKU 139088, 体長 108.1 mm; FAKU 139089, 体長 122.6 mm, 山口県沖, 水深 133 m, 2015 年 7 月 29 日; FAKU 135503, 体長 117.0 mm, 山口県沖, 2017 年 6 月 19 日; FAKU 135741, 体長 104.0 mm, 山口県沖, 2010 年 8 月 25 日; FAKU 135742, 体長 99.9 mm, 山口県沖, 2010 年 10 月 4 日.

画像 KPM-NR 198459, 山口県沖, 水深 149 m, 2015 年 6 月 15 日; KPM-NR 198460, 山口県沖, 水深 153 m, 2016 年 10 月 17 日; KPM-NR 198959, 山口県沖, 水深 186 m, 2010 年 10 月 4 日; KPM-NR 198963, 山口県沖, 水深 185 m, 2010 年 8 月 25 日.

***Liparis* sp.**

クサウオ属未同定種

画像 KPM-NR 150263A, B, 長門市仙崎青海島沖, 水深 5 m.

Zoarcidae ゲンゲ科***Bothrocara hollandi* (Jordan and Hubbs, 1925)**

ノロゲンゲ

標本 SNFR 15462, 2 個体, 体長 309–327 mm, 山口県沖, 水深 509 m, 1997 年 7 月 16 日.

***Davidijordania poecilimon* (Jordan and Fowler, 1902)**

サラサガジ

標本 SNFR 15508, 体長 115.3 mm, 山口県沖, 水深 158 m, 2001 年 6 月 30 日.

画像 KPM-NR 66360, 長門市仙崎青海島沖, 水深 4 m; KPM-NR 198292, 山口県沖, 水深 140 m, 2015 年 6 月 15 日.

文献 河野ほか (2020) : FAKU 138154 (fig. 1-5), 山口県沖.

***Lycodes brunneofasciatus* Suvorov, 1935**

ハラスジゲンゲ

画像 KPM-NR 198390, 山口県沖, 水深 183 m, 2017 年 6 月 19 日.

***Lycodes japonicus* Matsubara and Iwai, 1951**

アシナガゲンゲ

標本 SNFR 15463, 体長 132.7 mm, 山口県沖, 水深 509 m, 1997 年 7 月 16 日.

***Lycodes matsubarai* Toyoshima, 1985**

マツバラゲンゲ

標本 SNFR 16017, 体長 303 mm, 山口県沖, 水深 354 m, 1995 年 5 月 26 日.

***Lycodes nakamurae* (Tanaka, 1914)**

クロゲンゲ

標本 SNFR 15459, 5 個体, 体長 240–308 mm, 山口県沖, 水深 509 m, 1997 年 7 月 16 日.

***Lycodes tanakae* Jordan and Thompson, 1914**

タナカゲンゲ

標本 FAKU 145365, 体長 86.6 mm, 山口県沖, 2017 年 6 月 19 日.

画像 KPM-NR 198965, 山口県沖, 水深 248 m, 2010 年 6 月 29 日; KPM-NR 198970, KPM-NR 198971, 山口県沖, 2009 年 3 月 3 日.

文献 Shinohara et al. (2011) : NSMT-P 96573, 山口県沖.

***Lycozoarces regani* Popov, 1933**

セダカゲンゲ

標本 HH-Pi 525, 体長 40.8 mm, 萩市須佐沖, 2014 年 9 月 30 日.

***Petroschmidtia teraoi* (Katayama, 1943)**

ヒナゲンゲ

標本 SNFR 15481, 体長 119.7 mm, 山口県沖, 水深 247 m, 1999 年 7 月 13 日.

***Petroschmidtia toyamensis* Katayama, 1941**

アゴゲンゲ

標本 SNFR 15460, 体長 297.0 mm, 山口県沖, 水深 509 m, 1997 年 7 月 16 日.

備考 本種の学名は Shinohara et al. (2014) に従った。

***Zoarces gilli* Jordan and Starks, 1905**

コウライガジ

標本 FAKU 134658, 体長 294.0 mm, FAKU 134663, 体長 291 mm, FAKU 134664, 体長 289.0 mm, 山口県沖, 2011 年 12 月 23 日。

画像 KPM-NR 198237, 長崎県対馬北東沖, 2011 年 12 月 23 日; KPM-NR 198236, 長崎県対馬東沖, 2006 年 5 月 17 日。

Zoarcidae, undetermined genus and species

ゲンゲ科の未同定種

画像 KPM-NR 154729, 長門市仙崎青海島沖, 水深 5 m.

Stichaeidae タウエガジ科

***Dictyosoma rubrimaculatum* Yatsu, Yasuda and Taki, 1978**

ベニツケギンボ[♂]

標本 HH-Pi 969, 体長 81.0 mm, 下関市豊浦町室津下沖, 2018 年 8 月 5 日; HMNH-P 15947, 体長 78.7 mm, HMNH-P 15948, 体長 83.8 mm, 萩市下田万沖, 2019 年 5 月 4 日。

画像 KPM-NR 33086, 萩市椿東沖, 水深 5 m; KPM-NR 198945, 下関市豊浦町室津下沖, 2018 年 8 月 5 日。

***Dictyosoma temminckii* Burger, 1853**

ダイナンギンボ[♂]

標本 HH-Pi 839, 体長 248.0 mm, 下関市彦島迫町西山沖, 2017 年 7 月 10 日; HMNH-P 15949, 体長 105.8 mm, HMNH-P 15950, 体長 76.2 mm, 萩市下田万沖, 2019 年 5 月 4 日; OMNH-P 45836, 体長 108 mm, OMNH-P 45837, 体長 58.4 mm, 長門市三隅下野波瀬漁港, 2014 年 11 月 10 日。

画像 KPM-NR 198718, 下関市彦島迫町西山沖, 2017 年 7 月 10 日。

文献 藤原ほか (2018) : KAUM-I. 97226 (fig. 9N), 下関市永田本町沖。

備考 本種の学名は Parin et al. (2014) に従った。

***Ernogrammus hexagrammus* (Temminck and Schlegel, 1845)**

ムスジガジ

標本 NSMT-P 18875, 体長 73.1 mm, 下関市安岡本町沖, 1978 年 10 月 14 日。

***Zoarchias major* Tomiyama, 1972**

オオカズナギ

標本 HH-Pi 2613, 体長 80.0 mm, 下関市彦島迫町西山ビーチ, 2019 年 5 月 16 日; HMNH-P 15951, 体長 62.7 mm, HMNH-P 15952, 体長 73.3 mm, HMNH-P 15956, 体長 65.8 mm, HMNH-P 15957, 体長 63.0 mm, 萩市下田万沖, 2019 年 5 月 4 日。

画像 KPM-NR 203238, 体長 80.0 mm, 下関市彦島迫町西山ビーチ, 2019 年 5 月 16 日; KPM-NR 205010, KPM-NR 205011, 長門市仙崎青海島, 2018 年 6 月 28 日。

***Zoarchias* sp. 1**

カズナギ属の未同定種①

標本 HMNH-P 15953, 体長 55.6 mm, HMNH-P 15954, 体長 62.3 mm, 萩市下田万沖, 2019 年 5 月 4 日。

***Zoarchias* sp. 2**

カズナギ属の未同定種②

標本 HMNH-P 15955, 体長 57.8 mm, 萩市下田万沖, 2019 年 5 月 4 日.

Pholididae ニシキギンポ科***Pholis crassispina* (Temminck and Schlegel, 1845)**

タケギンポ

標本 SNFR 21225, 体長 69.0 mm, 山口県沖, 水深 101 m, 2012 年 6 月 13 日.

***Pholis nebulosa* (Temminck and Schlegel, 1845)**ギンポ[♂]

文献 藤原ほか (2018) : KAUM-I. 97233 (fig. 9O), 下関市蓋井島と六連島の間.

Pinguipedidae トラギス科***Parapercis aurantiaca* Döderlein, 1884**

アカトラギス (Fig. 5G)

標本 SNFR 13228, 体長 87.7 mm, 山口県沖, 水深 112 m, 1994 年 7 月 2 日.

備考 SNFR 13228 は、上顎より下顎のほうが前方に突出する、背鰭棘数は 5、背鰭棘条部と軟条部の間に欠損はない、体側に暗色縦線はない、尾鰭基部に暗色斑はないなどの特徴が、Steindachner and Döderlein (1884), Cantwell (1964), 岡村 (1985, 1988b) および島田 (2013b) の *Parapercis aurantiaca* と形態および色彩の記載がよく一致したため、本種に同定した。

日本沿岸海域からは、千葉県から高知県の太平洋沿岸、天草西方沖、男女群島南方沖、鹿児島県開聞および東シナ海からの記録があるが (清水・永田, 1982; 岡村, 1985, 1988b; Shinohara et al., 2001, 2005; 吉郷ほか, 2001; 島田, 2013b; 池田・中坊, 2015), 日本海からは報告がない。したがって、本報告は証拠標本を伴う日本海初の記録である。

***Parapercis multifasciata* Döderlein, 1884**

オキトラギス

標本 HH-Pi 901, 体長 82.5 mm, 下関市蓋井島沖, 2018 年 6 月 19 日.

画像 KPM-NR 198785, 体長 82.5 mm, 下関市蓋井島沖, 2018 年 6 月 19 日.

***Parapercis ommatura* Jordan and Snyder, 1902**

マトウトラギス

画像 KPM-NR 205048, 長門市仙崎紫津浦湾, 2018 年 12 月 15 日.

***Parapercis pulchella* (Temminck and Schlegel, 1843)**

トラギス

標本 FAKU 133068, 長門市油谷湾, 2011 年 7 月 29 日; HH-Pi 2653, 体長 142.6 mm, 長門市日置上黄波戸沖, 2019 年 7 月 9 日.

画像 KPM-NR 198402, 長門市油谷湾, 2011 年 7 月 29 日; KPM-NR 203282, 体長 142.6 mm, 長門市日置上黄波戸沖, 2019 年 7 月 9 日.

***Parapercis sexfasciata* (Temminck and Schlegel, 1843)**

クラカケトラギス

標本 HH-Pi 902, 体長 110.4 mm, 下関市蓋井島沖, 2018 年 6 月 19 日; HH-Pi 2621, 体長 153.4 mm, 下関市伊崎沖, 2019 年 6 月 2 日.

画像 KPM-NR 198205, 長門市油谷津黄沖, 2012年5月22日; KPM-NR 198786, 体長110.4 mm, 下関市蓋井島沖, 2018年6月19日; KPM-NR 198929, 下関市豊浦町室津下沖, 2006年7月22日; KPM-NR 203246, 体長153.4 mm, 下関市伊崎沖, 2019年6月2日.

文献 藤原ほか(2018): KAUM-I. 49547, 下関市沖; 藤原ほか(2018): KAUM-I. 97234 (fig. 9P), KAUM-I. 97235, KAUM-I. 97249, 下関市蓋井島と六連島の間.

***Parapercis snyderi* Jordan and Snyder, 1905**

コウライトラギス

画像 KPM-NR 198930, 下関市豊浦町室津下沖, 2006年10月31日.

Percophidae ホカケトラギス科

***Bembrops caudimacula* Steindachner, 1876**

アイトラギス

画像 KPM-NR 198003, 長崎県対馬東沖, 2006年10月25日; KPM-NR 198004, 萩市見島西沖, 2012年10月25日.

***Bembrops curvatura* Okada and Suzuki, 1952**

ナミアイトラギス

標本 FAKU 134648, 体長102.6 mm, 山口県沖, 2011年11月28日.

***Pteropsaron evolans* Jordan and Snyder, 1902**

ホカケトラギス

標本 FAKU 145359, 体長39.9 mm, 山口県沖, 水深125 m, 2017年7月13日; SNFR 19674, 体長56.1 mm, SNFR 19449, 体長35.6 mm, SNFR 19450, 3個体, 体長32.6–36.4 mm, 下関市豊北町角島西沖, 水深103–100 m, 2012年6月12日.

Trichonotidae ベラギンポ科

***Trichonotus filamentosus* (Steindachner, 1867)**

クロエリギンポ[♂]

標本 FAKU 134717, 体長59.3 mm, 深川湾, 水深25 m, 2011年10月17日.

画像 KPM-NR 198220A, B, 深川湾, 水深25 m, 2011年10月17日; KPM-NR 205022, 長門市仙崎青海島, 2018年7月27日.

Champsodontidae ワニギス科

***Champsodon snyderi* Franz, 1910**

ワニギス

標本 FAKU 143598, 体長87.2 mm, FAKU 143599, 体長78.3 mm, FAKU 143600, 体長74.8 mm, FAKU 143601, 体長67.2 mm, FAKU 143602, 体長67.9 mm, FAKU 143603, 13個体, 体長54.9–82.4 mm, 山口県沖, 水深138 m, 2016年10月17日; HH-Pi 599, 3個体, 体長67.6–75.7 mm, 萩市沖, 2009年6月16日; HH-Pi 897, 体長90 mm, 萩市見島東沖, 水深60–82 m, 2017年4月12日; HH-Pi 984, 体長66.3 mm, 長門市日置上黄波戸沖, 2018年11月10日.

画像 KPM-NR 198648, 長門市沖, 水深90 m, 2011年10月7日; KPM-NR 198649, 長門市油谷津黄沖, 2012年5月23日; KPM-NR 198650A, B, 山口県沖, 水深138 m, 2016年10月17日; KPM-NR 198781, 萩市見島東沖, 水深60–82 m, 2017年4月12日; KPM-NR 152859, KPM-NR 152859, 長門市仙崎紫津浦湾, 水深1 m; KPM-NR 198997, 長門市日置上黄波戸沖, 2018年11月10日.

Ammodytidae イカナゴ科***Ammodytes japonicus* Duncker and Mohr, 1939**

イカナゴ

標本 HH-Pi 1205, 体長 88.3 mm, 下関市豊北町神田上土井ヶ浜沖, 1998 年 2 月 6 日.

備考 本種の学名は Orr et al. (2015) に従った.

Uranoscopidae ミシマオコゼ科***Ichthyscopus pollicaris* Vilasri, Ho, Kawai and Gomon, 2019**

サツオミシマ

標本 OMNH-P 25901, 体長 288.7 mm, 下関市安岡本町沖, 2004 年 7 月 17 日.

備考 本種の学名は Vilasri et al. (2019) に従った.

***Uranoscopus bicinctus* Temmick and Schlegel, 1843**

メガネウオ

標本 HH-Pi 964, 体長 250.0 mm, 下関市沖, 2018 年 7 月 17 日.

画像 KPM-NR 198033, KPM-NR 198804, 体長 250 mm, 下関市沖, 2018 年 7 月 17 日.

***Uranoscopus chinensis* Guichenot, 1882**

キビレミシマ

画像 KPM-NR 198803, 下関市沖, 2018 年 6 月 8 日.

文献 藤原ほか (2018) : KAUM-I. 97236 (fig. 9Q), 下関市蓋井島と六連島の間.

***Uranoscopus japonicus* Houttuyn, 1782**

ミシマオコゼ

標本 FAKU 134712, FAKU 134713, FAKU 134714, FAKU 134715, FAKU 134716, 長崎県対馬北東沖, 2012 年 2 月 1 日; HH-Pi 815, 下関市沖, 水深 30 m, 2018 年 3 月 12 日.

画像 KPM-NR 198580A, B, 長崎県対馬北東沖, 2012 年 2 月 1 日; KPM-NR 198581, 長門市沖, 1997 年 8 月 26 日; KPM-NR 198694, 下関市沖, 水深 30 m, 2018 年 3 月 12 日.

***Xenocephalus elongatus* (Temminck and Schlegel, 1843)**

アオミシマ

画像 KPM-NR 198013, 長崎県対馬東沖, 2006 年 10 月 2 日. KPM-NR 198014A, B, 長門市油谷向津具下川尻岬北西沖, 2016 年 11 月 18 日.

Tripterygiidae ヘビギンポ科***Enneapterygius ethostoma* (Jordan and Snyder, 1902)**

ヘビギンポ

標本 HH-Pi 946, 体長 41.4 mm, 萩市沖, 水深 1 m, 2018 年 7 月 20 日; HMNH-P 15936, 体長 42.9 mm, HMNH-P 15937, 体長 41.6 mm, HMNH-P 15938, 体長 34.6 mm, 萩市下田万沖, 2019 年 5 月 4 日; OMNH-P 45869, 体長 37.8 mm, OMNH-P 45870, 体長 40.7 mm, OMNH-P 45871, 体長 38.1 mm, OMNH-P 45872, 体長 41.8 mm, OMNH-P 45873, 体長 41.1 mm, OMNH-P 45874, 体長 43.4 mm, OMNH-P 45875, 体長 42.9 mm, OMNH-P 45886, 体長 39.8, 萩市山田沖, 2015 年 8 月 4 日.

画像 KPM-NR 198814, 下関市豊浦町小串沖, 2009 年 6 月 25 日; KPM-NR 198908, 萩市沖, 水深 1 m, 2018 年 7 月 20 日.

***Springerichthys bapturus* (Jordan and Snyder, 1902)**ヒメギンボ[♂]

画像 KPM-NR 198879, 下関市豊北町神田附野赤田浜, 水深 1 m, 2016 年 8 月 4 日.

Chaenopsidae コケギンボ科***Neoclinus bryope* (Jordan and Snyder, 1902)**コケギンボ[♂]

標本 HH-Pi 944, 体長 42.5 mm, HH-Pi 945, 体長 38.7 mm, 萩市沖, 水深 1 m, 2018 年 7 月 20 日; OMNH-P 45876, 体長 36.6 mm, 萩市山田沖, 2015 年 8 月 4 日.

画像 KPM-NR 198906, KPM-NR 198907, 萩市沖, 水深 1 m, 2018 年 7 月 20 日.

***Neoclinus lacunicola* Fukao, 1980**イワアナコケギンボ[♂]

画像 KPM-NR 205006, 長門市仙崎青海島, 2018 年 9 月 19 日.

Blenniidae イソギンボ科***Entomacrodus stellifer stellifer* (Jordan and Snyder, 1902)**ホシギンボ[♂]

標本 NSMT-P 18878, 2 個体, 体長 86.4–96.8 mm, 下関市永田本町沖, 1978 年 10 月 5 日.

画像 KPM-NR 198940, 下関市豊浦町室津下沖, 2006 年 10 月 31 日; KPM-NR 205044, 長門市仙崎青海島, 2019 年 9 月 4 日.

***Istiblennius enosimae* (Jordan and Snyder, 1902)**

カエルウオ

標本 HH-Pi 737, 体長 107.8 mm, 萩市三見沖, 2013 年 12 月 5 日.

***Laiphognathus longispinis* Murase, 2007**マダラギンボ[♂]

画像 KPM-NR 205047, 長門市仙崎青海島, 2018 年 11 月 21 日.

***Omobranchus elegans* (Steindachner, 1876)**

ナベカ

標本 HH-Pi 978, 体長 51.1 mm, 下関市豊北町神田肥中沖, 水深 1 m, 2018 年 8 月 21 日.

画像 KPM-NR 198979, 体長 51.1 mm, 下関市豊北町神田肥中沖, 水深 1 m, 2018 年 8 月 21 日.

***Omobranchus punctatus* (Valenciennes, 1836)**イダテンギンボ[♂]

標本 NSMT-P 18867, 体長 74.3 mm, 下関市永田本町沖, 1978 年 10 月 14 日.

***Parablennius yatabei* (Jordan and Snyder, 1900)**イソギンボ[♂]

標本 HH-Pi 866, 体長 48.5 mm, 長門市日置上黄波戸沖, 2017 年 7 月 22 日.

画像 KPM-NR 198748, 体長 48.5 mm, 長門市日置上黄波戸沖, 2017 年 7 月 22 日.

***Petroscirtes breviceps* (Valenciennes, 1836)**ニジギンボ[♂]

標本 HH-Pi 669, 体長 74.4 mm, 萩市須佐長磯沖, 2016 年 11 月 22 日; HH-Pi 970, 体長 33.8 mm, 下関市豊浦町室津下沖, 2018 年 8 月 5 日; HH-Pi 2171, 8 個体, 体長 13.3–22.3 mm, HH-Pi 2172, 3 個体, 体長 18.2–19.0 mm, HH-Pi 2173, 25 個体, 体長 15.1–28.4 mm, 下関市豊北町神田上土井ヶ浜沖, 1999 年 10 月 18 日; HH-Pi 2174, 2 個体, 体長 23.2–25.8 mm, 下関市豊北町神田上土井ヶ浜沖, 2000 年 11 月 24 日; HH-Pi 2175, 体長 21.2 mm, HH-Pi 2176, 体長 19.8 mm, HH-Pi 2177, 体長 18.4 mm, HH-Pi 2178, 3 個体, 体長 11.3–18.2 mm, HH-Pi 2179, 6 個体, 体長 14.0–23.5 mm, HH-Pi 2180, 3 個体, 体長 12.7–18.8 mm, HH-Pi 2181, 4 個体, 体長 16.3–19.4 mm, HH-Pi 2182, 2 個体, 体長 18.7–26.1 mm, 下関市豊北町神田上土井ヶ浜沖, 1999 年 10 月 18 日; HH-Pi 2183, 体長 23.1 mm, HH-Pi 2184, 8 個体, 体長 12.5–22.4 mm, 下関市豊北町神田上土井ヶ浜沖, 1997 年 10 月 6 日; HH-Pi 2185, 3 個体, 体長 14.7–27.1 mm, 下関市豊北町神田上土井ヶ浜沖, 1999 年 10 月 18 日。

画像 KPM-NR 33093, 萩市椿東沖, 水深 5 m; KPM-NR 198946, 体長 33.8 mm, 下関市豊浦町室津下沖, 2018 年 8 月 5 日;

文献 堀ほか (2014) : fig. 58, 萩市椿東沖; 藤原ほか (2018) : KAUM-I. 87390 (fig. 9R), 萩市見島沖.

***Plagiotremus rhinorhynchos* (Bleeker, 1852)**

ミナミギンボ

標本 HH-Pi 481, 体長 36.9 mm, 萩市須佐長磯沖, 水深 10–15 m, 2012 年 10 月 26 日; HH-Pi 561, 体長 45.6 mm, 萩市須佐沖, 水深 7 m, 2015 年 10 月 8 日.

画像 KPM-NR 205049, 長門市仙崎青海島, 2016 年 11 月 27 日.

***Xiphiasia setifer* Swainson, 1839**

ウナギギンボ

標本 SNFR 15883, 体長 544 mm, 山口県沖, 水深 115 m, 1998 年 7 月 25 日.

Gobiesocidae ウバウオ科

***Aspasma ubaao* Fujiwara and Motomura, 2019**

ウバウオ

画像 KPM-NR 198951, 下関市豊北町神田肥中沖, 水深 1 m, 2014 年 11 月 24 日.

備考 本種の学名は Fujiwara and Motomura (2019a) に従った.

***Aspasmichthys ciconiae* (Jordan and Fowler, 1902)**

ツルウバウオ

標本 HH-Pi 2599, 体長 64.1 mm, 下関市豊北町角島沖, 2019 年 1 月 24 日; HMNH-P 15931, 体長 48.0 mm, HMNH-P 15932, 体長 50.8 mm, HMNH-P 15933, 体長 47.3 mm, HMNH-P 15934, 体長 41.7 mm, HMNH-P 15935, 体長 36.5 mm, 萩市下田万沖, 2019 年 5 月 4 日.

画像 KPM-NR 198952, 下関市豊北町神田肥中沖, 水深 1 m, 2014 年 11 月 24 日; KPM-NR 203227, 体長 64.1 mm, 下関市豊北町角島沖, 2019 年 1 月 24 日.

***Lepadichthys misakius* (Tanaka, 1908)**

ミサキウバウオ

文献 Fujiwara and Motomura (2019b) : fig. 6B, 長門市仙崎青海島沖.

備考 本種の学名は Fujiwara and Motomura (2019b) に従った.

Callionymidae ネズツボ科***Callionymus japonicus* Houttuyn, 1782**

ヨメゴチ

標本 FAKU 134701, 体長 142.2 mm, 長門市沖, 水深 75 m, 2011 年 10 月 18 日; FAKU 143839, 長門市仙崎青海島沖, 水深 85 m, 2016 年 10 月 17 日; HH-Pi 855, 体長 125.0 mm, 下関市沖, 2017 年 7 月 28 日; HH-Pi 2619, 体長 110.2 mm, 下関市伊崎沖, 2019 年 6 月 2 日; HH-Pi 2644, 体長 126.7 mm, 下関市沖, 2019 年 6 月 22 日。

画像 KPM-NR 198634A, B, 長門市沖, 水深 75 m, 2011 年 10 月 18 日; KPM-NR 198635A, B, 長門市仙崎青海島沖, 水深 85 m, 2016 年 10 月 17 日; KPM-NR 198737, 体長 125.0 mm, 下関市沖, 2017 年 7 月 28 日; KPM-NR 203244A, B, 体長 110.2 mm, 下関市伊崎沖, 2019 年 6 月 2 日; KPM-NR 203272, 体長 126.7 mm, 下関市沖, 2019 年 6 月 22 日; KPM-NR 205053, 長門市仙崎紫津浦湾, 2017 年 11 月 19 日。

***Diplogrammus xenicus* (Jordan and Thompson, 1914)**

コブヌメリ

画像 KPM-NR 205026, 長門市仙崎青海島, 2018 年 8 月 5 日; KPM-NR 205027, 長門市仙崎青海島, 2018 年 8 月 26 日。

***Foetorepus altivelis* (Temminck and Schlegel, 1845)**

ベニテグリ

標本 FAKU 134654, FAKU 134657, 長崎県対馬北東沖, 2011 年 10 月 28 日; FAKU 145361, 体長 59.3 mm, 山口県沖, 2017 年 7 月 13 日; SNFR 15432, 体長 144.0 mm, 山口県沖, 水深 129–127 m, 1997 年 7 月 18 日。

画像 KPM-NR 198512A, B, KPM-NR 198513A, B, 長崎県対馬北東沖, 2011 年 10 月 28 日。

***Neosynchiropus* sp.**

コウワンテグリ属の未同定種

画像 KPM-NR 150267A, B, 長門市仙崎青海島沖, 水深 5 m.

***Paradiplogrammus enneactis* (Bleeker, 1879)**

ハナビヌメリ

標本 HH-Pi 2654, 体長 58.8 mm, 下関市豊浦町室津下沖, 2019 年 7 月 20 日; SNFR 19819, 2 個体, 体長 17.9–23.9 mm, 山口県沖, 水深 82–85 m, 2012 年 6 月 12 日; SNFR 21231, 4 個体, 体長 36.8–49.8 mm, 山口県沖, 水深 124 m, 2012 年 6 月 13 日。

***Repomucenus beniteguri* (Jordan and Snyder, 1900)**

トビヌメリ

標本 HH-Pi 275, 体長 125.1 mm, 萩市堀内菊ヶ浜沖, 2009 年 5 月 27 日。

画像 KPM-NR 205037, 長門市仙崎青海島, 2019 年 9 月 7 日。

***Repomucenus curvicornis* (Valenciennes, 1837)**

ネズミゴチ

標本 HH-Pi 958, 体長 70.9 mm, 下関市豊浦町室津下沖, 水深 1 m, 2018 年 7 月 24 日; HH-Pi 2186, 体長 25.6 mm, 下関市豊北町神田上土井ヶ浜沖, 1996 年 9 月 4 日; HH-Pi 2187, 体長 79.7 mm, 下関市豊北町神田上土井ヶ浜沖, 1998 年 9 月 10 日。

画像 KPM-NR 198919, 体長 70.9 mm, 下関市豊浦町室津下沖, 水深 1 m, 2018 年 7 月 24 日。

文献 藤原ほか (2018) : KAUM-I. 49553 (fig. 9S), 下関市沖; 藤原ほか (2018) : KAUM-I. 97222, 下関市吉見古宿沖.

***Repomucenus huguenini* (Bleeker, 1858)**

ヤリヌメリ

標本 SNFR 12548, 体長 82.8 mm, 長門市油谷湾, 1988 年 12 月 20 日.

画像 KPM-NR 198623, 長門市油谷津黃沖, 2012 年 5 月 22 日.

***Repomucenus lunatus* (Temminck and Schlegel, 1845)**

ヌメリゴチ

標本 SNFR 19441, 5 個体, 体長 12.4–26.5 mm, 長門市油谷向津具下北沖, 水深 101–101 m, 2012 年 6 月 12 日.

***Repomucenus virgiris* (Jordan and Fowler, 1903)**

ホロヌメリ

標本 SNFR 19101, 体長 59.9 mm, 長門市油谷向津具下北沖, 水深 101–101 m, 2012 年 6 月 12 日.

画像 KPM-NR 198266, 萩市見島北西沖, 2012 年 10 月 25 日; KPM-NR 198529, 長門市油谷津黃沖, 2012 年 5 月 23 日.

Gobiidae ハゼ科

***Acanthogobius flavimanus* (Temminck and Schlegel, 1845)**

マハゼ

標本 HH-Pi 707, 体長 79.8 mm, 萩市椿東前小畠沖, 2012 年 12 月 5 日.

***Acanthogobius lactipes* (Hilgendorf, 1879)**

アシシロハゼ

標本 OMNH-P 45730, 9 個体, 17.6–28.1 mm, 長門市三隅中三隅川下流, 2014 年 11 月 10 日.

***Acanthogobius* sp.**

ツマグロスジハゼ

標本 OMNH-P 45740, 13 個体, 22.6–47.2 mm, 長門市三隅中三隅川河口, 2014 年 11 月 10 日.

***Acentrogobius pflaumii* (Bleeker, 1853)**

モヨウハゼ

標本 FAKU 134603, 体長 60.4 mm, FAKU 134604, 体長 52.0 mm, FAKU 134605, 体長 58.7 mm, FAKU 134606, 体長 50.5 mm, FAKU 134607, 体長 57.0 mm, FAKU 134608, 体長 48.4 mm, 長門市油谷伊上漁港; HH-Pi 2640, 体長 47.5 mm, 下関市沖, 2019 年 6 月 22 日.

画像 KPM-NR 203268, 体長 47.5 mm, 下関市沖, 2019 年 6 月 22 日.

***Acentrogobius virgatus* (Jordan and Snyder, 1901)**

スジハゼ

標本 FAKU 134594, 体長 50.3 mm, FAKU 134595, 体長 49.8 mm, FAKU 134596, 体長 57.7 mm, FAKU 134597, 体長 57.0 mm, FAKU 134598, 体長 49.0 mm, FAKU 134599, 体長 42.4 mm, FAKU 134600, 体長 50.3 mm, FAKU 134601, 体長 47.6 mm, FAKU 134602, 体長 37.5–59.4 mm, 長門市油谷伊上漁港; HH-Pi 952, 体長 54.5 mm, 下関市豊浦町室津下沖, 水深 1 m, 2018 年 7 月

24日.

画像 KPM-NR 198914, 下関市豊浦町室津下沖, 水深 1 m, 2018年7月24日.

***Amblychaeturichthys hexanema* (Bleeker, 1853)**

アカハゼ

文献 藤原ほか (2018) : KAUM-I. 49563 (fig. 9T), KAUM-I. 49564, KAUM-I. 49565, KAUM-I. 49566, KAUM-I. 49567, 下関市沖; KAUM-I. 97361, 下関市蓋井島と六連島の間.

***Amblychaeturichthys sciustius* (Jordan and Snyder, 1901)**

コモチジヤコ

文献 藤原ほか (2018) : KAUM-I. 97325 (fig. 9U), 萩市見島沖.

***Asterropteryx semipunctata* Rüppell, 1830**

ホシハゼ

画像 KPM-NR 205045, 長門市仙崎紫津浦湾, 2019年9月12日.

***Astrabe flavimaculata* Akihito and Meguro, 1988**

キマダラハゼ (Fig. 5H)

画像 KPM-NR 198985, 長門市仙崎青海島沖, 2017年5月2日.

備考 KPM-NR 198985 は, 吻は上唇を被わない, 体は太く短い, 背鰭は2基, 第二背鰭基底と臀鰭基底の長さはほぼ同じ, 頭頂部の白色帯は狭い, 眼の後方に皮弁がないなどの特徴が, Akihito and Meguro (1988), 明仁親王ほか (1988), 林・白鳥 (2003), 瀬能ほか (2004), 岡本・遠藤 (2007) および明仁ほか (2013) の *Astrabe flavimaculata* と形態および色彩の記載がよく一致したため, 本種に同定した.

日本沿岸海域からは, 千葉県鴨川から高知県横浪半島の太平洋沿岸, 男女諸島, 長崎県野母崎から熊本県天草, 鹿児島県馬毛島および種子島からの記録があるが (Akihito and Meguro, 1988; 明仁親王ほか, 1988; 林・白鳥, 2003; 瀬能ほか, 2004; 岡本・遠藤, 2007; 明仁ほか, 2013), 日本海からは報告がない. したがって, 本報告は証拠画像を伴う日本海初の記録である. 本海域からの本種の記録は画像のみで標本は得られていない.

***Bathygobius fuscus* (Rüppell, 1830)**

クモハゼ

標本 HH-Pi 923, 体長 29.4 mm, 下関市彦島迫町西山沖, 2018年3月.

画像 KPM-NR 198830, 体長 29.4 mm, 下関市彦島迫町西山沖, 2018年3月.

***Chaenogobius annularis* Gill, 1859**

アゴハゼ

標本 HH-Pi 921, 体長 27.4 mm, HH-Pi 922, 体長 24.3 mm, 下関市彦島迫町西山沖, 2018年3月; HH-Pi 994, 体長 33.7 mm, 下関市豊北町神田上土井ヶ浜沖, 1997年10月6日.

画像 KPM-NR 198828, 体長 27.4 mm, KPM-NR 198829, 体長 24.3 mm, 下関市彦島迫町西山沖, 2018年3月.

***Chaenogobius gulosus* (Guichenot, 1882)**

ドロメ

標本 HH-Pi 563, 体長 63.3 mm, 萩市山田倉江沖, 2015年11月30日; HH-Pi 919, 体長 54.0 mm, HH-Pi 920, 体長 47.5 mm, 下関市彦島迫町西山沖, 2018年3月.

画像 KPM-NR 198826, 体長 54.0 mm, KPM-NR 198827, 体長 47.5 mm, 下関市彦島迫町西山沖, 2018 年 3 月.

***Eviota abax* (Jordan and Snyder, 1901)**

イソハゼ

標本 HH-Pi 979, 体長 37.7 mm, 下関市豊北町神田肥中沖, 水深 1 m, 2018 年 8 月 21 日.

画像 KPM-NR 199003, 下関市彦島迫町西山ビーチ, 2008 年 12 月 23 日; KPM-NR 198980, 体長 37.7 mm, 下関市豊北町神田肥中沖, 水深 1 m, 2018 年 8 月 21 日.

***Eviota masudai* Matsuura and Senou, 2006**

アカイソハゼ

画像 KPM-NR 205002, 長門市仙崎青海島, 2016 年 8 月 14 日.

***Favonigobius gymnauchen* (Bleeker, 1860)**

ヒメハゼ

標本 HH-Pi 954, 体長 55.2 mm, 下関市豊浦町室津下沖, 水深 1 m, 2018 年 7 月 24 日; HH-Pi 2201, 体長 45.0 mm, 下関市豊北町神田上土井ヶ浜沖, 1997 年 9 月 11 日; HH-Pi 2202, 体長 47.3 mm, 下関市豊北町神田上土井ヶ浜沖, 2000 年 4 月 21 日; HH-Pi 2203, 体長 47.5 mm, HH-Pi 2204, 体長 52.7 mm, 下関市豊北町神田上土井ヶ浜沖, 2000 年 7 月 12 日.

画像 KPM-NR 198874, 体長 55.2 mm, 下関市豊浦町室津下沖, 水深 1 m, 2018 年 7 月 24 日; KPM-NR 198938, 下関市豊浦町室津下沖, 2006 年 6 月 21 日.

***Glossogobius olivaceus* (Temminck and Schlegel, 1845)**

ウロハゼ

標本 HH-Pi 972, 体長 82.1 mm, 下関市豊浦町室津下沖, 2018 年 8 月 5 日.

画像 KPM-NR 198948, 体長 82.1 mm, 下関市豊浦町室津下沖, 2018 年 8 月 5 日.

***Gymnogobius breunigii* (Steindachner, 1880)**

ビリング

標本 HH-Pi 440, 3 個体, 萩市椿東松本川河口, 2007 年 2 月 25 日; HH-Pi 2499, 3 個体, 体長 8.7–15.7 mm, 下関市豊北町神田上土井ヶ浜沖, 2000 年 5 月 9 日; OMNH-P 45732, 4 個体, 28.5–34.1 mm, 長門市三隅中三隅川下流, 2014 年 11 月 10 日.

***Gymnogobius heptacanthus* (Hilgendorf, 1879)**

ニクハゼ

標本 OMNH-P 45877, 体長 32.6 mm, 萩市山田沖, 2015 年 8 月 4 日.

***Gymnogobius petschiliensis* (Rendahl, 1924)**

スミウキゴリ

標本 OMNH-P 45736, 2 個体, 55.3–70.9 mm, 長門市三隅中三隅川河口, 2014 年 11 月 10 日.

***Gymnogobius scrobiculatus* (Takagi, 1957)**

クボハゼ

標本 OMNH-P 45728, 14 個体, 20.5–28.3 mm, 長門市三隅中三隅川下流; OMNH-P 45738, 体長 20.0 mm, 長門市三隅中三隅川河口, 2014 年 11 月 10 日.

Gymnogobius uchidai (Takagi, 1957)

チクゼンハゼ

標本 OMNH-P 45737, 体長 19.5 mm, 長門市三隅中三隅川河口, 2014 年 11 月 10 日.

Gymnogobius urotaenia (Hilgendorf, 1879)

ウキゴリ

標本 HH-Pi 474, 2 個体, 体長 55.5–70.2 mm, 萩市沖, 2012 年 10 月 24 日; HH-Pi 1218, 16 個体, 体長 16.4–21.7 mm, HH-Pi 1219, 体長 30.1 mm, 下関市豊北町神田上土井ヶ浜沖, 1999 年 5 月 14 日; HH-Pi 1220, 体長 27.9 mm, 下関市豊北町神田上土井ヶ浜沖, 2000 年 6 月 21 日; HH-Pi 1221, 体長 30.0 mm, 下関市豊北町神田上土井ヶ浜沖, 1999 年 5 月 14 日; HH-Pi 1222, 2 個体, 体長 13.6–18.4 mm, 下関市豊北町神田上土井ヶ浜沖, 1999 年 5 月 14 日; HH-Pi 1223, 体長 11.7 mm, HH-Pi 1224, 7 個体, 体長 9.9–15.4 mm, 下関市豊北町神田上土井ヶ浜沖, 2000 年 5 月 9 日; HH-Pi 1225, 体長 24.5 mm, 下関市豊北町神田上土井ヶ浜沖, 1997 年 5 月 16 日; HH-Pi 1227, 体長 24.7 mm, 下関市豊北町神田上土井ヶ浜沖, 1997 年 6 月 10 日; HH-Pi 1228, 6 個体, 体長 21.4–23.0 mm, HH-Pi 1229, 7 個体, 体長 21.2–24.8 mm, HH-Pi 1230, 14 個体, 体長 13.3–24.3 mm, 下関市豊北町神田上土井ヶ浜沖, 1998 年 5 月 9 日; HH-Pi 1231, 2 個体, 体長 19.6–21.9 mm, HH-Pi 1232, 8 個体, 体長 17.6–22.4 mm, HH-Pi 1233, 体長 22.4 mm, 下関市豊北町神田上土井ヶ浜沖, 1998 年 5 月 23 日.

Istigobius campbelli (Jordan and Snyder, 1901)

クツワハゼ

標本 HH-Pi 953, 体長 46.5 mm, 下関市豊浦町室津下沖, 水深 1 m, 2018 年 7 月 24 日.

画像 KPM-NR 198808, 下関市彦島沖, 2008 年 10 月 23 日; KPM-NR 198915, 下関市豊浦町室津下沖, 水深 1 m, 2018 年 7 月 24 日.

Istigobius hoshinonis (Tanaka, 1917)

ホシノハゼ

標本 HH-Pi 900, 体長 62.6 mm, 下関市蓋井島沖, 2018 年 6 月 17 日.

画像 KPM-NR 198784, 体長 62.6 mm, 下関市蓋井島沖, 2018 年 6 月 17 日.

Leucopscarion petersii Hilgendorf, 1880

シロウオ

標本 HH-Pi 258, 35 個体, 体長 31.4–38.6 mm, 萩市椿東松本川河口, 2004 年 3 月 9 日; SNFR 15155, 体長 38.8 mm, 長門市油谷湾, 1989 年 3 月 14 日.

Lubricogobius exiguus Tanaka, 1915

ミジンベニハゼ

標本 HH-Pi 455, 体長 20.0 mm, 下関市安岡本町沖, 2005 年 11 月 1 日; HH-Pi 589, 体長 24.7 mm, 萩市沖, 2009 年 6 月 16 日; HH-Pi 806, 体長 25.0 mm, 下関市沖, 水深 30 m, 2017 年 12 月 21 日; HH-Pi 831, 体長 22.2 mm, 下関市沖, HH-Pi 832, 体長 23.8 mm, 下関市沖, HH-Pi 833, 体長 21.1 mm, 下関市沖, 2017 年 12 月 16 日; HH-Pi 2622, 体長 26.2 mm, 下関市伊崎沖, 2019 年 6 月 2 日; KPM-NI 29010, 下関市吉見本町沖, 水深 15–20 m, 2008 年 11 月 11 日; KPM-NI 29011, 下関市吉見本町沖, 水深 15–20 m, 2008 年; KPM-NI 29012, 下関市吉見本町沖, 水深 15–20 m, 2008 年 9 月 5 日; KPM-NI 29013, KPM-NI 29014, 下関市吉見本町沖, 水深 15–20 m, 2008 年 7 月 6 日; KPM-NI 29015, KPM-NI 29018, KPM-NI 29019, 下関市吉見本町沖, 水深 15–20 m, 2008 年 7 月 13 日; KPM-NI 29016, 下関市吉見本町沖, 水深 15–20 m, 2008 年 11 月 11 日; KPM-

NI 29017, 下関市吉見本町沖, 水深 15–20 m, 2008 年 7 月 25 日.

画像 KPM-NR 198685, 体長 25.0 mm, 下関市沖, 水深 30 m, 2017 年 12 月 21 日; KPM-NR 198709, 体長 22.2 mm, KPM-NR 198710, 体長 23.8 mm, KPM-NR 198711, 体長 21.1 mm, 下関市沖, 2017 年 12 月 16 日; KPM-NR 203247, 体長 26.2 mm, 下関市伊崎沖, 2019 年 6 月 2 日.

文献 河野ほか (2020) : HH-Pi 587, 下関市蓋井島南沖.

Luciogobius guttatus Gill, 1859

ミニズハゼ

標本 HH-Pi 705, 体長 43.3 mm, 萩市沖, 2012 年 11 月 30 日; HH-Pi 925, 体長 35.1 mm, HH-Pi 926, 体長 38.4 mm, HH-Pi 927, 体長 28.9 mm, HH-Pi 928, 体長 32.2 mm, 下関市彦島迫町西山沖, 2018 年 3 月; OMNH-P 42580, 体長 33.9 mm, OMNH-P 42581, 体長 31.1 mm, OMNH-P 42582, 体長 28.1 mm, OMNH-P 42583, 30.8 mm, OMNH-P 42584, 体長 28.5 mm, OMNH-P 42585, 体長 24.4 mm, OMNH-P 42586, 体長 22.8 mm, OMNH-P 42587, 体長 22.5 mm, 長門市三隅中三隅川下流, 2014 年 11 月 10 日.

画像 KPM-NR 198832, 体長 35.1 mm, KPM-NR 198833, 体長 38.4 mm, KPM-NR 198834, 体長 28.9 mm, KPM-NR 198835, 体長 32.2 mm, 下関市彦島迫町西山沖, 2018 年 3 月.

Luciogobius martellii Di Caporiacco, 1948

イソミニズハゼ

標本 OMNH-P 42604, 体長 31.0 mm, 長門市三隅下野波瀬漁港, 2014 年 11 月 10 日.

備考 本種の学名は渋川ほか (2019) に従った.

Luciogobius saikaiensis Dotu, 1957

ヒゲミニズハゼ

標本 NSMT-P 18725, 13 個体, 体長 21.4–33.6 mm, 下関市永田本町沖, 1978 年 10 月 17 日.

Luciogobius sp.

ミニズハゼ属の未同定種

画像 KPM-NR 205051, 長門市仙崎青海島, 2018 年 5 月 11 日.

Mugilogobius abei (Jordan and Snyder, 1901)

アベハゼ

標本 OMNH-P 45729, 10 個体, 13.9–32.8 mm, 長門市三隅中三隅川下流, 2014 年 11 月 10 日.

Myersina filifer (Valenciennes, 1837)

イトヒキハゼ

文献 藤原ほか (2018) : KAUM-I. 49562 (fig. 9V), 下関市沖; 藤原ほか (2018) : KAUM-I. 97423, 下関市蓋井島と六連島の間.

備考 本種の学名は Shibukawa (2018) に従った.

Obliquogobius yamadai Shibukawa and Aonuma, 2007

キオビチヒロハゼ

標本 FAKU 145362, 体長 31.1 mm, 山口県日本海沖, 水深 128 m, 2017 年 7 月 13 日.

画像 KPM-NR 206003, 体長 31.1 mm, 山口県日本海沖, 水深 128 m, 2017 年 7 月 13 日.

Parachaeturichthys polynema (Bleeker, 1853)

ヒゲハゼ

標本 SNFR 11156, 体長 78.4 mm, 長門市油谷湾, 1988 年 10 月 27 日.

Paratrypauchen microcephalus (Bleeker, 1860)

アカウオ

標本 HH-Pi 206, 体長 112.1 mm, 萩市沖.

Priolepis winterbottomi Nogawa and Endo, 2007

サクライレズミハゼ

標本 KPM-NI 48914, 体長 28.7 mm, 下関市沖, 水深 30 m, 2017 年 12 月 16 日.

画像 KPM-NR 181416A, B, 体長 28.7 mm, 下関市沖, 水深 30 m, 2017 年 12 月 16 日.

Priolepis sp.

イレズミハゼ属の未同定種

標本 SNFR 19815, 体長 32.3 mm, 山口県沖, 水深 82–85 m, 2012 年 6 月 12 日.

Pterogobius elapoides (Günther, 1872)

キヌバリ

標本 HH-Pi 11, 体長 54.0 mm, 萩市山田倉江沖, 1953 年 5 月 11 日; HH-Pi 522, 体長 100.3 mm, 萩市須佐沖, 2014 年 9 月 30 日.

画像 KPM-NR 33085, 萩市椿東沖, 水深 5 m.

Pterogobius virgo (Temminck and Schlegel, 1845)

ニシキハゼ

標本 HUMZ 97046, 体長 155.7 mm, 下関市豊北町北宇賀沖, 1982 年 10 月 6 日.

画像 KPM-NR 198427, 深川湾, 1997 年 6 月 30 日; KPM-NR 198934, KPM-NR 198935, 下関市豊浦町室津下沖, 2006 年 5 月 29 日.

Pterogobius zonoleucus Jordan and Snyder, 1901

チャガラ

標本 HH-Pi 2157, 19 個体, 体長 46.6–49.0 mm, 下関市豊北町神田上土井ヶ浜沖, 2000 年 11 月 24 日.

画像 KPM-NR 198878, 下関市豊北町神田附野赤田浜, 2016 年 8 月 4 日.

Redigobius bikolanus (Herre, 1927)

ヒナハゼ

標本 OMNH-P 45731, 体長 16.9 mm, 長門市三隅中三隅川下流, 2014 年 11 月 10 日.

Rhinogobius similis Gill, 1859

ゴクラクハゼ

標本 OMNH-P 45734, 5 個体, 17.0–23.1 mm, 長門市三隅中三隅川下流, 2014 年 11 月 10 日.

備考 本種の学名は Suzuki et al. (2016) に従った.

Sagamia geneionema (Hilgendorf, 1879)

サビハゼ

標本 HH-Pi 452, 体長 71.2 mm, 萩市須佐沖, 2010 年 10 月 1 日; HH-Pi 955, 体長 57.1 mm, 下関市豊浦町室津下沖, 水深 1 m, 2018 年 7 月 24 日.

画像 KPM-NR 198877, 下関市豊北町神田附野赤田浜, 2016 年 8 月 4 日; KPM-NR 198916, 下関市豊浦町室津下沖, 水深 1 m, 2018 年 7 月 24 日; KPM-NR 198931, 下関市豊浦町室津下沖, 2006 年 5 月 29 日; KPM-NR 198932, KPM-NR 198933, 下関市豊浦町室津下沖, 2006 年 6 月 21 日.

Suruga fundicola Jordan and Snyder, 1901

ヤミハゼ

標本 FAKU 138890, 体長 49.4 mm, 山口県沖, 水深 136 m, 2015 年 7 月 29 日; FAKU 139100, 山口県沖, 水深 133 m, 2015 年 7 月 29 日; SNFR 17690, 4 個体, 体長 28.5–33.2 mm, 山口県沖, 水深 127 m, 2011 年 6 月 11 日.

画像 KPM-NR 198620, 山口県沖, 水深 133 m, 2015 年 7 月 29 日.

Tomiyamichthys oni (Tomiyama, 1936)

オニハゼ

画像 KPM-NR 205016, 長門市仙崎青海島, 2017 年 11 月 19 日.

Tridentiger obscurus (Temminck and Schlegel, 1845)

チチブ

標本 OMNH-P 45735, 5 個体, 36.5–54.9 mm, 長門市三隅中三隅川下流, 2014 年 11 月 10 日.

Tridentiger trigonocephalus (Gill, 1859)

アカオビシマハゼ

標本 HH-Pi 608, 体長 65.1 mm, 萩市山田沖, 2015 年 10 月; HH-Pi 924, 体長 30.9 mm, 下関市彦島迫町西山沖, 2018 年 3 月; HH-Pi 993, 体長 93.1 mm, 下関市豊北町神田上土井ヶ浜沖, 1997 年 2 月 7 日; OMNH-P 45739, 3 個体, 24.0–26.8 mm, 長門市三隅中三隅川河口, 2014 年 11 月 10 日.

画像 KPM-NR 198831, 下関市彦島迫町西山沖, 体長 30.9 mm, 2018 年 3 月.

Trimma okinawae (Aoyagi, 1949)

オキナワベニハゼ

画像 KPM-NR 205012, 長門市仙崎青海島, 2018 年 11 月 2 日.

Vanderhorstia sp.

クサハゼ (Fig. 5I)

画像 KPM-NR 205019, 長門市仙崎紫津浦湾, 2018 年 10 月 27 日.

備考 KPM-NR 205019, 胸鰭に白色斑はない, 眼の下端は上顎の上端より低い, 眼の後ろから第一背鰭後端にかけて鮮やかな水色縦線がある, 第一背鰭 1 から 4 軟条は長いが糸状ではない, 頬や鰓蓋に破線状の黄色斜線がある, 体背側に黄色縦線が 2 本あるが, 後半部で不鮮明になる, 尾鰭は穂先型で尖るなどの特徴が, 益田ほか (1975), 明仁親王ほか (1988) の *Vanderhorstia mertensi*, 林・白鳥 (2003) の *Vanderhorstia* sp., 鈴木ほか (2004) の *Vanderhorstia* sp. A, 明仁ほか (2013) の *Vanderhorstia* sp. 1, 萩原 (2019) の *Vanderhorstia* sp. 2 と形態および色彩の記載がよく一致したため, 本種に同定した.

日本沿岸海域からは小笠原諸島, 千葉県館山湾から種子島の太平洋沿岸および琉球列島からの記録があるが (益田ほか, 1975; 明仁親王ほか, 1988; 林・白鳥, 2003; 鈴木ほか, 2004; 萩原, 2019), 日本海からは報告がない. したがって, 本報告は証拠画像を伴う日本海初の記録である. 本海域からの本種の記録は画像のみで標本が得られていない.

Ptereoleotrinae クロユリハゼ科***Navigobius* sp.**

カグヤハゼ属の未同定種

標本 SNFR 15756, 3 個体, 体長 53.0–57.3 mm, 山口県沖, 水深 115 m, 1996 年 7 月 23 日; SNFR 17296, 体長 55.5 mm, 山口県沖, 水深 115 m, 1999 年 7 月 9 日; SNFR 17332, 7 個体, 体長 54.5–62.6 mm, 山口県沖, 水深 111 m, 1994 年 7 月 17 日.

***Parioglossus dotui* Tomiyama, 1958**

サツキハゼ

標本 HH-Pi 936, 体長 23.8 mm, HH-Pi 937, 体長 19.7 mm, HH-Pi 938, 体長 21.1 mm, HH-Pi 939, 体長 20.3 mm, HH-Pi 940, 体長 19.5 mm, HH-Pi 941, 体長 19.9 mm, HH-Pi 942, 体長 22.9 mm, 下関市豊北町栗野港, 2018 年 7 月 17 日.

画像 KPM-NR 198843, 体長 23.8 mm, KPM-NR 198844, 体長 19.7 mm, KPM-NR 198845, 体長 21.1 mm, KPM-NR 198846, 体長 20.3 mm, KPM-NR 198847, 体長 19.5 mm, KPM-NR 198848, 体長 19.9 mm, KPM-NR 198849, 体長 22.9 mm, 下関市豊北町栗野港, 2018 年 7 月 17 日.

***Ptereoleotris evides* (Jordan and Hubbs, 1925)**

クロユリハゼ

画像 KPM-NR 198462, 下関市豊北町神田沖, 2013 年 8 月 3 日.

***Ptereoleotris hanae* (Jordan and Snyder, 1901)**

ハナハゼ

標本 HH-Pi 358, 体長 98.1 mm, 萩市三見沖, 2007 年 8 月.

画像 KPM-NR 205040, 長門市仙崎紫津浦湾, 2019 年 7 月 1 日.

Ephippidae マンジュウダイ科***Platax teira* (Forsskål, 1775)**

ツバメウオ

標本 HH-Pi 53, 体長 350 mm, 萩市沖, 乾燥標本; HH-Pi 249, 体長 186.7 mm, 萩市三見沖, 2004 年 1 月 23 日; HH-Pi 445, 体長 127.8 mm, 萩市椿東越ヶ浜沖, 2005 年 1 月 14 日; HH-Pi 727, 長門市仙崎大日比沖, 2018 年 7 月 5 日.

画像 KPM-NR 198379, 長門市沖, 2007 年 12 月 18 日.

Scatophagidae クロホシマンジュウダイ科***Scatophagus argus* (Linnaeus, 1766)**

クロホシマンジュウダイ

文献 堀ほか (2014) : fig. 59, 下関市豊浦町室津下沖.

Siganidae アイゴ科***Siganus fuscescens* (Houttuyn, 1782)**

アイゴ

標本 HH-Pi 988, 2 個体, 体長 23.1–24.4 mm, 下関市豊北町神田上土井ヶ浜沖, 1997 年 9 月 11 日; HH-Pi 989, 体長 14.8 mm, 下関市豊北町神田上土井ヶ浜沖, 2001 年 9 月 27 日; HH-Pi 990, 体長 27.3 mm, HH-Pi 991, 2 個体, 体長 28.7–30.7 mm, HH-Pi 992, 5 個体, 体長 25.6–33.1 mm, 下関市豊北町神田上土井ヶ浜沖, 1996 年 10 月 4 日.

画像 KPM-NR 198002, 長門市日置上黄波戸沖, 1998 年 9 月 21 日.

文献 堀ほか (2014) : HH-Pi 179, 萩市沖; 堀ほか (2014) : fig. 60, 長門市仙崎青海島沖; 藤原ほか (2018) : KAUM-I. 87379, KAUM-I. 87380, KAUM-I. 97352 (fig. 10 A) 萩市見島沖.

Acanthuridae ニザダイ科

***Acanthurus dussumieri* Valenciennes, 1835**

ニセカンランハギ

画像 KPM-NR 198897, 下関市豊浦町室津下沖, 2005 年 9 月 14 日.

文献 堀ほか (2014) : fig. 61, 長門市仙崎青海島沖.

***Acanthurus olivaceus* Bloch and Schneider, 1801**

モンツキハギ

標本 HH-Pi 434, 体長 45.1 mm, 萩市須佐長磯沖, 水深 10 m, 2010 年 10 月 24 日.

***Acanthurus xanthopterus* Valenciennes, 1835**

クロハギ

標本 HH-Pi 431, 体長 52.7 mm, 阿武郡阿武町奈古土沖, 2010 年 9 月 20 日.

***Naso brachycentron* (Valenciennes, 1835)**

オニテングハギ

画像 KPM-NR 198130, 体長 483 mm, 萩市大島沖, 2016 年 10 月 19 日.

文献 富森ほか (2019) : FAKU 143620 (fig. 1. B), 萩市大島沖.

***Naso lopezi* Herre, 1927**

ナガテングハギモドキ

画像 KPM-NR 198411 体長 454 mm, 萩市大島沖, 2016 年 10 月 17 日.

文献 富森ほか (2019) : FAKU 143621, 萩市大島沖; 河野ほか (2020) : FAKU 143621 (fig. 1C), 萩市大島沖.

***Naso unicornis* (Forsskål, 1775)**

テングハギ

文献 堀ほか (2014) : HH-Pi 346, 萩市須佐長磯沖; 堀ほか (2014) : fig. 62, 長門市仙崎青海島沖.

***Prionurus scalprum* Valenciennes, 1835**

ニザダイ

標本 HH-Pi 884, 体長 247.8 mm, 長門市日置上黄波戸沖, 2017 年 9 月 5 日.

画像 KPM-NR 33091, 萩市椿東沖, 水深 5 m; KPM-NR 198426, 長門市沖, 1997 年 7 月 22 日; KPM-NR 198766, 体長 247.8 mm, 長門市日置上黄波戸沖, 2017 年 9 月 5 日.

Istiophoridae マカジキ科

***Istiompaix indica* (Cuvier, 1832)**

シロカジキ

画像 KPM-NR 198326, 長門市通沖, 2012 年 10 月 3 日; KPM-NR 198327, 長門市通沖, 2012 年 10 月 26 日; KPM-NR 198328, 長門市日置上黄波戸沖, 2015 年 1 月 14 日.

備考 本種の学名は Collette et al. (2006) に従った.

Istiophorus platypterus (Shaw, 1792)

バショウカジキ

標本 HH-Pi 86, 体長 298.0 mm, HH-Pi 190, 体長約 260 mm (吻部, 尾部欠損), 萩市沖, 乾燥標本.

Xiphias gladius Linnaeus, 1758

メカジキ

標本 HH-Pi 85, 萩市沖.

画像 KPM-NR 198824, 長門市日置上黄波戸沖, 2017年11月17日.

Sphyraenidae カマス科*Sphyraena barracuda* (Edwards, 1771)

オニカマス

標本 HH-Pi 255, 萩市沖.

文献 堀ほか (2014) : FAKU 132896 (fig. 63), 阿武郡阿武町奈古沖.

Sphyraena japonica Bloch and Schneider, 1801

ヤマトカマス

画像 KPM-NR 198619, 長門市日置上黄波戸沖, 1998年10月10日; KPM-NR 198822, 下関市豊北町神田上鼠島沖, 2014年10月17日.

文献 藤原ほか (2018) : KAUM-I. 96598 (fig. 10B), 萩市見島沖, *Sphyraena pinguis* アカカマスと報告.

Sphyraena jello Cuvier, 1829

トラカマス (Fig. 5J)

標本 HH-Pi 519, 体長 810 mm, 萩市椿東越ヶ浜沖, 2014年7月16日.

備考 HH-Pi 519 は, 体の中央に, 上側部分は斜めに下側部分はほぼ垂直の多数の「くの字」形の斑紋がある, 第2背鰭は黄色味を帯びる, 尾鰭は黄色, 尾鰭後縁に葉状部がなく, 二叉するなどの特徴が, 瀬能 (1992), Senou (2001), Kimura (2013), Senou (2017), Miki and Wada (2018) の *Sphyraena jello* と形態および色彩の記載がよく一致したため, 本種に同定した.

日本沿岸海域からは鹿児島県内之浦湾, 笠沙, 宮崎県串間, 門川湾からの記録があるが (Miki and Wada, 2018), 日本海からは報告がない. したがって, 本報告は証拠標本を伴う日本海初の記録である. 本種の標準和名は Miki and Wada (2018) に従った.

Sphyraena pinguis Günther, 1874

アカカマス

標本 KAUM-I. 97377, 体長 279.0 mm, KAUM-I. 97378, 体長 274.6 mm, 長門市仙崎沖, 2015年8月21日.

画像 KPM-NR 198027, 長門市沖, 1997年6月26日; KPM-NR 198820, 下関市豊北町神田上鼠島沖, 2014年10月17日.

文献 藤原ほか (2018) : KAUM-I. 96599, KAUM-I. 97268, 萩市見島沖.

Sphyraena sp.

カマス属の未同定種

標本 HH-Pi 1284, 体長 32.0 mm, 下関市豊北町神田上土井ヶ浜沖, 1999年7月7日.

Gempylidae クロタチカマス科***Rexea prometheoides* (Bleeker, 1856)**

カゴカマス

標本 HH-Pi 89, 萩市沖.

画像 KPM-NR 198140, 萩市見島西沖, 2012 年 10 月 25 日.

***Thyrsitoides marleyi* Fowler, 1929**

ナガタチカマス

標本 HH-Pi 88, 体長 605 mm, 萩市沖.

画像 KPM-NR 198407, 萩市見島沖, 2012 年 10 月 11 日.

Trichiuridae タチウオ科***Assurger anzac* (Alexander, 1917)**

ナガユメタチモドキ

文献 小林ほか (2006) : fig. 6-37, 長門市三隅下野波瀬沖.

***Trichiurus japonicus* Temmick and Schlegel, 1844**

タチウオ

標本 SNFR 19879, 体長約 650 mm (尾部欠損), 下関市沖 2011 年 4 月 28 日.

画像 KPM-NR 198361, 長門市仙崎南西沖, 水深 52 m, 2010 年 11 月 16 日.

Scombridae サバ科***Acanthocybium solandri* (Cuvier, 1832)**

カマスサワラ

画像 KPM-NR 198155, 長門市日置上黄波戸沖, 2010 年 11 月 8 日; KPM-NR 198156, 長門市通沖, 2011 年 9 月 9 日; KPM-NR 198157, 長門市日置上黄波戸沖, 2011 年 10 月 3 日.

***Auxis rochei* (Risso, 1810)**

マルソウダ

標本 FAKU 133054, 体長 272.0 mm, 萩市見島北西沖, 2011 年 8 月 4 日; FAKU 143681, 体長 300 mm, 山口県沖, 2015 年 12 月 22 日.

画像 KPM-NR 198575, 萩市相島沖, 水深 30 m, 2010 年 8 月 25 日; KPM-NR 198572, 萩市見島北西沖, 2011 年 8 月 4 日; KPM-NR 198573, 山口県沖, 2015 年 12 月 9 日; KPM-NR 198574, 山口県沖, 2015 年 12 月 22 日; KPM-NR 198571, 萩市見島北西沖, 2011 年 7 月 25 日.

備考 本種の学名は Matsuura et al. (2003) に従った.

***Auxis thazard* (Lacepède, 1800)**

ヒラソウダ

画像 KPM-NR 198479, 長門市日置上黄波戸沖, 1998 年 9 月 14 日; KPM-NR 198480, 萩市沖, 2009 年 10 月 31 日.

文献 藤原ほか (2018) : KAUM-I. 97682, KAUM-I. 97683 (fig. 10C), 萩市見島沖.

備考 本種の学名は稻葉 (2019) に従った.

***Euthynnus affinis* (Cantor, 1849)**

スマ

標本 FAKU 146064, FAKU 146065, FAKU 146066, 山口県沖, 2017 年 11 月 6 日.

画像 KPM-NR 198128, 長門市日置上黄波戸沖, 2017年9月28日; KPM-NR 198341, 萩市見島沖, 2005年11月25日; KPM-NR 206004, 山口県沖, 2017年11月6日.

Katsuwonus pelamis (Linnaeus, 1758)

カツオ

標本 FAKU 206227, 山口県沖, 2017年12月21日.

画像 KPM-NR 198150, 下関市豊北町角島沖, 水深102m, 2010年10月19日; KPM-NR 198148, 長門市通沖, 2010年9月6日; KPM-NR 198149, 長門市通沖, 2010年9月10日; KPM-NR 206002, 山口県沖, 2017年12月21日.

Sarda orientalis (Temminck and Schlegel, 1844)

ハガツオ

画像 KPM-NR 198437, 山口県沖, 2011年10月14日; KPM-NR 198991, 長門市沖, 1998年9月21日.

Scomber australasicus Cuvier, 1832

ゴマサバ

標本 HH-Pi 838, 体長265.6mm, 長門市日置上黄波戸沖, 2018年1月6日.

画像 KPM-NR 198717, 体長265.6mm, 長門市日置上黄波戸沖, 2018年1月6日.

Scomber japonicus Houttuyn, 1782

マサバ

標本 FAKU 132886, 萩市大島沖, 2010年12月7日; FAKU 145560, 8個体, 体長78.4–110.2mm, 萩市沖, 2017年6月7日; HH-Pi 837, 体長238.7mm, 長門市日置上黄波戸沖, 2018年1月6日.

画像 KPM-NR 198540, 萩市見島西沖, 水深121m, 2010年11月17日; KPM-NR 198541, 長門市油谷川尻北沖, 2011年2月25日; KPM-NR 198542, 長門市油谷向津具下川尻岬北西沖, 水深125m, 2011年7月25日; KPM-NR 198543, 長門市沖, 1997年7月1日; KPM-NR 198544, 萩市大島沖, 2010年12月7日; KPM-NR 198716, 長門市日置上黄波戸沖, 2018年1月6日.

文献 藤原ほか(2018): KAUM-I. 95639, KAUM-I. 97269 (fig. 10D), KAUM-I. 97270, KAUM-I. 97271, KAUM-I. 97272, KAUM-I. 97289, KAUM-I. 97290, KAUM-I. 97291, KAUM-I. 97305, KAUM-I. 97306, KAUM-I. 97307, KAUM-I. 97308, KAUM-I. 97309, 萩市見島沖.

Scomberomorus niphonius (Cuvier, 1832)

サワラ

画像 KPM-NR 198294, 長門市沖, 2010年3月18日; KPM-NR 198295, 長門市沖, 2012年9月17日.

文献 藤原ほか(2018): KAUM-I. 87205 (fig. 10E), KAUM-I. 97674, KAUM-I. 97675, 萩市見島沖; 藤原ほか(2018): KAUM-I. 97424, 下関市蓋井島と六連島の間.

Thunnus orientalis (Temminck and Schlegel, 1844)

クロマグロ

標本 FAKU 143680, 萩市見島北東沖, 水深104m, 2016年9月26日; HH-Pi 849, 体長380mm, 長門市通沖, 2017年1月11日.

画像 KPM-NR 198223, 萩市見島八里ヶ瀬北西沖, 2015年11月21日; KPM-NR 198224, 萩市見島北西沖, 2011年8月4日; KPM-NR 198225, 萩市見島沖, 2015年12月15日; KPM-NR

198226, 長門市沖, 1998年9月11日; KPM-NR 198227, 下関市豊北町阿川沖, 2006年10月5日; KPM-NR 198228, 萩市見島沖, 2007年12月20日; KPM-NR 198229, 萩市見島北東沖, 水深104m, 2016年9月26日; KPM-NR 198731, 体長380.0mm, 長門市通沖, 2017年1月11日.

Thunnus tonggol (Bleeker, 1851)

コシナガ

標本 FAKU 143679, 萩市見島北東沖, 水深104m, 2016年9月26日; FAKU 145580, 体長450mm, FAKU 145592, 体長430.0mm, FAKU 145496, 体長510mm, FAKU 145504, 体長560mm, 山口県沖.

画像 KPM-NR 198241, 長門市通沖, 2015年9月11日; KPM-NR 198242, 長門市日置上黄波戸沖, 2015年10月7日; KPM-NR 198243, 長門市通沖, 2008年8月5日; KPM-NR 198244, 萩市見島北東沖, 水深104m, 2016年9月26日; KPM-NR 198245, 長門市仙崎沖, 2016年10月27日; KPM-NR 198246, 長門市仙崎沖, 2016年12月16日; KPM-NR 198247, 萩市相島沖, 水深30m, 2010年8月25日.

文献 藤原ほか(2018): KAUM-I. 97254, KAUM-I. 97327 (fig. 10F), 下関市蓋井島沖; 藤原ほか(2018): KAUM-I. 97310, 萩市見島沖.

Pleuronectiformes カレイ目

Citharidae コケビラメ科

Citharoides macrolepidotus Hubbs, 1915

コケビラメ

標本 FAKU 134665, 体長95.2mm, 下関市沖, 2011年10月30日; FAKU 138113, 体長105.4mm, 山口県沖, 水深133m, 2015年6月15日; SNFR 11937, 体長165.0mm, 山口県沖, 水深116m, 1992年7月4日.

画像 KPM-NR 198239, 長崎県対馬東沖, 2006年10月25日; KPM-NR 198240A, B, 山口県沖, 水深133m, 2015年6月15日.

Paralichthyidae ヒラメ科

Paralichthys olivaceus (Temminck and Schlegel, 1846)

ヒラメ

標本 HH-Pi 602, 萩市相島と尾島の間, 2016年9月22日; HH-Pi 971, 体長86.6mm, 下関市豊浦町室津下沖, 2018年8月5日; HH-Pi 2259, 体長31.2mm, 下関市豊北町神田上土井ヶ浜沖, 1994年6月8日; HH-Pi 2260, 体長64.1mm, 下関市豊北町神田上土井ヶ浜沖, 1996年6月13日; HH-Pi 2261, 体長77.3mm, HH-Pi 2262, 体長64.3mm, HH-Pi 2263, 体長92.8mm, HH-Pi 2265, 体長95.2mm, HH-Pi 2267, 体長106.1mm, 下関市豊北町神田上土井ヶ浜沖, 1996年10月4日; HH-Pi 2268, 体長71.9mm, HH-Pi 2269, 体長98.5mm, HH-Pi 2271, 体長117.5mm, 下関市豊北町神田上土井ヶ浜沖, 1996年10月21日; HH-Pi 2272, 体長114.6mm, HH-Pi 2273, 体長117.5mm, 下関市豊北町神田上土井ヶ浜沖, 1996年11月9日; HH-Pi 2274, 体長62.4mm, HH-Pi 2275, 体長49.6mm, HH-Pi 2276, 体長52.1mm, HH-Pi 2277, 体長74.7mm, HH-Pi 2278, 体長54.1mm, HH-Pi 2279, 体長56.1mm, HH-Pi 2280, 体長66.9mm, HH-Pi 2281, 体長59.4mm, HH-Pi 2282, 体長73.6mm, HH-Pi 2285, 体長51.6mm, HH-Pi 2286, 体長55.5mm, HH-Pi 2287, 体長45.2mm, HH-Pi 2288, 体長51.2mm, HH-Pi 2494, 体長59.7mm, 下関市豊北町神田上土井ヶ浜沖, 1997年5月30日; HH-Pi 2289, 体長74.9mm, HH-Pi 2290, 体長56.6mm, HH-Pi 2291, 体長73.7mm, HH-Pi 2292, 体長81.1mm, HH-Pi 2293, 体長65.5mm, HH-Pi 2294, 体長66.3mm, HH-Pi 2295, 体長68.8mm, HH-Pi 2296, 体長73.3mm, HH-Pi 2297, 体長56.1mm, HH-Pi 2495, 体長33.6mm, 下関市豊北町神田上土井ヶ浜沖, 1997年6月4日; HH-Pi 2298, 体長74.9mm,

mm, 下関市豊北町神田上土井ヶ浜沖, 1997年6月10日; HH-Pi 2299, 体長118.3 mm, HH-Pi 2300, 体長90.7 mm, HH-Pi 2301, 体長94.5 mm, HH-Pi 2302, 体長128.8 mm, HH-Pi 2303, 体長69.6 mm, HH-Pi 2304, 体長94.1 mm, 下関市豊北町神田上土井ヶ浜沖, 1997年9月11日; HH-Pi 2305, 体長99.7 mm, HH-Pi 2306, 体長115.4 mm, HH-Pi 2307, 体長85.5 mm, HH-Pi 2496, 体長115.7 mm, 下関市豊北町神田上土井ヶ浜沖, 1997年10月6日; HH-Pi 2308, 体長92.7 mm, 下関市豊北町神田上土井ヶ浜沖, 1997年12月21日; HH-Pi 2309, 体長38.0 mm, 下関市豊北町神田上土井ヶ浜沖, 1998年5月9日; HH-Pi 2310, 体長41.4 mm, HH-Pi 2311, 体長45.7 mm, HH-Pi 2312, 体長51.5 mm, HH-Pi 2313, 体長64.2 mm, HH-Pi 2314, 体長38.1 mm, HH-Pi 2315, 体長40.6 mm, HH-Pi 2316, 体長42.2 mm, HH-Pi 2317, 体長39.8 mm, HH-Pi 2318, 体長43.2 mm, HH-Pi 2319, 体長42.4 mm, HH-Pi 2320, 体長44.8 mm, HH-Pi 2321, 体長38.5 mm, HH-Pi 2322, 体長38.2 mm, HH-Pi 2323, 体長40.3 mm, HH-Pi 2324, 体長48.1 mm, HH-Pi 2325, 体長47.8 mm, HH-Pi 2326, 体長51.5 mm, HH-Pi 2327, 体長57.7 mm, HH-Pi 2328, 体長32.3 mm, HH-Pi 2329, 体長34.0 mm, HH-Pi 2330, 体長35.9 mm, HH-Pi 2331, 体長40.8 mm, HH-Pi 2332, 体長40.9 mm, HH-Pi 2333, 体長42.2 mm, HH-Pi 2334, 体長42.9 mm, HH-Pi 2335, 体長45.4 mm, HH-Pi 02336, 体長55.9 mm, HH-Pi 2337, 体長52.4 mm, 下関市豊北町神田上土井ヶ浜沖, 1998年5月23日; HH-Pi 2338, 体長48.0 mm, HH-Pi 2339, 体長55.1 mm, 下関市豊北町神田上土井ヶ浜沖, 1998年6月4日; HH-Pi 2340, 体長55.5 mm, HH-Pi 2341, 体長39.7 mm, HH-Pi 2342, 体長46.8 mm, HH-Pi 2343, 体長55.6 mm, HH-Pi 2344, 体長55.8 mm, HH-Pi 2345, 体長61.6 mm, HH-Pi 2346, 体長48.9 mm, HH-Pi 2347, 体長69.2 mm, HH-Pi 2348, 体長41.8 mm, HH-Pi 2349, 体長46.2 mm, HH-Pi 2350, 体長47.4 mm, HH-Pi 2351, 体長49.4 mm, HH-Pi 2352, 体長50.7 mm, HH-Pi 2353, 体長52.7 mm, HH-Pi 2354, 体長55.2 mm, HH-Pi 2355, 体長58.3 mm, HH-Pi 2356, 体長60.2 mm, HH-Pi 2357, 体長74.2 mm, HH-Pi 2358, 体長46.0 mm, HH-Pi 2359, 体長49.8 mm, HH-Pi 2360, 体長50.1 mm, HH-Pi 2361, 体長54.7 mm, HH-Pi 2362, 体長59.1 mm, HH-Pi 2363, 体長61.6 mm, HH-Pi 2364, 体長71.1 mm, HH-Pi 2365, 体長45.8 mm, HH-Pi 2366, 体長50.2 mm, HH-Pi 2367, 体長53.5 mm, HH-Pi 2368, 体長58.3 mm, HH-Pi 2369, 体長64.6 mm, HH-Pi 2370, 体長45.1 mm, HH-Pi 2371, 体長43.5 mm, HH-Pi 2372, 体長44.6 mm, HH-Pi 2373, 体長55.9 mm, HH-Pi 2374, 体長61.1 mm, HH-Pi 2375, 体長61.4 mm, HH-Pi 2376, 体長79.2 mm, HH-Pi 2377, 体長43.3 mm, HH-Pi 2378, 体長46.3 mm, HH-Pi 2379, 体長47.3 mm, HH-Pi 2380, 体長49.0 mm, HH-Pi 2381, 体長49.3 mm, HH-Pi 2382, 体長51.2 mm, HH-Pi 2383, 体長51.0 mm, HH-Pi 2384, 体長51.4 mm, HH-Pi 2385, 体長188.9 mm, HH-Pi 2386, 体長56.1 mm, HH-Pi 2387, 体長54.6 mm, HH-Pi 2388, 体長55.5 mm, HH-Pi 2389, 体長55.2 mm, HH-Pi 2390, 体長56.4 mm, HH-Pi 2391, 体長58.9 mm, HH-Pi 2392, 体長58.1 mm, HH-Pi 2393, 体長61.8 mm, HH-Pi 2394, 体長62.9 mm, HH-Pi 2395, 体長61.1 mm, HH-Pi 2396, 体長64.5 mm, HH-Pi 2397, 体長65.3 mm, HH-Pi 2398, 体長72.7 mm, HH-Pi 2399, 体長71.5 mm, 下関市豊北町神田上土井ヶ浜沖, 1998年6月11日; HH-Pi 2401, 体長60.2 mm, HH-Pi 2402, 体長48.1 mm, HH-Pi 2403, 体長70.0 mm, HH-Pi 2404, 体長73.5 mm, HH-Pi 2405, 体長70.5 mm, HH-Pi 2406, 体長64.7 mm, HH-Pi 2407, 体長45.2 mm, 下関市豊北町神田上土井ヶ浜沖, 1998年6月29日; HH-Pi 2409, 体長55.4 mm, HH-Pi 2410, 体長67.3 mm, HH-Pi 2411, 体長83.4 mm, HH-Pi 2412, 体長60.8 mm, HH-Pi 2413, 体長78.5 mm, HH-Pi 2414, 体長58.9 mm, HH-Pi 2415, 体長69.8 mm, HH-Pi 2416, 体長43.9 mm, HH-Pi 2417, 体長57.0 mm, HH-Pi 2418, 体長61.4 mm, 下関市豊北町神田上土井ヶ浜沖, 1998年7月9日; HH-Pi 2419, 体長65.2 mm, HH-Pi 2429, 体長103.7 mm, HH-Pi 2432, 体長69.5 mm, HH-Pi 2433, 体長75.3 mm, 下関市豊北町神田上土井ヶ浜沖, 1998年9月10日; HH-Pi 2420, 体長68.4 mm, HH-Pi 2421, 体長54.0 mm, HH-Pi 2422, 体長62.4 mm, HH-Pi 2423, 体長74.2 mm, HH-Pi 2424, 体長82.7 mm, HH-Pi 2426, 体長57.4 mm, HH-Pi 2427, 体長64.9 mm, 下関市豊北町神田上土井ヶ浜沖, 1998年9月1日; HH-Pi 2430, 体長61.7 mm, HH-Pi 2431, 体長81.4 mm, 下関市豊北町神田上土井ヶ浜沖; HH-Pi 2434, 体長95.8

mm, 下関市豊北町神田上土井ヶ浜沖, 1998年10月5日; HH-Pi 2435, 体長84.0 mm, HH-Pi 2436, 体長89.0 mm, 下関市豊北町神田上土井ヶ浜沖, 1998年11月19日; HH-Pi 2437, 体長103.7 mm, 下関市豊北町神田上土井ヶ浜沖, 1999年3月17日; HH-Pi 2438, 体長約100 mm(尾部欠損), 下関市豊北町神田上土井ヶ浜沖, 2000年4月10日; HH-Pi 2439, 2個体, 体長31.7–47.4 mm, HH-Pi 2440, 4個体, 体長40.3–64.1 mm, HH-Pi 2441, 体長33.9 mm, HH-Pi 2442, 2個体, 体長59.1 mm, 下関市豊北町神田上土井ヶ浜沖, 1999年5月14日; HH-Pi 2443, 体長48 mm, HH-Pi 2444, 10個体, 体長37.8–59.2 mm, HH-Pi 2445, 3個体, 体長41.8–62.5 mm, HH-Pi 2446, 2個体, 体長55.1–64.0 mm, HH-Pi 2447, 2個体, 体長42.7–60.3 mm, HH-Pi 2498, 3個体, 体長42.6–59.7 mm, 下関市豊北町神田上土井ヶ浜沖, 1999年6月14日; HH-Pi 2448, 体長46.7 mm, HH-Pi 2449, 2個体, 体長40.6–72.1 mm, HH-Pi 2450, 5個体, 体長51.9–56.9 mm, HH-Pi 2451, 4個体, 体長41.4–58.5 mm, HH-Pi 2452, 体長56.2 mm, HH-Pi 2453, 4個体, 体長44.4–56.8 mm, HH-Pi 2454, 2個体, 体長41.0–77.6 mm, HH-Pi 2455, 2個体, 体長53.4–55.7 mm, HH-Pi 2456, 体長57.4 mm, 下関市豊北町神田上土井ヶ浜沖, 1999年7月7日; HH-Pi 2457, 体長71.0 mm, HH-Pi 2458, 体長72.0 mm, 下関市豊北町神田上土井ヶ浜沖, 1999年10月18日; HH-Pi 2459, 体長47.8 mm, HH-Pi 2460, 3個体, 体長32.0–69.7 mm, HH-Pi 2461, 14個体, 体長36.5–72.5 mm, HH-Pi 2462, 4個体, 体長39.5–52.4 mm, 下関市豊北町神田上土井ヶ浜沖, 2000年5月25日; HH-Pi 2463, 9個体, 体長39.4–101.5 mm, HH-Pi 2464, 12個体, 体長52.4–77.8 mm, HH-Pi 2465, 2個体, 体長67.0–68.3 mm, HH-Pi 2466, 5個体, 体長43.5–106.1 mm, HH-Pi 2467, 7個体, 体長37.2–98.0 mm, HH-Pi 2468, 体長85.3 mm, HH-Pi 2469, 10個体, 体長56.2–107.7 mm, HH-Pi 2470, 体長55.2 mm, HH-Pi 2471, 13個体, 体長44.0–89.4 mm, 下関市豊北町神田上土井ヶ浜沖, 2000年6月21日; HH-Pi 2472, 4個体, 体長64.0–76.0 mm, HH-Pi 2473, 体長79.8 mm, HH-Pi 2474, 4個体, 体長61.8–87.4 mm, HH-Pi 2475, 体長71.0 mm, HH-Pi 2476, 2個体, 体長68.4–68.6 mm, HH-Pi 2477, 体長100.2 mm, HH-Pi 2478, 5個体, 体長68.4–90.6 mm, HH-Pi 2479, 3個体, 体長71.5–79.8 mm, HH-Pi 2480, 3個体, 体長73.0–96.9 mm, HH-Pi 2481, 体長84.3 mm, 下関市豊北町神田上土井ヶ浜沖, 2000年7月12日; HH-Pi 2482, 体長94.9 mm, HH-Pi 2483, 体長72.7 mm, 下関市豊北町神田上土井ヶ浜沖, 2000年9月28日; HH-Pi 2484, 体長88.4 mm, HH-Pi 2485, 体長97.0 mm, 下関市豊北町神田上土井ヶ浜沖, 2000年11月24日; HH-Pi 2486, 体長138.6 mm, 下関市豊北町神田上土井ヶ浜沖, 2001年4月19日; HH-Pi 2487, 体長92.8 mm, HH-Pi 2488, 体長92.5 mm, HH-Pi 2489, 体長74.5 mm, HH-Pi 2490, 体長99.7 mm, HH-Pi 2491, 体長85.3 mm, 下関市豊北町神田上土井ヶ浜沖, 2001年9月27日; HH-Pi 2492, 体長70.3 mm, 下関市豊北町神田上土井ヶ浜沖, 2001年9月28日; HH-Pi 2493, 体長57.0 mm, 下関市豊北町神田上土井ヶ浜沖, 1996年6月27日.

画像 KPM-NR 33088, 萩市椿東沖, 水深5 m; KPM-NR 198487, 長門市仙崎沖, 2012年6月6日; KPM-NR 198947, 下関市豊浦町室津下沖, 2018年8月5日.

文献 藤原ほか (2018) : KAUM-I. 97444 (fig. 10G), 下関市蓋井島と六連島の間.

Pseudorhombus oligodon (Bleeker, 1854)

ナンヨウガレイ

標本 FAKU 134822, 体長220.0 mm, FAKU 134823, 体長230.0 mm, 長門市仙崎沖, 水深30 m, 2011年10月6日; HH-Pi 2608, 体長216.1 mm, 下関市伊崎沖, 2019年5月1日.

画像 KPM-NR 198805, 下関市沖, 2009年9月2日; KPM-NR 198168A, B, 長門市仙崎湾, 水深30 m, 2011年10月6日; KPM-NR 203233, 体長216.1 mm, 下関市伊崎沖, 2019年5月1日.

文献 藤原ほか (2018) : KAUM-I. 97425 (fig. 10H), KAUM-I. 97426, 下関市蓋井島と六連島の間.

Pseudorhombus pentophthalmus Günther, 1862

タマガンゾウビラメ

標本 HH-Pi 896, 体長 94.1 mm, 萩市見島東沖, 水深 60–81 m, 2017 年 4 月 12 日;
HH-Pi 2606, 体長 92.6 mm, HH-Pi 2609, 体長 100.7 mm, 下関市伊崎沖, 2019 年 5 月 1 日; HH-Pi 2638, 体長 117.7 mm, HH-Pi 2639, 体長 113.3 mm, 下関市沖, 2019 年 6 月 22 日。

画像 KPM-NR 198364, 長崎県対馬東沖, 2006 年 5 月 30 日; KPM-NR 198780, 体長 94.1 mm, 萩市見島東沖, 水深 60–81 m, 2017 年 4 月 12 日; KPM-NR 198806, 下関市沖, 2009 年 2 月 4 日; KPM-NR 203231, 体長 92.6 mm, KPM-NR 203234, 体長 100.7 mm, 下関市伊崎沖, 2019 年 5 月 1 日; KPM-NR 203266, 体長 117.7 mm, KPM-NR 203267, 体長 113.3 mm, 下関市沖, 2019 年 6 月 22 日。

文献 藤原ほか (2018) : KAUM-I. 49569 (fig. 10I), KAUM-I. 49570, KAUM-I. 49571, KAUM-I. 49572, KAUM-I. 49573, KAUM-I. 49574, KAUM-I. 49575, KAUM-I. 49576, KAUM-I. 49577, KAUM-I. 49578, 下関市沖; 藤原ほか (2018) : KAUM-I. 97250, 下関市蓋井島と六連島の間。

Tarphops oligolepis (Bleeker, 1858)

アラメガレイ

標本 HH-Pi 1036, 体長 53.5 mm, HH-Pi 1037, 体長 45.4 mm, HH-Pi 1038, 体長 46.8 mm, HH-Pi 1039, 体長 80.6 mm, HH-Pi 1040, 体長 66.9 mm, 下関市豊北町神田上土井ヶ浜沖, 1997 年 9 月 11 日; HH-Pi 1041, 体長 56.7 mm, HH-Pi 1042, 体長 48.9 mm, HH-Pi 1204, 体長 59.7 mm, 下関市豊北町神田上土井ヶ浜沖, 1997 年 10 月 6 日; HH-Pi 1044, 体長 69.3 mm, HH-Pi 1045, 体長 46.6 mm, HH-Pi 1046, 体長 52.9 mm, HH-Pi 1047, 体長 56.3 mm, 下関市豊北町神田上土井ヶ浜沖, 1997 年 11 月 16 日; HH-Pi 1048, 体長 31.5 mm, HH-Pi 1049, 体長 34.0 mm, HH-Pi 1050, 体長 34.8 mm, HH-Pi 1051, 体長 36.3 mm, 下関市豊北町神田上土井ヶ浜沖, 1998 年 6 月 29 日; HH-Pi 1052, 体長 35.5 mm, HH-Pi 1053, 体長 33.3 mm, 下関市豊北町神田上土井ヶ浜沖, 1998 年 7 月 9 日; HH-Pi 1043, 体長 49.1 mm, HH-Pi 1054, 体長 47.6 mm, HH-Pi 1055, 体長 53.4 mm, HH-Pi 1056, 体長 47.2 mm, HH-Pi 1057, 体長 47.7 mm, HH-Pi 1058, 体長 51.0 mm, HH-Pi 1059, 体長 44.5 mm, HH-Pi 1060, 体長 63.7 mm, HH-Pi 1061, 体長 50.7 mm, HH-Pi 1062, 体長 67.6 mm, HH-Pi 1063, 体長 46.3 mm, HH-Pi 1064, 体長 47.5 mm, HH-Pi 1065, 体長 49.0 mm, HH-Pi 1066, 体長 59.9 mm, HH-Pi 1067, 体長 50.5 mm, HH-Pi 1068, 体長 43.4 mm, HH-Pi 1069, 体長 48.6 mm, HH-Pi 1070, 体長 47.0 mm, HH-Pi 1071, 体長 46.2 mm, HH-Pi 1072, 体長 50.3 mm, HH-Pi 1073, 体長 45.8 mm, HH-Pi 1074, 体長 44.1 mm, HH-Pi 1075, 体長 49.5 mm, HH-Pi 1076, 体長 46.8 mm, HH-Pi 1077, 体長 42.9 mm, HH-Pi 1078, 体長 42.9 mm, HH-Pi 1079, 体長 45.5 mm, HH-Pi 1080, 体長 48.4 mm, HH-Pi 1081, 体長 46.4 mm, HH-Pi 1082, 体長 45.7 mm, HH-Pi 1083, 体長 54.2 mm, HH-Pi 1084, 体長 41.4 mm, HH-Pi 1085, 体長 52.2 mm, HH-Pi 1086, 体長 43.5 mm, HH-Pi 1087, 体長 46.7 mm, HH-Pi 1088, 体長 47.5 mm, HH-Pi 1089, 体長 41.9 mm, HH-Pi 1090, 体長 59.1 mm, HH-Pi 1091, 体長 59.4 mm, HH-Pi 1092, 体長 44.0 mm, HH-Pi 1093, 体長 41.4 mm, HH-Pi 1094, 体長 56.1 mm, HH-Pi 1095, 体長 48.6 mm, HH-Pi 1096, 体長 50.0 mm, HH-Pi 1097, 体長 50.5 mm, HH-Pi 1098, 体長 40.8 mm, HH-Pi 1099, 体長 48.7 mm, HH-Pi 1100, 体長 51.1 mm, HH-Pi 1101, 体長 48.6 mm, HH-Pi 1102, 体長 44.1 mm, HH-Pi 1103, 体長 45.7 mm, HH-Pi 1104, 体長 49.3 mm, HH-Pi 1105, 体長 52.7 mm, HH-Pi 1106, 体長 44.7 mm, HH-Pi 1107, 体長 43.7 mm, HH-Pi 1108, 体長 45.8 mm, HH-Pi 1109, 体長 41.4 mm, HH-Pi 1110, 体長 50.5 mm, HH-Pi 1111, 体長 43.4 mm, HH-Pi 1112, 体長 61.5 mm, HH-Pi 1113, 体長 47.4 mm, HH-Pi 1114, 体長 44.5 mm, HH-Pi 1115, 体長 51.0 mm, HH-Pi 1116, 体長 64.0 mm, HH-Pi 1117, 体長 47.0 mm, HH-Pi 1118, 体長 47.7 mm, HH-Pi 1119, 体長 48.1 mm, HH-Pi 1120, 体長 49.4 mm, HH-Pi 1121, 体長 53.0 mm, HH-Pi 1122, 体長 50.7 mm, HH-Pi 1123, 体長 46.4 mm, HH-Pi 1124, 体長 42.6 mm, HH-Pi 1125, 体長 45.3 mm, HH-Pi 1126, 体長 51.6 mm, HH-Pi 1127,

体長 42.1 mm, HH-Pi 1128, 体長 42.5 mm, HH-Pi 1129, 体長 41.8 mm, HH-Pi 1130, 体長 45.0 mm, HH-Pi 1131, 体長 49.1 mm, HH-Pi 1132, 体長 40.2 mm, HH-Pi 1133, 体長 41.9 mm, HH-Pi 1134, 体長 44.2 mm, HH-Pi 1135, 体長 39.2 mm, HH-Pi 1136, 体長 46.9 mm, HH-Pi 1137, 体長 39.3 mm, HH-Pi 1138, 体長 44.8 mm, HH-Pi 1139, 体長 48.6 mm, HH-Pi 1140, 体長 43.3 mm, HH-Pi 1141, 体長 47.1 mm, HH-Pi 1142, 体長 48.8 mm, HH-Pi 1143, 体長 43.8 mm, HH-Pi 1144, 体長 44.7 mm, HH-Pi 1145, 体長 40.2 mm, HH-Pi 1146, 体長 45.1 mm, HH-Pi 1147, 体長 48.1 mm, HH-Pi 1148, 体長 43.0 mm, HH-Pi 1149, 体長 62.1 mm, HH-Pi 1150, 体長 45.5 mm, HH-Pi 1151, 体長 54.8 mm, HH-Pi 1152, 体長 59.0 mm, HH-Pi 1153, 体長 48.4 mm, HH-Pi 1154, 体長 46.1 mm, HH-Pi 1155, 体長 47.4 mm, HH-Pi 1156, 体長 41.8 mm, HH-Pi 1157, 体長 45.3 mm, HH-Pi 1158, 体長 51.8 mm, HH-Pi 1159, 体長 47.4 mm, HH-Pi 1160, 体長 46.7 mm, HH-Pi 1161, 体長 55.3 mm, HH-Pi 1164, 体長 46.6 mm, HH-Pi 1146, 体長 44.1 mm, HH-Pi 1166, 体長 46.6 mm, HH-Pi 1167, 体長 45.1 mm, HH-Pi 1168, 体長 43.0 mm, HH-Pi 1169, 体長 47.9 mm, HH-Pi 1170, 体長 44.1 mm, HH-Pi 1171, 体長 41.4 mm, HH-Pi 1172, 体長 42.7 mm, HH-Pi 1173, 体長 40.2 mm, HH-Pi 1174, 体長 43.9 mm, HH-Pi 1175, 体長 45.1 mm, HH-Pi 1176, 体長 48.3 mm, HH-Pi 1177, 体長 49.6 mm, HH-Pi 1178, 体長 61.5 mm, HH-Pi 1179, 体長 43.2 mm, HH-Pi 1180, 体長 43.2 mm, HH-Pi 1181, 体長 44.0 mm, HH-Pi 1182, 体長 46.5 mm, HH-Pi 1183, 体長 54.2 mm, HH-Pi 1184, 体長 44.7 mm, HH-Pi 1185, 体長 45.1 mm, HH-Pi 1186, 体長 46.2 mm, HH-Pi 1187, 体長 47.5 mm, HH-Pi 1188, 体長 47.8 mm, HH-Pi 1189, 体長 42.9 mm, HH-Pi 1190, 体長 49.0 mm, HH-Pi 1191, 体長 46.9 mm, HH-Pi 1192, 体長 44.3 mm, HH-Pi 1193, 体長 58.3 mm, HH-Pi 1194, 体長 46.5 mm, HH-Pi 1195, 体長 46.3 mm, HH-Pi 1196, 体長 43.9 mm, HH-Pi 1197, 体長 59.1 mm, HH-Pi 1198, 体長 44.2 mm, HH-Pi 1199, 体長 43.8 mm, HH-Pi 1200, 体長 39.7 mm, HH-Pi 1201, 体長 50.2 mm, 下関市豊北町神田上土井ヶ浜沖, 1998 年 9 月 10 日; HH-Pi 1202, 体長 54.8 mm, 下関市豊北町神田上土井ヶ浜沖, 2001 年 9 月 27 日; HH-Pi 1203, 体長 65.1 mm, 下関市豊北町神田上土井ヶ浜沖, 1996 年 9 月 4 日.

画像 KPM-NR 198812, 下関市沖, 2009 年 2 月 4 日.

Bothidae ダルマガレイ科

Arnoglossus polypilus (Günther, 1880)

ナンヨウダルマガレイ

標本 SNFR 11126, 体長 140.5 mm, 山口県沖, 水深 307 m, 1989 年 7 月 5 日.

Arnoglossus tenuis Günther, 1880

ナガダルマガレイ

標本 FAKU 134821, 3 個体, 体長 59.6–73.6 mm, 長門市仙崎沖, 水深 30 m, 2011 年 10 月 6 日.

画像 KPM-NR 198408, 長門市仙崎湾, 水深 30 m, 2011 年 10 月 6 日; KPM-NR 198409, KPM-NR 198410, 長崎県対馬東沖, 2006 年 5 月 30 日.

Arnoglossus yamanakai Fukui, Yamada and Ozawa, 1988

トウカイナガダルマガレイ

標本 FAKU 134667, 福岡県宗像市沖ノ島北沖, 2011 年 11 月 28 日; FAKU 145488, 体長 105.0 mm, 山口県沖, 2017 年 6 月 20 日; FAKU 145489, 体長 99.7 mm, 山口県沖, 2017 年 6 月 20 日.

画像 KPM-NR 198392, 福岡県宗像市沖ノ島北沖, 2011 年 11 月 28 日; KPM-NR 198393, 長門市仙崎青海島北沖, 水深 90 m, 2017 年 6 月 20 日.

Arnoglossus sp.

ナガダルマガレイ属の未同定種

画像 KPM-NR 152858, 長門市仙崎青海島沖, 水深 3 m.

Asterorhombus intermedius (Bleeker, 1865)

セイテンビラメ

文献 藤原ほか (2018) : KAUM-I. 97427 (fig. 10J), 下関市蓋井島と六連島の間.

Crossorhombus kobensis (Jordan and Starks, 1906)

コウベダルマガレイ

画像 KPM-NR 198235, 長崎県対馬東沖, 2006 年 5 月 29 日.

Engyprosopon grandisquama (Temminck and Schlegel, 1846)

ダルマガレイ

標本 HH-Pi 812, 体長 66.4 mm, 下関市沖, 水深 30 m, 2018 年 3 月 12 日; HH-Pi 2607, 体長 95.6 mm, 下関市伊崎沖, 2019 年 5 月 1 日.

画像 KPM-NR 198691, 体長 66.4 mm, 下関市沖, 水深 30 m, 2018 年 3 月 12 日; KPM-NR 203232, 体長 95.6 mm, 下関市伊崎沖, 2019 年 5 月 1 日.

備考 本種の学名は大橋・本村 (2011) に従った.

Engyprosopon longipelvis Amaoka, 1969

ヒメダルマガレイ

標本 FAKU 138916, 体長 55.3 mm, FAKU 138917, 体長 54.0 mm, FAKU 138918, 体長 49.8 mm, FAKU 138919, 体長 44.9 mm, FAKU 138921, 体長 45.1 mm, FAKU 138922, 体長 44.2 mm, FAKU 138923, 体長 46.7 mm, FAKU 138924, 体長 48.1 mm, FAKU 138925, 体長 47.7 mm, FAKU 138926, 体長 47.9 mm, FAKU 138927, 体長 43.4 mm, FAKU 138928, 体長 45.0 mm, FAKU 138929, 体長 46.6 mm, FAKU 138930, 体長 42.9 mm, FAKU 138931, 体長 43.4 mm, FAKU 138932, 体長 47.3 mm, FAKU 138933, 体長 41.9 mm, FAKU 138934, 体長 40.7 mm, FAKU 138935, 体長 38.3 mm, 長門市仙崎青海島沖, 水深 84 m, 2015 年 7 月 30 日.

画像 KPM-NR 198477A, B, 長門市仙崎青海島沖, 水深 84 m, 2015 年 7 月 30 日.

Engyprosopon multisquama Amaoka, 1963

チカメダルマガレイ

標本 SNFR 12551, 体長 43.8 mm, 長門市油谷湾, 1988 年 12 月 20 日.

Japonolaeops dentatus Amaoka, 1969

ヒナダルマガレイ

標本 SNFR 11178, 体長 95.1 mm, 山口県沖, 水深 144 m, 1994 年 7 月 16 日.

Laeops kitaharae (Smith and Pope, 1906)

ヤリガレイ

標本 FAKU 134689, 体長 95.5 mm, 長門市沖, 水深 90 m, 2011 年 10 月 7 日.

画像 KPM-NR 198621, 長門市沖, 水深 90 m, 2011 年 10 月 7 日; KPM-NR 198622, 長門市油谷津黄沖, 2012 年 5 月 22 日.

***Psettina iijimae* (Jordan and Snyder, 1904)**

イジマダルマガレイ

標本 FAKU 133191, 体長 85.7 mm, FAKU 133192, 萩市沖, 2011 年 4 月 6 日; FAKU 138920, 体長 84.7 mm, FAKU 138936, 体長 78.0 mm, 長門市仙崎青海島沖, 水深 84 m, 2015 年 7 月 30 日; SNFR 19684, 体長 62.0 mm, 山口県沖, 水深 82–85 m, 2012 年 6 月 12 日.

画像 KPM-NR 198065, 萩市沖, 水深 60 m, 2011 年 4 月 6 日.

***Psettina tosana* Amaoka, 1963**

トサダルマガレイ

標本 FAKU 138915, 体長 88.3 mm, 長門市油谷向津具下川尻岬沖, 水深 121 m, 2015 年 7 月 30 日; FAKU 138937, 体長 74.9 mm, 長門市仙崎青海島沖, 水深 84 m, 2015 年 7 月 30 日; HH-Pi 895, 体長 95.6 mm, 萩市見島東沖, 水深 60–80 m, 2017 年 4 月 12 日.

画像 KPM-NR 198395, 長崎県対馬東沖, 2006 年 4 月 14 日; KPM-NR 198396A, B, 長門市油谷向津具下川尻岬沖, 水深 121 m, 2015 年 7 月 30 日; KPM-NR 198779, 体長 95.6 mm, 萩市見島東沖, 水深 60–80 m, 2017 年 4 月 12 日.

Bothidae, undetermined genus and species

ダルマガレイ科の未同定種

標本 HH-Pi 793, 体長 24.0 mm, 長門市仙崎青海島沖, 2017 年 5 月 7 日.

画像 KPM-NR 198670, 体長 24.0 mm, 長門市仙崎青海島沖, 2017 年 5 月 7 日.

Pleuronectidae カレイ科***Cleisthenes pinetorum* Jordan and Starks, 1904**

ソウハチ

標本 HH-Pi 887, 体長 222.9 mm, 萩市見島東沖, 水深 60–71 m, 2017 年 4 月 12 日.

画像 KPM-NR 198348A, B, 長門市沖, 2011 年 2 月 3 日; KPM-NR 198349, 長門市沖, 1988 年 11 月 24 日; KPM-NR 198770, 萩市見島東沖, 水深 60–71 m, 2017 年 4 月 12 日.

備考 本種の学名は尼岡 (2016) に従った.

***Clidoderma asperrimum* (Temminck and Schlegel, 1846)**

サメガレイ

画像 KPM-NR 198290, 萩市沖, 2013 年 4 月 19 日.

***Dexistes rikuzenius* Jordan and Starks, 1904**

ミギガレイ

画像 KPM-NR 198577A, B, 山口県沖, 水深 140 m, 2015 年 6 月 15 日; KPM-NR 198578, 長崎県対馬北東沖, 2011 年 12 月 24 日; KPM-NR 198579, 長崎県対馬東沖, 2006 年 5 月 29 日.

***Eopsetta grigorjewi* (Herzenstein, 1890)**

ムシガレイ

標本 HH-Pi 12, 体長 214.9 mm, HH-Pi 13, 体長 175.7 mm, 萩市沖; KAUM-I. 97376, 体長 244.5 mm, 長門市仙崎沖, 2015 年 8 月 21 日.

画像 KPM-NR 198590, 長崎県対馬東沖, 2006 年 5 月 29 日; KPM-NR 198588A, B, 長門市沖, 2010 年 12 月 24 日; KPM-NR 198589, 萩市沖, 2011 年 7 月 12 日; KPM-NR 198591, 山口県沖, 水深 136 m, 2015 年 6 月 15 日.

***Glyptocephalus stelleri* (Schmidt, 1904)**

ヒレグロ

標本 FAKU 138149, FAKU 138150, FAKU 138151, 山口県沖, 水深 140 m, 2015 年 6 月 15 日.

画像 KPM-NR 198490A, B, KPM-NR 198493A, B, C, 山口県沖, 水深 140 m, 2015 年 6 月 15 日; KPM-NR 198491, 山口県沖, 2013 年 2 月 22 日; KPM-NR 198492A, B, 山口県沖, 水深 166 m, 2017 年 1 月 25 日; KPM-NR 198494, 山口県沖, 水深 145 m, 2017 年 1 月 25 日; KPM-NR 198865, 萩市見島沖, 2009 年 8 月.

文献 藤原ほか (2018) : KAUM-I. 49545 (fig. 10K), 下関市沖.

***Hippoglossoides dubius* Schmidt, 1904**

アカガレイ

標本 SNFR 19410, 体長 177.6 mm, SNFR 19411, 体長 176.8 mm, 山口県沖, 水深 82–85 m, 2012 年 6 月 12 日.

***Microstomus achne* (Jordan and Starks, 1904)**

ババガレイ

画像 KPM-NR 198989, 萩市沖, 2013 年 4 月 18 日; KPM-NR 198995, 長門市沖, 2015 年 10 月 9 日.

***Platichthys bicoloratus* (Basilewsky, 1855)**

イシガレイ

標本 HH-Pi 1206, 体長 66.9 mm, 下関市豊北町神田上土井ヶ浜沖, 2000 年 7 月 12 日; HH-Pi 1207, 体長 54.8 mm, 下関市豊北町神田上土井ヶ浜沖, 2001 年 4 月 19 日; HH-Pi 1208, 体長 64.1 mm, 下関市豊北町神田上土井ヶ浜沖, 1997 年 5 月 16 日; HH-Pi 1209, 体長 77.5 mm, 下関市豊北町神田上土井ヶ浜沖, 1997 年 6 月 10 日; HH-Pi 1210, 体長 60.7 mm, HH-Pi 1211, 体長 52.7 mm, 下関市豊北町神田上土井ヶ浜沖, 1998 年 5 月 23 日; HH-Pi 1212, 体長 81.5 mm, 下関市豊北町神田上土井ヶ浜沖, 1998 年 6 月 11 日; HH-Pi 1213, 体長 96.4 mm, HH-Pi 1214, 体長 89.7 mm, 下関市豊北町神田上土井ヶ浜沖, 1998 年 6 月 29 日; HH-Pi 1215, 体長 94.3 mm, 下関市豊北町神田上土井ヶ浜沖, 1998 年 7 月 9 日; HH-Pi 1216, 体長 68.3 mm, 下関市豊北町神田上土井ヶ浜沖, 1999 年 4 月 15 日.

備考 本種の学名は尼岡 (2016) に従った.

***Pleuronichthys cornutus* (Temminck and Schlegel, 1846)**

ナガレメイタガレイ

標本 FAKU 133194, 体長 167.6 mm, 萩市沖, 2011 年 4 月 6 日.

画像 KPM-NR 198414, 長崎県対馬東沖, 2006 年 5 月 30 日; KPM-NR 198415, 萩市沖, 水深 60 m, 2011 年 4 月 6 日; KPM-NR 198416, 長崎県対馬東沖, 2006 年 5 月 29 日.

備考 本種の学名は Yokogawa et al. (2014) に従った.

***Pleuronichthys lighti* Wu, 1929**

メイタガレイ

文献 藤原ほか (2018) : KAUM-I. 97362 (fig. 10L), 下関市蓋井島と六連島の間.

備考 本種の学名は Yokogawa et al. (2014) に従った.

***Pseudopleuronectes herzensteini* (Jordan and Snyder, 1901)**

マガレイ

標本 FAKU 145342, 長門市仙崎沖, 2017年3月6日; SNFR 16005, 体長244.7 mm, 山口県沖, 水深135 m, 1995年5月25日.

画像 KPM-NR 198538A, B, 長門市仙崎沖, 2017年3月6日.

備考 本種の学名は尼岡(2016)に従った.

***Pseudopleuronectes yokohamae* (Günther, 1877)**

マコガレイ

標本 SNFR 12640, 体長189.8 mm, 長門市油谷湾, 1988年10月27日.

備考 本種の学名は尼岡(2016)に従った.

***Tanakius kitaharae* (Jordan and Starks, 1904)**

ヤナギムシガレイ

標本 FAKU 138147, FAKU 138148, 山口県沖, 水深140 m, 2015年6月15日; HH-Pi 888, 体長163.3 mm, 萩市見島東沖, 水深60–73 m, 2017年4月12日.

画像 KPM-NR 198617A, B, 山口県沖, 水深140 m, 2015年6月15日; KPM-NR 198618A, B, 山口県沖, 2017年1月25日; KPM-NR 198772, 体長163.3 mm, 萩市見島東沖, 水深60–73 m, 2017年4月12日.

備考 本種の学名は大橋・本村(2011)に従った.

Poecilopsettidae カワラガレイ科

***Poecilopsetta plinthus* (Jordan and Starks, 1904)**

カワラガレイ

標本 FAKU 138112, 体長96.3 mm, 長門市沖, 水深110 m, 2015年6月15日.

画像 KPM-NR 198162, 長門市沖, 1997年9月4日; KPM-NR 198163, 長崎県対馬東沖, 2006年5月30日; KPM-NR 198164A, B, 長門市沖, 水深110 m, 2015年6月15日.

Samaridae ベロガレイ科

***Plagiopsetta glossa* Franz, 1910**

ベロガレイ

標本 SNFR 1193, 体長124.0 mm, 山口県沖, 水深116 m, 1992年7月4日.

***Samariscus japonicus* Kamohara, 1936**

ツキノワガレイ

標本 SNFR 19106, 体長34.1 mm, 長門市油谷向津具下北沖, 水深101–101 m, 2012年6月12日.

画像 KPM-NR 198375, 長門市油谷津黃沖, 2012年5月23日.

***Samariscus xenicus* Ochiai and Amaoka, 1962**

コツキノワガレイ

標本 FAKU 134666, 体長38.8 mm, 長門市沖, 水深92 m, 2011年10月7日; FAKU 134702, 体長43.4 mm, 長門市沖, 水深88 m, 2011年10月7日; SNFR 19105, 体長35.1 mm, 長門市油谷向津具下北沖, 水深101–101 m, 2012年6月12日; SNFR 19823, 体長41.7 mm, 山口県沖, 水深82–85 m, 2012年6月12日.

画像 KPM-NR 198250A, B, 長門市沖, 水深92 m, 2011年10月7日.

Soleidae ササウシノシタ科***Aseraggodes kobensis* (Steindachner, 1896)**

トビササウシノシタ

画像 KPM-NR 198401, 長門市油谷津黃沖, 2012 年 5 月 22 日; KPM-NR 198811, 下関市沖, 2009 年 2 月 4 日.

***Heteromycterus japonicus* (Temminck and Schlegel, 1846)**

ササウシノシタ

標本 HH-Pi 813, 下関市沖, 水深 30 m, 2018 年 3 月 12 日; HH-Pi 1436, 体長 99.4 mm, 下関市豊北町神田上土井ヶ浜沖, 1998 年 6 月 29 日; HH-Pi 1626, 体長 100.5 mm, 下関市豊北町神田上土井ヶ浜沖, 1997 年 4 月 8 日; HH-Pi 1627, 体長 98.1 mm, 下関市豊北町神田上土井ヶ浜沖, 1997 年 4 月 25 日; HH-Pi 1628, 体長 97.8 mm, HH-Pi 1629, 体長 85.7 mm, HH-Pi 1630, 体長 70.1 mm, HH-Pi 1631, 体長 99.5 mm, HH-Pi 1632, 体長 102.1 mm, HH-Pi 1633, 体長 78.0 mm, HH-Pi 1634, 体長 89.7 mm, HH-Pi 1635, 体長 94.7 mm, HH-Pi 1636, 体長 95.5 mm, HH-Pi 1637, 体長 84.8 mm, HH-Pi 1638, 体長 77.2 mm, 下関市豊北町神田上土井ヶ浜沖, 1997 年 5 月 30 日; HH-Pi 1639, 体長 101.3 mm, HH-Pi 1640, 体長 85.0 mm, HH-Pi 1641, 体長 81.4 mm, HH-Pi 1642, 体長 74.8 mm, HH-Pi 1643, 体長 75.5 mm, HH-Pi 1644, 体長 93.4 mm, HH-Pi 1645, 体長 97.7 mm, HH-Pi 1646, 体長 73.5 mm, HH-Pi 1648, 体長 75.4 mm, HH-Pi 1649, 体長 98.9 mm, HH-Pi 1650, 体長 63.2 mm, HH-Pi 1651, 体長 53.2 mm, HH-Pi 1652, 体長 71.0 mm, HH-Pi 1653, 体長 78.1 mm, HH-Pi 1654, 体長 70.2 mm, HH-Pi 1655, 体長 66.0 mm, HH-Pi 1656, 体長 75.8 mm, HH-Pi 1657, 体長 81.3 mm, HH-Pi 1658, 体長 105.5 mm, HH-Pi 1699, 2 個体, 体長 48.0–90.0 mm, 下関市豊北町神田上土井ヶ浜沖, 1997 年 6 月 4 日; HH-Pi 1659, 体長 76.9 mm, 下関市豊北町神田上土井ヶ浜沖, 1997 年 9 月 11 日; HH-Pi 1660, 体長 82.1 mm, 下関市豊北町神田上土井ヶ浜沖, 1998 年 5 月 9 日; HH-Pi 1661, 体長 72.2 mm, 下関市豊北町神田上土井ヶ浜沖, 1998 年 5 月 23 日; HH-Pi 1662, 体長 53.4 mm, HH-Pi 1663, 体長 51.3 mm, HH-Pi 1664, 体長 63.4 mm, HH-Pi 1665, 体長 53.5 mm, HH-Pi 1666, 体長 100.4 mm, HH-Pi 1667, 体長 80.7 mm, HH-Pi 1668, 体長 56.1 mm, HH-Pi 1669, 体長 62.9 mm, HH-Pi 1670, 体長 52.6 mm, HH-Pi 1671, 体長 111.5 mm, HH-Pi 1672, 体長 58.3 mm, 下関市豊北町神田上土井ヶ浜沖, 1998 年 6 月 11 日; HH-Pi 1673, 体長 67.4 mm, HH-Pi 1674, 体長 67.7 mm, HH-Pi 1675, 体長 78.3 mm, 下関市豊北町神田上土井ヶ浜沖, 1998 年 6 月 29 日; HH-Pi 1676, 体長 75.1 mm, HH-Pi 1677, 体長 73.5 mm, HH-Pi 1678, 体長 71.7 mm, 下関市豊北町神田上土井ヶ浜沖, 1998 年 7 月 9 日; HH-Pi 1679, 体長 103.7 mm, HH-Pi 1680, 体長 74.5 mm, HH-Pi 1681, 体長 68.8 mm, HH-Pi 1682, 体長 24.9 mm, HH-Pi 1683, 体長 66.9 mm, HH-Pi 1684, 体長 73.6 mm, 下関市豊北町神田上土井ヶ浜沖, 1998 年 9 月 10 日; HH-Pi 1685, 体長 67.6 mm, HH-Pi 1686, 体長 75.6 mm, 下関市豊北町神田上土井ヶ浜沖, 1998 年 12 月 17 日; HH-Pi 1687, 体長 104.4 mm, HH-Pi 1688, 体長 109.8 mm, HH-Pi 1689, 体長 88.0 mm, 下関市豊北町神田上土井ヶ浜沖, 1999 年 3 月 17 日; HH-Pi 1690, 体長 99.5 mm, 下関市豊北町神田上土井ヶ浜沖, 1999 年 4 月 15 日; HH-Pi 1691, 体長 65.3 mm, 下関市豊北町神田上土井ヶ浜沖, 1999 年 5 月 14 日; HH-Pi 1692, 体長 69.1 mm, 下関市豊北町神田上土井ヶ浜沖, 1999 年 7 月 7 日; HH-Pi 1693, 体長 75.7 mm, 下関市豊北町神田上土井ヶ浜沖, 2000 年 4 月 21 日; HH-Pi 1694, 3 個体, 体長 78.1–89.0 mm, 下関市豊北町神田上土井ヶ浜沖, 2000 年 5 月 25 日; HH-Pi 1695, 体長 104.2 mm, HH-Pi 1696, 2 個体, 体長 92.4–93.3 mm, HH-Pi 1697, 体長 121.3 mm, 下関市豊北町神田上土井ヶ浜沖, 2000 年 6 月 21 日; HH-Pi 1698, 下関市豊北町神田上土井ヶ浜沖, 2000 年 11 月 24 日.

画像 KPM-NR 198692, 下関市沖, 水深 30 m, 2018 年 3 月 12 日.

***Pseudaesopias japonica* (Bleeker, 1860)**

セトウシノシタ

標本 HH-Pi 2620, 体長 121.6 mm, 下関市伊崎沖, 2019 年 6 月 2 日.

画像 KPM-NR 203245, 体長 121.6 mm, 下関市伊崎沖, 2019 年 6 月 2 日.

文献 藤原ほか (2018) : KAUM-I. 49559, KAUM-I. 49560, KAUM-I. 49561, 下関市沖; 藤原ほか (2018) : KAUM-I. 97237 (fig. 10M), 下関市蓋井島と六連島の間.

Soleidae, undetermined genus and species

ササウシノシタ科の未同定種

画像 KPM-NR 154730, 長門市仙崎青海島沖, 水深 5 m.

Cynoglossidae ウシノシタ科***Cynoglossus interruptus* Günther, 1880**

ゲンコ

標本 HH-Pi 1621, 体長 106.3 mm, HH-Pi 1622, 体長 66.4 mm, 下関市豊北町神田上土井ヶ浜沖, 2000 年 6 月 21 日; SNFR 15438, 体長 128.9 mm, 山口県沖, 水深 129–130 m, 1997 年 7 月 19 日.

画像 KPM-NR 198232, 長門市油谷津黄沖, 2012 年 5 月 22 日; KPM-NR 198231, 長崎県対馬東沖, 2006 年 5 月 29 日.

文献 藤原ほか (2018) : KAUM-I. 97336 (fig. 10N), 下関市蓋井島と六連島の間.

***Cynoglossus ochiaii* Yokogawa, Endo and Sakaji, 2008**

オキゲンコ

標本 HH-Pi 898, 体長 148.0 mm, 萩市見島東沖, 水深 60–83 m, 2017 年 4 月 12 日.

画像 KPM-NR 198119A, B, C, 長門市沖, 水深 75 m, 2011 年 10 月 18 日; KPM-NR 198782, 体長 148.0 mm, 萩市見島東沖, 水深 60–83 m, 2017 年 4 月 12 日.

***Paraplagusia japonica* (Temminck and Schlegel, 1846)**

クロウシノシタ

標本 HH-Pi 1437, 体長 39.9 mm, HH-Pi 1438, 体長 26.0 mm, HH-Pi 1439, 体長 103.3 mm, 下関市豊北町神田上土井ヶ浜沖, 1996 年 9 月 4 日; HH-Pi 1440, 体長 84.8 mm, HH-Pi 1441, 体長 88.2 mm, HH-Pi 1442, 体長 100.6 mm, HH-Pi 1597, 体長 40.4 mm, 下関市豊北町神田上土井ヶ浜沖, 1996 年 10 月 4 日; HH-Pi 1443, 体長 121.7 mm, HH-Pi 1444, 体長 103.4 mm, HH-Pi 1445, 体長 106.8 mm, HH-Pi 1446, 体長 42.8 mm, 下関市豊北町神田上土井ヶ浜沖, 1996 年 10 月 21 日; HH-Pi 1447, 体長 117.0 mm, HH-Pi 1448, 体長 122.4 mm, HH-Pi 1449, 体長 89.5 mm, 下関市豊北町神田上土井ヶ浜沖, 1996 年 11 月 9 日; HH-Pi 1450, 体長 141.8 mm, 下関市豊北町神田上土井ヶ浜沖, 1997 年 2 月 7 日; HH-Pi 1451, 体長 85.2 mm, HH-Pi 1452, 体長 74.3 mm, HH-Pi 1453, 体長 107.2 mm, HH-Pi 1454, 体長 97.1 mm, HH-Pi 1455, 体長 77.3 mm, HH-Pi 1456, 体長 135.8 mm, HH-Pi 1457, 体長 82.7 mm, HH-Pi 1458, 体長 204.3 mm, HH-Pi 1459, 体長 65.6 mm, HH-Pi 1460, 体長 208.6 mm, HH-Pi 1461, 体長 80.2 mm, HH-Pi 1598, 体長 82.6 mm, 下関市豊北町神田上土井ヶ浜沖, 1997 年 5 月 30 日; HH-Pi 1462, 体長 108.9 mm, HH-Pi 1463, 体長 94.3 mm, HH-Pi 1464, 体長 77.1 mm, HH-Pi 1465, 体長 110.4 mm, HH-Pi 1466, 体長 113.0 mm, HH-Pi 1467, 体長 76.7 mm, HH-Pi 1468, 体長 106.1 mm, HH-Pi 1469, 体長 129.9 mm, HH-Pi 1471, 体長 86.9 mm, HH-Pi 1472, 体長 103.4 mm, HH-Pi 1473, 体長 106.0 mm, HH-Pi 1474, 体長 104.9 mm, HH-Pi 1475, 体長 98.1 mm, HH-Pi 1476, 体長 78.9 mm, HH-Pi 1477, 体長 97.4 mm, HH-Pi 1478, 体長 89.1 mm, HH-Pi 1539, 体長 105.7 mm, HH-Pi 1540, 体長 88.1 mm, HH-Pi 1599, 2 個体, 体長 68.5–124.5 mm, 下関市豊北町神田上土井ヶ浜沖, 1997 年 6 月 4 日; HH-Pi 1479, 体長 154.8

mm, HH-Pi 1480, 体長 75.0 mm, HH-Pi 1481, 体長 92.6 mm, HH-Pi 1482, 体長 89.1 mm, HH-Pi 1483, 体長 85.0 mm, HH-Pi 1484, 体長 180.9 mm, 下関市豊北町神田上土井ヶ浜沖, 1997年6月10日; HH-Pi 1485, 体長 20.9 mm, HH-Pi 1486, 体長 107.3 mm, HH-Pi 1487, 体長 120 mm, HH-Pi 1541, 体長 122.8 mm, 下関市豊北町神田上土井ヶ浜沖, 1997年9月11日; HH-Pi 1488, 体長 119.8 mm, HH-Pi 1489, 体長 27.7 mm, HH-Pi 1490, 体長 141.2 mm, HH-Pi 1491, 体長 114.8 mm, 下関市豊北町神田上土井ヶ浜沖, 1997年10月6日; HH-Pi 1492, 体長 114.6 mm, HH-Pi 1493, 体長 117.1 mm, 下関市豊北町神田上土井ヶ浜沖, 1997年12月21日; HH-Pi 1494, 体長 147.9 mm, HH-Pi 1495, 体長 127.3 mm, HH-Pi 1496, 体長 70.9 mm, 下関市豊北町神田上土井ヶ浜沖, 1998年4月17日; HH-Pi 1497, 体長 96.4 mm, HH-Pi 1498, 体長 63.7 mm, HH-Pi 1499, 体長 58.2 mm, HH-Pi 1500, 体長 45.7 mm, HH-Pi 1501, 体長 136.1 mm, HH-Pi 1502, 体長 78.8 mm, HH-Pi 1503, 体長 58.1 mm, HH-Pi 1602, 3個体, 体長 98.9–136.3 mm, HH-Pi 1603, 体長 151.6 mm, 下関市豊北町神田上土井ヶ浜沖, 1998年5月9日; HH-Pi 1504, 体長 67.6 mm, 下関市豊北町神田上土井ヶ浜沖, 1998年5月23日; HH-Pi 1505, 体長 74.8 mm, HH-Pi 1506, 体長 94.9 mm, HH-Pi 1604, 体長 55.0 mm, 下関市豊北町神田上土井ヶ浜沖, 1998年6月4日; HH-Pi 1507, 体長 81.5 mm, HH-Pi 1508, 体長 83.2 mm, HH-Pi 1509, 体長 92.5 mm, HH-Pi 1510, 体長 139.2 mm, HH-Pi 1511, 体長 79.5 mm, HH-Pi 1512, 体長 82.8 mm, HH-Pi 1542, 2個体, 体長 98.0–105.1 mm, 下関市豊北町神田上土井ヶ浜沖, 1998年6月11日; HH-Pi 1513, 体長 72.7 mm, HH-Pi 1514, 体長 179.8 mm, HH-Pi 1515, 体長 75.1 mm, HH-Pi 1516, 体長 97.1 mm, HH-Pi 1517, 体長 98.7 mm, 下関市豊北町神田上土井ヶ浜沖, 1998年6月29日; HH-Pi 1518, 体長 90.2 mm, HH-Pi 1519, 体長 110.6 mm, HH-Pi 1520, 体長 111.7 mm, HH-Pi 1521, 体長 85.7 mm, HH-Pi 1522, 体長 57.0 mm, HH-Pi 1523, 体長 96.9 mm, HH-Pi 1524, 体長 86.8 mm, HH-Pi 1525, 体長 83.2 mm, HH-Pi 1526, 体長 98.3 mm, HH-Pi 1527, 体長 116.9 mm, HH-Pi 1528, 体長 135.8 mm, HH-Pi 1529, 体長 115.7 mm, HH-Pi 1530, 体長 111.3 mm, 下関市豊北町神田上土井ヶ浜沖, 1998年7月9日; HH-Pi 1531, 体長 98.6 mm, 下関市豊北町神田上土井ヶ浜沖; HH-Pi 1532, 体長 80.6 mm, 下関市豊北町神田上土井ヶ浜沖, 1994年5月18日; HH-Pi 1533, 体長 121.2 mm, 下関市豊北町神田上土井ヶ浜沖, 1994年6月8日; HH-Pi 1534, 体長 74.6 mm, 下関市豊北町神田上土井ヶ浜沖, 1997年2月8日; HH-Pi 1535, 体長 88.7 mm, 下関市永田本町沖, 2002年10月17日; HH-Pi 1536, 体長 69.5 mm, 下関市豊北町神田上土井ヶ浜沖, 1996年5月2日; HH-Pi 1537, 体長 125.3 mm, 下関市豊北町神田上土井ヶ浜沖, 1996年6月13日; HH-Pi 1538, 体長 105.0 mm, 下関市豊北町神田上土井ヶ浜沖, 1996年6月27日; HH-Pi 1543, 体長 83.2 mm, 下関市豊北町神田上土井ヶ浜沖, 1999年6月14日; HH-Pi 1544, 2個体, 体長 53.7–139.5 mm, HH-Pi 1562, 2個体, 体長 53.8–100.0 mm, HH-Pi 1563, 体長 174.6 mm, HH-Pi 1564, 体長 144.5 mm, HH-Pi 1565, 体長 132.9 mm, HH-Pi 1566, 3個体, 体長 148.5 mm, HH-Pi 1567, 10個体, 体長 45.8–171.4 mm, HH-Pi 1568, 3個体, 体長 82.6–126.4 mm, 下関市豊北町神田上土井ヶ浜沖, 2000年5月25日; HH-Pi 1545, 2個体, 体長 49.7–63.0 mm, HH-Pi 1546, 体長 91.5 mm, 下関市豊北町神田上土井ヶ浜沖, 1999年5月14日; HH-Pi 1547, 3個体, 体長 61.8–75.4 mm, HH-Pi 1548, 体長 71.4 mm, HH-Pi 1549, 体長 114.6 mm, HH-Pi 1550, 体長 77.7 mm, HH-Pi 1551, 2個体, 体長 76.7–107.8 mm, 下関市豊北町神田上土井ヶ浜沖, 1999年6月14日; HH-Pi 1552, 体長 79.9 mm, HH-Pi 1553, 体長 77.8 mm, 下関市豊北町神田上土井ヶ浜沖, 1999年7月7日; HH-Pi 1554, 体長 31.3 mm, HH-Pi 1555, 体長 34.0 mm, HH-Pi 1556, 体長 54.6 mm, HH-Pi 1557, 2個体, 体長 38.3–44.4 mm, 下関市豊北町神田上土井ヶ浜沖, 1999年10月18日; HH-Pi 1558, 体長 110.0 mm, 下関市豊北町神田上土井ヶ浜沖, 1999年11月10日; HH-Pi 1559, 2個体, 体長 91.0–121.4 mm, 下関市豊北町神田上土井ヶ浜沖, 1999年12月8日; HH-Pi 1560, 体長 76.7 mm, 下関市豊北町神田上土井ヶ浜沖, 2000年2月10日; HH-Pi 1561, 体長 113.1 mm, 下関市豊北町神田上土井ヶ浜沖, 2000年4月21日; HH-Pi 1569, 2個体, 体長 69.1–124.6 mm, HH-Pi 1570, 体長 158.2 mm, HH-Pi 1571, 3個体, 体長 69.3–107.3 mm, HH-Pi 1572, 4個体, 体長 97.6–156.3 mm, HH-Pi 1573, 体長

94.6 mm, HH-Pi 1574, 体長 71.6 mm, 下関市豊北町神田上土井ヶ浜沖, 2000 年 6 月 21 日; HH-Pi 1575, 体長 77.3 mm, HH-Pi 1576, 6 個体, 体長 87.1–113.6 mm, HH-Pi 1577, 3 個体, 体長 74.2–112.9 mm, HH-Pi 1578, 4 個体, 体長 102.4–174.6 mm, HH-Pi 1579, 体長 181.4 mm, 下関市豊北町神田上土井ヶ浜沖, 2000 年 7 月 12 日; HH-Pi 1580, 2 個体, 体長 39.9–107.1 mm, HH-Pi 1581, 2 個体, 体長 42.4–44.7 mm, 下関市豊北町神田上土井ヶ浜沖, 2000 年 9 月 28 日; HH-Pi 1582, 体長 101.6 mm, HH-Pi 1583, 2 個体, 体長 64.9–98.4 mm, 下関市豊北町神田上土井ヶ浜沖, 2000 年 11 月 24 日; HH-Pi 1584, 4 個体, 体長 45.7–141.0 mm, 下関市豊北町神田上土井ヶ浜沖, 2001 年 4 月 19 日; HH-Pi 1585, 5 個体, 体長 18.0–131.2 mm, HH-Pi 1586, 5 個体, 体長 43.2–101.2 mm, HH-Pi 1587, 体長 52.1 mm, HH-Pi 1588, 体長 55.0 mm, HH-Pi 1589, 4 個体, 体長 31.4–114.4 mm, HH-Pi 1590, 2 個体, 体長 52.9–212.5 mm, HH-Pi 1591, 3 個体, 体長 55.9–68.1 mm, HH-Pi 1591, 4 個体, 体長 53.3–65.7 mm, HH-Pi 1592, 2 個体, 体長 42.3–61.4 mm, HH-Pi 1593, 2 個体, 体長 98.7–108.2 mm, HH-Pi 1594, 5 個体, 体長 35.9–65.9 mm, 下関市豊北町神田上土井ヶ浜沖, 2001 年 9 月 27 日; HH-Pi 1595, 2 個体, 体長 114.4–120.3 mm, HH-Pi 1596, 12 個体, 体長 47.5–173.7 mm, 下関市豊北町神田上土井ヶ浜沖, 2001 年 9 月 28 日 HH-Pi 1605, 体長 96.6 mm, 下関市豊北町神田上土井ヶ浜沖, 1998 年 9 月 1 日; HH-Pi 1606, 2 個体, 体長 90.8–94.4 mm, HH-Pi 1607, 体長 99.7 mm, HH-Pi 1608, 2 個体, 体長 23.0–23.8 mm, HH-Pi 1609, 体長 109.5 mm, 下関市豊北町神田上土井ヶ浜沖, 1998 年 9 月 10 日; HH-Pi 1610, 体長 41.1 mm, HH-Pi 1611, 体長 26.8 mm, HH-Pi 1612, 体長 46.6 mm, 下関市豊北町神田上土井ヶ浜沖, 1998 年 10 月 5 日; HH-Pi 1613, 体長 72.6 mm, HH-Pi 1614, 2 個体, 体長 48.6–85.0 mm, 下関市豊北町神田上土井ヶ浜沖, 1998 年 12 月 17 日; HH-Pi 1615, 体長 148.1 mm, 下関市豊北町神田上土井ヶ浜沖, 1999 年 2 月 15 日; HH-Pi 1616, 体長 101.2 mm, HH-Pi 1617, 2 個体, 体長 64.9–71.4 mm, 下関市豊北町神田上土井ヶ浜沖, 1999 年 3 月 17 日; HH-Pi 1618, 体長 48.9 mm, 下関市豊北町神田上土井ヶ浜沖, 1999 年 3 月 17 日; HH-Pi 1619, 体長 69.8 mm, 下関市豊北町神田上土井ヶ浜沖, 1999 年 4 月 15 日.

画像 KPM-NR 159289, 長門市仙崎青海島沖, 水深 5 m.

Syphurus longirostris Lee, Munroe and Kai, 2016

ハシナガアズマガレイ

標本 SNFR 19821, 体長 37.5 mm, 山口県沖, 水深 82–85 m, 2012 年 6 月 12 日.

備考 本種の同定と標準和名は Lee et al. (2016) に従った.

Syphurus orientalis (Bleeker, 1879)

アズマガレイ (Fig. 5K)

標本 FAKU 145360, 体長 76.2 mm, 山口県沖, 2017 年 7 月 12 日.

備考 FAKU 145360 は、背鰭軟条数 99, 臀鰭軟条数 87, 尾鰭軟条数 11, 体に暗色帯がある, 頭と体に有孔側線がないなどの特徴が, Bleeker (1879) の *Aphoristia orientalis*, 落合 (1988), 大橋・本村 (2011), Lee et al. (2013), 山田・柳下 (2013c), Lee et al. (2017) の *Syphurus orientalis* と形態および色彩の記載がよく一致したため, 本種に同定した.

日本沿岸海域からは、駿河湾, 三重県尾鷲, 高知県, 鹿児島県志布志湾, 東シナ海からの記録があるが (落合, 1988; Shinohara et al., 2001; 大橋・本村, 2011; Lee et al., 2013; 山田・柳下, 2013c), 日本海からは報告がない. したがって, 本報告は証拠標本を伴う日本海初の記録である.

Cynoglossidae, undetermined genus and species

ウシノシタ科の未同定種

画像 KPM-NR 150268, 長門市仙崎青海島沖, 水深 3 m.

Tetraodontiformes フグ目**Triacanthodidae ベニカワムキ科*****Triacanthodes anomalus* (Temminck and Schlegel, 1850)****ベニカワムキ**

標本 FAKU 133211, 2 個体, 体長 50.0–66.1 mm, 萩市沖, 2011 年 4 月 6 日; HH-Pi 531, 体長 37.6 mm, 下関市豊北町北宇賀沖, 2008 年 4 月 17 日; HH-Pi 816, 体長 87.8 mm, HH-Pi 817, 体長 89.4 mm, 萩市見島西沖, 水深 120 m, 2018 年 3 月 14 日; HH-Pi 860, 体長 74.4 mm, 長崎県対馬東沖, 水深 120 m, 2017 年 3 月 24 日.

画像 KPM-NR 198511, 萩市沖, 水深 60 m, 2011 年 4 月 6 日; KPM-NR 198695, 体長 87.8 mm, KPM-NR 198696, 体長 89.4 mm, 萩市見島西沖, 水深 120 m, 2018 年 3 月 14 日; KPM-NR 198742, 長崎県対馬東沖, 水深 120 m, 2017 年 3 月 24 日.

Triacanthidae ギマ科***Triacanthus biaculeatus* (Bloch, 1786)****ギマ**

文献 藤原ほか (2018) : KAUM-I. 97369 (fig. 11A), 下関市福江沖.

Balistidae モンガラカワハギ科***Balistoides conspicillum* (Bloch and Schneider, 1801)****モンガラカワハギ**

画像 KPM-NR 205052, 萩市相島, 2017 年 9 月 13 日.

Canthidermis maculata* (Bloch, 1786)*アミモンガラ**

標本 FAKU 132744, 体長 138.9 mm, 長門市仙崎青海島沖, 2010 年 8 月 22 日; HH-Pi 219, 萩市大井沖, 1992 年 12 月 25 日; HH-Pi 286, 体長 165.5 mm, 萩市沖, 2009 年 12 月 20 日.

画像 KPM-NR 198052, 長門市仙崎青海島沖, 2010 年 8 月 22 日.

文献 藤原ほか (2018) : NFU-510-733 (fig. 11B), 下関市吉見沖.

Pseudobalistes flavimarginatus* (Rüppell, 1829)*キヘリモンガラ**

文献 小林ほか (2006) : fig. 6-38, 長門市三隅下野波瀬沖.

Sufflamen chrysopterum* (Bloch and Schneider, 1801)*ツマジロモンガラ**

文献 河野ほか (2011a) : fig. 3-9, 萩市須佐沖.

Monacanthidae カワハギ科***Aluterus monoceros* (Linnaeus, 1758)****ウスバハギ**

画像 KPM-NR 198091, 長門市沖, 2012 年 9 月 16 日; KPM-NR 198092, 長門市沖, 2007 年 12 月 7 日.

Aluterus scriptus* (Osbeck, 1765)*ソウシハギ**

標本 HH-Pi 174, 体長 260.7 mm, 萩市沖, 乾燥標本.

画像 KPM-NR 198347, 長門市日置上黄波戸沖, 2008年9月30日.

文献 藤原ほか (2018) : NFU-510-711 (fig. 11C), 下関市永田本町沖.

***Cantherhines dumerilii* (Hollard, 1854)**

ハクセイハギ

標本 HH-Pi 49, 体長 156.7 mm, 萩市沖.

画像 KPM-NR 203261, 山口県沖, 2018年12月21日.

***Chaetodermis penicilligera* (Cuvier, 1816)**

ヒゲハギ

標本 HH-Pi 282, 体長 82.1 mm, 下関市安岡本町沖, 水深 20 m, 2005年10月8日; HH-Pi 328, 体長 132.1 mm, 下関市豊浦町室津下沖, 2007年1月9日; HH-Pi 414, 体長 139.1 mm, 長門市油谷向津具下北沖, 水深 10 m, 2006年12月28日.

画像 KPM-NR 198463, 長門市油谷湾, 2005年11月24日.

文献 小林ほか (2006) : fig. 6-39, 下関市豊浦町室津下沖.

***Paramonacanthus oblongus* (Temminck and Schlegel, 1850)**

ヨソギ

標本 FAKU 133065, 長門市油谷湾, 2011年8月10日; HH-Pi 857, 体長 93.2 mm, 下関市沖, 2017年7月28日; HH-Pi 2647, 体長 60.6 mm, 下関市沖, 2019年6月22日.

画像 KPM-NR 33084, 萩市椿東沖, 水深 5 m; KPM-NR 150258, 長門市仙崎青海島沖, 水深 5 m; KPM-NR 198633, 長門市油谷湾, 2011年8月10日; KPM-NR 198739, 体長 93.2 mm, 下関市沖, 2017年7月28日; KPM-NR 203275, 体長 60.6 mm, 下関市沖, 2019年6月22日.

***Rudarius ercodes* Jordan and Fowler, 1902**

アミメハギ

標本 HH-Pi 996, 体長 11.7 mm, HH-Pi 997, 体長 14.1 mm, 下関市豊北町神田上土井ヶ浜沖, 1999年10月18日; HH-Pi 998, 9 個体, 体長 7.1–16.0 mm, HH-Pi 999, 2 個体, 体長 0.75–1.46 mm, HH-Pi 1000, 3 個体, 体長 7.2–12.6 mm, HH-Pi 1001, 8 個体, 体長 6.1–9.6 mm, 下関市豊北町神田上土井ヶ浜沖, 2001年9月27日; HH-Pi 1002, 体長 9.4 mm, HH-Pi 1003, 体長 8.2–14.1 mm, 下関市豊北町神田上土井ヶ浜沖, 1999年10月18日; NSMT-P 64456, 体長 41.0 mm, 下関市豊浦町室津下沖; OMNH-P 45838, 2 個体, 23.1–26.1 mm, 長門市三隅下野波瀬漁港, 2014年11月10日.

画像 KPM-NR 198116, 下関市豊浦町室津下沖, 2006年9月25日.

***Stephanolepis cirrhifer* (Temminck and Schlegel, 1850)**

カワハギ

標本 HH-Pi 460, 体長 49.3 mm, 阿武郡阿武町宇田沖, 2010年9月16日; HH-Pi 870, 体長 49.4 mm, 長門市日置上黄波戸沖, 2017年7月22日.

画像 KPM-NR 33090, 萩市椿東沖, 水深 5 m; KPM-NR 198160, 長門市沖, 1997年6月30日; KPM-NR 198161, 長門市沖, 2012年6月1日; KPM-NR 198752, 長門市日置上黄波戸沖, 2017年7月22日; KPM-NR 198927, 下関市豊浦町室津下沖, 2006年10月31日.

文献 藤原ほか (2018) : KAUM-I. 97273, KAUM-I. 97353, KAUM-I. 97354, KAUM-I. 97355 (fig. 11D), 萩市見島沖.

***Thamnaconus hypargyreus* (Cope, 1871)**

サラサハギ

標本 SNFR 12639, 体長 141.5 mm, 山口県沖, 水深 128 m, 1991 年 7 月 16 日.

画像 KPM-NR 198293, 長門市沖, 1998 年 9 月 9 日.

***Thamnaconus modestoides* (Barnard, 1927)**

キビレカワハギ

標本 HH-Pi 794, 体長 306.0 mm, 下関市豊浦町室津下沖, 2015 年 4 月 24 日.

画像 KPM-NR 198672, 体長 306.0 mm, 下関市豊浦町室津下沖, 2015 年 4 月 24 日.

文献 藤原ほか (2018) : KAUM-I. 97292, KAUM-I. 97293 (fig. 11E), 萩市見島沖.

***Thamnaconus modestus* (Günther, 1877)**

ウマヅラハギ

標本 HH-Pi 485, 体長 101.0 mm, 長門市日置中二位ノ浜沖, 1997 年 9 月 4 日; KAUM-I. 97383, 体長 273.7 mm, 長門市仙崎青海島沖, 2015 年 7 月 14 日; KAUM-I. 97384, 体長 280.1 mm, 長門市仙崎青海島沖, 2015 年 7 月 14 日.

画像 KPM-NR 198101, 萩市見島西沖, 2011 年 3 月 14 日; KPM-NR 198102, 長門市油谷津黃沖, 2012 年 5 月 22 日; KPM-NR 198103, 長門市油谷津黃沖, 2010 年 5 月 4 日.

文献 藤原ほか (2018) : KAUM-I. 97356 (fig. 11F), 萩市見島沖.

Aracanidae イトマキフグ科***Kentrocapros aculeatus* (Houttuyn, 1782)**

イトマキフグ

標本 HH-Pi 47, 体長 81.0 mm, 萩市沖, 乾燥標本; HH-Pi 847, 体長 113.9 mm, 長崎県対馬沖, 水深 130 m, 2009 年 4 月 14 日; FAKU 145968, 体長 58.4 mm, 長門市仙崎湾, 2017 年 12 月 15 日.

画像 KPM-NR 198729, 体長 113.9 mm, 長崎県対馬沖, 水深 130 m, 2009 年 4 月 14 日.

Ostraciidae ハコフグ科***Lactoria cornuta* (Linnaeus, 1758)**

コンゴウフグ

標本 FAKU 145968, 体長 58.4 mm, 長門市仙崎湾, 2017 年 12 月 15 日.

画像 KPM-NR 198893, 体長 58.4 mm, 長門市仙崎湾, 2017 年 12 月 15 日.

***Lactoria diaphana* (Bloch and Schneider, 1801)**

ウミスズメ

標本 HH-Pi 44, 体長 121.5 mm, 萩市沖, 乾燥標本.

***Ostracion cubicum* Linnaeus, 1758**

ミナミハコフグ

画像 KPM-NR 205050, 長門市仙崎青海島, 2017 年 10 月 15 日.

***Ostracion immaculatum* Temminck and Schlegel, 1850**

ハコフグ

標本 HH-Pi 45, 体長 187.5 mm, 萩市沖, 乾燥標本; HH-Pi 210, 体長 155.9 mm, 萩市沖.

文献 藤原ほか (2018) : KAUM-I. 97357 (fig. 11G), 萩市見島沖.

***Ostracion rhinorhynchos* Bleeker, 1851**

テングハコフグ

文献 小林ほか (2006) : fig. 6-40, 長門市三隅下野波瀬沖.

Tetraodontidae フグ科***Arothron caeruleopunctatus* Matsuura, 1994**

アラレフグ

標本 HH-Pi 546, 体長 580 mm, 阿武郡阿武町宇田沖, 2010 年 12 月 1 日.

***Arothron firmamentum* (Temminck and Schlegel, 1850)**

ホシフグ

標本 HH-Pi 38, 体長 219.0 mm, 萩市沖; HH-Pi 214, 体長 300.0 mm, 萩市沖; HH-Pi 318, 体長 260.0 mm, 萩市見島八里ヶ瀬, 2004 年 12 月 18 日.

画像 KPM-NR 198524, 山口県沖, 1998 年 11 月 15 日.

文献 藤原ほか (2018) : KAUM-I. 87346 (fig. 11H), 萩市見島沖.

***Arothron hispidus* Linnaeus, 1758**

サザナミフグ

標本 HH-Pi 2672, 体長 255.0 mm, 長門市仙崎沖, 2019 年 11 月 20 日.

***Arothron reticularis* (Bloch and Schneider, 1801)**

ワモンフグ

標本 HH-Pi 520, 下関市沖, 2007 年 10 月 20 日.

***Arothron stellatus* (Anonymous, 1798)**

モヨウフグ

標本 HH-Pi 36, 体長 82.3 mm, 萩市沖; HH-Pi 37, 体長 80.3 mm, 萩市椿東中小畠沖, 1953 年 11 月 14 日; HH-Pi 278, 体長 117.1 mm, 長門市三隅下野波瀬沖, 2006 年 1 月 8 日; HH-Pi 330, 体長 104.4 mm, 萩市三見沖, 2007 年 10 月 26 日; HH-Pi 583, 体長 94.6 mm, 萩市尾島北沖, 2016 年 9 月 7 日; HH-Pi 657, 萩市大井沖, 2016 年 12 月 9 日.

画像 KPM-NR 198615, 萩市沖, 2016 年 12 月 9 日.

備考 本種の学名は松浦 (2017) に従った.

***Canthigaster rivulata* (Temminck and Schlegel, 1850)**

キタマクラ

標本 HH-Pi 297, 体長 130.7 mm, 萩市椿東越ヶ浜沖, 2004 年 7 月 6 日; HH-Pi 703, 体長 68.1 mm, 萩市見島沖, 2008 年 1 月 17 日; HH-Pi 877, 体長 105.2 mm, 下関市蓋井島西 2 マイル沖, 水深 40–50 m, 2012 年 8 月 11 日; HH-Pi 878, 体長 57.0 mm, 下関市蓋井島西 53 マイル沖, 水深 58 m, 2012 年 7 月 16 日; HH-Pi 879, 体長 104.3 mm, 下関市沖, 2017 年 6 月 19 日; HH-Pi 880, 体長 106.4 mm, 下関市沖, 2017 年 6 月 4 日.

画像 KPM-NR 198759, 体長 105.2 mm, 下関市蓋井島西 2 マイル沖, 水深 40–50 m, 2012 年 8 月 11 日; KPM-NR 198760, 体長 57.0 mm, 下関市蓋井島西 53 マイル沖, 水深 58 m, 2012 年 7 月 16 日; KPM-NR 198761, 体長 104.3 mm, 下関市沖, 2017 年 6 月 19 日; KPM-NR 198762, 体長 106.4 mm, 下関市沖, 2017 年 6 月 4 日.

Lagocephalus cheesemani (Clarke, 1897)

クロサバフグ

標本 NSMT-P 101220, 体長 240.4 mm, 下関市豊北町角島沖, 水深 70 m, 2009 年 10 月 3 日.

文献 藤原ほか (2018) : NFU-510-2125 (fig. 11I), 下関市永田本町沖.

備考 本種の学名は Matsuura and Satoh (2017) に従った.

Lagocephalus inermis (Temminck and Schlegel, 1850)

カナフグ

標本 HH-Pi 39, 体長 545 mm, 萩市沖, 剥製.

画像 KPM-NR 198154, 長門市沖, 2007 年 5 月 22 日.

文献 藤原ほか (2018) : NFU-510-53 (fig. 11J), 下関市蓋井島と六連島の間.

Lagocephalus lagocephalus (Linnaeus, 1758)

クマサカフグ

標本 FAKU 143693, 山口県沖, 2016 年 11 月 29 日; HH-Pi 40, 体長 420 mm, 萩市沖; HH-Pi 2598, 体長 390 mm, 長門市三隅下野波瀬沖, 2018 年 11 月 26 日.

画像 KPM-NR 198204, 山口県沖, 2016 年 11 月 29 日; KPM-NR 198673A, B, 長崎県対馬北東沖, 2016 年 12 月 22 日; KPM-NR 203226, 体長 390 mm, 長門市三隅下野波瀬沖, 2018 年 11 月 26 日.

文献 河野ほか (2020) : HH-Pi 795, 長崎県対馬北東沖.

Lagocephalus sceleratus (Gmelin, 1789)

センニンフグ

標本 FAKU 133316, 長門市仙崎湾笹島沖, 2011 年 7 月 5 日; HH-Pi 404, 体長 370 mm, 萩市相島沖, 2004 年 9 月 17 日; HH-Pi 819, 長門市三隅下野波瀬沖, 2018 年 5 月 11 日.

画像 KPM-NR 198346A, B, 長門市仙崎湾笹島沖, 2011 年 7 月 5 日; KPM-NR 198698, 長門市三隅下野波瀬沖, 2018 年 5 月 11 日.

Lagocephalus spadiceus (Richardson, 1845)

シロサバフグ

標本 FAKU 133317, FAKU 133318, 長門市油谷向津具下川尻岬北沖, 水深 108 m, 2011 年 6 月 14 日.

画像 KPM-NR 198330, 長門市油谷向津具下川尻岬北沖, 水深 108 m, 2011 年 6 月 14 日; KPM-NR 198331, 長門市沖, 1997 年 7 月 1 日; KPM-NR 198332, 深川湾, 2010 年 10 月 19 日.

文献 藤原ほか (2018) : KAUM-I. 97208, KAUM-I. 97209 (fig. 11K), 萩市見島沖.

Sphoeroides pachygaster (Müller and Troschel, 1848)

ヨリトフグ

標本 HH-Pi 209, 体長 213.0 mm, 萩市沖; HH-Pi 529, 萩市椿東越ヶ浜沖, 2013 年 3 月 6 日; HH-Pi 966, 体長 312 mm, 長門市日置上黄波戸沖, 2018 年 1 月 18 日.

画像 KPM-NR 198636, 長門市沖, 1998 年 9 月 9 日; KPM-NR 198942, 長門市日置上黄波戸沖, 2018 年 1 月 18 日.

Takifugu alboplumbeus (Richardson, 1845)

クサフグ

標本 FAKU 145424, 下関市豊北町角島西沖, 2017 年 2 月 2 日; HH-Pi 35, 体長 99.0 mm, 萩

市山田倉江沖, 1953年5月18日; HH-Pi 667, 体長89.7 mm, 萩市堀内菊ヶ浜沖, 2009年5月28日; HH-Pi 840, 体長120.3 mm, 下関市彦島迫町西山町沖, 2017年7月10日; HH-Pi 1341, 体長75.6 mm, 下関市豊北町神田上土井ヶ浜沖, 1996年5月17日; HH-Pi 1342, 体長58.9 mm, HH-Pi 1389, 体長60 mm, HH-Pi 1390, 2個体, 体長56.9–65.0 mm, 下関市豊北町神田上土井ヶ浜沖, 1997年6月4日; HH-Pi 1343, 体長57.1 mm, HH-Pi 1403, 体長61.1 mm, 下関市豊北町神田上土井ヶ浜沖, 1998年6月29日; HH-Pi 1344, 体長約96.6 mm(尾部欠損), 下関市豊北町神田上土井ヶ浜沖, 1999年6月14日; HH-Pi 1345, 2個体, 体長80.5–84.2 mm, HH-Pi 1346, 2個体, 体長91.9–120.7 mm, 下関市豊北町神田上土井ヶ浜沖, 2000年5月25日; HH-Pi 1347, 2個体, 体長62.1–99.8 mm, 下関市豊北町神田上土井ヶ浜沖, 2000年6月21日; HH-Pi 1348, 体長20.3 mm, 下関市豊北町神田上土井ヶ浜沖, 2000年7月12日; HH-Pi 1349, 体長56.4 mm, HH-Pi 1350, 5個体, 体長61.2–124.5 mm, 下関市豊北町神田上土井ヶ浜沖, 2001年4月19日; HH-Pi 1351, 体長107.9 mm, HH-Pi 1352, 体長69.0 mm, HH-Pi 1353, 4個体, 体長64.7–76.1 mm, HH-Pi 1354, 4個体, 体長65.5–77.1 mm, HH-Pi 1355, 2個体, 体長87.7–112.9 mm, HH-Pi 1356, 3個体, 体長67.0–72.9 mm, 下関市豊北町神田上土井ヶ浜沖, 2001年9月27日; HH-Pi 1357, 14個体, 体長66.3–117.2 mm, HH-Pi 1358, 4個体, 体長78.0–97.1 mm, 下関市豊北町神田上土井ヶ浜沖, 2001年9月28日; HH-Pi 1359, 2個体, 体長35.7–38.1 mm, HH-Pi 1360, 5個体, 体長32.3–39.7 mm, HH-Pi 1361, 体長37.0 mm, HH-Pi 1362, 3個体, 体長33.1–40.4 mm, HH-Pi 1363, 体長28.4 mm, HH-Pi 1364, 5個体, 体長31.7–36.4 mm, HH-Pi 1365, 2個体, 体長31.7–36.3 mm, 下関市豊北町神田上土井ヶ浜沖, 1996年9月4日; HH-Pi 1366, 体長39.8 mm, HH-Pi 1367, 3個体, 体長36.7–45.3 mm, HH-Pi 1368, 3個体, 体長36.0–40.4 mm, HH-Pi 1369, 4個体, 体長36.1–43.3 mm, HH-Pi 1370, 3個体, 体長36.9–37.1 mm, HH-Pi 1371, 5個体, 体長24.8–39.7 mm, HH-Pi 1372, 4個体, 体長33.3–40.3 mm, HH-Pi 1373, 2個体, 体長31.5–35.8 mm, HH-Pi 1374, 3個体, 体長34.9–40.3 mm, 下関市豊北町神田上土井ヶ浜沖, 1996年10月4日; HH-Pi 1375, 2個体, 体長38.0–38.4 mm, 下関市豊北町神田上土井ヶ浜沖, 1996年10月6日; HH-Pi 1376, 体長37.7 mm, HH-Pi 1377, 体長39.2 mm, HH-Pi 1378, 4個体, 体長35.3–40.1 mm, HH-Pi 1379, 体長36.3 mm, 下関市豊北町神田上土井ヶ浜沖, 1996年10月21日; HH-Pi 1380, 3個体, 体長42.4–49.2 mm, HH-Pi 1381, 体長41.0 mm, HH-Pi 1382, 2個体, 体長37.7–37.8 mm, HH-Pi 1383, 体長35.7 mm, 下関市豊北町神田上土井ヶ浜沖, 1996年11月9日; HH-Pi 1384, 体長50.7 mm, 下関市豊北町神田上土井ヶ浜沖, 1996年12月19日; HH-Pi 1385, 2個体, 体長42.3–42.7 mm, HH-Pi 1386, 2個体, 体長52.5–57.5 mm, 下関市豊北町神田上土井ヶ浜沖, 1997年4月8日; HH-Pi 1387, 体長48.9 mm, 下関市豊北町神田上土井ヶ浜沖, 1997年4月25日; HH-Pi 1388, 体長62.4 mm, 下関市豊北町神田上土井ヶ浜沖, 1997年5月30日; HH-Pi 1391, 体長56 mm, 下関市豊北町神田上土井ヶ浜沖, 1997年6月10日; HH-Pi 1392, 7個体, 体長35.2–40.9 mm, HH-Pi 1393, 体長44.3 mm, HH-Pi 1394, 体長67.2 mm, 下関市豊北町神田上土井ヶ浜沖, 1997年9月11日; HH-Pi 1396, 体長56.2 mm, HH-Pi 1397, 2個体, 体長53.6–55.8 mm, HH-Pi 1398, 体長59.7 mm, 下関市豊北町神田上土井ヶ浜沖, 1998年2月6日; HH-Pi 1399, 体長61.8 mm, HH-Pi 1400, 体長53.6 mm, 下関市豊北町神田上土井ヶ浜沖, 1998年4月17日; HH-Pi 1401, 体長57.8 mm, 下関市豊北町神田上土井ヶ浜沖, 1998年6月4日; HH-Pi 1402, 体長65.4 mm, 下関市豊北町神田上土井ヶ浜沖, 1998年6月11日; HH-Pi 1404, 体長52.9 mm, 下関市豊北町神田上土井ヶ浜沖, 1998年7月9日; HH-Pi 1405, 体長46.2 mm, HH-Pi 1406, 2個体, 体長69.9–72.3 mm, HH-Pi 1407, 3個体, 体長48.3–54.7 mm, HH-Pi 1408, 体長39.7 mm, HH-Pi 1426, 体長45.1 mm, 下関市豊北町神田上土井ヶ浜沖, 1998年10月5日; HH-Pi 1409, 体長51.3 mm, 下関市豊北町神田上土井ヶ浜沖, 1998年11月19日; HH-Pi 1411, 2個体, 体長65.3–90.6 mm, HH-Pi 1412, 体長50.1 mm, 下関市豊北町神田上土井ヶ浜沖, 1999年1月17日; HH-Pi 1413, 体長72.6 mm, HH-Pi 1414, 体長55.0 mm, 下関市豊北町神田上土井ヶ浜沖, 1999年2月15日; HH-Pi 1415, 3個体, 体長64.3–79.7 mm, HH-Pi 1416, 体長92.0 mm, HH-Pi 1417, 2個体, 体長61.5–103.2 mm, HH-

Pi 1418, 体長 59.1 mm, HH-Pi 1419, 体長 51.2 mm, HH-Pi 1420, 体長 56.1 mm, HH-Pi 1421, 体長 79.4 mm, 下関市豊北町神田上土井ヶ浜沖, 1999 年 3 月 17 日; HH-Pi 1422, 4 個体, 体長 46.8–62.9 mm, HH-Pi 1423, 体長 96.3 mm, HH-Pi 1424, 体長 74.7 mm, HH-Pi 1425, 体長 62.6 mm, 下関市豊北町神田上土井ヶ浜沖, 1999 年 4 月 15 日; HH-Pi 1427, 7 個体, 体長 52.3–75.4 mm, 下関市豊北町神田上土井ヶ浜沖, 1999 年 6 月 14 日.

画像 KPM-NR 198200, 長門市沖, 1997 年 7 月 11 日; KPM-NR 198201A, B, 下関市豊北町角島西沖, 2017 年 2 月 2 日; KPM-NR 198719, 体長 120.3 mm, 下関市彦島迫町西山町沖, 2017 年 7 月 10 日.

文献 藤原ほか (2018) : KAUM-I. 97326 (fig. 11L), 萩市見島沖.

備考 本種の学名は Matsuura (2017) に従った.

Takifugu chinensis (Abe, 1949)

カラス

文献 松浦 (2017) : p. 53, 対馬北東沖.

Takifugu flavidus (Li, Wang and Wang, 1975)

サンサイフグ

文献 園山・松浦 (2019) : HH-Pi 215 (fig. A–C), 萩市沖.

Takifugu flavipterus Matsuura, 2017

コモンフグ

標本 FAKU 145423, 下関市豊北町角島西沖, 2017 年 2 月 2 日; HH-Pi 212, 体長 168.7 mm, 萩市沖; HH-Pi 775, 体長 154.1 mm, 下関市豊浦町室津下沖, 2017 年 3 月 31 日; HH-Pi 824, 体長 102.4 mm, 長門市三隅下野波瀬沖, 2016 年 12 月 8 日; HH-Pi 1624, 体長 43.4 mm, 下関市豊北町神田上土井ヶ浜沖, 2000 年 9 月 28 日.

画像 KPM-NR 198267, 長門市沖, 1997 年 7 月 11 日; KPM-NR 198268A, B, 下関市豊北町角島西沖, 2017 年 2 月 2 日; KPM-NR 198083, 下関市豊浦町室津下沖, 2017 年 3 月 31 日; KPM-NR 198702, 体長 102.4 mm, 長門市三隅下野波瀬沖, 2016 年 12 月 8 日.

文献 松浦 (2017) : NSMT-P 124758 (p. 56), 下関市豊北町神田上鼠島沖; Matsuura (2017) : FAKU 132937, 山口県沖; Matsuura (2017) : NSMT-P 124757, NSMT-P 124758 (ホロタイプ, fig. 6), 下関市豊北町神田上鼠島沖.

備考 本種の学名は Matsuura (2017) に従った.

Takifugu oblongus (Bloch, 1786)

タキフグ

標本 FAKU 133198, 体長 193.3 mm, 長門市仙崎青海島北沖, 2011 年 4 月 18 日; FAKU 145972, 長門市沖, 2009 年 5 月 18 日.

画像 KPM-NR 198359A, B, 長門市仙崎青海島沖, 水深 10 m, 2011 年 4 月 18 日; KPM-NR 198360, 長門市沖, 2009 年 5 月 18 日.

文献 酒井・藤田 (2009) : NSMT-P 93290 (fig. 1A–B), 萩市沖.

備考 畑ほか (2012) で所在不明とされた山口県日本海産のタキフグは FAKU 145972 である.

Takifugu pardalis (Temminck and Schlegel, 1850)

ヒガンフグ

標本 HH-Pi 208, 体長 176.7 mm, 萩市沖; HH-Pi 957, 体長 41.2 mm, 下関市豊浦町室津下沖, 水深 1 m, 2018 年 7 月 24 日.

画像 KPM-NR 198456, 長門市沖, 1997年12月26日; KPM-NR 198457, 長門市沖, 2012年5月31日; KPM-NR 198458, 長門市沖, 2012年6月1日; KPM-NR 198918, 下関市豊浦町室津下沖, 水深1m, 2018年7月24日.

文献 藤原ほか (2018) : KAUM-I. 95641 (fig. 11M), 萩市見島沖.

***Takifugu porphyreus* (Temminck and Schlegel, 1850)**

マフグ

標本 HH-Pi 213, 萩市沖; HH-Pi 664, 体長71.2mm, 萩市堀内菊ヶ浜沖, 2009年6月8日.

画像 KPM-NR 198567, 山口県沖, 1998年11月15日.

***Takifugu rubripes* (Temminck and Schlegel, 1850)**

トラフグ

標本 HH-Pi 211, 萩市沖.

文献 藤原ほか (2018) : NFU-510-2023 (fig. 11N), 下関市永田本町沖.

***Takifugu snyderi* (Abe, 1988)**

ショウサイフグ

標本 HH-Pi 1700, 体長82.5mm, 下関市豊北町神田上土井ヶ浜沖, 2001年9月27日; NSMT-P 114776, 6個体, 体長51.8-67.0mm, 下関市永田本町沖, 2012年9月24日.

画像 KPM-NR 198321, 長門市沖, 2012年6月1日; KPM-NR 198322, 下関市豊北町角島沖, 2012年12月10日; KPM-NR 198323, 長門市通沖, 2016年9月7日.

文献 藤原ほか (2018) : KAUM-I. 97363 (fig. 11O), 下関市蓋井島と六連島の間.

***Takifugu stictonotus* (Temminck and Schlegel, 1850)**

ゴマフグ

標本 HH-Pi 217, 体長390mm, 萩市沖; HH-Pi 862, 体長260.0mm, 萩市沖, 2017年5月12日.

画像 KPM-NR 198258, 長崎県対馬北東沖, 2012年3月30日; KPM-NR 198744, 萩市沖, 2017年5月12日.

文献 藤原ほか (2018) : KAUM-I. 97311 (fig. 11P), 萩市見島沖.

***Takifugu vermicularis* (Temminck and Schlegel, 1850)**

ナシフグ

標本 NSMT-P 118420, 体長217.7mm, 下関市吉見本町2マイル沖, 水深30m, 2013年12月6日.

文献 藤原ほか (2018) : KAUM-I. 95642 (fig. 11Q), 萩市見島沖; 藤原ほか (2018) : KAUM-I. 97368, 下関市蓋井島沖.

***Takifugu xanthopterus* (Temminck and Schlegel, 1850)**

シマフグ

標本 FAKU 138136, 萩市大島沖, 2015年5月21日; HH-Pi 218, 体長375mm, 萩市沖; HH-Pi 265, 体長250.0mm, 萩市堀内菊ヶ浜沖, 2009年5月9日; HH-Pi 340, 体長310mm, 萩市見島8マイル沖, 2011年10月18日; HH-Pi 780, 体長198.6mm, 下関市豊浦町室津下沖, 2017年3月31日; HH-Pi 861, 体長260.0mm, 萩市沖, 2017年5月12日.

画像 KPM-NR 198314, 萩市大島沖, 2015年5月21日; KPM-NR 198315, 長門市沖, 1977年11月24日; KPM-NR 198658, 体長198.6mm, 下関市豊浦町室津下沖, 2017年3月31日; KPM-NR 198743, 体長260.0mm, 萩市沖, 2017年5月12日.

文献 藤原ほか (2018) : NFU-510-48 (fig. 11R), 下関市蓋井島と六連島の間.

***Takifugu* sp.**

トラフグ属の未同定種

標本 HH-Pi 216, 体長 264.1 mm, 萩市沖.

Diodontidae ハリセンボン科

***Chilomycterus reticulatus* (Linnaeus, 1758)**

イシガキフグ

標本 HH-Pi 864, 体長 270.0 mm, 下関市吉見本町沖, 水深 20 m, 2016 年 10 月 19 日; HH-Pi 973, 体長 380 mm, 長門市日置上黄波戸沖, 2018 年 1 月 5 日.

画像 KPM-NR 198746, 下関市吉見本町沖, 水深 20 m, 2016 年 10 月 19 日; KPM-NR 198949, 長門市日置上黄波戸沖, 2018 年 1 月 5 日; KPM-NR 198882A, B, 長門市日置上黄波戸沖, 2018 年 1 月 4 日; KPM-NR 198883A, B, 体長 380 mm, 長門市日置上黄波戸沖, 2018 年 1 月 5 日.

***Cyclichthys orbicularis* (Bloch, 1785)**

メイタイシガキフグ

標本 HH-Pi 532, 体長 114.9 mm, 阿武郡阿武町惣郷沖, 2013 年 12 月 27 日.

文献 藤原ほか (2018) : KAUM-I. 97312 (fig. 11S), 萩市見島沖.

***Cyclichthys spilostylus* (Leis and Randall, 1982)**

イガグリフグ

標本 HH-Pi 351, 体長 172.0 mm, 下関市武久沖, 2006 年 1 月 27 日; HH-Pi 885, 体長 360.0 mm, 下関市豊北町角島沖, 水深 40 m, 2017 年 5 月 24 日.

画像 KPM-NR 198768A, B, 下関市豊北町角島沖, 水深 40 m, 2017 年 5 月 24 日.

***Diodon holocanthus* Linnaeus, 1758**

ハリセンボン

標本 HH-Pi 2626, 体長 133.4 mm, 下関市彦島沖, 2019 年 6 月 21 日.

画像 KPM-NR 203249, 体長 133.4 mm, 下関市彦島沖, 2019 年 6 月 21 日.

文献 堀ほか (2014) : HH-Pi 34, 萩市椿東中小畠沖; 堀ほか (2014) : HH-Pi 237, 萩市沖; 堀ほか (2014) : fig. 64, 萩市堀内菊ヶ浜沖; 藤原ほか (2018) : NFU-510-2046, NFU-510-2047 (fig. 11T), NFU-510-2048, 下関市吉見本町沖.

***Diodon hystrix* Linnaeus, 1758**

ネズミフグ

標本 HH-Pi 2628, 体長 227.0 mm, 長門市日置上黄波戸沖, 2018 年 12 月 3 日.

画像 KPM-NR 203251, 体長 227.0 mm, 長門市日置上黄波戸沖, 2018 年 12 月 3 日.

***Diodon liturosus* Shaw, 1804**

ヒトヅラハリセンボン

文献 藤原ほか (2018) : NFU-510-709 (fig. 11U), 下関市永田本町沖.

Moridae マンボウ科

***Masturus lanceolatus* (Liénard, 1840)**

ヤリマンボウ

Table 2. Newly recorded species from Yamaguchi Prefecture. The asterisk shows the first record from the Sea of Japan.

Orectolobiformes テンジクザメ目	
Hemiscylliidae テンジクザメ科	<i>Chiloscyllium punctatum</i> Müller and Henle, 1838 イヌザメ*
Carcharhiniformes メジロザメ目	
Proscylliidae タイワンザメ科	<i>Proscyllium habereri</i> Hilgendorf, 1904 タイワンザメ*
Rajiformes ガンギエイ目	
Rajidae ガンギエイ科	<i>Okamejei meerervoortii</i> (Bleeker, 1860) メダマカスベ
Arhynchobatidae ヒツヅビレカスベ科	<i>Bathyraja bergi</i> Dolganov, 1983 ソコガンギエイ
Anguilliformes ウナギ目	
Muraenidae ウツボ科	<i>Strophidon ui</i> Tanaka, 1918 タケウツボ*
Ophichthidae ウミヘビ科	<i>Callechelys kuro</i> (Kuroda, 1947) クロウミヘビ*
Siluriformes ナマズ目	
Ariidae ハマギギ科	<i>Netuma bilineata</i> (Valenciennes, 1840) オオサカハマギギ
Argentiniformes ニギス目	
Argentinidae ニギス科	<i>Glossanodon lineatus</i> (Matsubara, 1943) イチモンジイワシ*
Aulopiformes ヒメ目	
Chlorophthalmidae アオメエソ科	<i>Chlorophthalmus acutifrons</i> Hiyama, 1940 トモメヒカリ*
Paralepididae ハダカエソ科	<i>Lesistidium prolixum</i> Harry, 1953 ナメハダカ
Myctophiformes ハダカイワシ目	
Myctophidae ハダカイワシ科	<i>Benthosema pterotum</i> (Alcock, 1890) イワハダカ
Gadiformes タラ目	
Macrouridae ソコダラ科	<i>Ventrifossa garmani</i> (Jordan and Gilbert, 1904) サガミソコダラ*
Ophidiiformes アシロ目	
Ophidiidae アシロ科	<i>Ophidion asiro</i> (Jordan and Fowler, 1902) アシロ
Carapidae カクレウオ科	<i>Eurypleuron owasianum</i> (Matsubara, 1953) ソコカクレウオ
Lophiiformes アンコウ目	
Antennariidae カエルアンコウ科	<i>Antennatus coccineus</i> (Lesson, 1831) ウルマカエルアンコウ*
Beryciformes キンメダイ目	
Trachichthyidae ヒウチダイ科	<i>Aulotrachichthys prosthemius</i> (Jordan and Fowler, 1902) ハリダシエビス
Gasterosteiformes トゲウオ目	
Macroramphosidae サギフエ科	<i>Macroramphosus japonicus</i> (Günther, 1861) ダイコクサギフエ
Syngnathidae ヨウジウオ科	<i>Halicampus punctatus</i> (Kamohara, 1952) ホシヨウジ
Atheriniformes トウゴロウイワシ目	
Atherinidae トウゴロウイワシ科	<i>Hippichthys (Parasyngnathus) penicillus</i> (Cantor, 1849) ガンテンイショウジ
Perciformes スズキ目	
Sebastidae メバル科	<i>Hippocampus haema</i> Han, Kim, Kai and Senou, 2017 ヒメタツ
Scorpaenidae フサカサゴ科	
Tetragonidae ハオコゼ科	<i>Atherion elymus</i> Jordan and Starks, 1901 ムギイワシ
Synanceiidae オニカサゴ科	
Triglidae ホウボウ科	<i>Sebastes steindachneri</i> Hilgendorf, 1880 ヤナギノマイ
Peristediidae キホウボウ科	<i>Scorpaenopsis papuensis</i> (Cuvier, 1829) ウルマカサゴ*
Hoplichthyidae ハリゴチ科	<i>Ocosia fasciata</i> Matsubara, 1943 シマハチオコゼ
Serranidae ハタ科	<i>Synanceia verrucosa</i> Bloch and Schneider, 1801 オニダルマオコゼ*
	<i>Lepidotrigla hime</i> Matsubara and Hiyama, 1932 ヒメソコカナガシラ
	<i>Peristedion liorhynchus</i> (Günther, 1872) モヨウキホウボウ
	<i>Satyrichthys rieffeli</i> (Kaup, 1859) イソキホウボウ
	<i>Hoplichthys filamentosus</i> Matsubara and Ochiai, 1950 イトハリゴチ
	<i>Chelidoperca pleurospilus</i> (Günther, 1880) ホシヒメコダイ
	<i>Epinephelus chlorostigma</i> (Valenciennes, 1833) ホウセキハタ*

Table 2. (continued).

Opiostognathidae アゴアマダイ科	<i>Pseudanthias rubrizonatus</i> (Randall, 1983) アカオビハナダイ*
Carangidae アジ科	<i>Pseudanthias</i> sp. ベニハナダイ*
Bramidae シマガツオ科	<i>Opiostognathus hopkinsi</i> (Jordan and Snyder, 1902) アゴアマダイ
Caesionidae タカサゴ科	<i>Stalix immaculata</i> Xu and Zhan, 1980 ヒメアゴアマダイ *
Glaucosomatidae アオバダイ科	<i>Carangichthys dinema</i> (Bleeker, 1851) イトヒラアジ
Pomacentridae スズメダイ科	<i>Taractes asper</i> Lowe, 1843 マンザイウオ
Polynemidae ツバメコノシロ科	<i>Taractes rubescens</i> (Jordan and Evermann, 1887) ツルギエチオピア
Cottidae カジカ科	<i>Pterocaesio marri</i> Schultz, 1953 ニセタカサゴ
Psychrolutidae ウラナイカジカ科	<i>Glaucosoma buergeri</i> Richardson, 1845 アオバダイ
Agonidae トクビレ科	<i>Chromis katoi</i> Iwatsubo and Motomura, 2018 ナノハナズメダイ*
Cyclopteridae ダンゴウオ科	<i>Eleutheronema rhadinum</i> (Jordan and Evermann, 1902) ミナミコノシロ
Liparidae クサウオ科	<i>Artediellus dydymovi</i> Soldatov, 1915 コブオキカジカ
Zoarcidae ゲンゲ科	<i>Hemilepidotus giberti</i> Jordan and Starks, 1904 ヨコスジカジカ
Pinguipedidae トラギス科	<i>Icelus ochotensis</i> Schmidt, 1927 コブコオリカジカ
Blenniidae イソギンボ科	<i>Icelus stenosomus</i> Andriashev, 1937 ヤセコオリカジカ
Gobiidae ハゼ科	<i>Pseudoblennius</i> sp. キリンアナハゼ
Ptereleotrinae クロユリハゼ科	<i>Stlengis misakia</i> (Jordan and Starks, 1904) ウロコカジカ*
Sphyraenidae カマス科	<i>Malacocottus zonurus</i> Bean, 1890 コブシカジカ
Pleuronectiformes カレイ目	<i>Psychrolutes paradoxus</i> Günther, 1861 ウラナイカジカ
Cynoglossidae ウシノシタ科	<i>Leptagonus frenatus</i> (Gilbert, 1896) ヤセテングトクビレ
Tetraodontiformes フグ目	<i>Sarritor leptorhynchus</i> (Gilbert, 1896) テングトクビレ
Diodontidae ハリセンボン科	<i>Aptocyclus ventricosus</i> (Pallas, 1769) ホティウオ
	<i>Eumicrotremus pacificus</i> Schmidt, 1904 フウセンウオ
	<i>Eumicrotremus uenoii</i> Kai, Ikeguchi and Nakabo, 2017 サクラダンゴウオ
	<i>Crypsitallias matsushimaiae</i> Jordan and Snyder, 1902 アバチャン
	<i>Davidijordania poecilimon</i> (Jordan and Fowler, 1902) サラサガシ
	<i>Lycodes brunneofasciatus</i> Suvorov, 1935 ハラスジゲンゲ
	<i>Lycodes japonicus</i> Matsubara and Iwai, 1951 アシナガゲンゲ
	<i>Lycodes matsumurai</i> Toyoshima, 1985 マツバラゲンゲ
	<i>Lycozoaerces regani</i> Popov, 1933 セダカゲンゲ
	<i>Petroschmidtia teraoi</i> (Katayama, 1943) ヒナゲンゲ
	<i>Petroschmidtia toyamensis</i> Katayama, 1941 アゴゲンゲ
	<i>Parapercis aurantiaca</i> Döderlein, 1884 アカトラギス*
	<i>Xiphias setifer</i> Swainson, 1839 ウナギギンポ
	<i>Acanthogobius</i> sp. 2 ツマグロスジハゼ
	<i>Astrabe flavimaculata</i> Akihito and Meguro, 1988 キマダラハゼ*
	<i>Priolepis winterbottomi</i> Nogawa and Endo, 2007 サクライレズミハゼ
	<i>Vanderhorstia</i> sp. クサハゼ*
	<i>Parioglossus dotui</i> Tomiyama, 1958 サツキハゼ
	<i>Sphyraena jello</i> Cuvier, 1829 トカラマス
	<i>Sympodus longirostris</i> Lee, Munroe and Kai, 2016 ハシナガアズマガレイ
	<i>Sympodus orientalis</i> (Bleeker, 1879) アズマガレイ*
	<i>Cyclichthys spilostylus</i> (Leis and Randall, 1982) イガグリフグ

標本 HH-Pi 550, 全長 510 mm, 萩市三見沖, 2013 年 10 月 12 日; HH-Pi 551, 全長 570 mm, 萩市大島沖, 2013 年 10 月 13 日.

画像 KPM-NR 143415, 下関市彦島沖, 2003 年 1 月 2 日.

Mola alexandrini (Ranzani, 1839)

ウシマンボウ

画像 KPM-NR 198679, 全長 1202 mm, 長門市通沖, 2018 年 1 月 27 日.

文献 Sawai et al. (2018b) : HH-Pi 697 (fig. 1A), 長門市通沖.

備考 本種の学名は Sawai et al. (2018a) に従った. Sawai et al. (2018b) は採集地の緯度経度を 34°43'N, 131°27'E としたが, 34°25'N, 131°16'E が正しい (澤井氏私信).

Mola mola (Linnaeus, 1758)

マンボウ

画像 KPM-NR 198576, 深川湾, 2016 年 12 月 16 日; KPM-NR 198816, 長門市通沖, 2009 年 12 月 17 日.

Ranzania laevis (Pennant, 1776)

クサビフグ

標本 NSMT-P 76624, 全長 400 mm, 長門市日置上黄波戸沖, 水深 27 m, 2006 年 12 月 21 日.

考察

本研究で山口県日本海産魚類は 199 科 484 属 767 種 (標本ロット数 3326, 標本数 18159, 画像 1578 枚, 未同定種 37 含む, カクレクマノミを除く) が確認された. その内, 標本と画像がある種が 461 種, 標本のみ確認できた種が 166 種, 画像のみ確認できた種が 140 種であった.

本海域から新たに得られた種は 74 種で, その内日本海初記録種として新たに 21 種 (*Chiloscyllium punctatum* イヌザメ, *Proscyllium habereri* タイワンザメ, *Strophidion ui* タケウツボ, *Callechelys kuro* クロウミヘビ, *Glossanodon lineatus* イチモンジイワシ, *Chlorophthalmus acutifrons* トモエヒカリ, *Ventrifossa garmani* サガミソコダラ, *Antennarius coccineus* ウルマカエルアンコウ, *Scorpaenopsis papuensis* ウルマカサゴ, *Synanceia verrucosa* オニダルマオコゼ, *Epinephelus chlorostigma* ホウセキハタ, *Pseudanthias rubrizonatus* アカオビハナダイ, *Pseudanthias* sp. ベニハナダイ, *Stalix immaculata* ヒメアゴアマダイ, *Chromis katoi* ナノハナズメダイ, *Stlengis misakia* ウロコカジカ, *Parapercis aurantiaca* アカトラギス, *Astrabe flavimaculata* キマダラハゼ, *Vanderhorstia* sp. クサハゼ, *Sphyraena jello* トラカマス, *Syphurus orientalis* アズマガレイ) が確認された (Table 2).

これまで本調査海域からは 885 種の魚類が報告されている (河野ほか, 2014; 田上ほか, 2017; 藤原ほか, 2018). これらの報告の中には誤同定が含まれている可能性も高いが, 本報告ではその数に達していない. また, 日本海に広く分布するにもかかわらず, 標本が得られていない種がいる (例えば *Zebrias zebrinus* (Temminck and Schlegel, 1846) シマウシノシタ: 中坊・土居内, 2013) など, 本報告は本海域の魚類相を網羅しているとは言い難い. さらに, 本報告では画像記録も含めたが, 画像では同定の再検討が困難な場合がある. 従って, 再現性が担保され, 包括的な本海域魚類相の把握のためにも, 今後も持続的な標本の収集・保存が必要である.

謝辞

萩博物館の椋木博昭氏, 川原康寛氏, 神奈川県生命の星・地球博物館の瀬能 宏氏, 大阪市立自然史博物館の松井彰子氏, 千葉県立中央博物館の宮 正樹氏, 北九州市立自然史・歴史博物館の日比野友亮氏, 庄原市立比和自然科学博物館の宮永卓宜氏, 国立科博博物館の中江雅典氏, 篠原現人氏, 京都大学フィールド科学教育研究センター舞鶴水産実験所の甲斐嘉晃氏, 北海道大学

総合博物館 水産科学館の田城文人氏、鹿児島大学総合研究博物館の本村浩之氏、藤原恭司氏、国立研究開発法人水産研究・教育機構 西海区水産研究所の星野浩一氏には貴重な標本の借用にご尽力いただいた。国立科学博物館の松浦啓一氏、畠 晴陵氏、北海道大学名誉教授の仲谷一宏氏、千葉県立中央博物館・分館海の博物館の川瀬裕司氏、中外テクノス株式会社の吉郷英範氏、国立研究開発法人水産研究・教育機構 水産大学校の須田有輔氏、国立研究開発法人水産研究・教育機構 西海区水産研究所の吉田朋弘氏、大阪海遊館・海洋生物研究所以布利センターの入野浩之氏、高知大学の遠藤広光氏、一般社団法人鹿児島水圈生物博物館の岩坪洸樹氏、兵庫県立神戸高等学校の矢頭卓児氏、マンボウなんでも博物館の澤井悦郎氏には、標本調査や標本の同定に重要なご助言をいただいた。松田裕一氏（大分県在住）、足立 淳氏（山口県在住）、藤田孝博氏（山口県在住）、シアゲインの笹川 勉氏、笹川美紀氏、株式会社アナン・インターナショナルのさかなクン、下関市立しものせき水族館展示部の久志本鉄平氏、玉井健太氏、井上美紀氏、柿野敦志氏、笠井未来氏、鹿児島市平川動物公園の落合晋作氏、山口県水産研究センター内海研究部の國森拓也氏、岸岡正伸氏、鳥取県栽培漁業センターの山本健也氏、山口県柳井農林水産事務所水産部の畠間俊弘氏、山口県水産研究センター外海研究部の天野千絵氏、大田寿行氏、山口県萩農林水産事務所水産部の井上存夫氏、豊北町自然観察指導員会の小林知吉氏には貴重な画像をご提供いただいた。京急油壺マリンパークの中井 武氏には重要な文献入手にご協力いただいた。本報告をまとめるにあたり、便宜を図っていただいた下関市立しものせき水族館展示部の皆様、萩博物館の清水満幸館長、下関市立しものせき水族館の石橋敏章館長、また多くの標本の収集にご尽力いたした山口県内の漁業関係者の皆様に感謝いたします。

引用文献

- 藍澤正宏・土居内 龍. 2013a. ダツ科. Pp. 665–666, 1933. 中坊徹次（編），日本產魚類検索 全種の同定 第三版. 東海大学出版会，秦野.
- 藍澤正宏・土居内 龍. 2013b. アゴアマダイ科. Pp. 815–818, 1976. 中坊徹次（編），日本產魚類検索 全種の同定 第三版. 東海大学出版会，秦野.
- 赤崎正一. 1988. タイ科. Pp. 171–173, pls. 166–167. 益田 一・尼岡邦夫・荒賀忠一・上野輝彌・吉野哲夫（編），日本產魚類大図鑑 第二版. 東海大学出版会，東京.
- 明仁親王・林 公義・吉野哲夫・島田和彦・瀬能 宏・山本隆司. 1988. ハゼ亜目. Pp. 228–276, pls. 235–258, 353–355. 益田 一・尼岡邦夫・荒賀忠一・上野輝彌・吉野哲夫（編），日本產魚類大図鑑 第二版. 東海大学出版会，東京.
- Akihito and K. Meguro. 1988. Two new species of goby of the genus *Astrabe* from Japan. Japanese Journal of Ichthyology, 34: 409–420.
- 明仁・坂本勝一・池田祐二・藍澤正宏. 2013. ハゼ亜目. Pp. 1347–1608, 2109–2211. 中坊徹次（編），日本產魚類検索 全種の同定 第三版. 東海大学出版会，秦野.
- 尼岡邦夫. 2016. 日本產ヒラメ・カレイ類. 東海大学出版部，秦野. x + 229 pp.
- 青沼佳方・吉野哲夫・柳下直己. 2013. スズメダイ科. Pp. 1029–1066, 2033–2036. 中坊徹次（編），日本產魚類検索 全種の同定 第三版. 東海大学出版会，秦野.
- 荒賀忠一. 1988. イザリウオ科. Pp. 101–102, pls. 88–89, 346. 益田 一・尼岡邦夫・荒賀忠一・上野輝彌・吉野哲夫（編），日本產魚類大図鑑 第二版. 東海大学出版会，東京.
- Arnold, R. J. and T. W. Pietsch. 2012. Evolutionary history of frogfishes (Teleostei: Lophiiformes: Antennariidae): A molecular approach. Molecular Phylogenetics and Evolution, 62: 117–129.
- 浅野博利. 1988. ウミヘビ亜科. Pp. 30–31, pls. 33–34, 338. 益田 一・尼岡邦夫・荒賀忠一・上野輝彌・吉野哲夫（編），日本產魚類大図鑑 第二版. 東海大学出版会，東京.
- 萬代あゆみ. 2019a. ヘラザメ科. P. 12. 本村浩之・荻原清司・瀬能 宏・中江雅典（編），奄美群島の魚類図鑑. 南日本新聞開発センター，鹿児島.
- 萬代あゆみ. 2019b. タイワンザメ科. P. 12. 本村浩之・荻原清司・瀬能 宏・中江雅典（編），

- 奄美群島の魚類図鑑. 南日本新聞開発センター, 鹿児島.
- 萬代あゆみ・松沼瑞樹・本村浩之. 2017. 日本初記録のヤマトシビレエイ科魚類ツキミシビレエイ(新称) *Tetronarce formosa* と本種の標徴に関する新知見, および近縁種との形態比較. 魚類学雑誌, 64: 157–170.
- Bleeker, P. 1879. Énumération des espèces de poissons actuellement connues du Japon et description de trois espèces inédites. Verhandelingen der Koninklijke Akademie van Wetenschappen, Afdeeling Natuurkunde (Amsterdam), 18: 1–33, pls. 1–3.
- Bloch, M. E. and J. G. Schneider. 1801. Systema ichthyologiae iconibus cx illustratum. Post obitum auctoris opus inchoatum absolvit, correxit, interpolavit J. G. Schneider, Saxo. Berolini. Berolini, Berlin. Ix + 584 pp.
- Cantwell, G. E. 1964. A revision of the genus *Parapercis*, family Mugiloididae. Pacific Science, 18: 239–280.
- Chow, S., T. Yanagimoto, K. Matsuzaki, K. Kofuji and K. Hoshino. 2019. Little genetic difference between controversial Japanese codling species *Physiculus japonicus* and *P. maximowiczi*. Aquatic Animals: 1–9.
- Collette, B. B., J. R. McDowell and J. E. Graves. 2006. Phylogeny of recent billfishes (Xiphioidae). Bulletin of Marine Science, 79: 455–468.
- Cuvier, G. and A. Valenciennes. 1829. Histoire naturelle des poissons. Vol. 3. Levrault. Paris. xxviii + 500 pp.
- Cuvier, G. and A. Valenciennes. 1846. Histoire naturelle des poissons. Vol. 18. Levrault. Paris. xix + 505 pp.
- 土井啓行・久志本鉄平・園山貴之・石橋敏章・酒井治己. 2015a. 山口県響灘における小型底びき網の漁獲物. 水産大学校研究報告, 63: 111–125.
- 土井啓行・久志本鉄平・園山貴之・石橋敏章・西川真澄・酒井治己. 2015b. 山口県響灘における小型定置網の漁獲物. 水産大学校研究報告, 63: 127–143.
- Dyldin, Y. V. 2015. Annotated checklist of the sharks, batoids and chimaeras (Chondrichthyes: Elasmobranchii: Holocephali) from waters of Russia and adjacent areas. Publications of the Seto Marine Biological Laboratory, 43: 40–91.
- Endo, H. and K. Nashida. 2010. *Glossanodon kotakamaru*, a new argentine fish from southern Japan (Protacanthopterygii: Argentinidae). Bulletin of the National Museum of Nature and Science A, Supplement, 4: 119–127.
- Endo, H. and K. Nashida. 2012. *Glossanodon microcephalus* a new argentine fish from Japan and the South China Sea (Protacanthopterygii: Argentinidae). Bulletin of the National Museum of Nature and Science A, Supplement, 6: 17–26.
- Eschmeyer, W. N. and K. V. R. Rao. 1973. Two new stonefishes (Pisces, Scorpaenidae) from the Indo-West Pacific, with a synopsis of the subfamily Synanceiinae. Proceedings of the California Academy of Sciences, 39: 337–382.
- Fricke, R., G. R. Allen, S. Andréfouët, W.-J. Chen, M. A. Hamel, P. Laboute, R. Mana, H. H. Tan and D. Uyeno. 2014. Checklist of the marine and estuarine fishes of Madang District, Papua New Guinea, western Pacific Ocean, with 820 new records. Zootaxa, 3832: 1–247.
- 藤原恭司・伊東正英・K. Wibowo・本村浩之. 2018. 鹿児島県から採集された準絶滅危惧種ハナザメのアルビノ. Nature of Kagoshima, 44: 151–155.
- Fujiwara, K. and H. Motomura. 2019a. *Kopua minima* (Döderlein 1887), a senior synonym of *K. japonica* Moore, Hutchins and Okamoto 2012, and description of a new species of *Aspasma* (Gobiesocidae). Ichthyological Research, doi: <http://doi.org/10.1007/s10228-019-00701-0>.
- Fujiwara, K. and H. Motomura. 2019b. Validity of *Lepadichthys misaki* (Tanaka 1908) and redescription of *Lepadichthys frenatus* Waite 1904 (Gobiesocidae: Diademichthynae). Zootaxa, 4551: 275–298.
- 藤原恭司・田上英明・毛利雅彦・鎌野忠・秦一浩・岡田翔平・永井節子・本村浩之. 2018. 山口県響灘および見島から採集された日本海初記録を含む魚類. 水産大学校研究報告, 66:

- 47–48.
- Fujiwara, K., H. Wada and H. Motomura. 2019. A new species of the greeneye genus *Chlorophthalmus* (Teleostei: Chlorophthalmidae) from the central North Pacific. *Zootaxa*, 4555: 396–406.
- Gomon, M. F., C. D. Struthers and A. L. Stewart. 2013. A new genus and two new species of the family Aulopidae (Aulopiformes), commonly referred to as *Aulopus*, flagfins, sergeant bakers or threadsails, in Australasian waters. *Species Diversity*, 18: 141–161.
- 後藤友明. 2001. タイワンザメ科. P. 135. 中坊徹次・町田吉彦・山岡耕作・西田清徳(編), 以布利黒潮の魚 ジンベエザメからマンボウまで. 大阪海遊館, 大阪.
- 萩原豪太. 2013. オニオコゼ科. P. 68. 本村浩之・出羽慎一・古田和彦・松浦啓一(編), 鹿児島県三島村－硫黄島と竹島の魚類. 鹿児島大学総合研究博物館, 鹿児島・国立科学博物館, つくば.
- 萩原清司. 2019. ハゼ科. Pp. 335–374. 本村浩之・萩原清司・瀬能 宏・中江雅典(編), 奄美群島の魚類図鑑. 南日本新聞開発センター, 鹿児島.
- Han, S.-Y., J.-K. Kim, Y. Kai and H. Senou. 2017. Seahorses of the *Hippocampus coronatus* complex: taxonomic revision, and description of *Hippocampus haema*, a new species from Korea and Japan (Teleostei, Syngnathidae). *ZooKeys*, 712: 113–139.
- 畠 晴陵・原口百合子・本村浩之. 2012. 標本に基づく鹿児島県のイサキ科とシマイサキ科魚類相. *Nature of Kagoshima*, 38: 19–38.
- 畠 晴陵・伊東正英・原口百合子・本村浩之. 2012. フグ科タキフグ *Takifugu oblongus* の日本沿岸からの3個体目の記録. 日本生物地理学会会報, 67: 157–160.
- 畠 晴陵・伊東正英・山田守彦・高山真由美・本村浩之. 2015a. 標本に基づく鹿児島県のシマガツオ科魚類相. *Nature of Kagoshima*, 41: 73–93.
- Hata, H. and M. Nakae. 2019. First record of the engraulid *Thrissina cheftuensis* (Teleostei: Clupeiformes), from Yamaguchi Prefecture. *Species Diversity*, 24: 287–290.
- 波戸岡清峰. 2013a. ウツボ科. Pp. 244–261, 1786–1792. 中坊徹次(編), 日本産魚類検索 全種の同定 第三版. 東海大学出版会, 秦野.
- 波戸岡清峰. 2013b. ウミヘビ科. Pp. 266–277, 1794–1802. 中坊徹次(編), 日本産魚類検索 全種の同定 第三版. 東海大学出版会, 秦野.
- 波戸岡清峰. 2013c. ニギス科. Pp. 343, 1826. 中坊徹次(編), 日本産魚類検索 全種の同定 第三版. 東海大学出版会, 秦野.
- 波戸岡清峰・甲斐嘉晃. 2013. シマガツオ科. Pp. 905–909, 1998–1999. 中坊徹次(編), 日本産魚類検索 全種の同定 第三版. 東海大学出版会, 秦野.
- 林 公義・萩原清司. 2013. タイ科. Pp. 955–959, 2013–2014. 中坊徹次(編), 日本産魚類検索 全種の同定 第三版. 東海大学出版会, 秦野.
- 林 公義・白鳥岳朋. 2003. ハゼガイドブック. 阪急コミュニケーションズ, 東京. 224 pp.
- Hibino, Y. and S. Kimura. 2016. Revision of the *Scolecenchelys gymnotus* species group with description of two new species (Auguilliformes: Ophichthidae: Myrophinae). *Ichthyological Research*, 63: 1–22.
- Hibino, Y., J. McCosker and F. Tashiro. 2019. Four new deepwater *Ophichthus* (Anguilliformes: Ophichthidae) from Japan with a redescription of *Ophichthus pallens* (Richardson 1848). *Ichthyological Research*, 66: 289–306.
- Hibino, Y., U. Satapoomin and S. Kimura. 2017. A new species of the genus *Diaphenichelys* (Anguilliformes: Muraenidae) from Thailand. *Ichthyological Research*, 64: 458–463.
- Higuchi, M., H. Sakai and A. Goto. 2014. A new threespine stickleback, *Gasterosteus nipponicus* sp. nov. (Teleostei: Gasterosteidae), from the Japan Sea region. *Ichthyological Research*, 61: 341–351.
- Hilgendorf, F. M. 1904. Ein neuer Scyllium-artiger Haifisch, *Proscyllium habereri*, nov. subgen., n. spec. von Formosa. *Sitzungsberichte der Gesellschaft Naturforschender Freunde zu Berlin*, 2: 39–41.
- 平田智法・山川 武, 岩田明久・真鍋三郎・平松 亘・大西信弘. 1996. 高知県柏島の魚類相 – 行動と生態に関する記述を中心として –. 高知大学海洋生物教育研究センター研究報告, 16:

- 1–177.
- Hiyama, Y. 1940. Descriptions of two new species of fish, *Raja tobitukai* and *Chlorophthalmus acutifrons*. Japanese Journal of Zoology, 9: 169–173.
- 堀 成夫. 2005. 萩博物館所蔵の田中市郎生物標本目録 (I) : 魚類 (1). 萩博物館調査研究報告, 1: 5–12.
- 堀 成夫・土井啓行・園山貴之・荻本啓介・国森拓也・河野光久. 2014. 山口県日本海域の危険生物目録 (I) : 外傷及びそれに付随する症候をもたらすもの. 萩博物館調査研究報告, 10: 1–30.
- 星野和夫・三木涼平. 2018. 大分県佐伯市蒲江で採集されたオニダルマオコゼ *Synanceia verrucosa* の報告のその出現状況. 日本生物地理学会会報, 72: 271–276.
- 市川 聰・砂川 聰・松本 賀. 1992. 屋久島産魚類の概観. 海中公園情報, 97: 3–11.
- 池田博美・中坊徹次. 2015. 南日本太平洋沿岸の魚類. 東海大学出版部, 秦野. 597 pp.
- Imamura, H. and M. F. Gomon. 2010. Taxonomic revision of the genus *Ratabulus* (Teleostei: Platyccephalidae), with descriptions of two new species from Australia. Memoirs of the Museum of Victoria 67: 19–33.
- Imamura, H., P. N. Psomadakis and H. Thein. 2018. Two new species of deepwater flathead *Bembras* Cuvier, 1829 from the Andaman Sea, eastern Indian Ocean. Ichthyological Research, doi: 10.1007/s10228-018-0639-2.
- 稻葉智樹. 2019. サバ科. P. 398. 本村浩之・荻原清司・瀬能 宏・中江雅典 (編), 奄美群島の魚類図鑑. 南日本新聞開発センター, 鹿児島.
- Inaba, T. and H. Motomura. 2018. Review of the Indo-West Pacific genus *Inimicus* (Synanceiidae: Choridactylinae). Zootaxa, 4482: 52–90.
- 石田 実. 2002. オニオコゼ科. Pp. 210–213. 岡村 収・尼岡邦夫 (編・監修), 山溪カラ – 名鑑 日本の海水魚. 山と溪谷社, 東京.
- 石原 元. 2012. ガンギエイ目魚類の属の標準和名の整理と北太平洋全種の標準和名リスト. 板鰓類研究会報, 48: 6–15.
- Iwamoto, T., N. Nakayama, K.-T. Shao and H.-C. Ho. 2015. Synopsis of the grenadier fishes (Gadiformes; Teleostei) of Taiwan. Proceedings of the California Academy of Sciences (Series 4), 62(3): 31–126.
- Iwatubo, H. and H. Motomura. 2013. Redescriptions of *Chromis notata* (Temminck and Schlegel, 1843) and *C. kennensis* Whitley, 1964 with the description of a new species of *Chromis* (Perciformes: Pomacentridae). Species Diversity, 18: 193–213.
- 岩坪洋樹・本村浩之 (編). 2017. 火山を望む麿海 鹿児島湾の魚類. 鹿児島水圏生物博物館, 鹿児島市・鹿児島大学総合研究博物館, 鹿児島市. 302 pp.
- Iwatubo, H. and H. Motomura. 2018. *Chromis katoi*, a new species of damselfish from the Izu Islands, Japan, with a key to species in the *Chromis notata* species complex (Perciformes: Pomacentridae). Aqua, International Journal of Ichthyology, 24: 27–34.
- Iwatsuki, Y., M. Akazaki and T. Yoshino. 1993. Validity of a lutjanid fish, *Lutjanus ophuysenii* (Bleeker) with a related species, *L. vitta* (Quoy et Gaimard). Japanese Journal of Ichthyology, 40: 47–59.
- Iwatsuki, Y. and T. Nakabo. 2005. Redescription of *Hapalogyns nigripinnis* (Schlegel in Temminck and Schlegel, 1843), a senior synonym of *H. nitens* Richardson, 1844, and a new species from Japan. Copeia, 2005: 854–867.
- Iwatsuki, Y. and B. C. Russell. 2006. Revision of the genus *Hapalogyns* (Teleostei: Perciformes) with two new species from the Indo-West Pacific. Memoirs of the Museum of Victoria, 63: 29–46.
- Jeong, M. K., S. I. Lee and J. K. Kim. 2010. New record of Sagami grenadier, *Ventrifossa garmani* (Gadiformes: Macrouridae) from Korea. Korean Journal of Systematic Zoology, 26: 317–320.
- Jones, C. M., W. B. Driggers III, J. I. Castero and M. R. De Carvalho. 2015. On the attribution of authorship for several elasmobranch species in Müller and Henle's "Systematische Beschreibung der Plagiostomen"

- (Chondrichthyes, Elasmobranchii). Zootaxa, 4052: 569–572.
- Jordan, D. S. and C. L. Hubbs. 1925. Record of fishes obtained by David Starr Jordan in Japan, 1922. Memoirs of the Carnegie Museum, 10(2): 93–346.
- Jordan, D. S. and E. C. Starks. 1904a. A review of the Cottidae or sculpins found in the waters of Japan. Proceedings of the United States National Museum, 27(1358): 231–335.
- Jordan, D. S. and E. C. Starks. 1904b. List of fishes dredged by the steamer *Albatross* off the coast of Japan in the summer of 1900, with descriptions of new species and a review of the Japanese Macrouridae. Bulletin of the U. S. Fish Commission, 22(1902), 577–630.
- 鎌木紘一. 2016. 種子島の釣り魚図鑑. たましだ舎, 西之表. 158 pp.
- Kai, Y. and T. Nakabo. 2008. Taxonomic review of the *Sebastes inermis* species complex (Scorpaeniformes: Scorpaenidae). Ichthyological Research, 55: 238–259.
- Kai, Y. and T. Nakabo. 2009. Taxonomic review of the genus *Cottiusculus* (Cottoidei: Cottidae) with description of a new species from the Sea of Japan. Ichthyological Research, 56: 213–226.
- Kai, Y. and T. Nakabo. 2013. Taxonomic review of the *Sebastes pachycephalus* complex (Scorpaeniformes: Scorpaenidae). Zootaxa, 3637: 541–560.
- 片山正夫. 1988. ハタ科. Pp. 123–134, pls. 111–121, 348. 益田 一・尼岡邦夫・荒賀忠一・上野輝彌・吉野哲夫 (編), 日本産魚類大図鑑 第二版. 東海大学出版会, 東京.
- 河野光久・土井啓行・堀 成夫. 2011a. 山口県日本海産魚類目録. 山口県水産研究センター研究報告, 9: 29–64.
- 河野光久・土井啓行・堀 成夫. 2011b. 日本海産魚類目録(予報). 山口県水産研究センター研究報告, 9: 65–94.
- 河野光久・土井啓行・堀 成夫・園山貴之・荻本啓介・國森拓也. 2015. 2010～2013年の山口県日本海域における海洋生物に関する特記的現象. 山口県水産研究センター研究報告, 12: 1–22.
- 河野光久・三宅博哉・星野 昇・伊藤欣吾・山中智之・甲本亮太・忠鉢孝明・安澤 弥・池田 恵・大慶則之・木下仁徳・児玉昇治・手賀太郎・山崎 淳・森 俊朗・長濱達章・大谷徹也・山田英明・村山達朗・安藤朗彦・甲斐修也・土井啓行・杉山秀樹・飯田新二・船木信一. 2014. 日本海産魚類目録. 山口県水産研究センター研究報告, 11: 1–30.
- 河野光久・園山貴之・堀 成夫・荻本啓介・國森拓也・内田喜隆. 2020. 2014～2018年の山口県日本海域における海洋生物に関する特記的現象. 山口県水産研究センター研究報告, 17: 印刷中.
- Kim, B.-J., Y.-B. Go and H. Imamura. 2004. First record of the trachichthyid fish, *Gephyroberyx darwinii* (Teleostei: Beryciformes) from Korea. Korean Journal of Ichthyology, 16: 9–12.
- Kimura, K., H. Imamura and T. Kawai. 2018. Comparative morphology and phylogenetic systematics of the families Cheilodactylidae and Latridae (Perciformes: Cirrhitoidae), and proposal of a new classification. Zootaxa, 4536: 1–72.
- 木村克也・今村 央・河合俊郎. 2019. Latridae に適応する標準和名変更の提案. 魚類学雑誌, 66: 121–222.
- Kimura, S. 2013. Family Sphyraenidae. P. 201. Yoshida, T., H. Motomura, P. Musikasinthorn and K. Matsuura (eds.), Fishes of northern Gulf of Thailand. National Museum of Nature and Science, Tsukuba, Research Institute for Humanity and Nature, Kyoto, and Kagoshima University Museum, Kagoshima.
- 木村清志. 2014. ヤガラ科. Pp. 512–514. 沖山宗雄 (編), 日本産稚魚図鑑 第二版. 東海大学出版会, 秦野.
- Kimura, S., T. Peristiwady and S. R. Suharti. 2003. Scorpaenidae. Pp. 37–41. Kimura, S. and K. Matsuura (eds.), Fishes of Bitung, northern tip of Sulawesi, Indonesia. Ocean Research Institute, the University of Tokyo, Tokyo.
- 木村祐貴・日比野友亮・三木涼平・峯苦 健・小枝圭太 (編). 2017. 緑の火山島 口永良部島の魚類. 鹿児島大学総合研究博物館, 鹿児島. 200 pp.

- 北川康之. 2014. ニギス科. Pp. 153–156. 沖山宗雄 (編), 日本産稚魚図鑑 第二版. 東海大学出版会, 秦野.
- Kitagawa, Y. and M. Okiyama. 1997. Larvae and juveniles of the argentinid, *Glossanodon lineatus*, with comments on ontogenetic pattern in the genus. Bulletin of Marine Science, 60: 37–46.
- 小林知吉・堀 成夫・土井啓行・河野光久. 2006. 山口県の日本海沿岸域における海洋生物に関する特記的現象. 山口県水産研究センター研究報告, 4: 19–56.
- Koeda, K., Y. Hibino, H. Yoshida, Y. Kimura, R. Miki, T. Kunishita, D. Sasaki, T. Furukawa, M. Sakurai, K. Egushi, H. Suzuki, T. Inada, T. Uejo, S. Tanaka, M. Fujisawa, H. Wada and T. Uchiyama. 2016. Annotated checklist of fishes of Yonaguni-jima island, the westernmost island in Japan. The Kagoshima University Museum, Kagoshima. vi + 120 pp.
- Kuiter, R. H. 1993. Coastal fishes of south-eastern Australia. University of Hawaii Press, Honolulu. xxxi + 437 pp.
- Kwun, H. J. and J. K. Kim. 2011. A new species of bonefish, *Albula koreana* (Albuliformes: Albulidae) from Korea and Taiwan. Zootaxa, 2903: 57–63.
- Last, P. R., G. J. P. Naylor and B. M. Manjaji-Matsumoto. 2016a. A revised classification of the family Dasyatidae (Chondrichthyes: Myliobatiformes) based on new morphological and molecular insights. Zootaxa, 4139: 345–368.
- Last, P. R., W. T. White, M. R. de Carvalho, B. Séret, M. F. W. Stehmann and G. J. P. Naylor eds. 2016b. Rays of the world. Cornell University Press, New York. ix + 790 pp.
- Lee, M.-Y., T. A. Munroe and Y. Kai. 2016. Description of a new cryptic species of tonguefish (Pleuronectiformes: Cynoglossidae: *Sympodus*) from shallow waters off Japan. Ichthyological Research, doi: 10.1007/s10228-016-0541-8.
- Lee, M.-Y., T. A. Munroe and K.-T. Shao. 2013. *Sympodus orientalis* (Bleeker) redefined based on morphological and molecular characters (Pleuronectiformes; Cynoglossidae). Zootaxa, 3620: 379–403.
- Lee, S. J., J.-K. Kim, Y. Kai, S. Ikeguchi and T. Nakabo. 2017. Taxonomic review of dwarf species of *Eumicrotremus* (Actinopterygii: Cottoidei: Cyclopteridae) with descriptions of two new species from the western North Pacific. Zootaxa, 4282: 337–349.
- Lesson, R. P. 1829–31. Poissons. Pp. 66–238, pls. 1–38. Duperrey, L. I. (ed.), Voyage autour du monde, sur la corvette de La Majesté La Coquille, pendant les années 1822, 1823, 1824 et 1825. Librairie-Éditeur, Paris.
- Liu, M., J.-L. Li, S.-X. Ding and Z.-O. Liu. 2013. *Epinephelus moara*: a valid species of the family Epinephelidae (Pisces: Perciformes). Journal of Fish Biology, 82: 1684–1699.
- 馬淵浩司・林 公義・T. H. Fraser. 2015. テンジクダイ科の新分類体系にもとづく亜科・族・属の標準和名の提唱. 魚類学雑誌, 62: 29–49.
- 町田吉彦. 1988. エソ科. Pp. 61–62, pls. 61–62. 益田 一・尼岡邦夫・荒賀忠一・上野輝彌・吉野 哲夫 (編), 日本産魚類大図鑑 第二版. 東海大学出版会, 東京.
- Machida Y. and S. Ohta. 1993. *Muraenichthys japonicus*, a new worm eel from the Sea of Japan (Ophichthidae: Myrophinae). Japanese Journal of Ichthyology, 40: 323–326.
- Martinez-Takeshita, N., C. M. Purcell, C. L. Chabot, M. T. Craig, C. N. Paterson, J. R. Hyde and L. G. Allen. 2015. A tale of three tails: cryptic speciation in a globally distributed marine fish of the genus *Seriola*. Copeia, 103: 357–368.
- 益田 一・尼岡邦夫・荒賀忠一・上野輝彌・吉野哲夫編. 1984. 日本産魚類大図鑑. 東海大学出版会, 東京. xx + 448 pp., 370 pls.
- 益田 一・荒賀忠一・吉野哲夫. 1975. 魚類図鑑 南日本の沿岸魚. 東海大学出版会, 東京. 379 pp.
- Matsunuma, M. 2013. Family Belonidae. pp. 63–64. Yoshida, T., H. Motomura, P. Musikasinthorn and K. Matsuura (eds.), Fishes of northern Gulf of Thailand. National Museum of Nature and Science, Tsukuba,

- Research Institute for Humanity and Nature, Kyoto, and Kagoshima University Museum, Kagoshima.
- Matsunuma, M. 2018. Family Belonidae. pp. 61–62. Kimura, S., H. Imamura, V. Q. Nguyen and T. D. Pham (eds), Fishes of Ha Long Bay, the world natural heritage site in northern Vietnam. Mie University, Shima.
- Matsunuma, M. and H. Motomura. 2017. Review of the genus *Banjos* (Perciformes: Banjosidae) with description of two new species and a new subspecies. Ichthyological Research, 64: 265–294.
- Matsunuma, M., M. Sato and Y. Kai. 2017. Redescription of *Atopocottus tribbranchius* (Cottidae) from Japan with comments on the generic diagnosis and distribution. Species Diversity, 22: 87–97.
- 松沼瑞樹・内田喜隆・田代文人. 2019. オオクチイケカツオ *Scomberoides commersonnianus* (アジ科) の山口県日本海沿岸からの記録および若狭湾とその周辺海域に出現するアジ科魚類目録. 魚類学雑誌, 66: 253–260.
- Matsunuma, M., T. Yamakawa and J. T. Williams. 2017. *Chelidoperca tosaensis*, a new species of perchlet (Serranidae) from Japan and the Philippines, with geographic range extension of *C. stella* to the northwestern Pacific Ocean. Ichthyological Research, doi: 10.1007/s10228-017-0604-5.
- 松浦啓一. 2017. 日本産フグ類図鑑. 東海大学出版部, 秦野. xiv + 127 pp.
- Matsuura, K. 2017. Taxonomic and nomenclatural comments on two puffers of the genus *Takifugu* with description of a new species, *Takifugu flavipterus*, from Japan (Actinopterygii, Tetraodontiformes, Tetraodontidae). Bulletin of the National Museum of Nature and Science, A, 43: 71–80.
- Matsuura, K., T. Peristiwady and S. R. Suharti. 2003. Scombridae. Pp. 209–212. Kimura, S. and K. Matsuura (eds.), Fishes of Bitung, northern tip of Sulawesi, Indonesia. Ocean Research Institute, the University of Tokyo, Tokyo.
- Matsuura, K. and T. P. Satoh. 2017. Redescription of *Lagocephalus cheesemanii* (Clarke 1897), a senior synonym of *Lagocephalus gloveri* Abe and Tabeta 1983, based on morphological and genetic comparisons (Actinopterygii: Tetraodontiformes: Tetraodontidae). Ichthyological Research, 64: 104–110.
- McCosker, J. E., K. Hatooka, N. Ohnishi and H. Endo. 2011. Redescription and designation of a neotype for *Aphthalmichthys kuro* Kuroda 1947, and its placement in *Callechelys* (Anguilliformes: Ophichthidae). Ichthyological Research, 58: 272–277.
- Mead, G. W. 1972. Bramidae. Dana Report, 81: 1–166.
- Miki, R. and M. Wada. 2018. First Japanese records of the barracuda *Sphyraena jello* (Teleostei: Sphyraenidae). Biogeography, 20: 62–66.
- 三澤 遼・遠藤光広・甲斐嘉晃. 2015. 若狭湾におけるアカエイ科カラスエイ *Pteroplatytrygon violacea* の記録. 日本生物地理学会会報, 70: 231–237.
- Mochida, I. and H. Motomura. 2018. An annotated checklist of marine and freshwater fishes of Tokunoshima island in the Amami Islands, Kagoshima, southern Japan, with 214 new records. Bulletin of the Kagoshima University Museum, 10: 1–80.
- モイヤー, J. T. 余呉 豊. 2001. クマノミガイドブック. 阪急コミュニケーションズ, 東京. 131 pp.
- Mori K. 1984. Early life history of *Lutjanus vitta* (Lutjanidae) in Yuya Bay, the Sea of Japan. Japanese Journal of Ichthyology, 30: 374–392.
- Morishita, S., T. Kawai and H. Motomura. 2018. *Sebastiscus vibrantus*, a new species of rockfish (Sebastidae) from Indonesia and Taiwan. Ichthyological Research, 65: 423–432.
- Motomura, H. 2009. Family Antennariidae. Pp. 40–41. Kimura, S., U. Satapoomin and K. Matsuura (eds.), Fishes of Andaman Sea, west coast of southern Thailand. National Museum of Nature and Science, Tokyo.
- 本村浩之. 2013. フサカサゴ科. Pp. 36–66. 本村浩之・出羽慎一・古田和彦・松浦啓一(編), 鹿児島県三島村 - 硫黄島と竹島の魚類. 鹿児島大学総合研究博物館, 鹿児島・国立科学博物館,

- つくば.
- 本村浩之. 2014. フサカサゴ科. Pp. 114–135. 本村浩之・松浦啓一（編），奄美群島最南端の島 – 与論島の魚類 –. 鹿児島大学総合研究博物館，鹿児島・国立科学博物館，つくば.
- 本村浩之. 2019. フサカサゴ科. Pp. 70–78. 本村浩之・荻原清司・瀬能 宏・中江雅典（編），奄美群島の魚類図鑑. 南日本新聞開発センター，鹿児島.
- Motomura, H. and M. Aizawa. 2011. Illustrated list of additions to the ichthyofauna of Yaku-shima Island, Kagoshima Prefecture, southern Japan: 50 new records from the island. Check List, 7: 448–457.
- Motomura, H. and S. Harazaki. 2017. Annotated checklist of marine and freshwater fishes of Yaku-shima island in the Osumi Islands, Kagoshima, southern Japan, with 129 new records. Bulletin of the Kagoshima University Museum, 9: 1–183.
- Motomura, H. and U. Satapoomin. 2009. Family Serranidae. Pp. 82–95. Kimura, S., U. Satapoomin and K. Matsuura (eds.), Fishes of Andaman Sea, west coast of southern Thailand. National Museum of Nature and Science, Tokyo.
- 本村浩之・上山和弘・岩槻幸男. 2001. 宮崎県日南海岸より得られたフサカサゴ科魚類2種. 伊豆海洋公園通信, 12(3): 5–7.
- 本村浩之・吉野哲夫・高村直人. 2004. 日本産フサカサゴ科オニカサゴ属魚類 (Scorpaenidae: *Scorpaenopsis*) の分類学的検討. 魚類学雑誌, 51: 89–115.
- Müller, J. and F. G. J. Henle. 1838–1841. Systematische beschreibung der plagiostomen. Veit und Comp., Berlin, xxii + 200 pp.
- 中坊徹次（編）. 2013. 日本海産魚類検索全種の同定 I, II, III 第三版. 東海大学出版会, 東京. 2428 pp.
- 中坊徹次・土居内 龍. 2013. ササウシノシタ科. Pp. 1687–1692, 2231–2233. 中坊徹次（編），日本產魚類檢索 全種の同定 第三版. 東海大学出版会, 秦野.
- 中坊徹次・甲斐嘉晃. 2013a. アオメエソ科. Pp. 429–430, 1851–1852. 中坊徹次（編），日本產魚類檢索 全種の同定 第三版. 東海大学出版会, 秦野.
- 中坊徹次・甲斐嘉晃. 2013b. ソコダラ科. Pp. 493–512, 1872–1876. 中坊徹次（編），日本產魚類檢索 全種の同定 第三版. 東海大学出版会, 秦野.
- 中坊徹次・甲斐嘉晃. 2013c. メバル科. Pp. 668–681, 1933–1946. 中坊徹次（編），日本產魚類檢索 全種の同定 第三版. 東海大学出版会, 秦野.
- 中坊徹次・甲斐嘉晃. 2013d. フサカサゴ科. Pp. 683–705, 1939–1946. 中坊徹次（編），日本產魚類檢索 全種の同定 第三版. 東海大学出版会, 秦野.
- 中坊徹次・甲斐嘉晃. 2013e. オニオコゼ科. Pp. 710–712, 1948. 中坊徹次（編），日本產魚類檢索 全種の同定 第三版. 東海大学出版会, 秦野.
- 中坊徹次・甲斐嘉晃. 2013f. カジカ科. Pp. 1160–1188, 2061–2067. 中坊徹次（編），日本產魚類檢索 全種の同定 第三版. 東海大学出版会, 秦野.
- Nakae, M., H. Motomura, K. Hagiwara, H. Senou, K. Koeda, T. Yoshida, S. Tashiro, B. Jeong, H. Hata, Y. Fukui, K. Fujiwara, T. Yamakawa, M. Aizawa, G. Shinohara and K. Matsuura. 2018. An annotated checklist of fishes of Amami-oshima Island, the Ryukyu Islands, Japan. Memoirs of the National Museum of Nature and Science, Tokyo, 52: 205–361.
- 中村潤平・原崎 森・本村浩之. 2019. 屋久島初記録のネコザメ. Nature of Kagoshima, 46: 251–253.
- 中村潤平・樋口蓉子・本村浩之. 2019. 水抜き調査によって明らかになった鹿児島県霧島市国分広瀬の小村新田干拓潮遊池の魚類相. Nature of Kagoshima, 46: 225–230.
- 仲谷一宏・白石 滋. 1988. テンジクザメ科. Pp. 7–8, pl. 8, 335. 益田 一・尼岡邦夫・荒賀忠一・上野輝彌・吉野哲夫（編），日本產魚類大図鑑 第二版. 東海大学出版会, 東京.
- 落合 明. 1988. ウシノシタ科. Pp. 341–342, pl. 320, 369. 益田 一・尼岡邦夫・荒賀忠一・上野輝彌・吉野哲夫（編），日本產魚類大図鑑 第二版. 東海大学出版会, 東京.

- Ogino, A., S.-H. Lee, W.-J. Chen and M. Matsunuma. 2019. *Chelidoperca cerasina* sp. nov., a new perchlet (Perciformes: Serranidae) from the southwest Pacific Ocean. Ichthyological Research, doi: 10.1007/s10228-019-00714-9.
- 岡本沙知・遠藤広光. 2007. 四国初記録のキマダラハゼ *Astrabe flavimaculata* ヒシロクラハゼ属 (*Astrabe*) の分布 (スズキ目ハゼ科). 四国自然史科学研究, 4: 57–61.
- 岡村 収. 1984. ソコダラ科. Pp. 194–245. 岡村 収・北島忠弘 (編), 沖縄舟状海盆及び周辺海域の魚類 I. 日本水産資源保護協会, 東京.
- 岡村 収. 1985. トラギス科. Pp. 552–553. 岡村 収 (編), 沖縄舟状海盆及び周辺海域の魚類 II, 日本水産資源保護協会, 東京.
- 岡村 収. 1988a. アオメエソ科. Pp. 62–63, pl. 63. 益田 一・尼岡邦夫・荒賀忠一・上野輝彌・吉野哲夫 (編), 日本産魚類大図鑑 第二版. 東海大学出版会, 東京.
- 岡村 収. 1988b. トラギス科. Pp. 227–279, pls. 260–261, 356. 益田 一・尼岡邦夫・荒賀忠一・上野輝彌・吉野哲夫 (編), 日本産魚類大図鑑 第二版. 東海大学出版会, 東京.
- 岡村 収・矢頭卓児. 1982. ソコダラ科. Pp. 142–181. 岡村 収・尼岡邦夫・三谷丈夫 (編), 九州–パラオ海嶺ならびに土佐湾の魚類. 日本水産資源保護協会, 東京.
- 大橋祐太・本村浩之. 2011. 大隅諸島以北の鹿児島県におけるカレイ目魚類相. Nature of Kagoshima, 37: 71–118.
- Orr, J. W., S. Wildes, Y. Kai, N. Raring, T. Nakabo, O. Katugin and J. Guyon. 2015. Systematic of North Pacific sand lances of the genus *Ammodytes* based on molecular and morphological evidence, with the description of a new species from Japan. Fishery Bulletin, 113: 129–156.
- 小澤貴和. 2014. エソ科. Pp. 271–279. 沖山宗雄 (編), 日本産稚魚図鑑 第二版. 東海大学出版会, 秦野.
- Parin, N. V., S. A. Evseenko and E. D. Vasil'eva. 2014. Fishes of Russian seas: annotated catalogue. KMK Scientific Press, Moscow. 733 pp.
- Randall, J. E. 1983. A new fish of the genus *Anthias* (Perciformes: Serranidae) from the western Pacific, with notes on *A. luzonensis*. Freshwater and Marine Aquarium, 6(9): 27–37.
- Randall, J. E., G. R. Allen and R. C. Steene. 1990. Fishes of the Great Barrier Reef and Coral Sea. Crawford House Press, Bathurst. xx + 507 pp.
- Randall, J. E. and J. D. DiBattista. 2012. *Etrumeus makiawa*, a new species of round herring (Clupeidae: Dussumierinae) from the Hawaiian Islands. Pacific Science, 66: 97–110.
- Randall, J. E. and W. N. Eschmeyer. 2001. Revision of the Indo-Pacific scorpionfish genus *Scorpaenopsis*, with descriptions of eight new species. Indo-Pacific Fishes, 34: 1–79.
- Randall, J. E., H. Ida, K. Kato, R. L. Pyle and J. L. Earle. 1997. Annotated checklist of the inshore fishes of the Ogasawara Islands. National Museum of Nature and Science Monographs, 11: 1–74.
- 酒井治己・藤田 獻. 2009. 日本沿岸から初めて記録されたタキフグ *Takifugu oblongus*. 水産大学校研究報告, 58: 43–44.
- Sasaki, D. and S. Kimura. 2019. A new atherinomorine genus *Doboatherina* (Atheriniformes: Atherinidae) with a review of included species. Ichthyological Research, doi: 10.1007/s10228-019-00718-5.
- Sawai, E., Y. Yamanoue, M. Nyegaard and Y. Sakai. 2018a. Redescription of the bump-head sunfish *Mola alexandrini* (Ranzai 1839), senior synonym of *Mola ramsayi* (Giglioli 1883), with designation of a neotype for *Mola mora* (Linnaeus 1758) (Tetraodontiformes: Molidae). Ichthyological Research, 65: 142–160.
- Sawai, E., Y. Yamanoue, T. Sonoyama, K. Ogimoto and M. Nyegaard. 2018b. A new record of the bump-head sunfish *Mola alexandrini* (Tetraodontiformes: Molidae) from Yamaguchi Prefecture, western Honshu, Japan. Biogeography, 20: 51–54.
- Schwarzans, W. W. and A. M. Prokofiev. 2017. Reappraisal of *Synagrops* Günther, 1887 with rehabilitation and revision of *Parascombrops* Alcock, 1889 including description of seven new species and two new

- genera (Perciformes: Acropomatidae). *Zootaxa*, 4260: 1–74.
- 瀬能 宏. 1991. ハナダイ – 最近の話題 –. 伊豆海洋公園通信, 2(1): 2–3.
- 瀬能 宏. 1992. 水中写真における大型カマス科魚類4種の同定. 伊豆海洋公園通信, 3(12): 2–5.
- Senou, H. 2001. Scombroidei. *Sphyraenidae*. Pp. 3685–3697. Carpenter, K. E. and Niem, V. H. (eds.), FAO species identification guide for fishery purposes. The living marine resources of the western central Pacific. Vol. 6. Bony fishes part 4 (Labridae to Latimeriidae), estuarine crocodiles, sea turtles, sea snakes and marine mammals. FAO, Rome.
- 瀬能 宏. 2013a. カエルアンコウ科. Pp. 537–542, 1883–1885. 中坊徹次 (編), 日本産魚類検索 全種の同定 第三版. 東海大学出版会, 秦野.
- 瀬能 宏. 2013b. ヨウジウオ科. Pp. 615–635, 1909–1913. 中坊徹次 (編), 日本産魚類検索 全種の同定 第三版. 東海大学出版会, 秦野.
- 瀬能 宏. 2013c. ハタ科. Pp. 757–802, 1960–1971. 中坊徹次 (編), 日本産魚類検索 全種の同定 第三版. 東海大学出版会, 秦野.
- Senou, H., 2017. Family Sphyraenidae. P 208. Motomura, H., Alama, U. B., Muto, N., Babaran, R. P. and Ishikawa, S. (eds.), Commercial and bycatch market fishes of Panay Island, Republic of the Philippines: 208. The Kagoshima University Museum, Kagoshima, University of the Philippines Visayas, Iloilo, and Research Institute for Humanity and Nature, Kyoto.
- 瀬能 宏. 2019. カエルアンコウ科. Pp. 42–43. 本村浩之・荻原清司・瀬能 宏・中江雅典 (編), 奄美群島の魚類図鑑. 南日本新聞開発センター, 鹿児島.
- Shakhovskoy, I. B. and N. V. Parin. 2019. A review of the flying fish genus *Cypselurus* (Beloniformes: Exocoetidae). Part 1. Revision of the subgenus *Zonocypselurus* Parin and Bogorodsky, 2011 with descriptions of one new subgenus, four new species and two new subspecies and reinstatement of one species as valid. *Zootaxa*, 4589: 1–71.
- Sheiko, B. A. and C. W. Mecklenburg. 2004. Family Agonidae Swainson 1839. — poachers. California Academy of Sciences Annotated Checklists of Fishes, 30: 1–27.
- Shibukawa, K. 2018. Family Gobiidae. Pp. 253–270. Kimura, S., H. Imamura, V. Q. Nguyen and T. D. Pham (eds.), Fishes of Ha Long Bay, the world natural heritage site in northern Vietnam. Mie University, Shima.
- 渋川浩一・藍澤正宏・鈴木寿之・金川直幸・武藤文人. 2019. 静岡県産ミミズハゼ属魚類の分類学的検討 (予報). 東海自然誌, 12: 29–96.
- 島田和彦. 2013a. イサキ科. Pp. 940–945, 2008–2011. 中坊徹次 (編), 日本産魚類検索 全種の同定 第三版. 東海大学出版会, 秦野.
- 島田和彦. 2013c. トラギス科. Pp. 1258–1264, 2088–2091. 中坊徹次 (編), 日本産魚類検索 全種の同定 第三版. 東海大学出版会, 秦野.
- 清水詢道・永田 知. 1982. 長井沖人工礁漁場の魚類相. 神奈川県水産試験場研究報告, 4: 1–8.
- Shindo, S. and U. Yamada. 1972. Descriptions of three new species of the lizardfish genus *Saurida*, with a key to its Indo-Pacific species. Uo, 11–12: 1–13, 1–14.
- Shinohara, G. 2006. A rare jawfish *Stalix immaculata* (Perciformes: Opistognathidae), from Sagami Bay, Japan. Memoirs of the National Science Museum, Tokyo, 41: 335–339.
- Shinohara, G., H. Endo and K. Matsuura. 1996. Deep-water fishes collected from the Pacific coast of northern Honshu, Japan. Monographs of the National Science Museum, Tokyo, 29: 153–185.
- Shinohara, G., H. Endo, K. Matsuura, Y. Machida and H. Honda. 2001. Annotated checklist of the deepwater fishes from Tosa Bay, Japan. Monographs of the National Science Museum, Tokyo, 20: 283–343.
- Shinohara, G., M. Nakae, Y. Ueda, S. Kojima and K. Matsuura. 2014. Annotated checklist of deep-sea fishes of the Sea of Japan. National Museum of Nature and Science Monographs, 44: 225–291.
- Shinohara, G., T. Sato, Y. Aonuma, H. Horikawa, K. Matsuura, T. Nakabo and K. Sato. 2005. Annotated checklist of deep-sea fishes from the waters around the Ryukyu Islands, Japan. Monographs of the

- National Science Museum, Tokyo, 29: 385–452.
- Shinohara, G., S. M. Shirai, M. V. Nazarkin and M. Yabe. 2011. Preliminary list of the deep-sea fishes of the Sea of Japan. Bulletin of the National Museum of Nature and Science, A, 37: 35–62.
- Smith, D. G., W. W. Schwarzhans and J. J. Pogonoski. 2016. The Identity of *Conger japonicus* Bleeker, 1879 (Anguilliformes: Congridae). Copeia, 104: 734–737.
- Smith-Vaniz, W. F. 1989. Revision of the jawfish genus *Stalix* (Pisces: Opistognathidae), with descriptions of four new species. Proceedings of the Academy of Natural Sciences of Philadelphia, 141: 375–407.
- 園山貴之・松浦啓一. 2019. 山口県萩市沖から採集された日本初記録のフグ科魚類 *Takifugu flavidus* サンサイフグ. 魚類学雑誌, doi: 10.11369/jji.19-029.
- Steindachner, F. and L. Döderlein. 1884. Beiträge zur kenntniss der fische Japan's. (III.). Denkschriften der Kaiserlichen Akademie der Wissenschaften in Wien, 49: 171–212.
- Stevenson, D. E., C. W. Mecklenburg and Y. Kai. 2017. Taxonomic clarification of the *Eumicrotremus asperrimus* species complex (Teleostei: Cyclopteridae) in the eastern North Pacific. Zootaxa, 4294: 419–435.
- Suzuki, T., K. Shibukawa, H. Senou and I.-S. Chen. 2016. Redescription of *Rhinogobius similis* Gill 1859 (Gobiidae: Gobionellinae), the type species of the genus *Rhinogobius* Gill 1859, with designation of the neotype. Ichthyological Research, 63: 227–238.
- 鈴木寿之・渋川浩一・矢野維幾・瀬能 宏. 2004. 決定版 日本のハゼ. 平凡社, 東京. 534 pp.
- 田上英明・井町博明・野副 涼・毛利雅彦. 2017. 下関市蓋井島における定置網漁獲物の分類学的多様度 (Δ+). 水産大学校研究報告, 65: 261–266.
- Takahashi, Y., S. Kimura and H. Motomura. 2019. A new sea catfish, *Netuma patriciae* (Siluriformes: Ariidae), from the Philippines. Ichthyological Research, doi: 10.1007/s10228-019-00719-4.
- 竹内経久. 1979. 相模湾で記録されたカラチョウザメ及びキクチョウザメ. 京急油壺マリンパーク年報, 10: 20–25.
- 田中茂穂. 1918. 日本産魚類の二新種. 動物学雑誌, 30(352): 51–52.
- 田代文人・小倉良仁・甲斐嘉晃. 2015. ガンゾウビラメ魚類 5 種の若狭湾からの記録および日本海における分布域の再検討. 日本生物地理学会会報, 70: 43–53.
- 田代文人・鈴木啓太・上野陽一郎・船越裕紀・池口新一朗・宮津エネルギー研究所水族館・甲斐嘉晃. 2017. 近年日本海南西部海域で得られた魚類に関する生物地理学的・分類学的新知見 – 再現性を担保した日本海産魚類相の解明に向けた取り組み – タクサ, 42: 22–40.
- Tawa, A., H. Kishimoto, T. Yoshimura and N. Mochioka. 2012. Larval identification following metamorphosis in the slender brown moray *Strophidon ui* from the western North Pacific. Ichthyological Research, 59: 8–13.
- 田和篤史・望岡典隆. 2014. タケウツボ *Strophidon ui*. Pp. 49–50. 沖山宗雄 (編), 日本産稚魚図鑑 第二版. 東海大学出版会, 秦野.
- Temminck, C. J. and H. Schlegel. 1843. Pisces, parts 2–3. Pp. 21–72. Von Siebold, P. F. (ed.), Fauna Japonica, sive descriptio animalium quae in itinere per Japoniam suscepto annis 1823–30 collegit, notis, observationibus et adumbrationibus illustravit. J. Müller & Co., Amsterdam.
- Temminck, C. J. and H. Schlegel. 1846. Pisces, parts 10–14. Pp. 173–269. Von Siebold, P. F. (ed.), Fauna Japonica, sive descriptio animalium quae in itinere per Japoniam suscepto annis 1823–30 collegit, notis, observationibus et adumbrationibus illustravit. J. Müller & Co., Amsterdam.
- 富森祐樹・荻野 星・内田喜隆・甲斐嘉晃・松沼瑞樹. 2019. 東シナ海北部および日本海から得られたヒメテングハギ, オニテングハギおよびナガテングハギモドキ (ニザダイ科) の記録. 魚類学雑誌, doi: 10.11369/jji.19-030.
- 内田紘臣・楚山 勇. 2004. イソギンチャクガイドブック. 阪急コミュニケーションズ, 東京. 157 pp.
- 上野輝彌. 1988. ニギス科. P. 40, pls. 46, 339. 益田 一・尼岡邦夫・荒賀忠一・上野輝彌・吉野哲夫(編),

- 日本産魚類大図鑑 第二版. 東海大学出版会, 東京.
- Underkoffler, K. E., M. A. Luers, J. R. Hyde and M. T. Craig. 2018. A taxonomic review of *Lapris guttatus* (Brünnich 1788) (Lampridiformes; Lampridae) with descriptions of three new species. Zootaxa, 4413: 551–565.
- Vilasri, V., H.-C. Ho, T. Kawai and M. F. Gomon. 2019. A new stargazer, *Ichthyscopus pollicaris* (Perciformes: Uranoscopidae), from East Asia. Zootaxa, 4702: 49–59.
- White, W. T., K. Furumitsu and A. Yamaguchi. 2013. A new species of eagle ray *Aetobatus narutobiei* from the Northwest Pacific: An example of the critical role taxonomy plays in fisheries and ecological science. PlosOne, 8(12): 1–11.
- Xu, C.-Y., S.-M. Deng, G.-Q. Xiong and H.-X. Zhan. 1980. Two new fishes from East China Sea. Oceanologia et Limnologia Sinica, 11: 179–184. (In Chinese, English summary)
- 矢部 衛. 1988. カジカ科. Pp. 309–315, pls. 290–295, 361–363. 益田 一・尼岡邦夫・荒賀忠一・上野輝彌・吉野哲夫 (編), 日本産魚類大図鑑 第二版. 東海大学出版会, 東京.
- 山田梅芳・田川 勝・岸田周三・本城康至. 1986. 東シナ海・黄海のさかな. 水産庁西海区水産研究所, 長崎. xxvi + 502 pp.
- 山田梅芳・柳下直己. 2013a. ハマギギ科. Pp. 340, 1825. 中坊徹次 (編), 日本産魚類検索 全種の同定 第三版. 東海大学出版会, 秦野.
- 山田梅芳・柳下直己. 2013b. エソ科. Pp. 412–420, 1846–1848. 中坊徹次 (編), 日本産魚類検索 全種の同定 第三版. 東海大学出版会, 秦野.
- 山田梅芳・柳下直己. 2013c. ウシノシタ科. pp. 1693–1698, 2233–2234. 中坊徹次 (編), 日本産魚類検索 全種の同定, 第三版. 東海大学出版会, 秦野.
- 山川 武. 1982. カジカ科. Pp. 288–291. 岡村 収・尼岡邦夫・三谷丈夫 (編), 九州 – パラオ海嶺ならびに土佐湾の魚類. 日本水産資源保護協会, 東京.
- 山下真弘・吉田明弘・本村浩之. 2012. 鹿児島県産軟骨魚類標本目録. Nature of Kagoshima, 38: 119–138.
- Yeo, M. and J.-K. Kim. 2018. Taxonomic review of the genus *Saurida* (Aulopiformes: Synodontidae) from Korea. Korean Journal of Ichthyology, 30: 205–216.
- Yokogawa, K., G. Ogihara and K. Watanabe. 2014. Identity of the lectotype of the East Asian flatfish *Pleuronichthys cornutus* (Temminck and Schlegel 1846) and reinstatement of *Pleuronichthys lighti* Wu 1929. Ichthyological Research, 61: 385–392.
- 吉郷英範・安達一雄. 2002. 流れ藻のベッド (山口県須佐港の魚). 比婆科学, 206: 47–48.
- 吉郷英範・中村慎吾. 2003. 比和町立自然科学博物館魚類収蔵標本目録 (III). 比和町立自然科学博物館標本資料報告, 4: 31–77.
- 吉郷英範・内藤順一・中村慎吾. 2001. 比和町立自然科学博物館魚類収蔵標本目録. 比和町立自然科学博物館標本資料報告, 2: 119–168.
- 吉川 茜・鈴木寿之・甲斐嘉晃・中坊徹次. 2016. 日本海におけるオキカサゴの分布の再検討. 魚類学雑誌, 63: 52–54.
- 吉野哲夫. 1988. ダツ科. P. 78, pl. 69. 益田 一・尼岡邦夫・荒賀忠一・上野輝彌・吉野哲夫 (編), 日本産魚類大図鑑 第二版. 東海大学出版会, 東京.
- 吉野哲夫・青沼佳方・柳下直己・山口敦子. 2013a. テンジクザメ科. Pp. 153, 1756–1757. 中坊徹次 (編), 日本産魚類検索 全種の同定 第三版. 東海大学出版会, 秦野.
- 吉野哲夫・山口敦子・青沼佳方・柳下直己. 2013b. タイワンザメ科. Pp. 167, 1760. 中坊徹次 (編), 日本産魚類検索 全種の同定 第三版. 東海大学出版会, 秦野.



Fig. 4. Fishes newly recorded from the Sea of Japan. A, *Chiloscyllium punctatum* (HH-Pi 188, 980 mm TL, off Hagi, preserved specimen); B, *Proscyllium habereri* (HH-Pi 154, 504 mm TL, off Hagi, preserved specimen); C, *Strophidion ui* (HH-Pi 2632, 1650 mm TL, off Izaki, Shimonoseki, fresh specimen); D, *Callechelys kuro* (KPM-NR 205043, off Omijima Island, Senzaki, Nagato, underwater photograph); E, *Glossanodon lineatus* (SNFR-15561, 91.1 mm SL, off Yamaguchi, preserved specimen); F, *Chlorophthalmus acutifrons* (SNFR-15159, 100.5 mm SL, off Yamaguchi, preserved specimen); G, *Ventrissova garmani* (SNFR-17324, 210.0 mm SL, off Yamaguchi, preserved specimen); H, *Antennatus coccineus* (KPM-NR 205054 off Omijima Island, Senzaki, Nagato, underwater photograph); I, *Scorpaenopsis papuensis* (KAUM-I. 97247, 192.7 mm SL, off Houhoku, Shimonoseki, preserved specimen); J, *Synanceia verrucosa* (HH-Pi 390, 255.0 mm SL, off Susa, Hagi, preserved specimen).

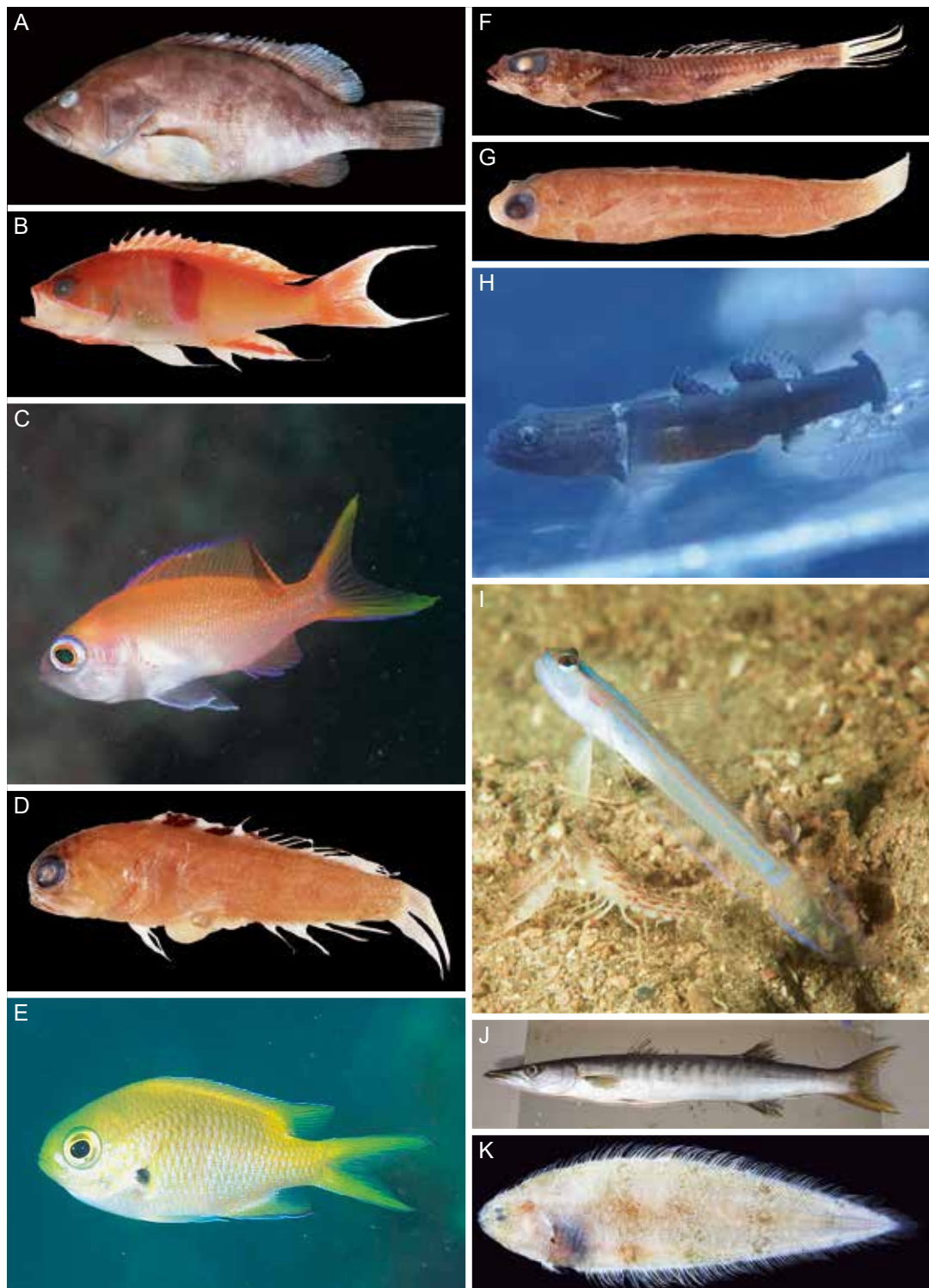


Fig. 5. Fishes newly recorded from the Sea of Japan. A, *Epinephelus chlorostigma* (HH-Pi 720, 376 mm SL, off Mishima Island, Hagi, preserved specimen); B, *Pseudanthias rubrizonatus* (HH-Pi 858, 67.0 mm SL, off Shimonoseki, fresh specimen); C, *Pseudanthias* sp. (KPM-NR 159290, off Shitsura Bay, Senzaki, Nagato, underwater photograph); D, *Stalix immaculata* (SNFR-19448, 30.8 mm SL, off Yamaguchi, preserved specimen); E, *Chromis katoi* (KPM-NR 150266, off Aishima Island, Hagi, underwater photograph); F, *Stenogaster misakia* (SNFR-19691, 53.0 mm SL, off Yamaguchi, preserved specimen); G, *Parapercis aurantiaca* (SNFR-13228, 87.7 mm SL, off Yamaguchi, preserved specimen); H, *Astrabe flavimaculata* (KPM-NR 198985, off Omijima Island, Senzaki, Nagato, underwater photograph); I, *Vanderhorstia* sp. (KPM-NR 205019, off Omijima Island, Senzaki, Nagato, underwater photograph); J, *Sphyraena jello* (HH-Pi 519, 810 mm SL, off Koshigahama, Chinto, Hagi, fresh specimen, photo by Hagi Museum); K, *Syphurus orientalis* (FAKU 145360, 76.2 mm SL, off Yamaguchi, preserved specimen, photo by Maizuru Fisheries Research Station, Field Science Education and Research Center, Kyoto University).

A total of 767 species, including 74 species that represent the first reliable records from Yamaguchi Prefecture on the basis of collected specimens and/or photographs, are listed with citation of literature, registration numbers, localities, and some remarks.

